

UDC 662.613

航空宇宙技術研究所資料

TECHNICAL MEMORANDUM OF NATIONAL AEROSPACE LABORATORY

TM-381

水素-酸素-空気系燃焼生成ガスの物性値

豊川光雄・鈴木和雄・毛呂明夫

1979年5月

航空宇宙技術研究所
NATIONAL AEROSPACE LABORATORY

水素-酸素-空気系燃焼生成ガスの物性値*

豊川光雄** 鈴木和雄** 毛呂明夫**

要 約

水素-酸素、水素-空気、水素-酸素-空気の燃焼生成ガスの熱力学物性値および輸送物性値を計算した。

計算点は、圧力 0.001 ~ 1000 atm, 温度 600 ~ 5000 K とし、組成は酸素・水素混合比 2, 4, 6, 8, 10 および酸素+空気中の酸素・水素混合比がこれに相当するものを選んだ。水素-空気については、量論比 ($\%_F = 34.24$) を中心に 1.0 ~ 68.48 までの数点を選んだ。

計算結果を温度、圧力を変数とする立体図に描き、物性値の変動傾向を調べた。立体図からは物性値の値を読みとりにくいが、温度を横軸に圧力を助変数とする付録の物性値の平面図からこれらの値は読みとることができ。又物性値と組成の関係を示すため同図の圧力数点について温度を横軸とする平衡組成図を与えた。

空気温度を常温から 800 °Cまで変えて断熱火炎温度を計算したが、断熱火炎温度以下では粘度・熱伝導率・比熱等は、圧力および温度による変化が比較的ゆるやかである。これ以上の高温では、これらの物性値は大きく変化する。プラントル数については、断熱火炎温度以下でも変化は大きい。

1. まえがき

近年、水素を燃料とする種々のロケットおよびジェットエンジンの研究開発が行なわれてきた。

これらエンジンの排気ガスの大気中への拡散の問題、空気吸込型ロケットの燃焼¹⁾の問題等において、水素を燃料とする燃焼生成物の物性値が必要となっている。

水素-酸素系燃焼生成物の物性値については、R.A. Svehla の報告²⁾があり、又空気を酸化剤に含む燃料系に関しては、G.F.Klich のメタン-空気-酸素系燃焼生成物の物性値についての報告³⁾等がある。

* 昭和54年4月10日受付

** 角田支所

本報告は、水素を燃料とし、酸素、空気、酸素+空気を酸化剤とする燃焼生成物の物性値に関して温度・圧力を変数とする立体図を描き、物性値の定性的な変化傾向を検討している。立体図からは物性値が読みとりにくいので、別途代表的な混合比について温度を横軸に、圧力を助変数とする定量的な図を与えた。

これらのデータを用いて、角田支所計算センターのキャラクタディスプレイを使い、容易に物性値が得られるシステムを構成したので、その概要をも併せて示す。

2. 計算における仮定と方法

2.1 平衡組成計算の仮定と方法

平衡組成の計算にあたっては、以下の仮定を行なった。

- (1) 燃焼生成ガスは、理想気体とする。
- (2) 燃焼生成ガスは、熱化学的に平衡状態にある。
- (3) 火炎温度の計算にあたっては、断熱状態を仮定する。
- (4) 空気は、以下の組成を持つものとした。

N₂ 78.0945 O₂ 20.9730

Ar 0.9325 (容積%)

- (5) 水素-酸素系の平衡組成計算においては、以下の 8 種の化学種を考慮する。

H, H₂, H₂O, H₂O₂, HO₂, O, OH, O₂

- (6) 水素-空気系および水素-酸素-空気系の平衡組成計算においては、以下の 20 種の化学種を考慮する。

Ar, H, H₂, H₂O, H₂O₂, HNO, HO₂,

N, NH, NH₂, NH₃, NO, NO₂, N₂,

N₂H₄, N₂O, N₂O₄, O, OH, O₂

定温・定圧下での平衡組成の計算にあたっては、Gibbs の自由エネルギーが最小条件を満足するように、Newton-Raphson 法を用いた繰返し計算を行なった。^{4),5)}

断熱火炎温度の計算にあたっては、定圧でエンタルピー一定なる拘束条件下のもとに、同様に Newton-Raphson

法を用いて組成を得た。(5), (6)の化学種の熱力学データは参考文献⁵⁾による。

2.2 輸送物性の計算の仮定と方法

輸送物性の計算では、次の仮定を用いた。

- (1) 二体粒子間衝突のみを考慮するいわゆる希薄気体モデルを仮定する。圧力の効果は平衡組成の決定に際してのみ考慮される。
- (2) 多原子分子の内部エネルギーの緩和等は考慮しない。
- (3) 化学種間の分子間ポテンシャルは、推奨値のある輸送物性値については、これと一貫性のある値を選ぶ⁶⁾。

以上のような仮定に基づき、Chapman-Enskogの理論式を多成分系に拡張したCurtiss-Hirschfelderの式^{7), 8)}を用いた。計算式の詳細は、参考文献^{7), 8)}を参照されたい。

3 物性値と計算点

3.1 物性値の種類

計算を行なった物性値の種類を表1, 表2に示す。

番号	名 称	記号	単 位
1	Density	ρ	g/cc
2	Enthalpy	H	cal/g
3	Entropy	S	cal/g·k
4	Molecular Weight	M	g/g·mol
5	Specific Heat Capacity	c_p	cal/g·k
6	Isentropic Exponent	γ_s	
7	Specific Heat Ratio	γ	
8	Sound Velocity	a	m/s

表1 热力学物性値

番号	名 称	記 号	単 位
9	Viscosity	μ	poises
10	Thermal Conductivity Translational	$\lambda_{tra.}$	cal/cm·s·k
11	" " Internal	$\lambda_{int.}$	"
12	" " Frozen	$\lambda_{fro.}$	"
13	" " Reaction	$\lambda_{rea.}$	"
14	" " Equilibrium	$\lambda_{eq.}$	"
*15	Specific Heat Capacity Frozen	$c_{p,fro.}$	cal/g·k
*16	" " Equilibrium	$c_{p,eq.}$	"
17	Prandtl Number Frozen	Pr, fro.	
18	" " Equilibrium	Pr, eq.	
19	Lewis Number	Le	

表2 輸送物性値

注) *印の物性値は熱力学物性値であるが17～19の物性値を求めるために再掲した。

熱力学物性値は密度・エンタルピ・エントロピー等8種類、輸送物性値は粘度・熱伝導率等9種類である。

比熱・熱伝導率・プラントル数については、平衡値(添字eq.で示す)と凍結値(添字fro.で示す)を示した。

一般的に温度、圧力等が変動する場において、局所平衡を仮定すると平衡化学組成は移動する。このため比熱、熱伝導率等の熱エネルギーが関与する量およびこれらの諸量を含む物性値では、化学種のエンタルピの寄与を考慮しなければならない。組成の変動が無視しうる場、例えば低温においては平衡値と凍結値は一致する。

3.2 物性値間の関係

音速aと等エントロピ指数 γ_s の間には、次式の関係がある。

$$a = \sqrt{\gamma_s R T}$$

ここで R: 気体定数, T: 温度(K)

各熱伝導率の間には次の関係が成立する。

$$\lambda_{eq.} = \lambda_{tra.} + \lambda_{int.} + \lambda_{rea.} = \lambda_{fro.} + \lambda_{rea.}$$

比熱については次の関係が成立する。

$$c_{p,eq.} = c_{p,fro.} + c_{p,rea.}$$

プラントル数については次の関係が成立する。

$$Pr, fro. = \mu \times c_{p,fro.} / \lambda_{fro.}$$

$$Pr, eq. = \mu \times c_{p,eq.} / \lambda_{eq.}$$

レイス数⁹⁾は次の関係式から求めた。

$$Le = \lambda_{rea.} \times c_{p,fro.} / (\lambda_{fro.} \times c_{p,rea.})$$

3.3 温度・圧力・混合比の計算点

温度および圧力の計算点を表3に示す。温度は600~5000Kで100度間隔で45点とした。圧力は0.001~1000atmで13点とした。

水素を燃料として、酸化剤により次の3つの系に分けた。

- (1) H₂-O₂系
- (2) H₂-Air系
- (3) H₂-O₂-Air系

混合比の計算点を表4~6に示す。

H₂-O₂系については、表4に示すように $\%_F = 0.5 \sim 100$ までとH₂ 100%, O₂ 100%の計27点とした。

H₂-Air系では、表5に示すように量論比($\%_F =$

34.24)を含む1.0~68.48までとH₂ 100%, Air 100%の12点とした。

H₂-O₂-Air系では、表6に示すようにH₂-O₂系の($\%_F$)_{Primary}=2~10に空気を加えたH₂-O₂-Air系の($\%_F$)_{Final}=2~20の15点とした。

巻末付録の図は、H₂-O₂系では $\%_F = 2, 4, 6, 8, 10$, H₂-Air系では、 $\%_F = 4, 7.94, 34.24, 68.48$, H₂-O₂-Air系では、表6の($\%_F$)_{Final}=20を除いた点について示した。

予熱空気による断熱火炎温度の計算点を表7に示す。H₂-Air系では常温から800°Cまでの5点、H₂-O₂-Air系は常温から600°Cまでである。

T (K)	600, 700, 800, 900, 1000, 1100, 1200, 1300, 1400, 1500, 1600, 1700, 1800, 1900, 2000, 2100, 2200, 2300, 2400, 2500, 2600, 2700, 2800, 2900, 3000, 3100, 3200, 3300, 3400, 3500, 3600, 3700, 3800, 3900, 4000, 4100, 4200, 4300, 4400, 4500, 4600, 4700, 4800, 4900, 5000,
P (atm)	0.001, 0.003, 0.01, 0.03, 0.1, 0.3, 1., 3., 10., 30., 100., 300., 1000.

表3 温度・圧力計算点

(H ₂ -O ₂) $\%_F$	0.5, 1.0, 1.5, 2.0, 2.5, 3.0, 3.5, 4.0, 4.5, 5.0, 5.5, 6.0, 6.5, 7.0, 7.5, 8.0, 8.5, 9.0, 9.5, 10., 15., 20., 40., 60., 100., H ₂ (100%), O ₂ (100%)
---	--

表4 H₂-O₂系混合比計算点

(H ₂ -Air) $\%_F$	1.0, 4.0, 7.0, 7.94, 10.76, 15.87, 21.22, 34.24, 49.0, 68.48, H ₂ (100%), Air(100%)
---------------------------------	--

表5 H₂-Air系混合比計算点

$(\frac{\%}{F})_P$	2	4	6	8	10	20
$(\frac{\%}{F})_F$	△	○	○	○	○	○
2	—	△	○	○	○	○
4	—	—	△	○	○	○
6	—	—	—	△	○	○
8	—	—	—	—	○	○
10	—	—	—	—	△	○

表6 H_2-O_2-Air 系混合比計算点

予熱空気温度(℃)	25	200	400	600	800
H_2-Air 系	○	○	○	○	○
H_2-O_2-Air 系	○	○	○	○	—

表7 予熱空気による断熱火炎温度計算点

4 計算結果

4.1 計算結果の表示法

計算結果は立体図、平面図、平衡組成図で示した。図番号の表示は原則として下記のようにした。立体図をA、平面図をB、平衡組成図をCとし、続く数字1～3で H_2-O_2 系、 H_2-Air 系、 H_2-O_2-Air 系を分類した。「—」記号に続く数字は物性値を表わし、表1、表2の左側の番号を示す。計算条件（混合比・圧力）による違いは「—」記号に続く一連の数字で区別した。又()内に計算条件の数値をも示した。

例 図A-1-2

H_2-O_2 系、エンタルビの立体図

$(\frac{\%}{F})_P : H_2-O_2$ 系の混合比

$(\frac{\%}{F})_F : H_2-O_2$ 系にAirを加えた最終的な混合比

△ : H_2-O_2 系

○ : H_2-O_2-Air 系

例 図B-2-7-1 ($\frac{\%}{F} = 4$)

H_2-Air 系、比熱比、 $\frac{\%}{F} = 4$ の平面図

例 図C-3-2 [$(\frac{\%}{F})_P = 2 \rightarrow (\frac{\%}{F})_F = 4, 1 \text{ atm}$]

H_2-O_2-Air 系、 $(\frac{\%}{F})_P = 2 \rightarrow (\frac{\%}{F})_F = 4, 1 \text{ atm}$ の平衡組成図

図で示した物性値は H 、 \bar{M} 、 r 、 μ 、 $\lambda_{fro.}$ 、 $\lambda_{eq.}$ 、 $c_{p,fro.}$ 、 $c_{p,eq.}$ 、 $Pr_{fro.}$ 、 $Pr_{eq.}$ の10種である。

立体図は、温度と圧力を横軸にし同一スケールで4種の混合比を1組として表示した。温度軸は、600～5000Kまで44等分した。これは100度間隔に相当する。圧力軸は、0.001～1000 atmまでを対数スケールで12等分した。立体図中の「×—×—×」印等は、断熱火炎温度を表わす。

平面図は、温度を横軸にとり範囲は立体図と同一とした。助変数の圧力は0.001、0.01、0.1、1、10、100、1000 atmの7種とした。

平衡組成図は、温度を横軸にとり範囲は立体図と同一とした。組成は、モル分率で表わし 10^{-4} まで対数スケールで表示した。圧力は、代表的な0.01、1、100 atmの3点を選んだ。

4.2 H₂-O₂系

立体図の混合比(酸素・水素重量比)は、ロケットエンジンでよく使用される $\frac{\text{O}}{\text{F}}=4, 6$ 、量論比に近い $\frac{\text{O}}{\text{F}}=8$ および酸素過剰の $\frac{\text{O}}{\text{F}}=10$ を選んだ。

—立体図による傾向の把握—

エンタルピ(H)

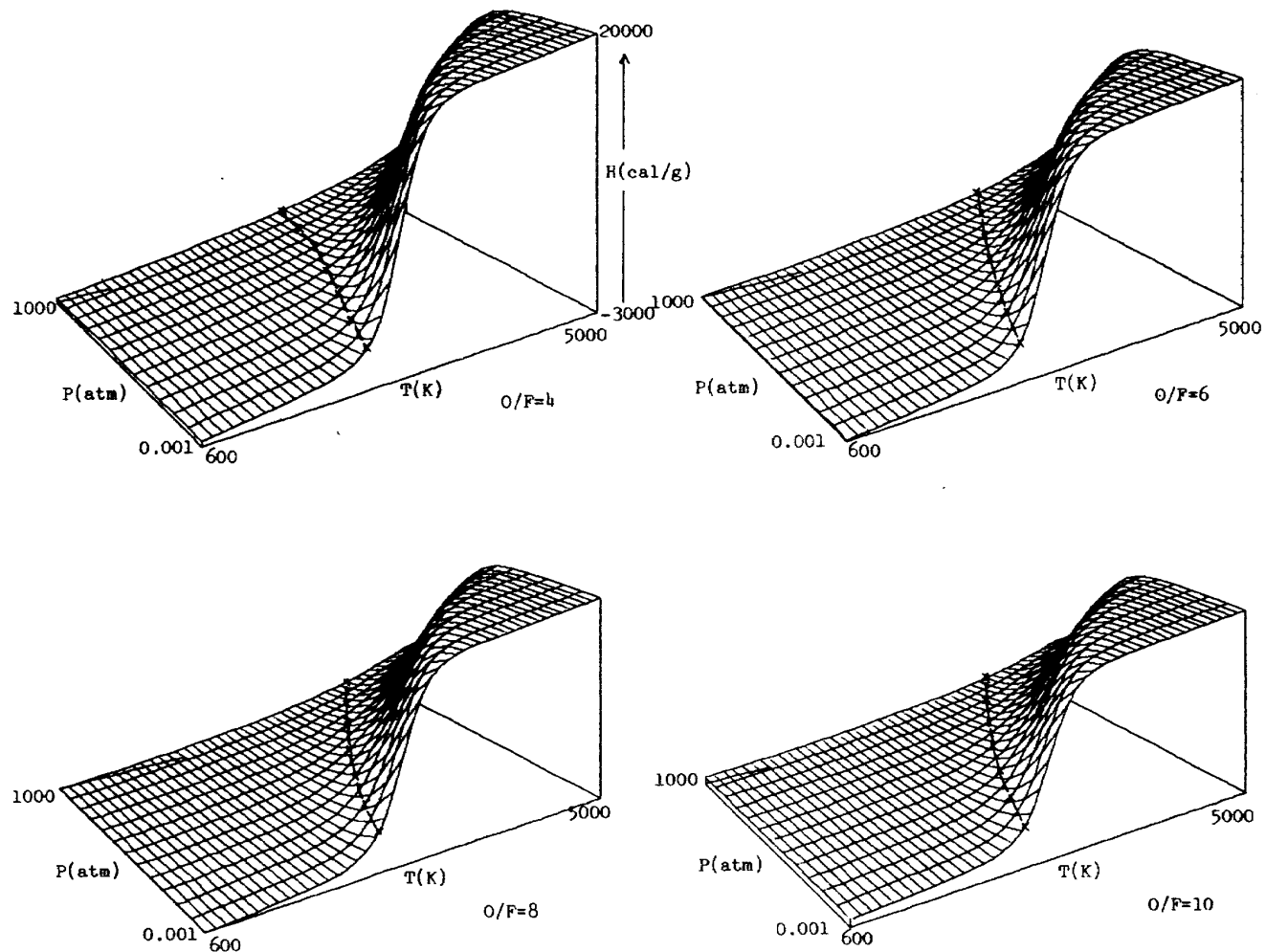


図 A-1-2

エンタルピ(H)は、低压高温になるに従い大きくなる。 $\frac{\text{O}}{\text{F}}$ の増加とともにHの変化の幅は小さくなる。Hが激しく変化している個所の温度・圧力は、 $\frac{\text{O}}{\text{F}}$ に関係なくほぼ一定である。Hと断熱火炎温度の関係は、例えばGH₂(25°C)-GO₂(25°C)ではHが0であるから任意の圧力との交点が断熱火炎温度を示す。これらの点を結ぶことにより断熱火炎温度の圧力による変化がわかる。

平均分子量 (\bar{M})

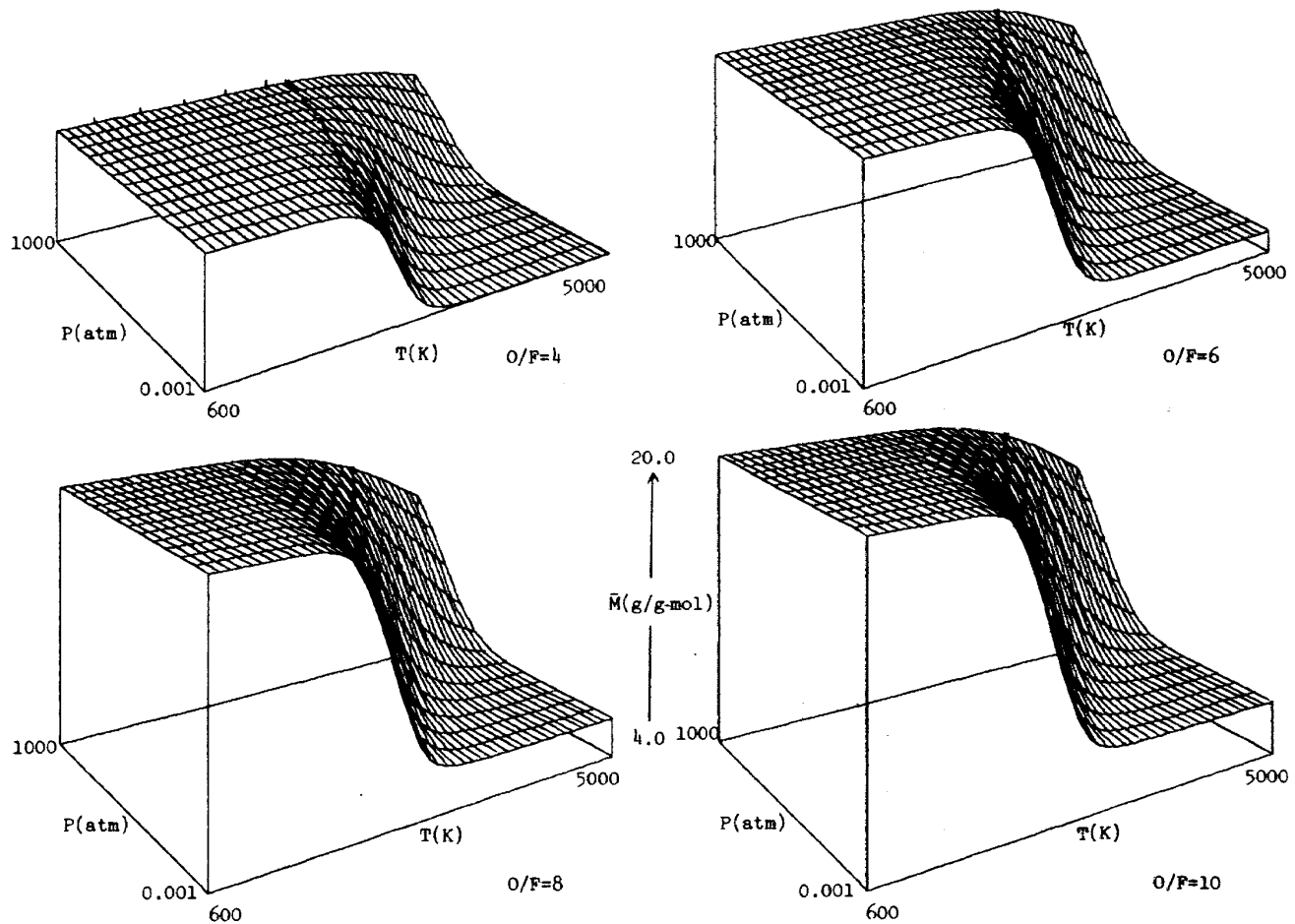


図 A - 1 - 4

平均分子量 (\bar{M}) は、 $\%_F$ が増加するとともに大きくなる。各 $\%_F$ において \bar{M} が急激に変化する温度・圧力がある。この温度・圧力は $\%_F$ に無関係ではほぼ一定値をとる。これらの \bar{M} の変化は、図 C-1-4～図 C-1-15 に示した主要生成物の変化に対応している。 $\%_F = 4 \sim 6$ では低温領域の主要生成物は H_2O と H_2 で高温になると H_2O は H と O に解離し、 H_2 は H に解離している。 $\%_F = 8$ では主要生成物は H_2O で高温になると H と O に解離する。 $\%_F = 10$ では主要生成物は H_2O と O_2 で高温になるとそれぞれ H と O および O に解離する。

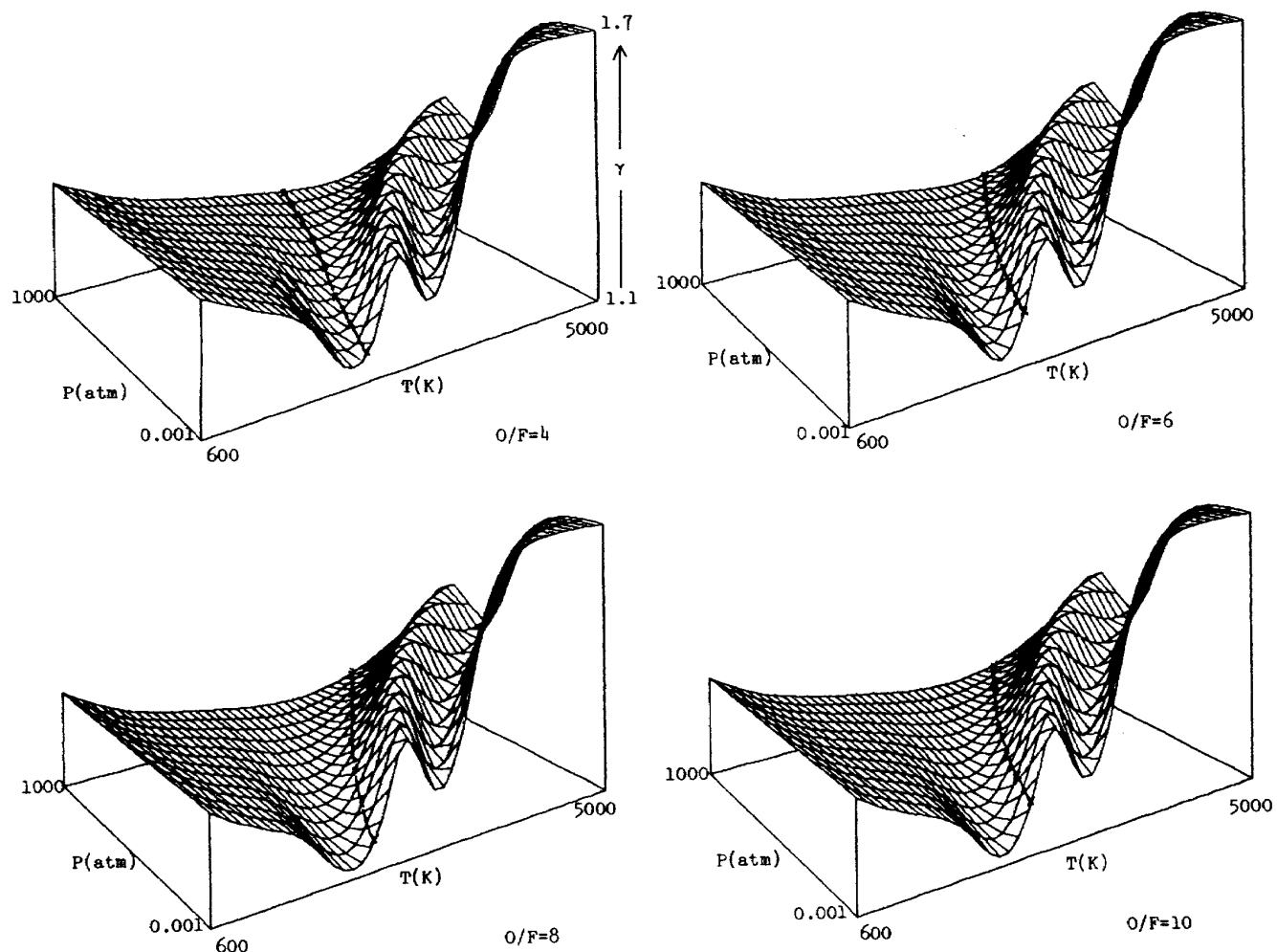
比 熱 比 (γ)

図 A - 1 - 7

比熱比 (γ) は、温度の上昇とともに一旦減少し、つづいて小さな鞍部を経て増加に転ずる。この傾向は各 O/F についてほぼ同一である。この鞍部は断熱火炎温度よりも高い温度で表われるが $\gamma = \text{const.}$ の解析は注意を要する。断熱火炎温度以下の γ は、最小値に対してほぼ 1.2 倍変化する。 γ のこのような変化は図 C-1-4 ~ 図 C-1-15 に示すように H_2 , O_2 , H_2O の解離温度の違いに起因する。

粘 度 (μ)

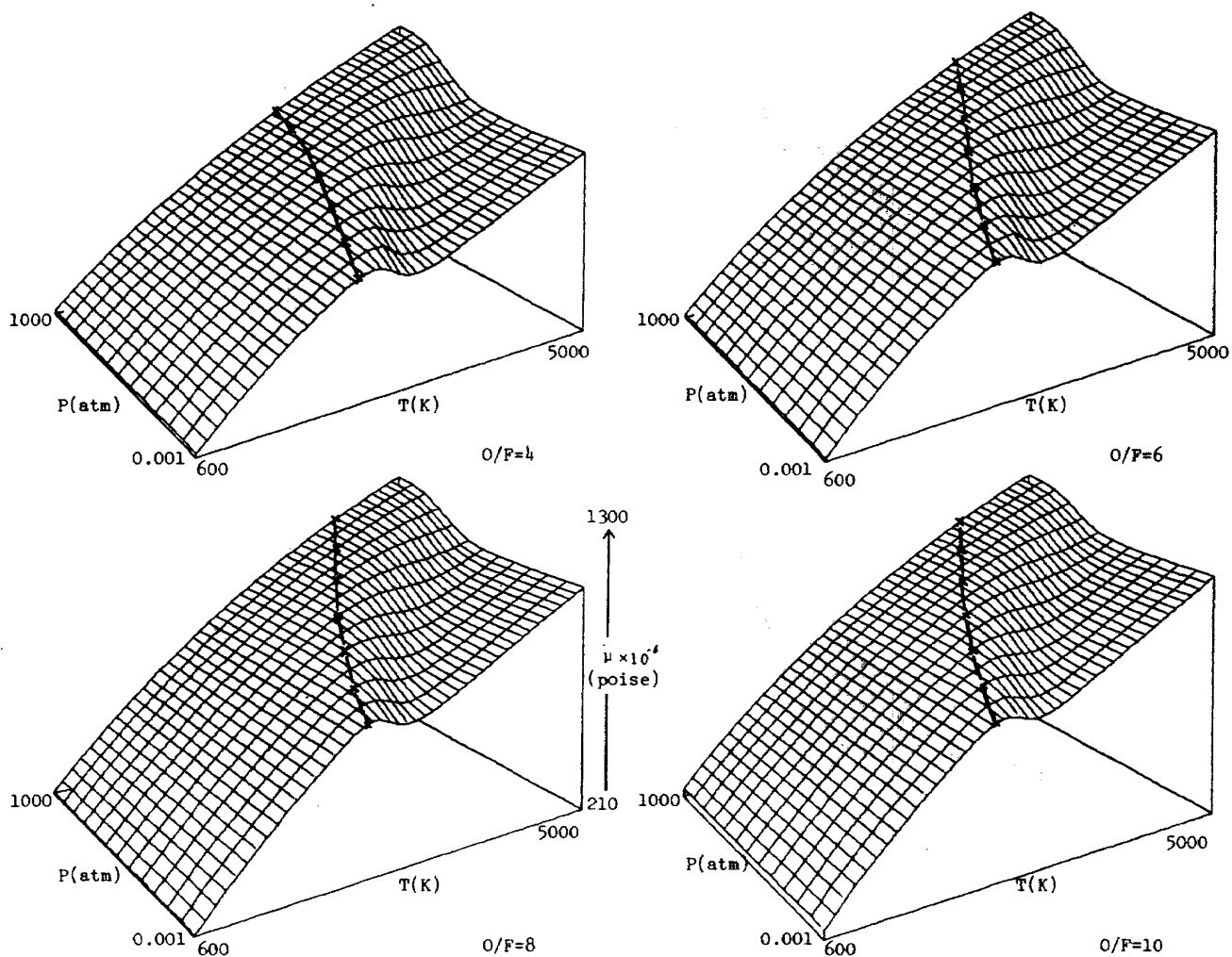


図 A - 1 - 9

粘度 (μ) は、低圧の場合温度が高くなるに従い一旦減少し単調増加に転ずる。減少開始温度は、図 C-1-4～図 C-1-15で示すように H や O の生成する解離温度に相当する。圧力が高くなると解離温度が高くなるため減少傾向は図の範囲では見られない。 $\frac{\%}{F}$ の変化によるパターンの変化はない。絶対値は、 $\frac{\%}{F}$ とともに增加する傾向にあるがオーダーの変るほどのものではない。

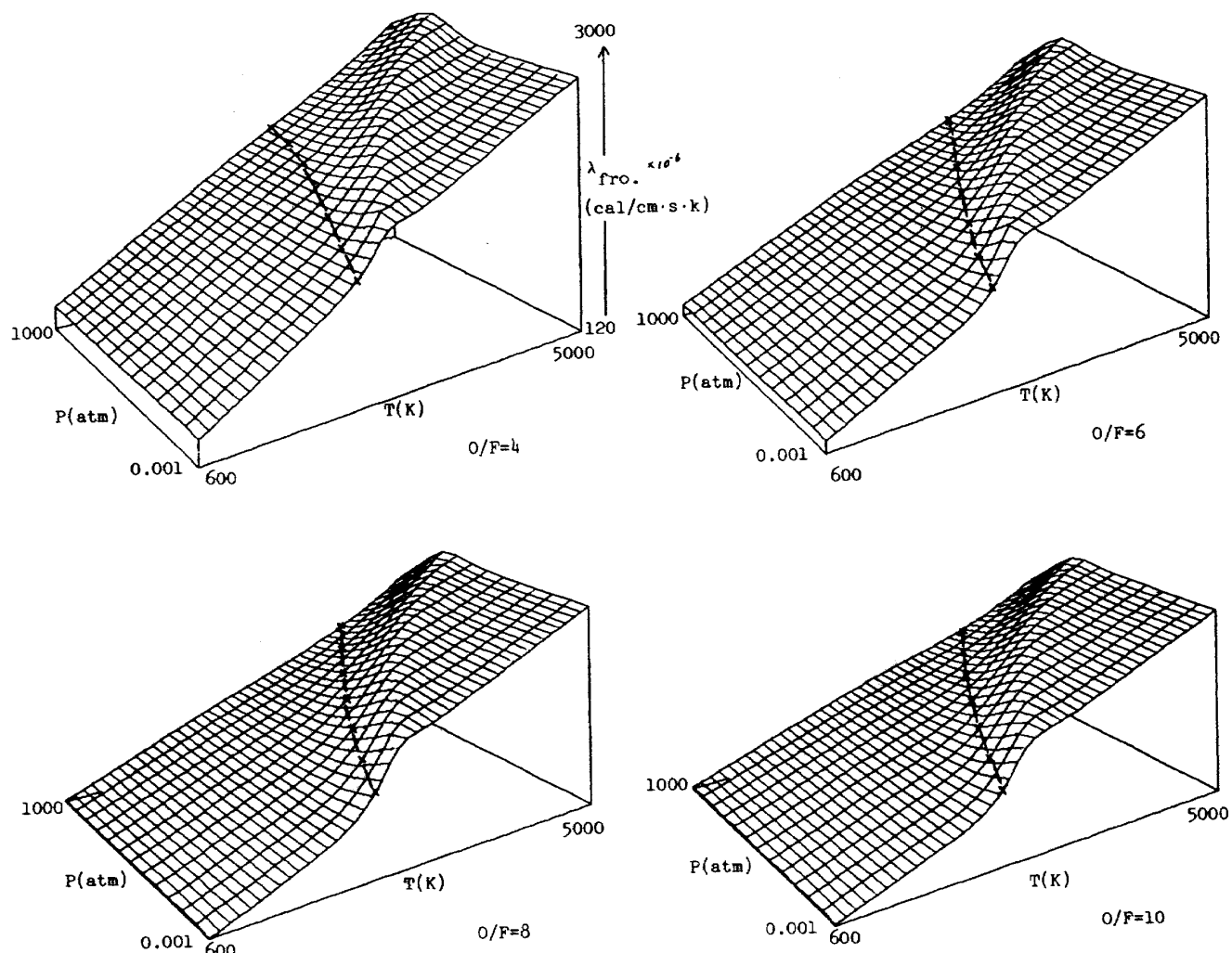
熱伝導率 - 凍結 ($\lambda_{fro.}$)

図 A-1-12

熱伝導率-凍結 ($\lambda_{fro.}$)は、断熱火炎温度以下では圧力に関してほぼフラットな面をもつ。圧力に関して3つの領域に分けられる。低温領域、中間領域、低圧高温領域である。図C-1-4～図C-1-15をみると低温領域の主要生成物は H_2O と H_2 か O_2 である。低圧高温領域では H 、 O である。中間領域は両方の生成物がみられる。このような生成物の違いが $\lambda_{fro.}$ を3つの領域に分けている。

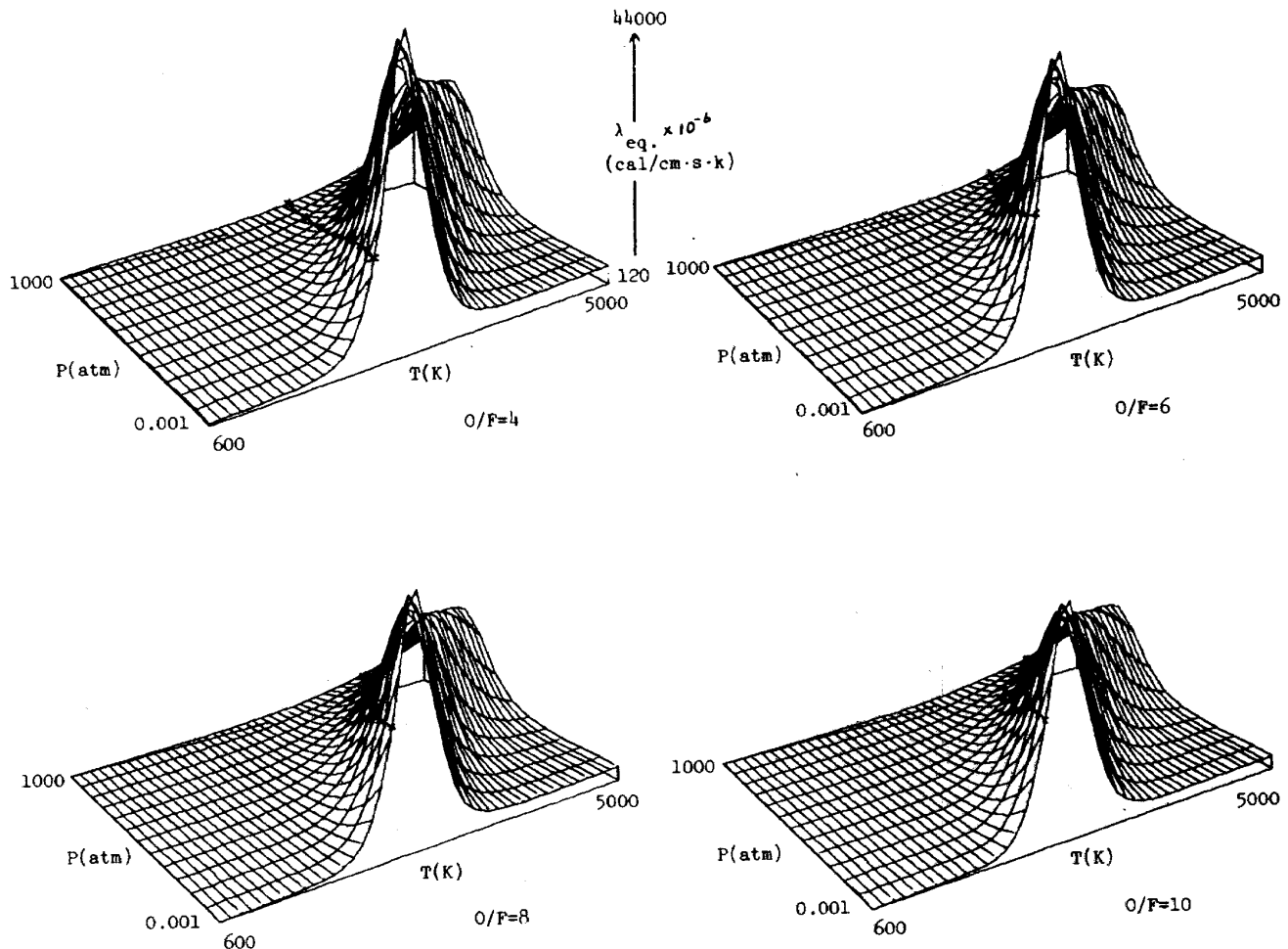
熱伝導率 - 平衡 ($\lambda_{eq.}$)

図 A-1-14

熱伝導率-平衡 ($\lambda_{eq.}$) は、3.2節で述べたように $\lambda_{fro.} + \lambda_{rea.}$ という形で求められる。 $\lambda_{fro.}$ に對し $\lambda_{rea.}$ の絶対値の方がはるかに大きいため $\lambda_{fro.}$ とまったく異なった傾向を示している。 $\lambda_{rea.}$ は組成変化の激しいところで大きくなる。これは前述の $\lambda_{fro.}$ の中間領域に相当する。低温では $\lambda_{eq.}$ は $\lambda_{fro.}$ と一致する。ピークの位置は圧力が高くなるにつれて高温側へ移動しているがこれは解離温度が高くなつたためである。 $\lambda_{eq.}$ の平面図では $\lambda_{fro.}$ の 0.001, 1000 atm の値を併せて示した。

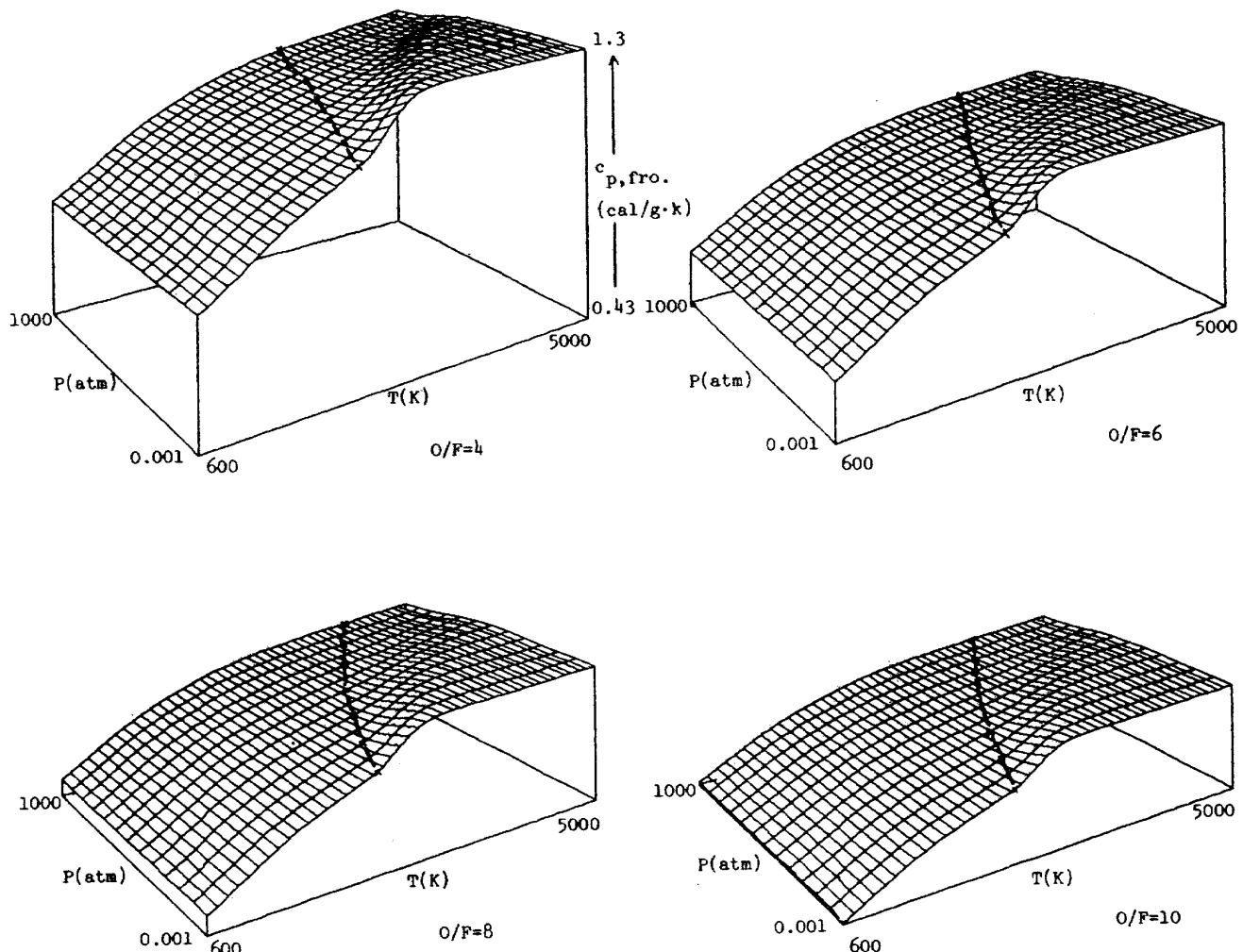
比熱 - 凍結 ($c_{p,fro.}$)

図 A-1-15

比熱-凍結 ($c_{p,fro.}$) は、 $\frac{O}{F}$ の増加とともに減少している。1 atm での断熱火炎温度における $c_{p,fro.}$ を $\frac{O}{F} = 4$ と 10 で比較すると 1.095 から 0.661 ($\text{cal/g}\cdot\text{K}$) へと減少している。単位を $\text{ad/mole}\cdot\text{K}$ に変換すると量論比 ($\frac{O}{F} = 7.94$) で最大値をとり図 A-1-15 と異なる傾向を示す。単位変換を行なうには燃焼ガスの平均分子量図、図 B-1-4-2 ~ 図 B-1-4-5 を用いればよい。

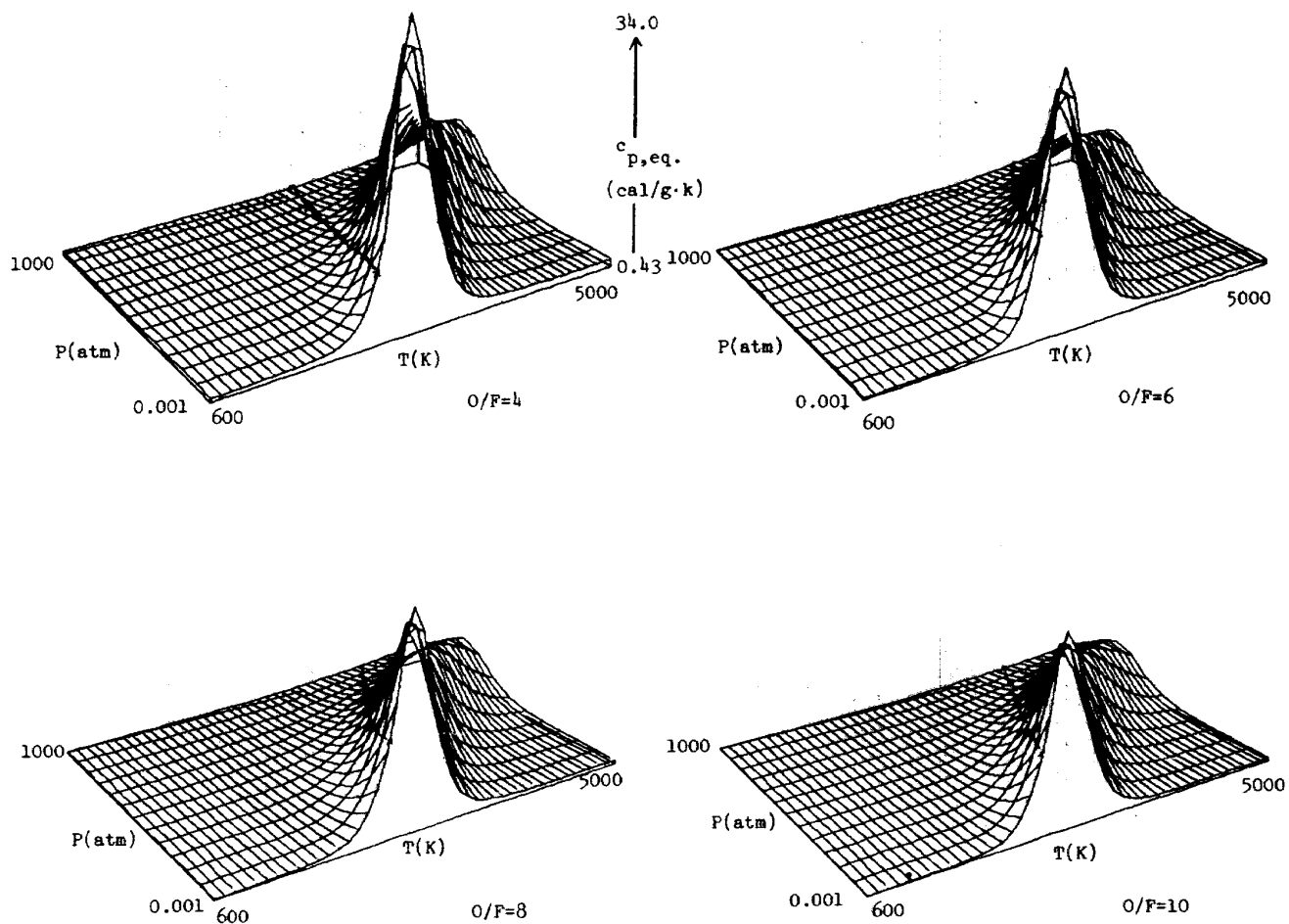
比熱 - 平衡 ($c_p, eq.$)

図 A-1-16

比熱-平衡 ($c_p, eq.$) は、3.2 節で述べたように $c_{p,fro.} + c_{p,rea.}$ の形で表わされる。低温において $c_{p, eq.}$ は $c_{p, fro.}$ と一致する。 $c_{p, eq.}$ は、 $\frac{O}{F}$ の増加とともに減少している。特にピーク値の減少が著しい。図 B-1-16-4 で示すように $\frac{O}{F} = 8$ 、0.001 atm、2600 K では約 23.5 ($\frac{cal}{g \cdot K}$) である。同状態での $c_{p,fro.}$ は約 0.77 ($\frac{cal}{g \cdot K}$) である。 $c_{p, eq.}$ の平面図では $c_{p,fro.}$ の 0.001、1000 atm の値を併せて示した。

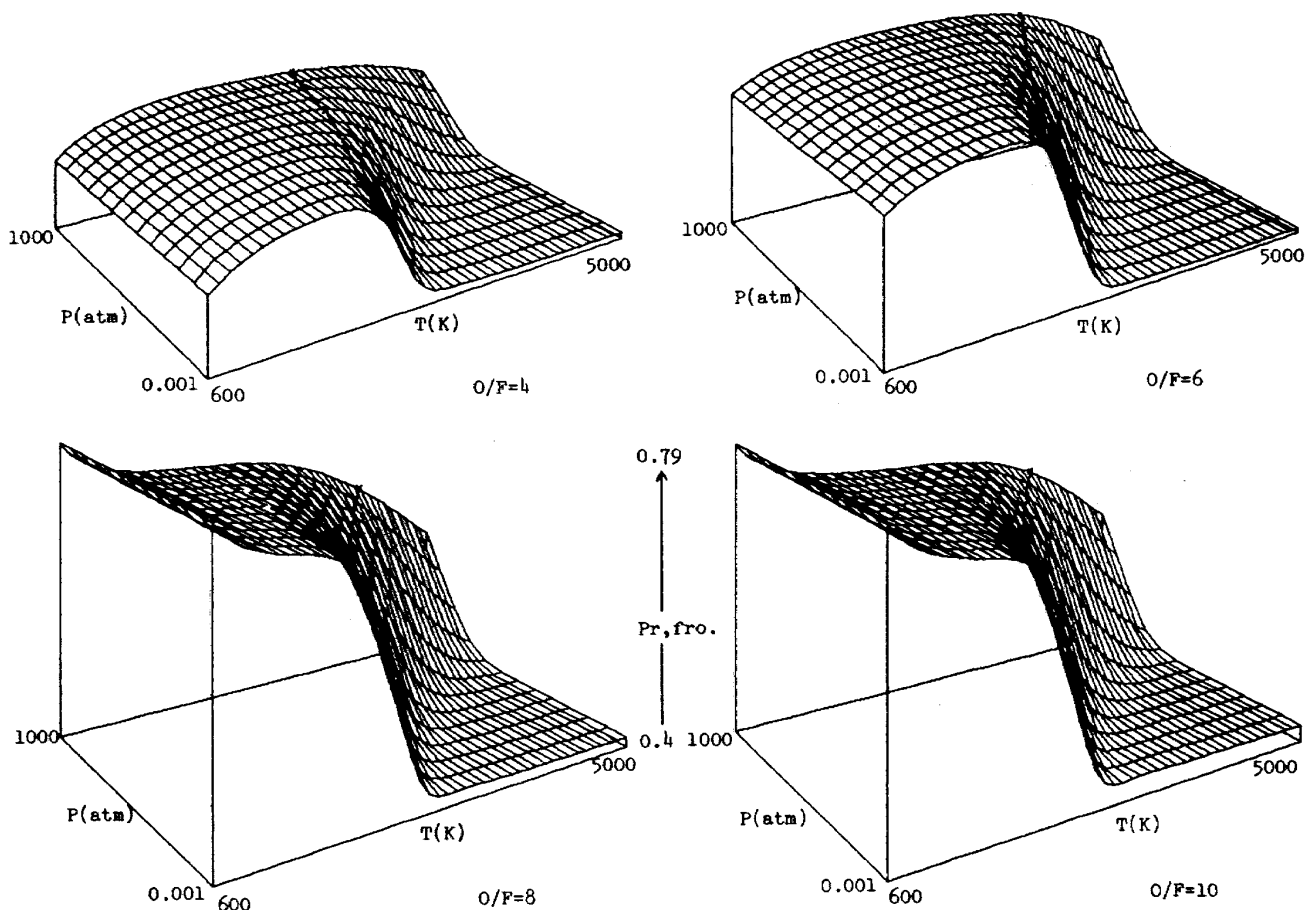
プラントル数 - 凍結 ($Pr_{fro.}$)

図 A-1-17

プラントル数-凍結 ($Pr_{fro.}$) は、低圧側において $\%_F = 4 \sim 6$ と $\%_F = 8 \sim 10$ の間で傾向の違いが認められる。前者は温度の上昇とともに $Pr_{fro.}$ が増加しているのに対し、後者は減少している。 $\%_F$ の増加とともに絶対値は大きくなる。低圧高温の領域では、 $\%_F$ に関係なくほぼフラットな面をもつていて。例えば図 B-1-17-4 に示すようにこの平面の $Pr_{fro.}$ は、 $\%_F = 8$ において 0.42 と一定値をとる。

プラントル数 - 平衡 (Pr,eq.)

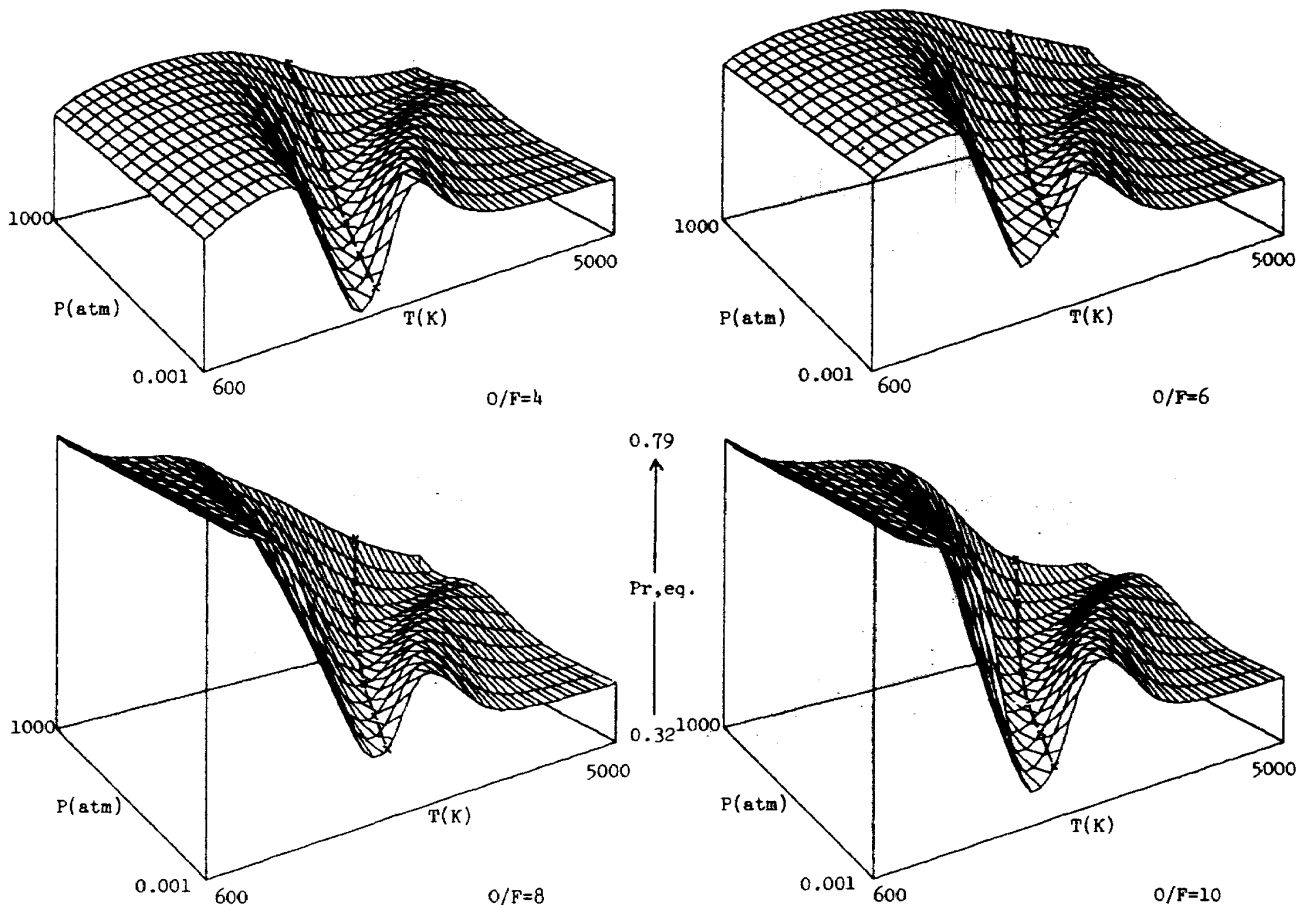


図 A-1-18

プラントル数一平衡 (Pr,eq.) は、 μ 、 λ 、 c_p 等の物性値と異なり断熱火炎温度以下でも変化は大きい。例えば変化の一番小さい $O/F = 4$ 、1 atmにおいて Pr,eq. の最大値と最小値は 0.534 と 0.378 である。低温において Pr,eq. は Pr,fro. と一致する。Pr,fro. で述べた低圧高温の領域でのフラットな面は消え小さな山が認められる。

— 平面図による物性値の読みとり —

物性値は、温度を横軸に圧力を補助パラメータとする付録 1 の平面図から精度よく読みとることができる。

物性値は、平衡組成と密接に関係するため代表的な圧

力 3 点を選んで平衡組成図も示した。

付録 1 の平面図および平衡組成図は下記の表 8 に示した。

ページ	図番号	系	物性値	混合比 (%)
45	B-1-2-1	H ₂ -O ₂	H	2
"	B-1-4-1	"	M̄	/
46	B-1-7-1	"	r	/
"	B-1-9-1	"	μ	/
47	B-1-14-1	"	λ eq.	/
"	B-1-16-1	"	c _p , eq.	/
48	B-1-17-1	"	Pr, fro.	/
"	B-1-18-1	"	Pr, eq.	/
49	B-1-2-2	"	H	4
"	B-1-4-2	"	M̄	/
50	B-1-7-2	"	r	/
"	B-1-9-2	"	μ	/
51	B-1-14-2	"	λ eq.	/
"	B-1-16-2	"	c _p , eq.	/
52	B-1-17-2	"	Pr, fro.	/
"	B-1-18-2	"	Pr, eq.	/
53	B-1-2-3	"	H	6
"	B-1-4-3	"	M̄	/
54	B-1-7-3	"	r	/
"	B-1-9-3	"	μ	/
55	B-1-14-3	"	λ eq.	/
"	B-1-16-3	"	c _p , eq.	/
56	B-1-17-3	"	Pr, fro.	/
"	B-1-18-3	"	Pr, eq.	/
57	B-1-2-4	"	H	8
"	B-1-4-4	"	M̄	/
58	B-1-7-4	"	r	/
"	B-1-9-4	"	μ	/
59	B-1-14-4	"	λ eq.	/

ページ	図番号	系	物性値	混合比 (%)
59	B-1-16-4	H ₂ -O ₂	c _p , eq.	8
60	B-1-17-4	"	Pr, fro.	/
"	B-1-18-4	"	Pr, eq.	/
61	B-1-2-5	"	H	10
"	B-1-4-5	"	M̄	/
62	B-1-7-5	"	r	/
"	B-1-9-5	"	μ	/
63	B-1-14-5	"	λ eq.	/
"	B-1-16-5	"	c _p , eq.	/
64	B-1-17-5	"	Pr, fro.	/
"	B-1-18-5	"	Pr, eq.	/

ページ	図番号	系	混合比 (%)	圧力 (atm)
65	C-1-1	H ₂ -O ₂	2	0.01
"	C-1-2	"	/	1
"	C-1-3	"	/	100
66	C-1-4	"	4	0.01
"	C-1-5	"	/	1
"	C-1-6	"	/	100
67	C-1-7	"	6	0.01
"	C-1-8	"	/	1
"	C-1-9	"	/	100
68	C-1-10	"	8	0.01
"	C-1-11	"	/	1
"	C-1-12	"	/	100
69	C-1-13	"	10	0.01
"	C-1-14	"	/	1
"	C-1-15	"	/	100

表 8

4.3 H₂-Air 系

立体図の混合比(空気・水素重量比)は、水素過剰を2点($\%_{\text{F}} = 4$, 7.94)と量論比($\%_{\text{F}} = 34.24$)および酸素過剰を1点($\%_{\text{F}} = 68.48$)を選んだ。

エンタルピの立体図には表7の予熱空気(600°C)による断熱火炎温度を「○—○—○」印で示した。

—立体図による傾向の把握—

エンタルピ(H)

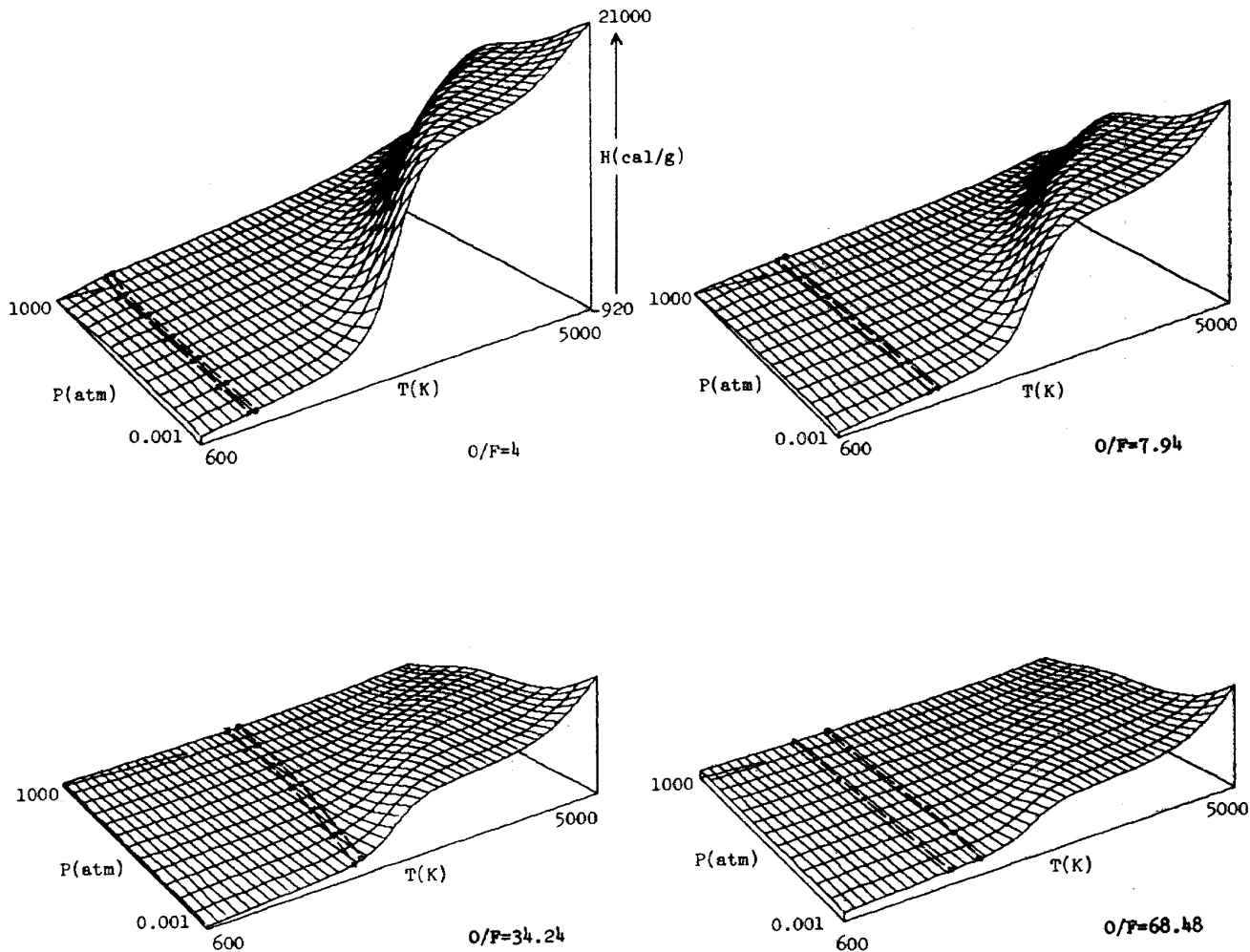


図 A-2-2

エンタルピ(H)は、低圧高温になるに従い大きくなる。 $\%_{\text{F}}$ の増加とともにH変化の幅は小さくなる。 $\%_{\text{F}} = 4$ と68.48の最大値は21000と6800 (cal/g)である。 $\%_{\text{F}}$ が大きくなるにつれ、空気を予熱した場合と常温の場合の断熱火炎温度の差が大きくなる。600°Cの空気のHは、 $\%_{\text{F}}$ とともに大きくなっているが100 (cal/g)強とあまり変りがない。これは温度の上昇に対するHの増加の割合が $\%_{\text{F}}$ が大きくなるに従って小さくなるためである。

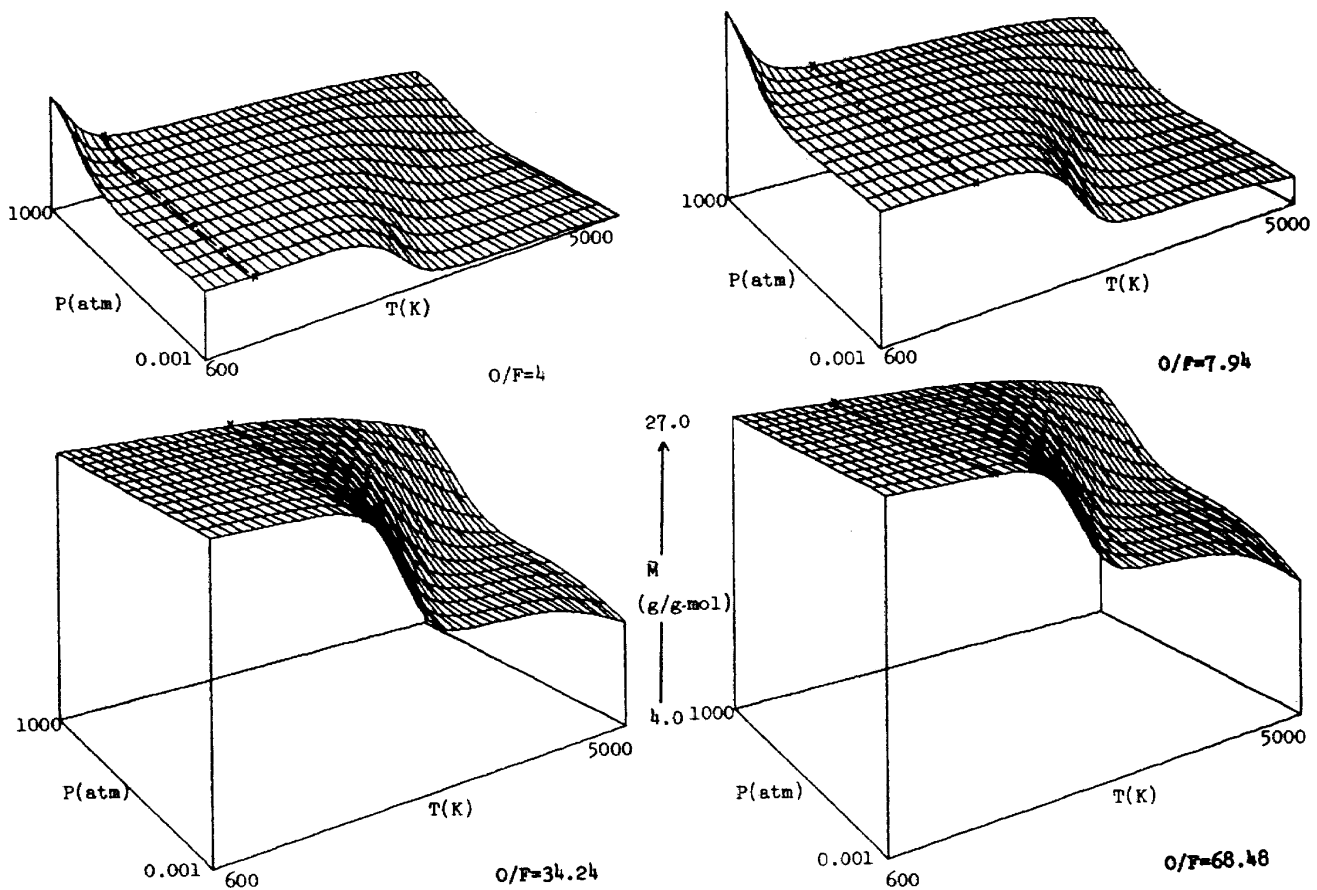
平均分子量 (\bar{M})

図 A-2-4

平均分子量 (\bar{M}) は、 $\%_F$ の増加とともに大きくなる。低压側で \bar{M} の著しく変化する温度があり、これは $\%_F$ に無関係ではほぼ一定値を示す。この温度は 0.001 atm で約 2400 K である。 $\%_F = 4, 7.94$ の高圧の 1000 K 以下の領域で \bar{M} のピークがある。これは図 C-2-3, 図 C-2-6 より NH₃ の生成があり H₂ が減少するためである。低压の 4500 K 以上の領域で \bar{M} が低下する。 $\%_F$ が増加するにつれこの傾向は顕著となる。図 C-2-1 ~ 図 C-2-10 によると、ここで N₂ の解離による N の生成がある。

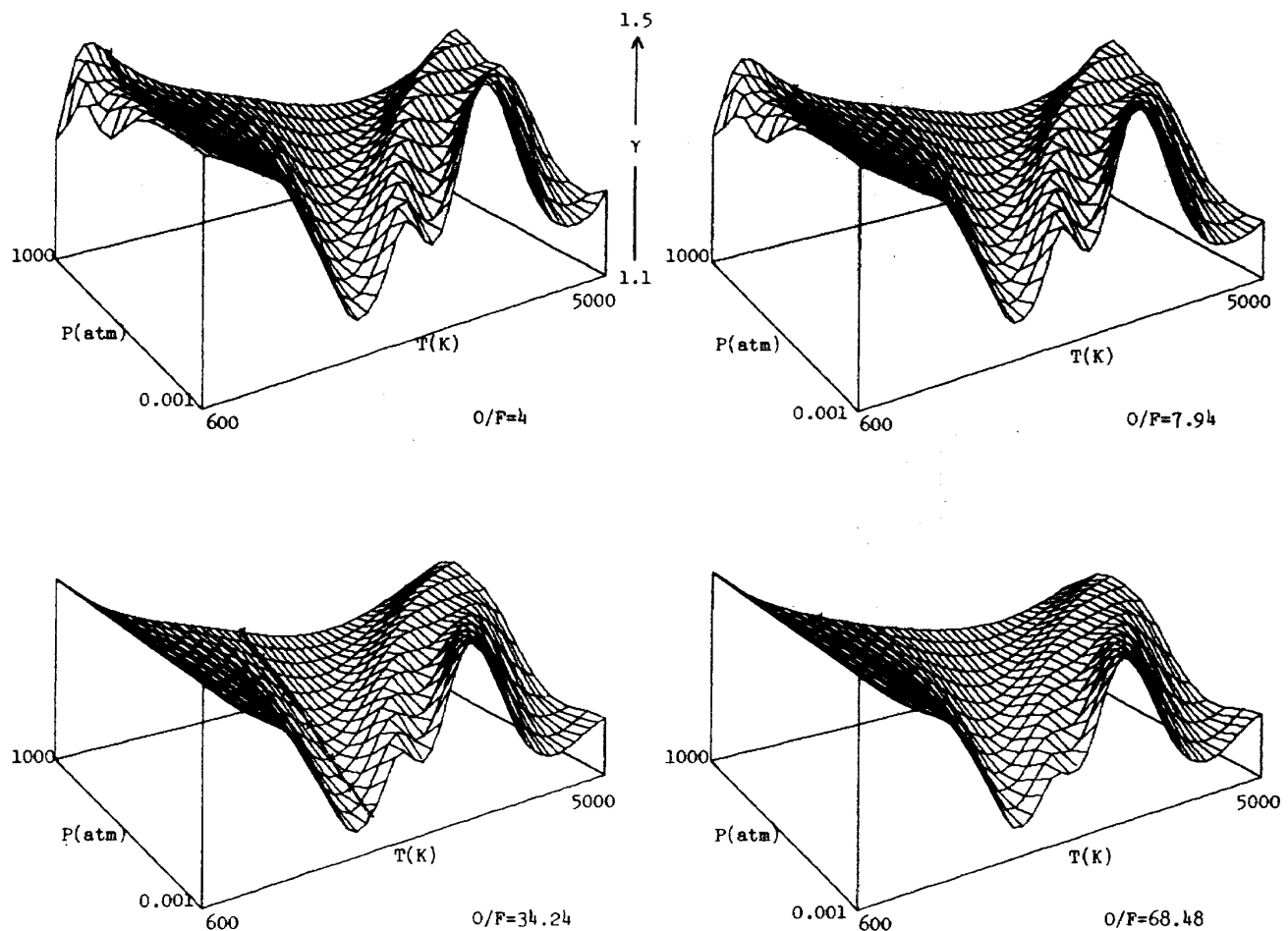
比 熱 比 (γ)

図 A - 2 - 7

比熱比 (γ) は、温度の上昇とともに一旦減少し、続いて小さな鞍部、さらに大きな鞍部を経て減少する。 $O/F = 4, 7.94$ の高圧の 1000 K以下の領域にも鞍部があるが $O/F = 34.24, 68.48$ ではみられない。図 C-2-1～図 C-2-12を比較すると NH₃の生成に関係していることがわかる。他の鞍部は断熱火炎温度以上で表われる。断熱火炎温度以下の γ の変化は、量論比で最も大きくその変動幅はほぼ 20%である。

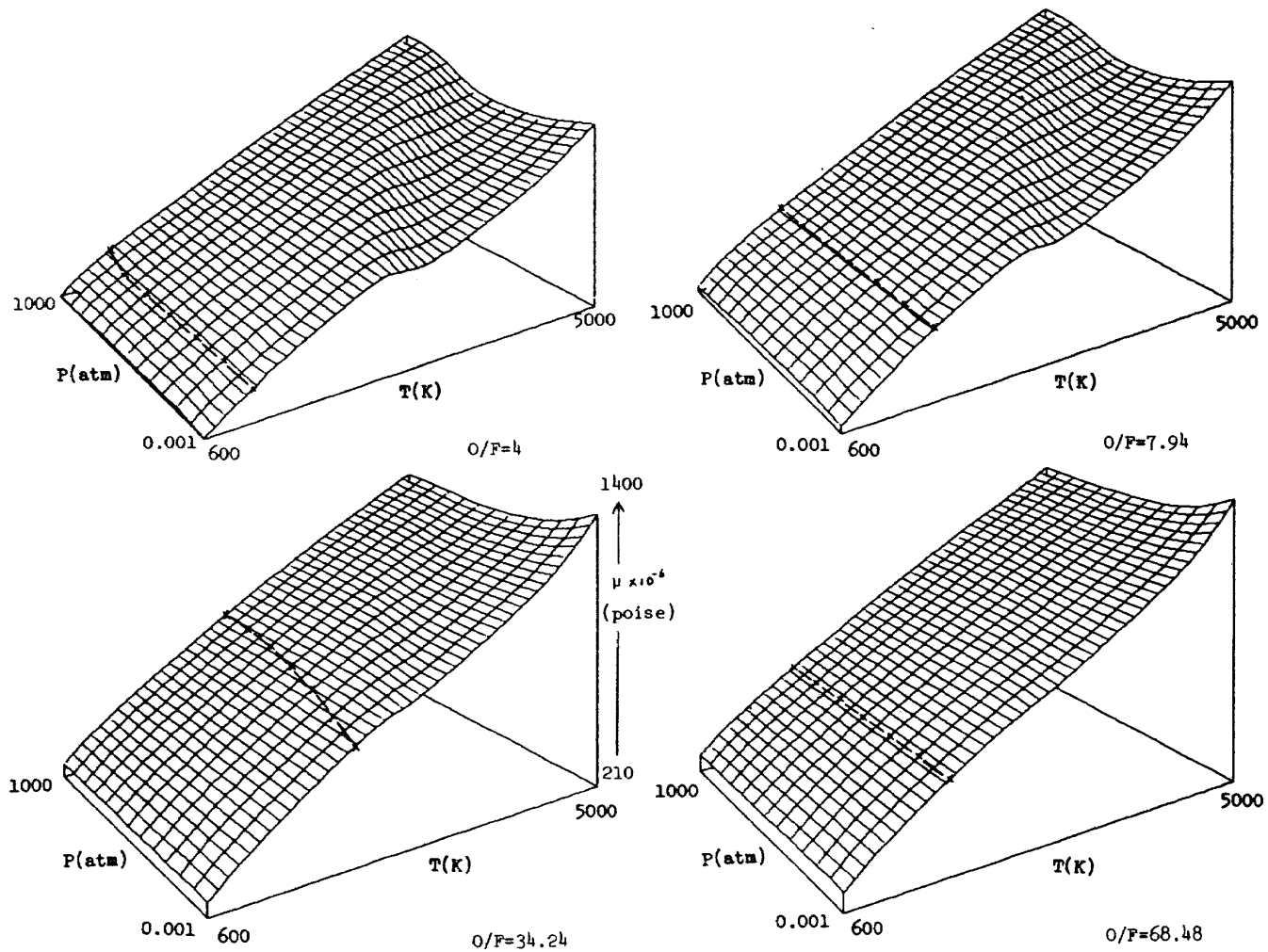
粘 度 (μ)

図 A - 2 - 9

粘度 (μ) は、 $\%_F$ の增加とともに大きくなる傾向にある。温度の上昇とともに μ は大きくなるが $\%_F = 4, 7.94$ のように $\%_F$ が小さい場合、低圧の約 2600 K 近傍で一旦とまり再び増加する。これは H_2 の解離に起因する。 $\%_F$ が大きい場合、低圧高温での明らかな μ の増大がある。これは空気中の N_2 の解離による。

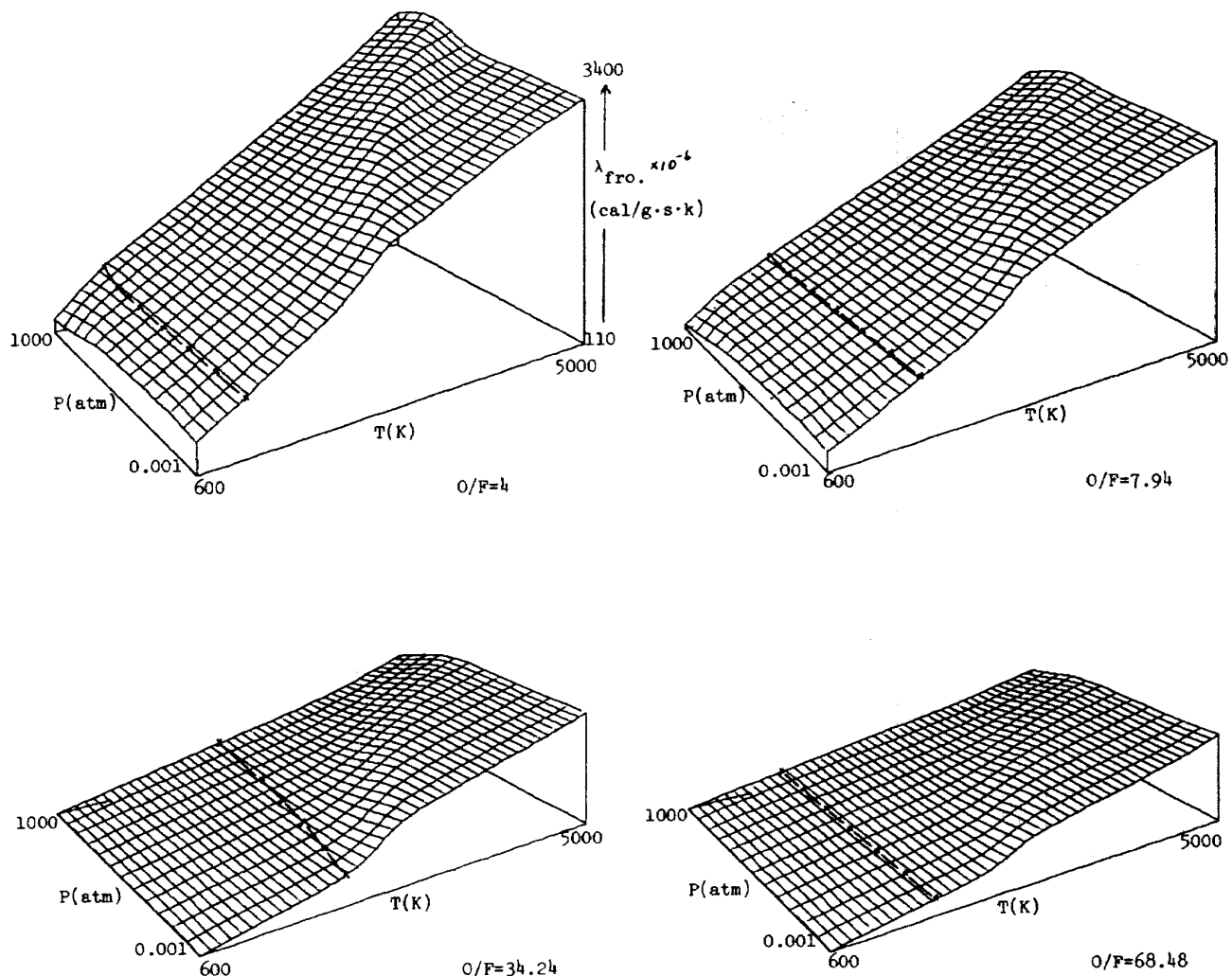
熱伝導率 - 凍結 ($\lambda_{fro.}$)

図 A-2-12

熱伝導率一凍結 ($\lambda_{fro.}$) は、 $\frac{O}{F}$ の増加とともに小さくなる。温度の上昇とともに $\lambda_{fro.}$ は大きくなり温度・圧力による変化のパターンは、どの $\frac{O}{F}$ においてもほぼ同一である。 $\frac{O}{F} = 4, 7.94$ の高圧の 1000 K 以下の領域で $\lambda_{fro.}$ はやや減少する。これは図 C-2-3, 図 C-2-6 で示すように NH₃ が生成するためである。

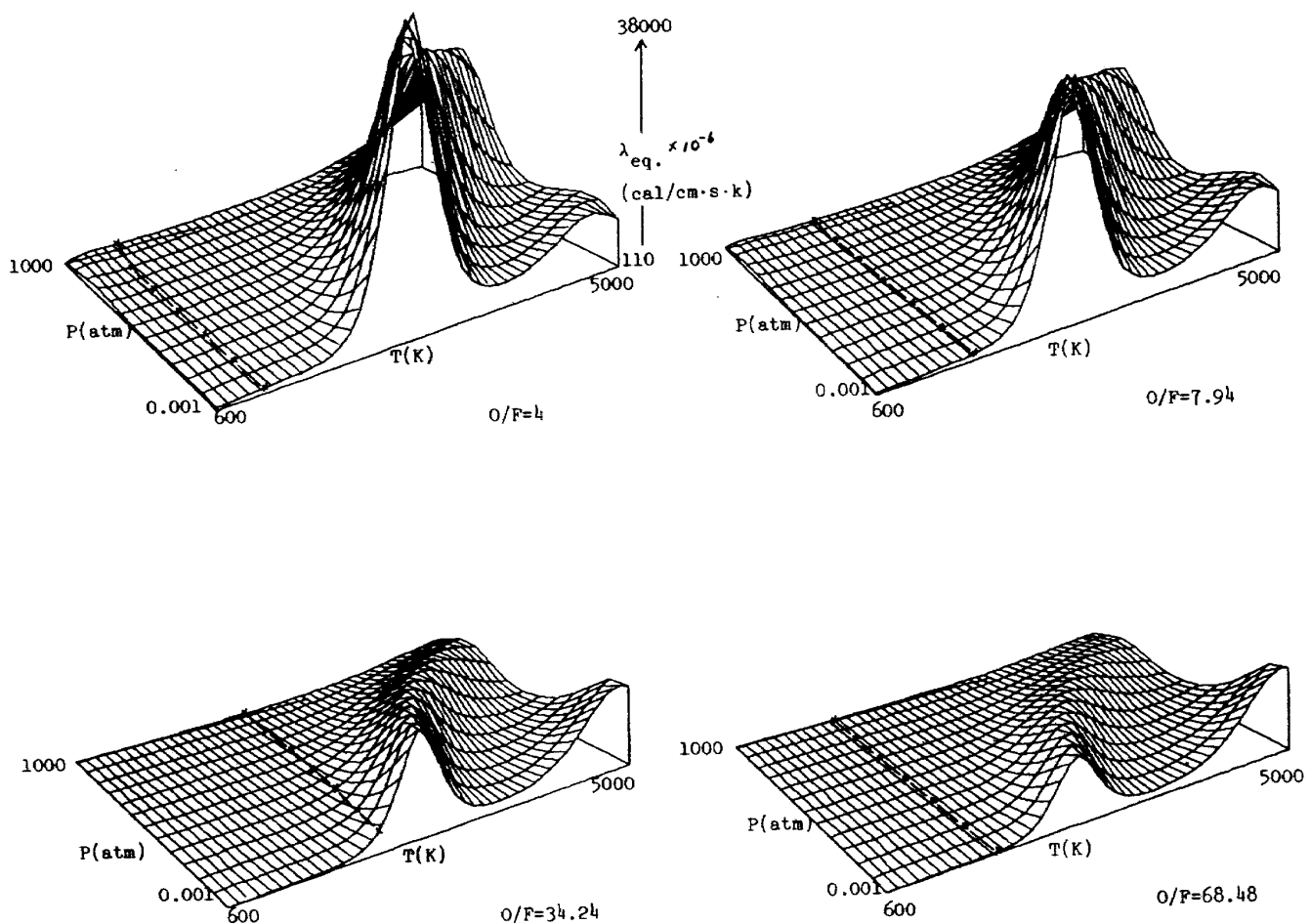
熱伝導率 - 平衡 ($\lambda_{eq.}$)

図 A - 2 - 14

熱伝導率-平衡 ($\lambda_{eq.}$) は、 $\frac{O}{F}$ の増加とともに減少する。 $\frac{O}{F} = 4$ の低圧では、 H_2 の解離および N_2 の解離による 2 つの山がある。これに対し $\frac{O}{F} = 68.48$ では、同様に 2 つの山があるが最初の山は H_2O と O_2 の解離によるものに転じている。各 $\frac{O}{F}$ について N_2 の解離に伴う山がほぼ一定なに対し、 H_2 あるいは H_2O と O_2 の解離に伴う山の高さは著しく変化している。これらの山はすべて断熱火炎温度以上にあらわれる。

比熱 - 凍結 ($c_{p,fro.}$)

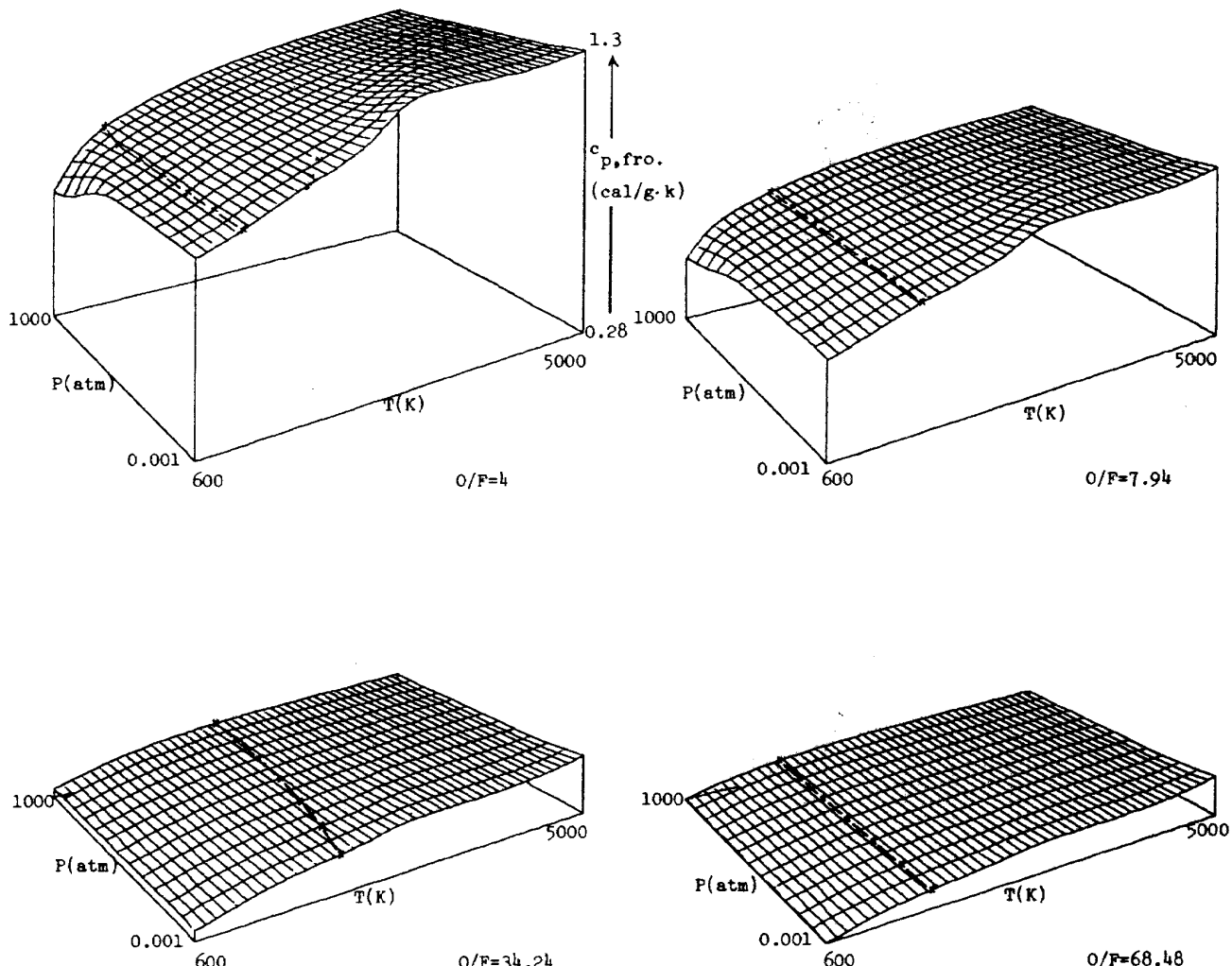


図 A - 2 - 15

比熱一凍結 ($c_{p,fro.}$) は、 $\%_F$ の増加とともに減少する。単位を $\text{cal}/\text{mol}\cdot\text{K}$ に変換すると量論比 ($\%_F = 34.24$) で最大値をとり図 A-2-15と異なった傾向を示す。単位変換を行なうには燃焼ガスの平均分子量図、図 B-2-4-1～図 B-2-4-4 を用いればよい。 $\%_F = 34.24, 68.48$ では圧力に対してほぼフラットな面となる。 $\%_F = 4, 7.94$ の高圧の 1000 K以下の領域で $c_{p,fro.}$ が低下する。これは図 C-2-3、図 C-2-6 で示すように NH_3 が生成するためである。

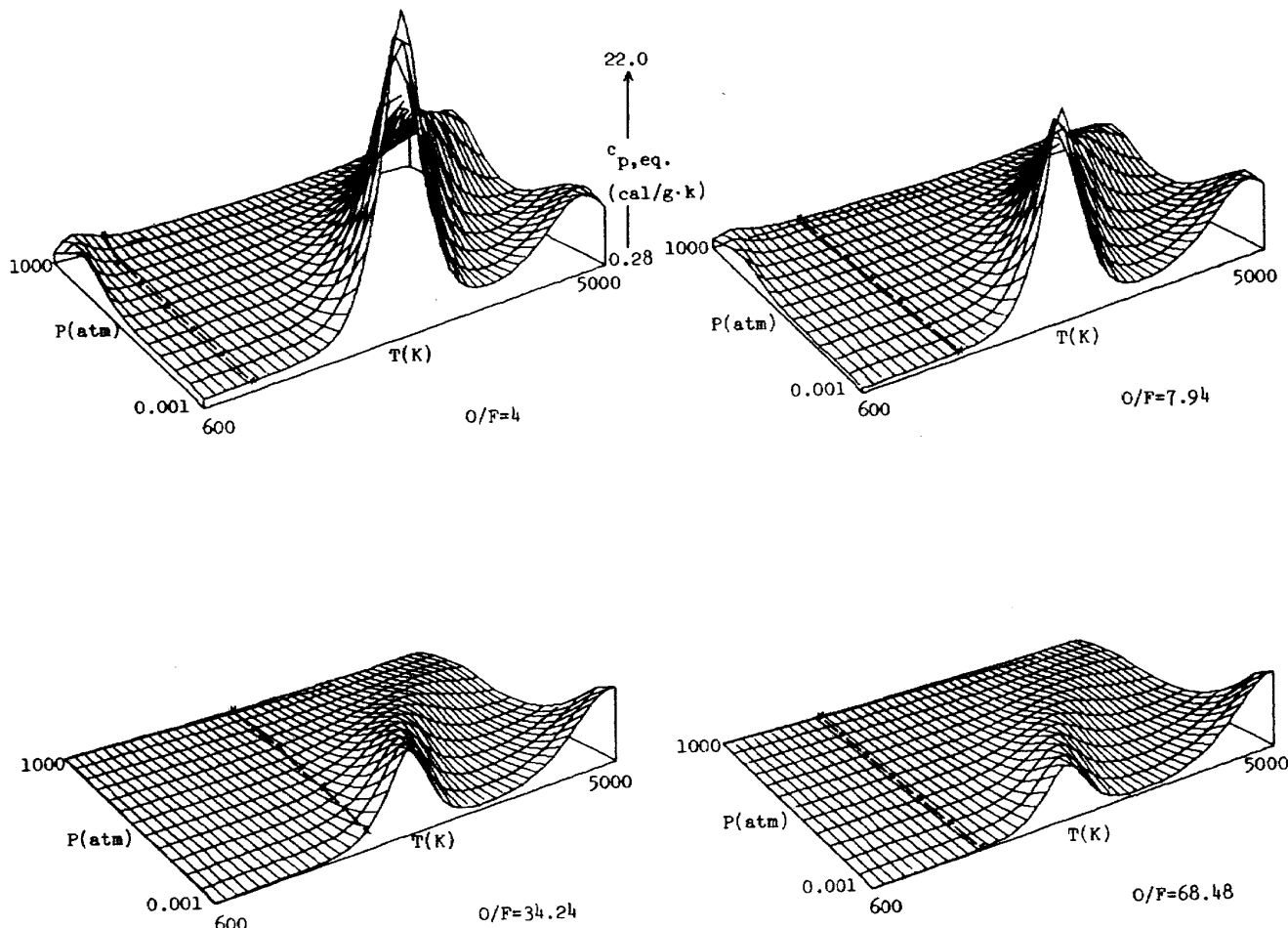
比熱 - 平衡 ($c_{p,\text{eq.}}$)

図 A-2-16

比熱-平衡 ($c_{p,\text{eq.}}$) は、 $\%_F$ の増加とともに減少する。低压では2つのピークが顕著である。 $\%_F = 4, 7.94$ の最初のピークは H_2 の解離によるもので、 $\%_F = 34.24, 68.48$ の最初のピークは H_2O と O_2 の解離によるものである。低压における第2のピークはともに N_2 の解離によるものである。 $\%_F = 4, 7.94$ の高压の 1000 K 以下の領域でも比較的小さな山がみられる。これは NH_3 の生成に起因する。この部分を除くと、断熱火炎温度以下では変化が少ない。

プラントル数 - 凍結 (Pr,fro.)

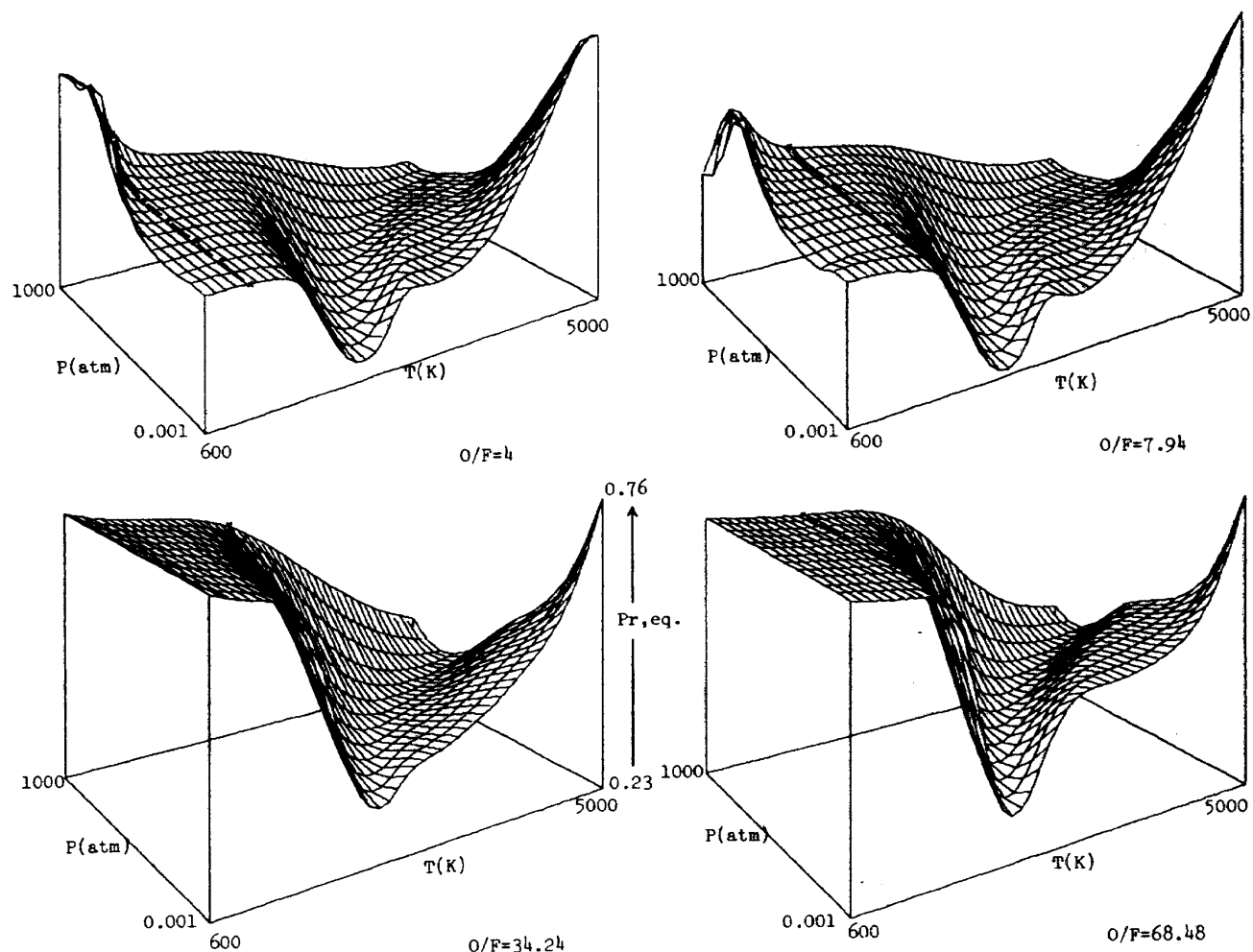


図 A - 2 - 17

プラントル数 - 凍結 (Pr,fro.) は、 $\%_F$ の増加とともに大きくなる。 $\%_F = 4, 7.94$ の高圧の 1000 K 以下の領域で Pr,fro. は急激に上昇する。又低圧高温ではゆるやかに Pr,fro. が上昇している。後者は N₂ の解離によるもので各 $\%_F$ で共通である。前者は NH₃ の生成によるもので $\%_F$ が大きくなると消える。 $\%_F = 4, 7.94$ で低温 (高圧の 1000 K 以下を除く) で、Pr,fro. が低いのは H₂ の割合が高いためである。

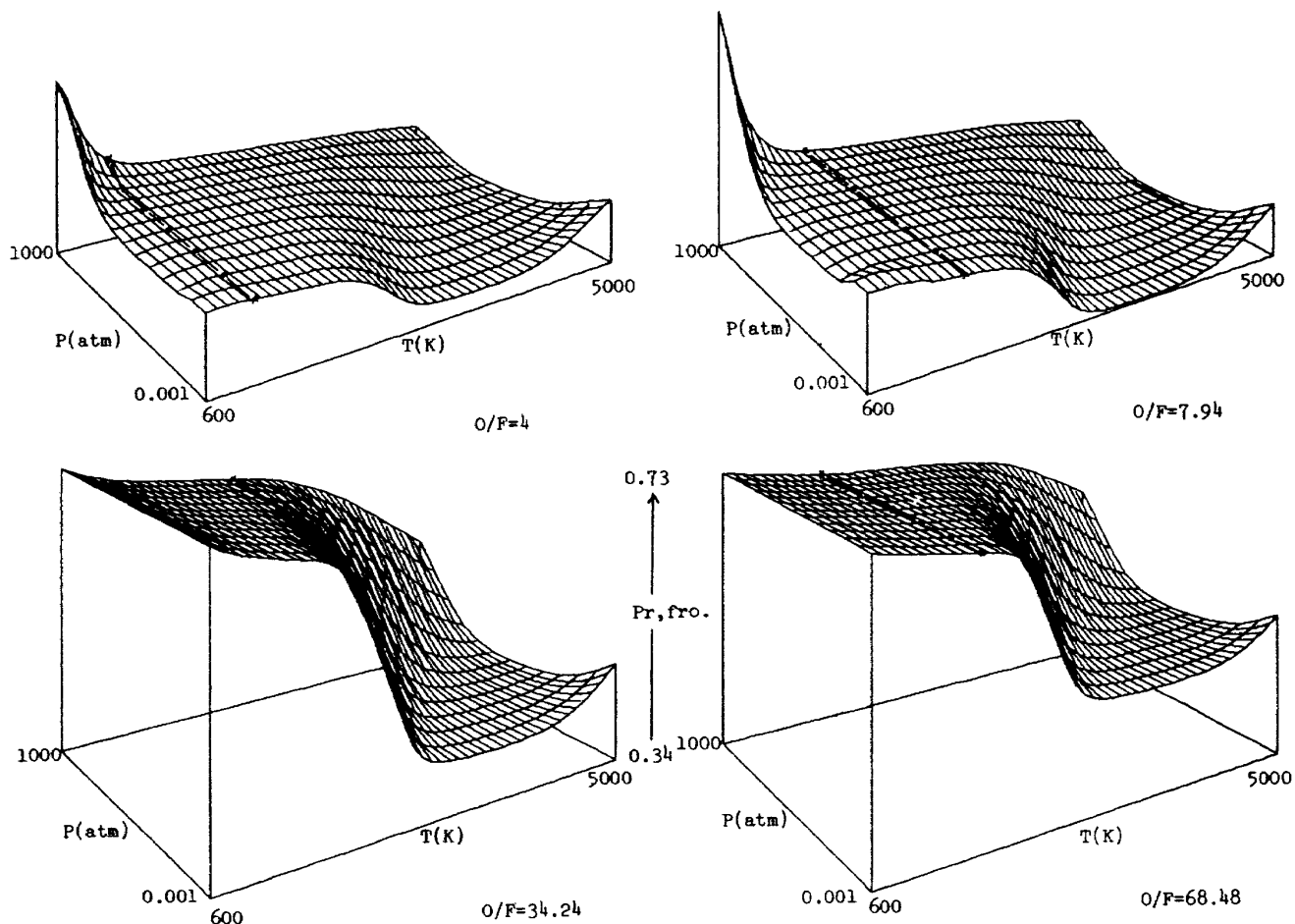
プラントル数 - 平衡 ($Pr_{eq.}$)

図 A-2-18

プラントル数-平衡 ($Pr_{eq.}$) は、低温の領域を除き $\frac{\%}{F}$ の変化に対してパターンはほぼ同一である。低圧高温の $Pr_{eq.}$ は、 N_2 の解離に伴い急激に上昇する。 $\frac{\%}{F} = 4, 7.94$ で低温（高圧の 1000 K 以下を除く）で $Pr_{eq.}$ が低い。これは H_2 の割合が高いためである。断熱火炎温度以下の $Pr_{eq.}$ の変化は、量論比で最も大きい。0.001 atm で $Pr_{eq.}$ は、温度が下がると断熱火炎温度値のはば 2.3 倍になる。

— 平面図による物性値の読みとり —

物性値は、温度を横軸に圧力を補助パラメータとする
付録 2 の平面図から精度よく読みとることができる。

物性値は、平衡組成と密接に関係するため代表的な圧

力 3 点を選んで平衡組成図も示した。

付録 2 の平面図および平衡組成図は下記の表 9 に示した。

ページ	図番号	系	物性値	混合比 (%)
73	B-2-2-1	H ₂ -Air	H	4
"	B-2-4-1	"	M̄	"
74	B-2-7-1	"	r	"
"	B-2-9-1	"	μ	"
75	B-2-14-1	"	λ eq.	"
"	B-2-16-1	"	c _p , eq.	"
76	B-2-17-1	"	Pr, fro.	"
"	B-2-18-1	"	Pr, eq.	"
77	B-2-2-2	"	H	7.94
"	B-2-4-2	"	M̄	"
78	B-2-7-2	"	r	"
"	B-2-9-2	"	μ	"
79	B-2-14-2	"	λ eq.	"
"	B-2-16-2	"	c _p , eq.	"
80	B-2-17-2	"	Pr, fro.	"
"	B-2-18-2	"	Pr, eq.	"
81	B-2-2-3	"	H	34.24
"	B-2-4-3	"	M̄	"
82	B-2-7-3	"	r	"
"	B-2-9-3	"	μ	"
83	B-2-14-3	"	λ eq.	"
"	B-2-16-3	"	c _p , eq.	"
84	B-2-17-3	"	Pr, fro.	"
"	B-2-18-3	"	Pr, eq.	"

ページ	図番号	系	物性値	混合比 (%)
85	B-2-2-4	H ₂ -Air	H	68.48
"	B-2-4-4	"	M̄	"
86	B-2-7-4	"	r	"
"	B-2-9-4	"	μ	"
87	B-2-14-4	"	λ eq.	"
"	B-2-16-4	"	c _p , eq.	"
88	B-2-17-4	"	Pr, fro.	"
"	B-2-18-4	"	Pr, eq.	"

ページ	図番号	系	混合比 (%)	圧力 (atm)
89	C-2-1	H ₂ -Air	4	0.01
"	C-2-2	"	"	1
"	C-2-3	"	"	100
90	C-2-4	"	7.94	0.01
"	C-2-5	"	"	1
"	C-2-6	"	"	100
91	C-2-7	"	34.24	0.01
"	C-2-8	"	"	1
"	C-2-9	"	"	100
92	C-2-10	"	68.48	0.01
"	C-2-11	"	"	1
"	C-2-12	"	"	100

表 9

4.4 H₂-O₂-Air 系

立体図の混合比(酸素+空気中の酸素・水素重量比)は、3.3節で説明したようにH₂-O₂系の($\%_F$)_{Primary}=2に空気を加えたH₂-O₂-Air系の($\%_F$)_{Final}が水素過剰な2点($\%_F$)_F=4, 6, 量論比に近い($\%_F$)_F=8および酸素過剰な($\%_F$)_F=10を選んだ。空気を加えることによ

りより($\%_F$)_P=4, 6……でも、この場合とほぼ同様の効果を示している。

エンタルビの立体図には表7の予熱空気(600 °C)による断熱火炎温度を「○—○—○」印で示した。

—立体図による傾向の把握—

エンタルビ(H)

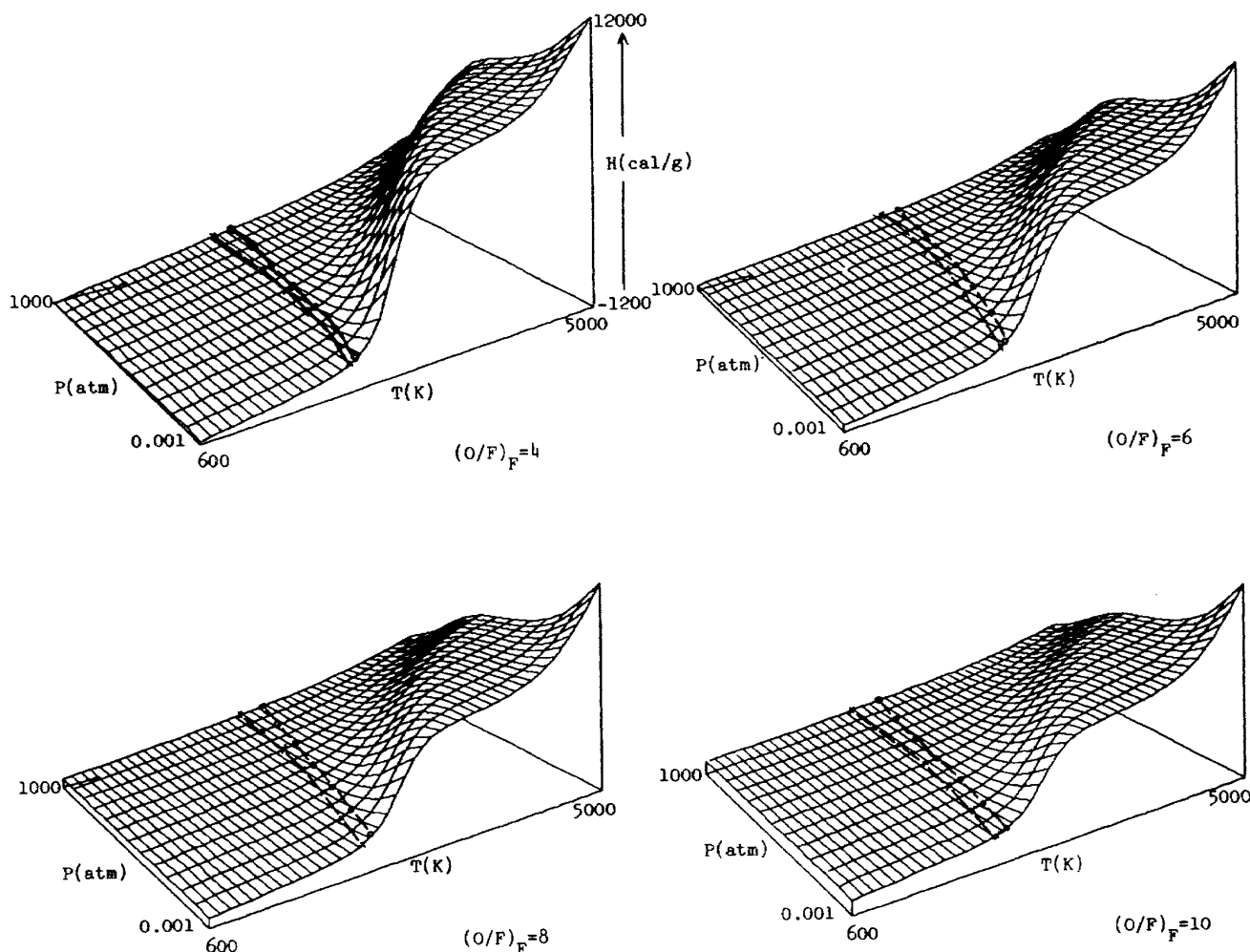


図 A-3-2

エンタルビ(H)は、低圧高温になるに従って大きくなる。 $(\%_F)_F$ の増加とともにHの変化の幅は小さくなるが変化のパターンは変わらない。Hが激しく変化する個所の温度・圧力は $(\%_F)_F$ に関係なくほぼ一定である。同図から常温以上の加熱系では、Hの増分に対する断熱火炎温度の上昇率は圧力が低いほど、又 $(\%_F)_F$ が小さいほど大きい事がわかる。

平均分子量 (\bar{M})

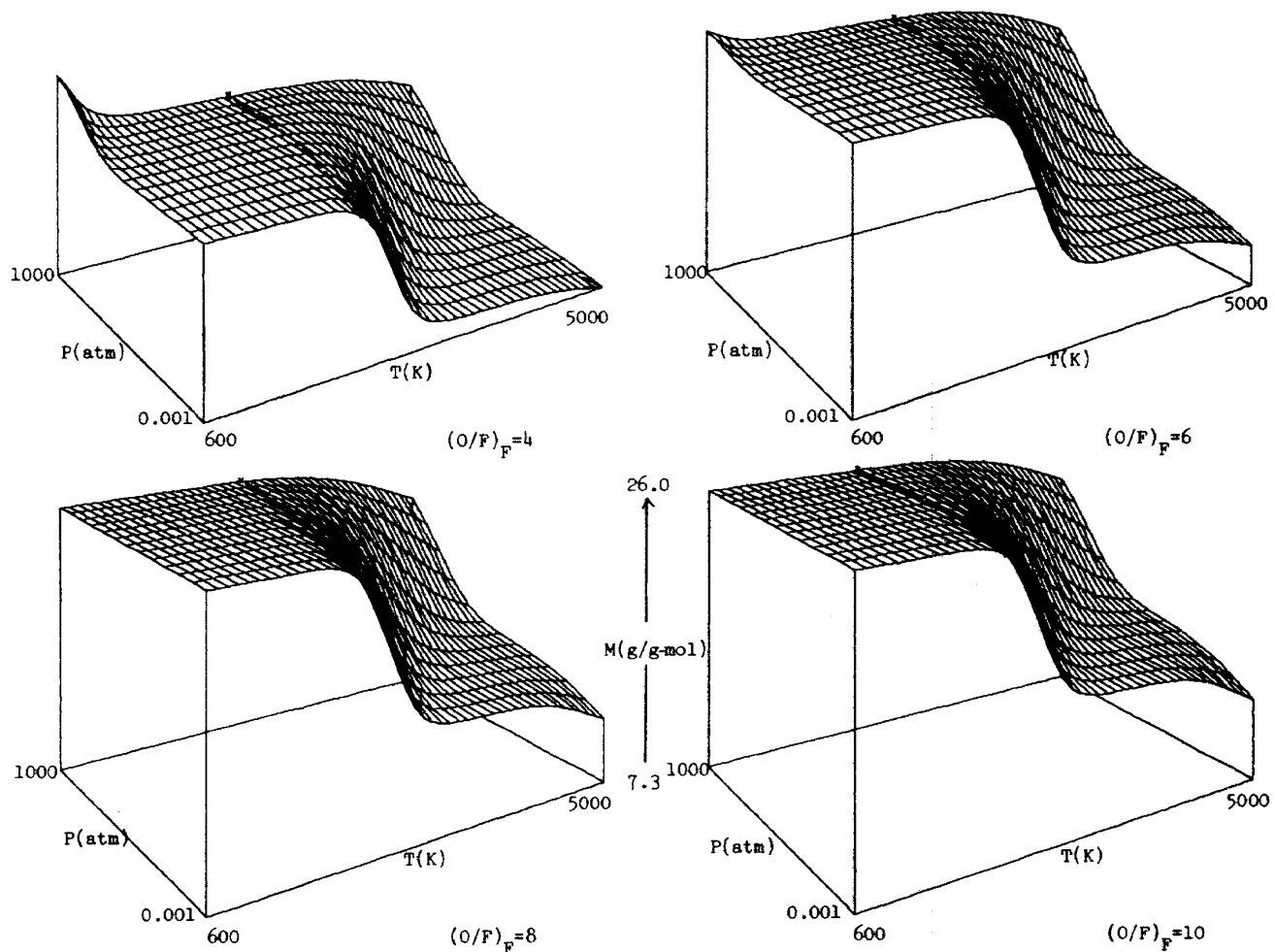


図 A - 3 - 4

平均分子量 (\bar{M}) は、 $(O/F)_F$ が増加するとともに大きくなる。低温側では圧力に関係なく一定値をとる。例えば $(O/F)_F = 8$ における \bar{M} は、図 B - 3 - 4 - 3 より約 24.3 ($\frac{g}{\text{mol}}$) である。ただし $(O/F)_F$ の小さい高圧の 1000 K 以下で \bar{M} の上昇がみられる。これは図 C - 3 - 3, 図 C - 3 - 6 より NH_3 が生成し、 H_2 が減少しているためである。高温低压で \bar{M} が低下している。これは図 C - 3 - 1 ~ 図 C - 3 - 10 をみると H, O 等が生成しているためである。

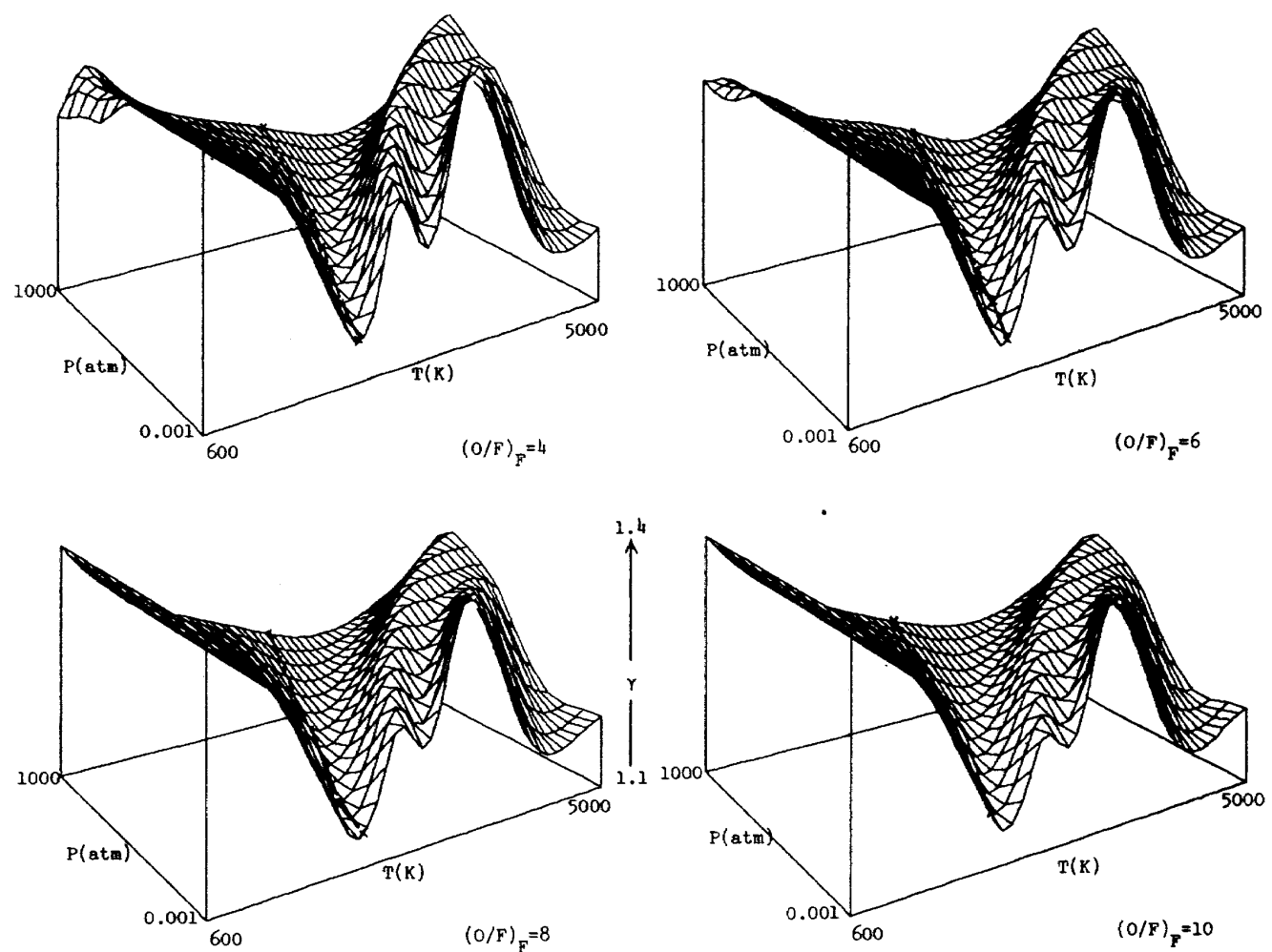
比 熱 比 (γ)

図 A - 3 - 7

比熱比 (γ) は、温度の上昇とともに一旦減少し、続いて小さな鞍部さらに大きな鞍部を経て減少する。 $(O/F)_F$ の小さな高圧の 1000 K 以下の領域にも鞍部があるが $(O/F)_F$ の大きなところではみられない。図 C-3-3, 図 C-3-6 をみると NH_3 が生成している。他の鞍部は断熱火炎温度以上で表われている。断熱火炎温度以下の γ は、 $(O/F)_F$ に関係なく最小値に対しほぼ 1.2 倍変化する。

粘 度 (μ)

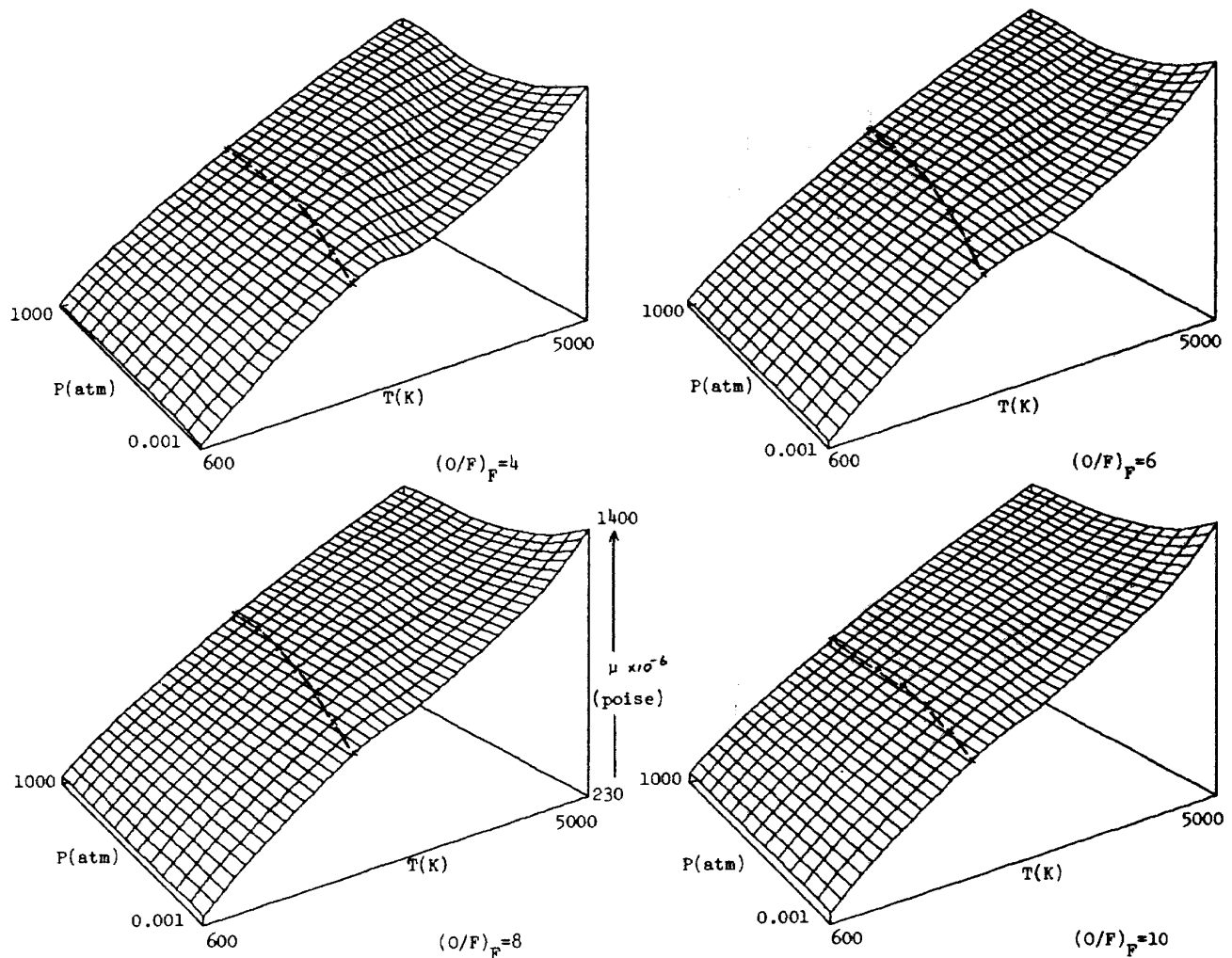


図 A - 3 - 9

粘度 (μ) は、 $(\%)_F$ の増加とともに大きくなる傾向にある。低圧の場合、 μ は温度の上昇とともに大きくなるが約 2600 K 近傍で一旦とまり再び増加する。これは図 C-3-1 ~ 図 C-3-10 からわかるように H_2 の解離による組成変化に起因する。高温で圧力が低下するにつれて μ が若干増加している。これは空気中の N_2 の解離によるものである。圧力が高くなると解離温度が高くなるため、図の範囲では単調増加となっている。

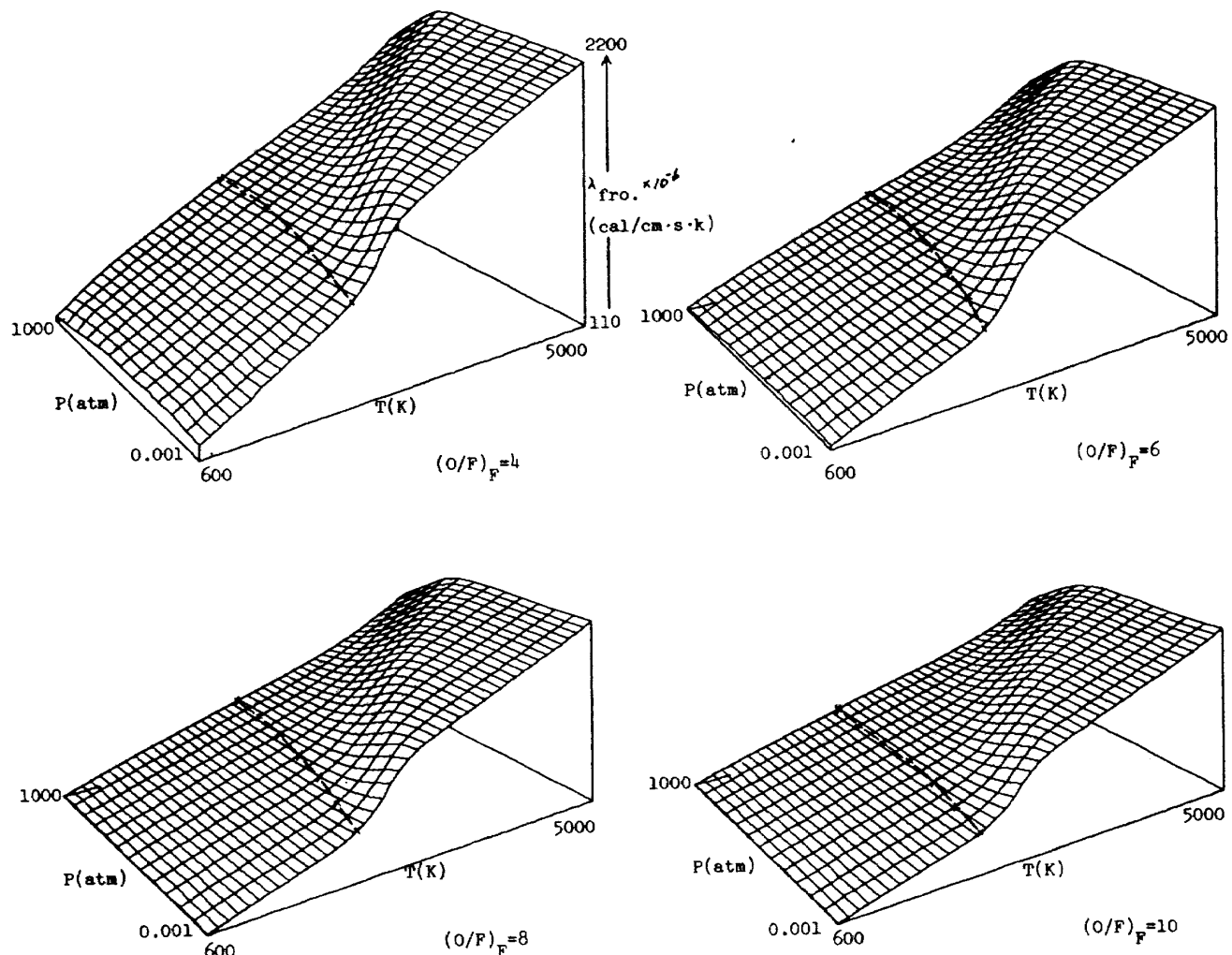
熱伝導率 - 凍結 ($\lambda_{fro.}$)

図 A - 3 - 12

熱伝導率-凍結 ($\lambda_{fro.}$) は、 $(O/F)_F$ の増加とともに小さくなる。温度の上昇とともに $\lambda_{fro.}$ は、大きくなり変化のパターンはどの $(O/F)_F$ においてもほぼ同様である。低温側では圧力に関してほぼフラットな面をもつている。ただし $(O/F)_F$ の小さい高圧の 1000 K 以下で $\lambda_{fro.}$ は、やや減少している。これは NH₃ の生成によるものである。

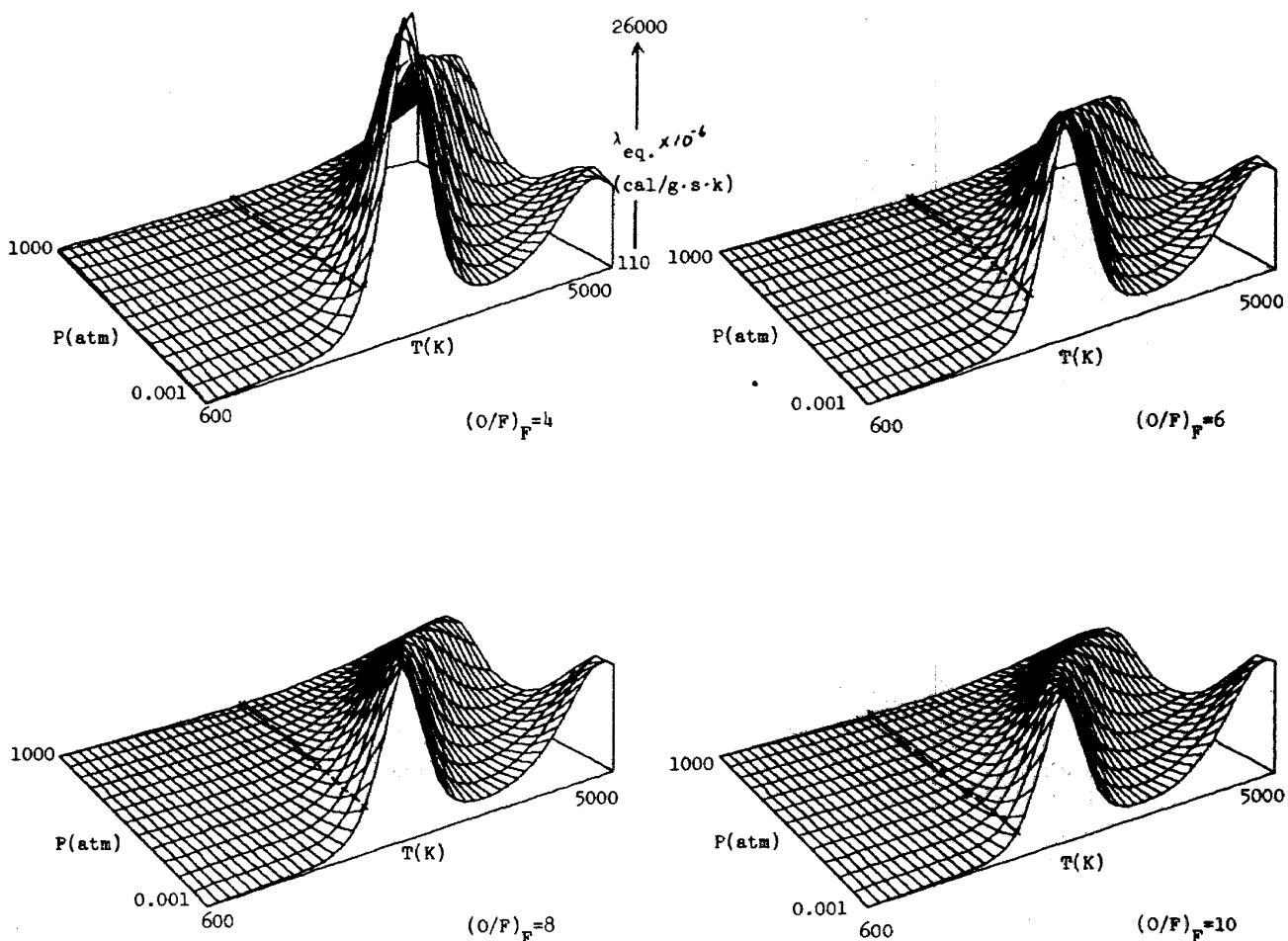
熱伝導率 - 平衡 ($\lambda_{eq.}$)

図 A-3-14

熱伝導率一平衡 ($\lambda_{eq.}$) は、 $(\frac{O}{F})_F$ の増加とともに減少する。低压側で 2 つのピークが顕著である。最初のピークは $(\frac{O}{F})_F$ が小の場合は H_2 と H_2O の解離によるもので、 $(\frac{O}{F})_F$ が大になると H_2O と O_2 の解離によるものに転じている。ピーク値は $(\frac{O}{F})_F$ が小の場合の方が高い。例えば 0.001 atmにおいて $(\frac{O}{F})_F = 4$ と 10 では、図 B-3-14-1 と 図 B-3-14-4 よりそれぞれ 25000×10^{-6} と $11700 \times 10^{-6} (\text{cal/g·s·K})$ である。後のピークは N_2 の解離に伴うものでピーク値の変動は少ない。図 B-3-14-1 ~ 図 B-3-14-4 でも明らかなように低温側では、 $\lambda_{fro.}$ と $\lambda_{eq.}$ は一致する。

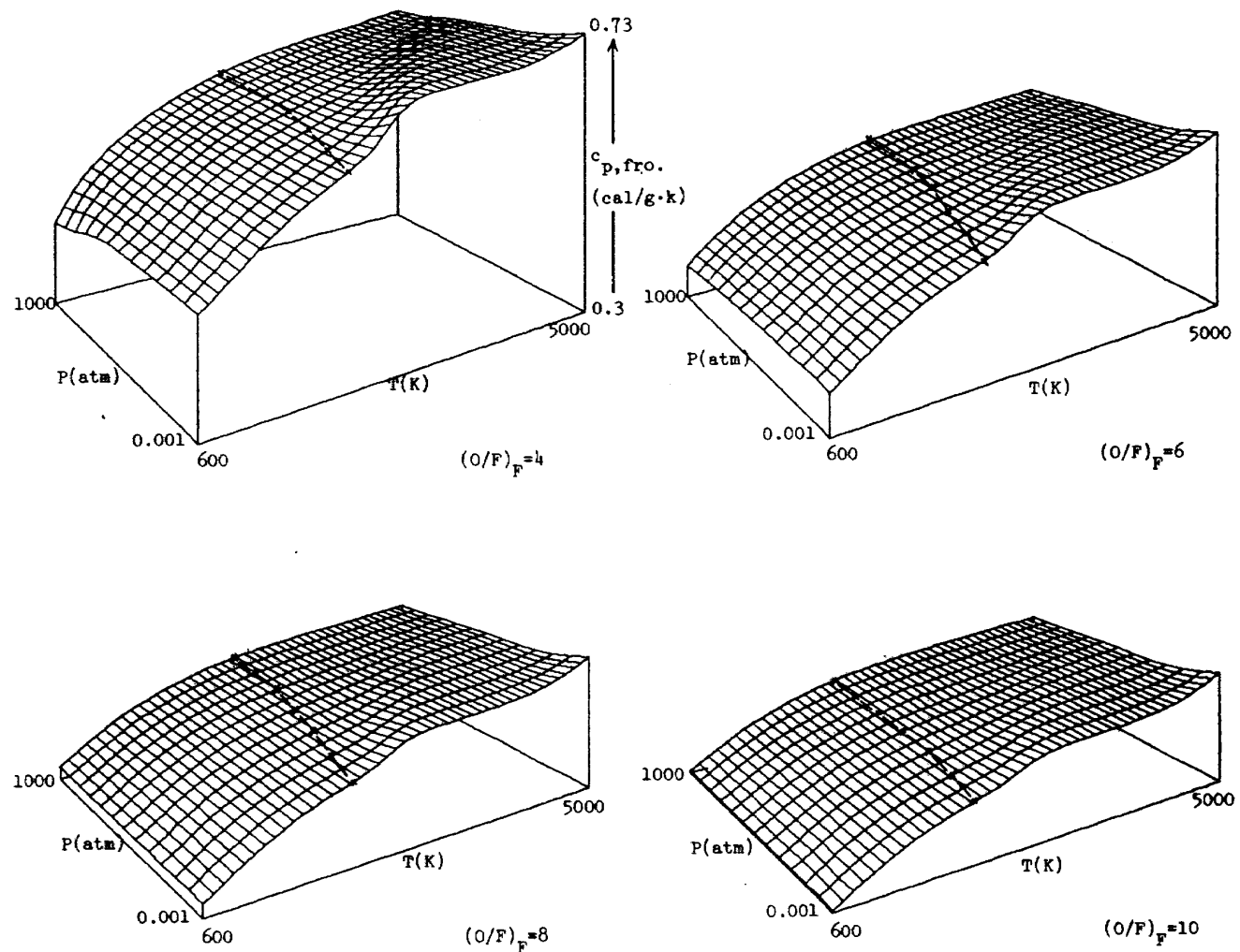
比熱-凍結 ($c_{p,fro.}$)

図 A - 3 - 15

比熱-凍結 ($c_{p,fro.}$) は、 $(\%)_F$ の増加とともに減少している。 $(\%)_F$ の変化に対し $c_{p,fro.}$ の変化のパターンはほぼ同一である。ただし $(\%)_F$ の小さい高圧の1000K以下では NH₃ の生成がみられここで $c_{p,fro.}$ が低下している。単位を $\text{cal}/\text{mol}\cdot\text{K}$ に変換すると量論比で最大値をとり図 A-3-15と異なった傾向を示す。単位変換を行なうには燃焼ガスの平均分子量図、図 B-3-4-1～図 B-3-4-4 を用いればよい。

比熱 - 平衡 ($c_p, eq.$)

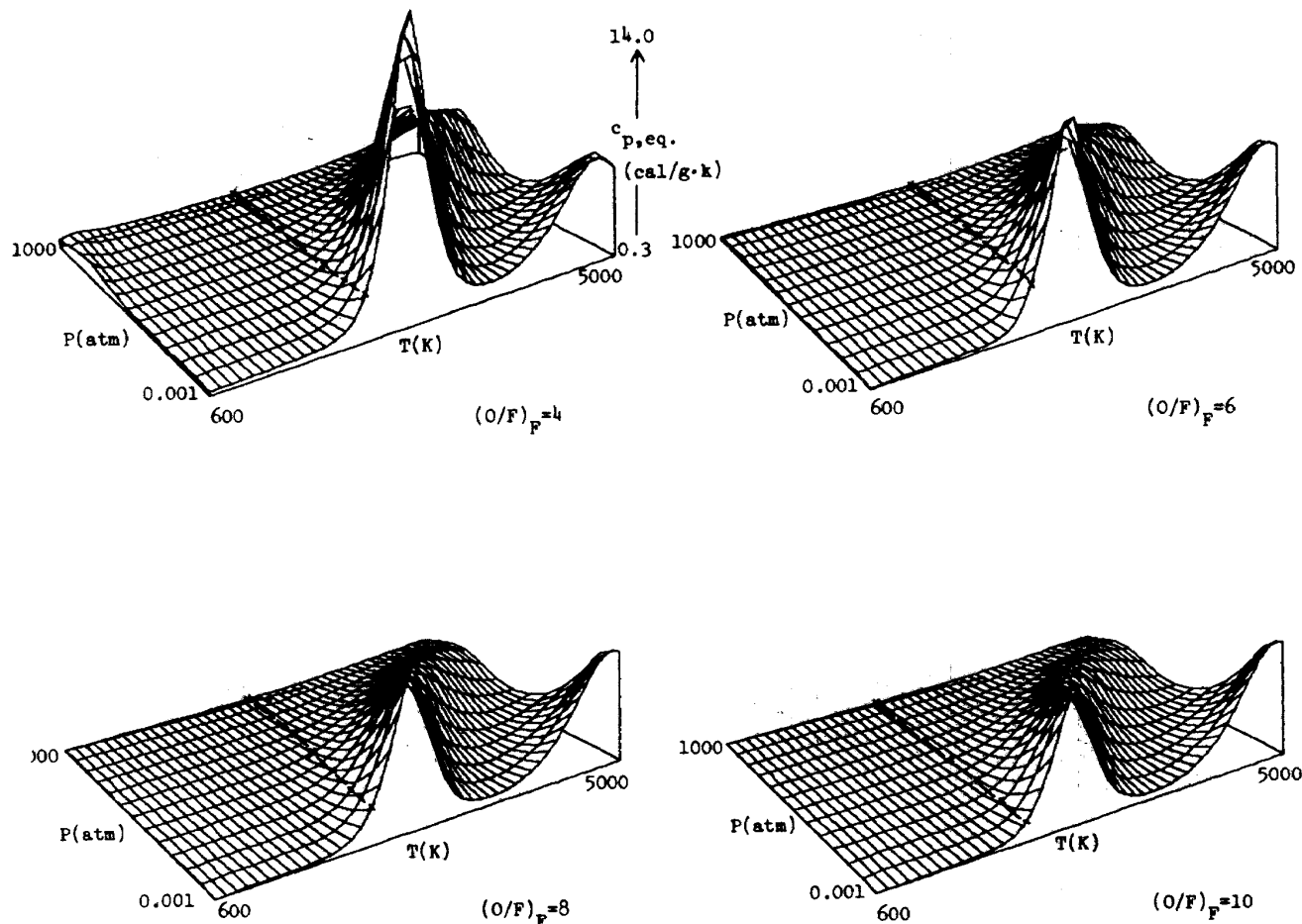


図 A - 3 - 16

比熱-平衡 ($c_{p, eq.}$) は、 $(\%_F)_F$ の増加とともに減少する。低压側で2つのピークが顕著である。最初のピークは $(\%_F)_F$ が小の場合は H_2 と H_2O の解離によるもので、 $(\%_F)_F$ が大になると H_2O と O_2 の解離によるものに転じている。ピーク値は $(\%_F)_F$ が小の場合の方が高い。例えば 0.001 atmにおいて $(\%_F)_F = 4$ と 10では、図 B - 3 - 16 - 1 と 図 B - 3 - 16 - 4 よりそれぞれ 13.2 と 5.5 ($\text{cal/g}\cdot\text{K}$) である。後のピークは N_2 の解離に伴うものでピーク値の変動は少ない。図 B - 3 - 16 - 1 ~ 図 B - 3 - 16 - 4 でも明らかのように低温側で $c_{p, eq.}$ は、 $(\%_F)_F$ の小さい高圧の 1000K 以下を除き $c_{p, fro.}$ とはほぼ一致する。断熱火炎温度以下では $c_{p, eq.}$ の変化は少ない。

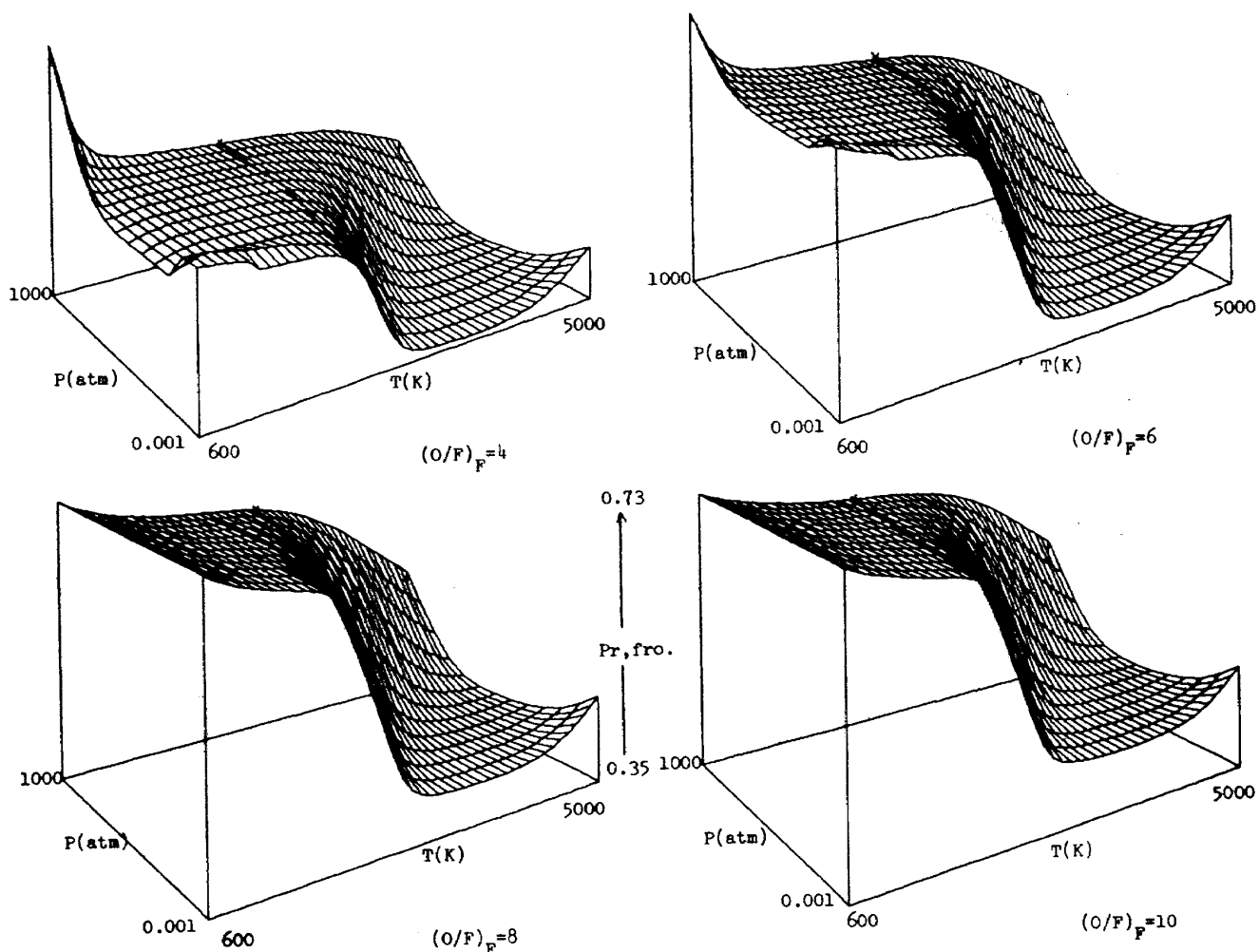
プラントル数 - 凍結 ($Pr_{fro.}$)

図 A - 3 - 17

プラントル数-凍結 ($Pr_{fro.}$) は、 $(\frac{O}{F})_F$ の増加とともに大きくなる。 $(\frac{O}{F})_F$ の小さい高圧の 1000 K 以下の領域で $Pr_{fro.}$ は急激に上昇する。NH₃ の生成によるもので $(\frac{O}{F})_F$ が大きくなるとこの傾向は消える。低圧高温の領域で $Pr_{fro.}$ は低下している。これは図 C-3-1～図 C-3-10をみると H, O が生成しているためである。断熱火炎温度以下のほぼ平坦な面の値は、図 B-3-17-1～図 B-3-17-4 から各 $(\frac{O}{F})_F$ について 0.51, 0.61, 0.69, 0.69 である。

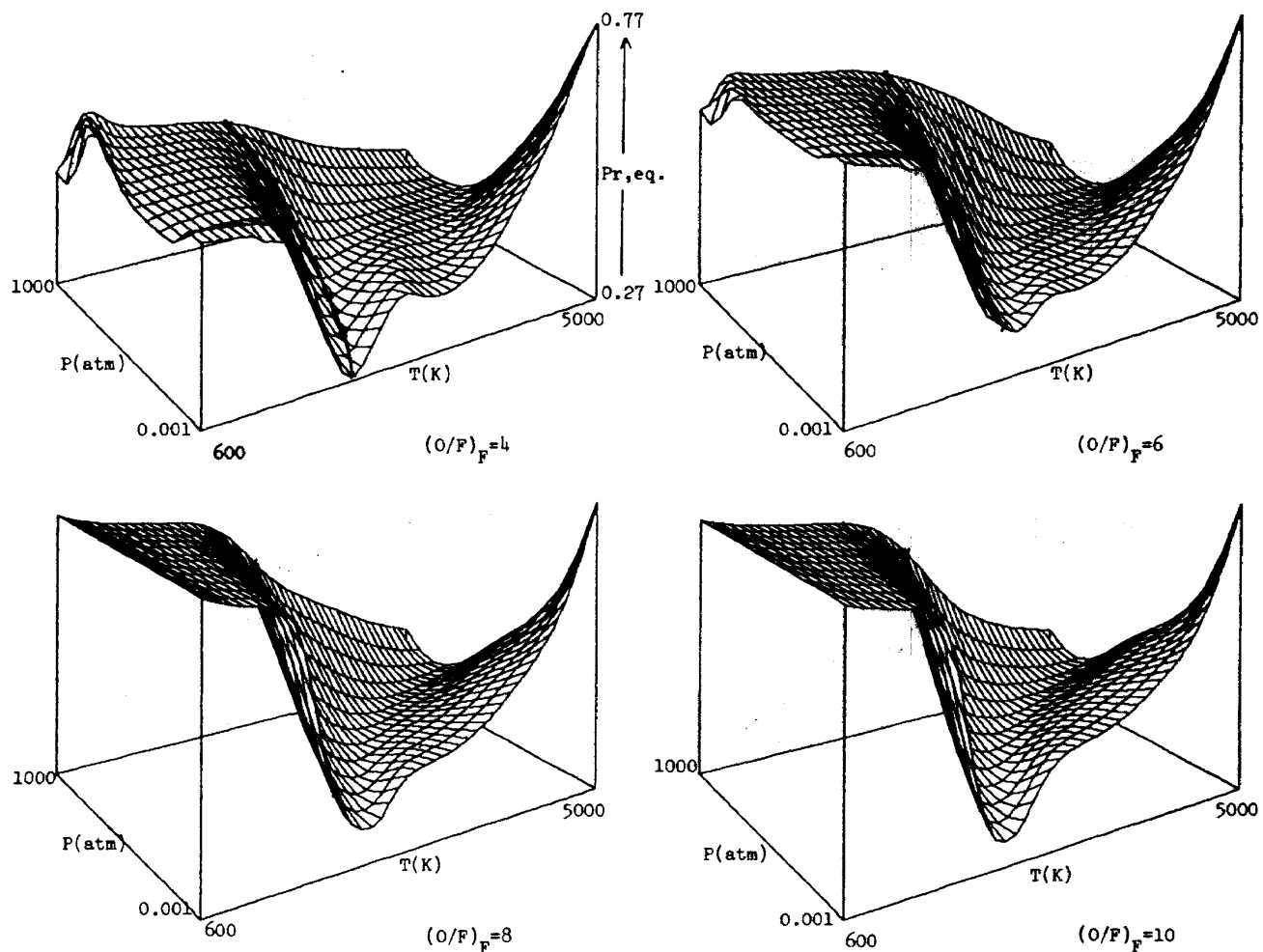
プラントル数 - 平衡 ($Pr_{eq.}$)

図 A - 3 - 18

プラントル数-平衡 ($Pr_{eq.}$) は、低温の領域を除き各 $(\frac{O}{F})_F$ ともほぼ同様のパターンである。低圧高温では N_2 の解離による $Pr_{eq.}$ の急激な上昇がある。 $Pr_{eq.}$ は μ , λ , c_p 等の物性値と異なり断熱火炎温度以下でも変化は大きい。変化の最も大きい $(\frac{O}{F})_F = 8$ において図 B-3-18-3より 0.001 atm の $Pr_{eq.}$ は、温度が下がると断熱火炎温度での $Pr_{eq.}$ のほぼ 2.2 倍になる。 $(\frac{O}{F})_F$ の小さい低温（高圧の 1000 K 以下を除く）で $Pr_{eq.}$ が低いのは H_2 の割合が高いためである。低温側では高圧の 1000 K 以下を除き $Pr_{eq.}$ と $Pr_{fro.}$ は一致する。

— 平面図による物性値の読みとり —

物性値は、温度を横軸に圧力を補助パラメータとする付録3の平面図から精度よく読みとることができる。

物性値は、平衡組成と密接に関係するため代表的な圧力3点を選んで平衡組成図も示した。

付録3の平面図および平衡組成図は下記の表10に示した。

ページ	図番号	系	物性値	混合比 $(\%)_{F_P} \rightarrow (\%)_F$
95	B-3- 2-1	H ₂ -O ₂ -Air	H	2→4
"	B-3- 4-1	/	M̄	/
96	B-3- 7-1	/	r	/
"	B-3- 9-1	/	μ	/
97	B-3-14-1	/	λ eq.	/
"	B-3-16-1	/	c _p ,eq.	/
98	B-3-17-1	/	Pr,fro.	/
"	B-3-18-1	/	Pr,eq.	/
99	B-3- 2-2	/	H	2→6
"	B-3- 4-2	/	M̄	/
100	B-3- 7-2	/	r	/
"	B-3- 9-2	/	μ	/
101	B-3-14-2	/	λ eq.	/
"	B-3-16-2	/	c _p ,eq.	/
102	B-3-17-2	/	Pr,fro.	/
"	B-3-18-2	/	Pr,eq.	/
103	B-3- 2-3	/	H	2→8
"	B-3- 4-3	/	M̄	/
104	B-3- 7-3	/	r	/
"	B-3- 9-3	/	μ	/
105	B-3-14-3	/	λ eq.	/
"	B-3-16-3	/	c _p ,eq.	/
106	B-3-17-3	/	Pr,fro.	/
"	B-3-18-3	/	Pr,eq.	/
107	B-3- 2-4	/	H	2→10
"	B-3- 4-4	/	M̄	/
108	B-3- 7-4	/	r	/
"	B-3- 9-4	/	μ	/
109	B-3-14-4	/	λ eq.	/
"	B-3-16-4	/	c _p ,eq.	/
110	B-3-17-4	/	Pr,fro.	/
"	B-3-18-4	/	Pr,eq.	/
111	B-3- 2-5	/	H	4→6
"	B-3- 4-5	/	M̄	/
112	B-3- 7-5	/	r	/
"	B-3- 9-5	/	μ	/
113	B-3-14-5	/	λ eq.	/
"	B-3-16-5	/	c _p ,eq.	/
114	B-3-17-5	/	Pr,fro.	/
"	B-3-18-5	/	Pr,eq.	/

ページ	図番号	系	物性値	混合比 $(\%)_{F_P} \rightarrow (\%)_F$
115	B-3- 2-6	H ₂ -O ₂ -Air	H	4→8
"	B-3- 4-6	/	M̄	/
116	B-3- 7-6	/	r	/
"	B-3- 9-6	/	μ	/
117	B-3-14-6	/	λ eq.	/
"	B-3-16-6	/	c _p ,eq.	/
118	B-3-17-6	/	Pr,fro.	/
"	B-3-18-6	/	Pr,eq.	/
119	B-3- 2-7	/	H	4→10
"	B-3- 4-7	/	M̄	/
120	B-3- 7-7	/	r	/
"	B-3- 9-7	/	μ	/
121	B-3-14-7	/	λ eq.	/
"	B-3-16-7	/	c _p ,eq.	/
122	B-3-17-7	/	Pr,fro.	/
"	B-3-18-7	/	Pr,eq.	/
123	B-3- 2-8	/	H	6→8
"	B-3- 4-8	/	M̄	/
124	B-3- 7-8	/	r	/
"	B-3- 9-8	/	μ	/
125	B-3-14-8	/	λ eq.	/
"	B-3-16-8	/	c _p ,eq.	/
126	B-3-17-8	/	Pr,fro.	/
"	B-3-18-8	/	Pr,eq.	/
127	B-3- 2-9	/	H	6→10
"	B-3- 4-9	/	M̄	/
128	B-3- 7-9	/	r	/
"	B-3- 9-9	/	μ	/
129	B-3-14-9	/	λ eq.	/
"	B-3-16-9	/	c _p ,eq.	/
130	B-3-17-9	/	Pr,fro.	/
"	B-3-18-9	/	Pr,eq.	/
131	B-3- 2-10	/	H	8→10
"	B-3- 4-10	/	M̄	/
132	B-3- 7-10	/	r	/
"	B-3- 9-10	/	μ	/
133	B-3-14-10	/	λ eq.	/
"	B-3-16-10	/	c _p ,eq.	/
134	B-3-17-10	/	Pr,fro.	/
"	B-3-18-10	/	Pr,eq.	/

ページ	図番号	系	混合比 $\frac{\text{O}_2}{\text{P}_\text{P}} \rightarrow \frac{\text{O}_2}{\text{P}_\text{F}}$	圧力 (atm)
135	C-3-1	H ₂ -O ₂ -Air	2→4	0.01
"	C-3-2	/	/	1
"	C-3-3	/	/	100
136	C-3-4	/	2→6	0.01
"	C-3-5	/	/	1
"	C-3-6	/	/	100
137	C-3-7	/	2→8	0.01
"	C-3-8	/	/	1
"	C-3-9	/	/	100
138	C-3-10	/	2→10	0.01
"	C-3-11	/	/	1
"	C-3-12	/	/	100
139	C-3-13	/	4→6	0.01
"	C-3-14	/	/	1
"	C-3-15	/	/	100
140	C-3-16	/	4→8	0.01
"	C-3-17	/	/	1
"	C-3-18	/	/	100
141	C-3-19	/	4→10	0.01
"	C-3-20	/	/	1
"	C-3-21	/	/	100
142	C-3-22	/	6→8	0.01
"	C-3-23	/	/	1
"	C-3-24	/	/	100
143	C-3-25	/	6→10	0.01
"	C-3-26	/	/	1
"	C-3-27	/	/	100
144	C-3-28	/	8→10	0.01
"	C-3-29	/	/	1
"	C-3-30	/	/	100

表 10

5 データファイルを利用して物性値を得る方法

物性値は、付録1～3の平面図から読みとることができる。表1～6に示すさらに広範囲な物性値および計算領域は、計算機のデータファイルとして収録することにより迅速かつ容易に物性値が得られる。以下に著者等が構成した物性値を得るためのシステムの構成例を示す。

3本の磁気テープに物性値をファイルした。

補間方式は、圧力を対数にとった3次元3次ラグランジュ補間法を採用した。

キャラクタディスプレイターミナルからの指示により結果は、キャラクタディスプレイ上に表示され、かつラインプリンタにも出力される。

— 補間方式 —

データファイルにおさめられている物性値より、任意の条件における値を求めるためにラグランジュ補間法を用いた。各系について物性値は、混合比、圧力、温度の関数である。

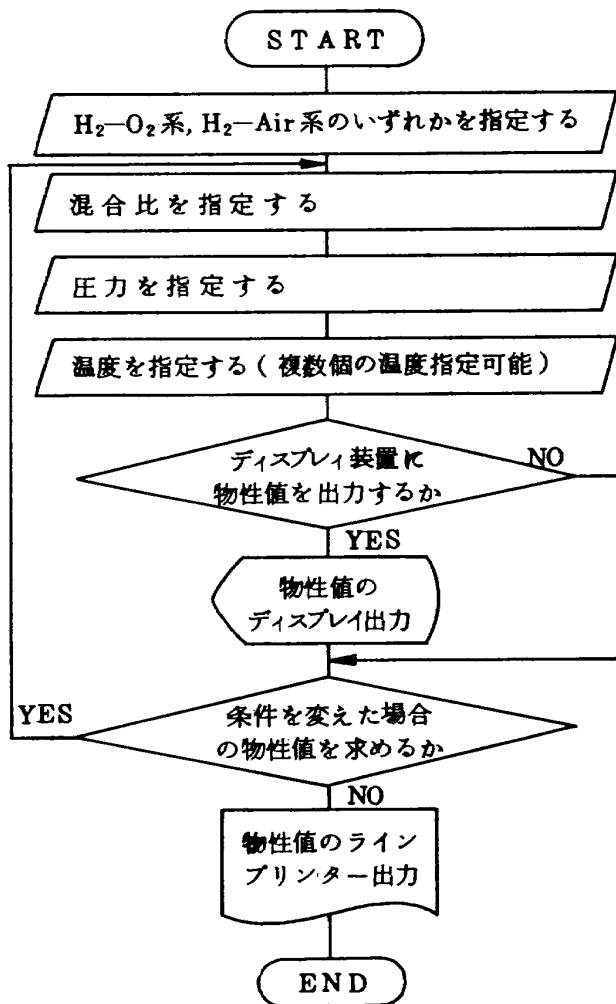
補間方式は、計算に要する時間と補間の精度から試行の結果、圧力の項を対数にとった3次元3次ラグランジュ補間法を用いた。すなわち3次元の直方体領域の格子点上の点(x_i, y_j, z_k)における関数値 $f(x_i, \log y_j, z_k) = f_{i,j,k}$ が与えられている時、すべての格子点において f の値に一致するような多項式は、次式で与えられる。

$$P(x, y, z) = \sum_{i=0}^8 \sum_{j=0}^8 \sum_{k=0}^8 \left(\prod_{\ell \neq i} \frac{x - x_\ell}{x_i - x_\ell} \right)$$

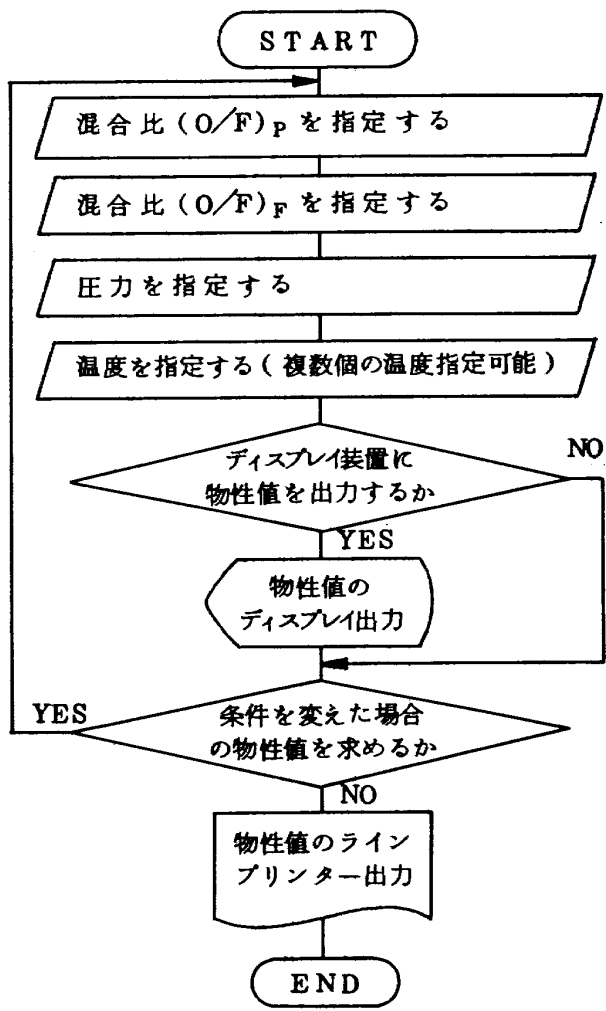
$$\log \left(\prod_{\ell \neq j} \frac{y - y_\ell}{y_j - y_\ell} \right) \left(\prod_{\ell \neq k} \frac{z - z_\ell}{z_k - z_\ell} \right) f_{i,j,k}$$

—使用例—

H_2-O_2 系, H_2-Air 系, H_2-O_2-Air 系の物性値のデータファイルが、3本の磁気テープに収録されている。

図1 H_2-O_2 系, H_2-Air 系 手順図

このデータファイルを用い図1, 図2の手順図に示すディスプレイとの対話方式で、先に述べた補間法により各物性値が求められる。ディスプレイとの対話例を図3およびそのラインプリンタ出力例を図4に示す。

図2 H_2-O_2-Air 系 手順図

M002 0045 H2/AIR
 M031 0045 H2/AIR
 MU31 0045 H2/AIR
 Q03 M520 0045 H2/AIR
 R03 T3
 M031 0045 H2/AIR
 0045 H2/AIR
 Q03 0045 H2/AIR
 R03 H2/AIR
 Q03 0045 H2/AIR
 R03 7.94
 Q03 0045 H2/AIR
 R03 1.
 Q03 0045 H2/AIR
 R03 1000.
 Q03 0045 H2/AIR
 R03 YES
 Q03 0045 H2/AIR
 R03 100.
 Q03 0045 H2/AIR
 R03 3
 Q03 0045 H2/AIR
 R03 YES
 0045 H2/AIR
 Q03 0045 H2/AIR
 R03 G0
 0045 H2/AIR
 Q03 0045 H2/AIR
 R03 END
 0045 H2/AIR
 M521 0045 H2/AIR
 M062 0045 H2/AIR

START
 FTC
 LED
 FIN=0300 FIT IN TO, T1, T2, T3, T4,
 LOAD
 TRANSPORT AND THERMODYNAMIC PROPERTIES
 ASSIGN FUEL AND OXSIDE SYSTEM ?
 MIXTURE RATIO O/F ?
 PRESSURE (ATM) ?
 TEMPERATURE (K) ?
 DO TEMP YES OR NO ?
 INTVL ?
 N ?
 DISPLAY OUT YES OR NO ?
 TEMP . 1000. 1100. 1200.
 VISC . 356. 380. 404.
 M-COND . 326. 349. 371.
 I-COND . 177. 199. 223.
 F-COND . 502. 548. 594.
 R-COND . 0. 0. 0.
 E-COND . 503. 548. 594.
 F-CP . 0.6231 0.6345 0.6453
 E-CP . 0.6240 0.6349 0.6455
 F-PR . 0.4410 0.4404 0.4395
 E-PR . 0.4413 0.4405 0.4396
 LEWIS . 0.5734 0.5797 0.6685
 WAIT OR GO DISPLAY OUT
 DENS . 1.529E-04 1.389E-04 1.274E-04
 ENTH . -329.0 -266.1 -202.0
 ENTR . 3.8858 3.9458 4.0015
 M-WT . 12.542 12.541 12.541
 GAMMA S. 1.3409 1.3328 1.3254
 GAMMA . 1.3410 1.3329 1.3255
 SONIC V. 942.8 985.9 1026.9
 CONT OR END
 STOP 00000
 FREE T3 FROM FIN=0300
 END

図3 対話例

TRANSPORT AND THERMODYNAMIC PROPERTIES (H ₂ - AIR)									
O/F =	7.940	ATM =	1.0000						
TEMP	VISCOSITY	MUNATOMIC COND	INTERNAL COND	FROZEN COND	REACTION COND	EQUILIBRIUM COND	CP FROZ CAL/(G)(K)	CP EQ CAL/(G)(K)	PRANDTL FROZ DIMENSIONLESS
DEG K	POISE		X1U-6	CAL/(CM) (SEC)(K)					Lewis Number
1000.	356.	326.	177.	592.	0.	503.	0.6231	0.6240	0.2704
1100.	320.	349.	199.	548.	0.	548.	0.6345	0.6349	0.5797
1200.	404.	371.	227.	594.	0.	594.	0.6453	0.6455	0.4395
TEMP	UFNSITY	ENTHALPY	ENTROPY	MOLE WEIGHT		GAMMA S	GAMMA	SONIC VELOCITY M/SEC	
DEG K	G/CC	CAL/G	CAL/(G)(K)						
1000.	0.15285E-3	-329.0	3.8858	12.542	1.3409	1.3410	1.3410	942.6	
1100.	0.13894E-3	-266.3	3.9458	12.541	1.3328	1.3329	1.3329	985.9	
1200.	0.12756E-3	-212.0	4.0015	12.541	1.3254	1.3255	1.3255	1026.9	

図4 ラインプリンタ出力例

6 あとがき

水素を燃料とし、酸素および空気を酸化剤とする、ロケットエンジンの燃焼関連の諸問題の解析および設計等に利用するため、H-N-O-Ar系混合ガスの熱力学および輸送物性値を計算した。結果は、全体の傾向を示す立体図および数値が読みとりやすいためこの種のデータ集でよく使われている補助パラメータを用いた平面図および平衡組成図にまとめた。しかしながらこの報告での図の数をできるだけ圧縮するよう心掛けたため計算機で利用できるようにした全ての範囲について図を示すことができなかつた。このため使いづらいものとなつたことを恐れる。

参考文献

- 1) 石井他 ; 空気吸込式ロケットの超音速モード燃焼実験, 航技研ニュース No.236(1979).
- 2) R.A.Svehla ; Thermodynamic and Transport Properties for the Hydrogen-Oxygen System, NASA SP-3011(1964).
- 3) G.F.Klich ; Thermodynamic, Transport, and Flow Properties of Gaseous Products Resulting from Combustion of Methane-Air-Oxygen Mixtures, NASA TN D-8153 (1976).
- 4) 毛呂, 鈴木 ; JP-4/Lox, JP-4/AIR の平衡組成と燃焼特性値の検討, 航技研資料 TM-354 (1978).
- 5) S.Gordon & B.J.McBride ; Computer Program for Calculation of Complex Chemical Equilibrium Compositions, Rocket Performance, Incident and Reflected Shocks, and Chapman-Jouguet Detonations, NASA SP-273 (1971).
- 6) 毛呂, 鈴木 ; ロケットプロペラント燃焼ガスの輸送特性値, 第 21 回宇宙科学技術連合講演会講演集 (1977) pp 218~221.
- 7) J.O. Hirschfelder, C.F.Curtiss & R.B.Bird ; Molecular Theory of Gases and Liquids, John Wiley & Sons, Inc. (1964).
- 8) R.A.Svehla & B.J.McBride ; Fortran IV Computer Program for Calculation of Thermodynamic and Transport Properties of Complex Chemical Systems, NASA TN D-7056 (1973).
- 9) R.A.Svehla & R.S.Brokawn ; Heat Capacity and the Lewis Number of a Reacting Gas, AIAA Journal Vol4 Nov.1966 pp182~184.

付録 1 H₂-O₂系

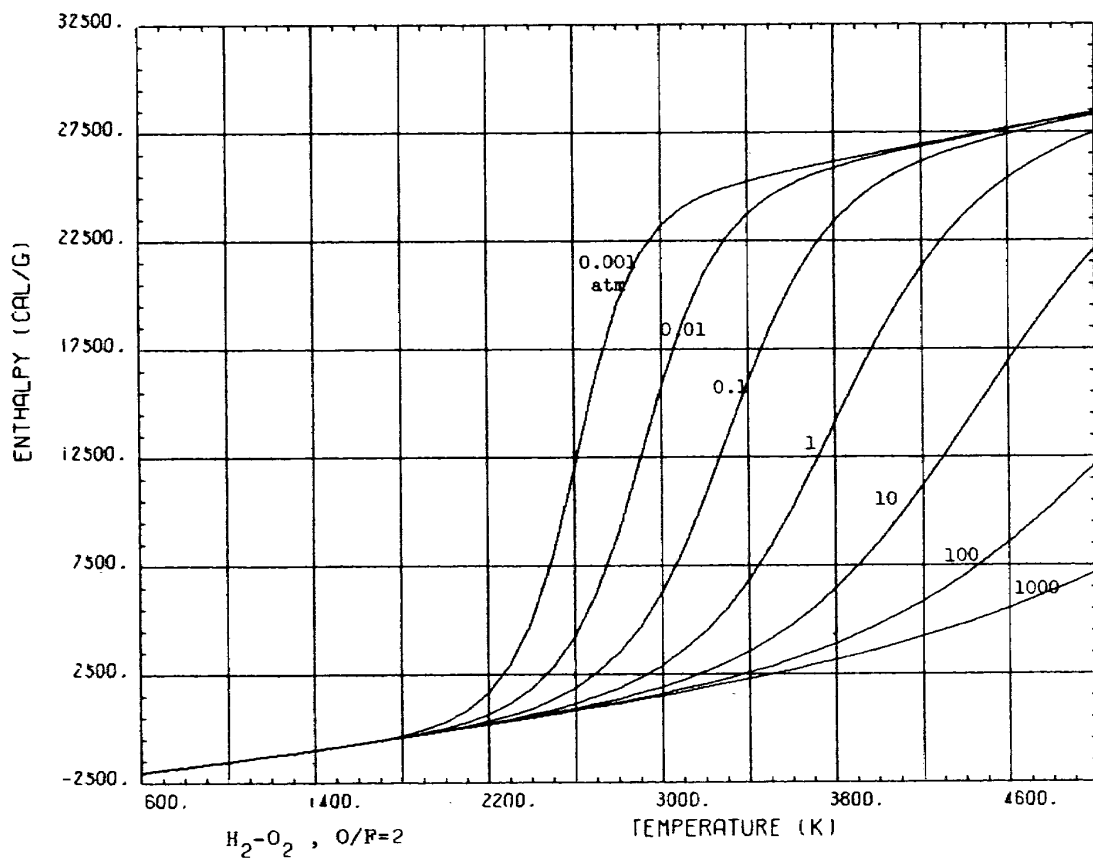


図 B-1-2-1

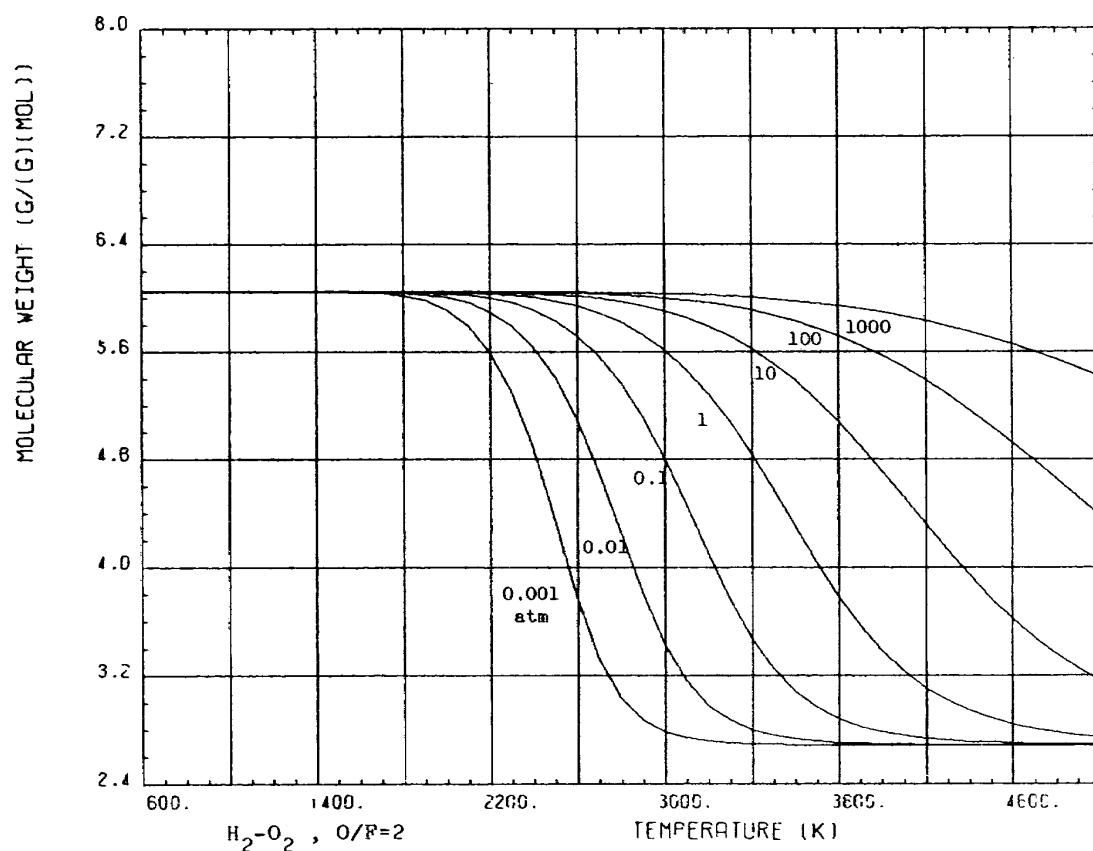


図 B-1-4-1

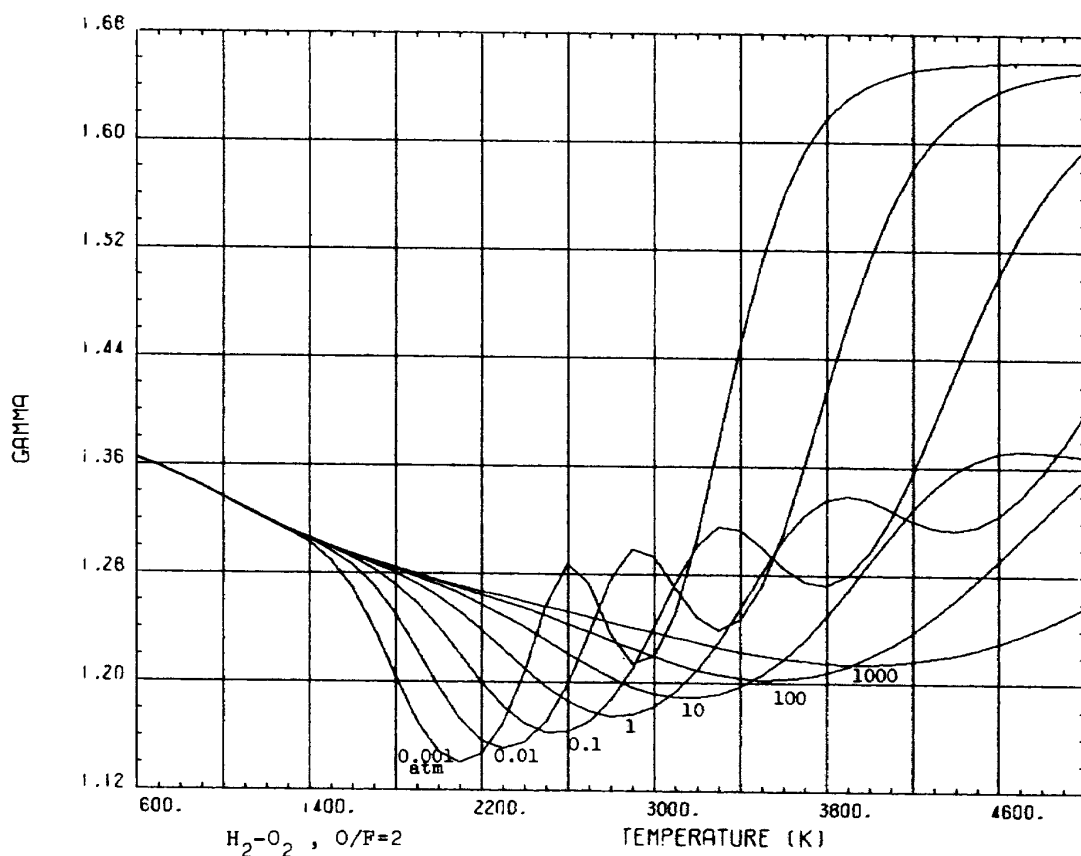


図 B-1-7-1

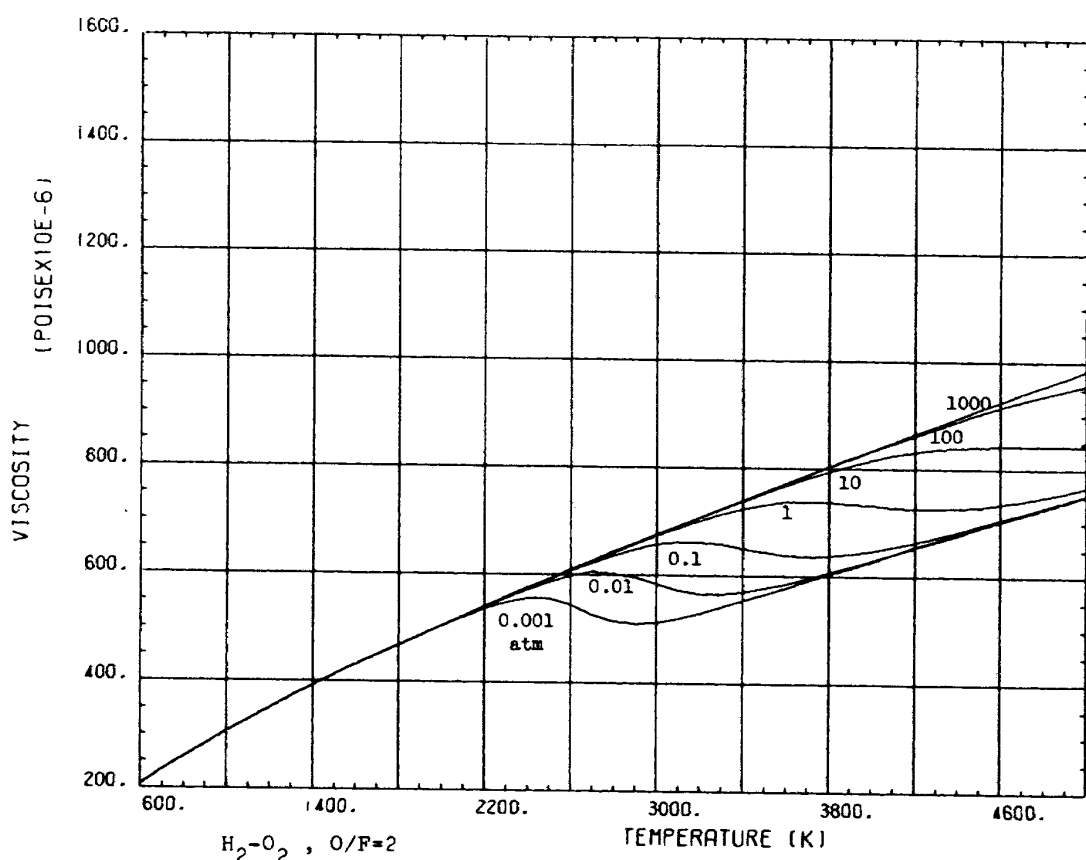


図 B-1-9-1

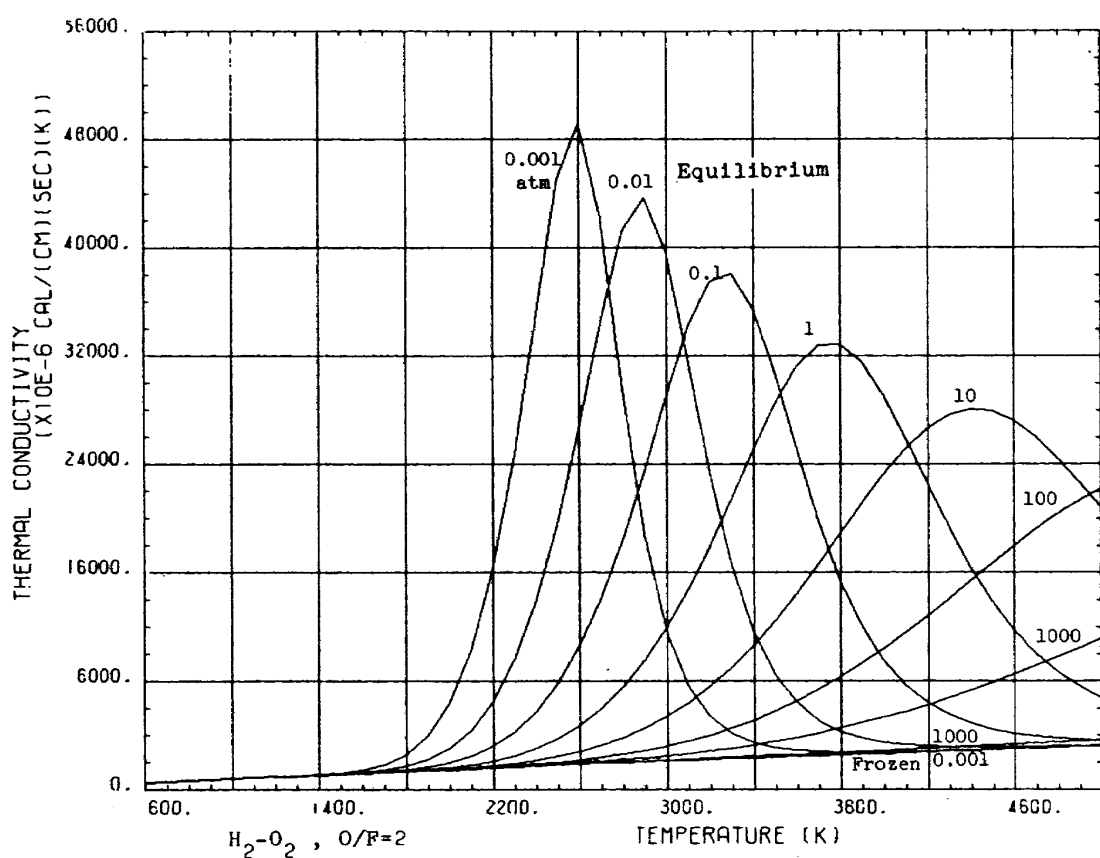


図 B-1-14-1

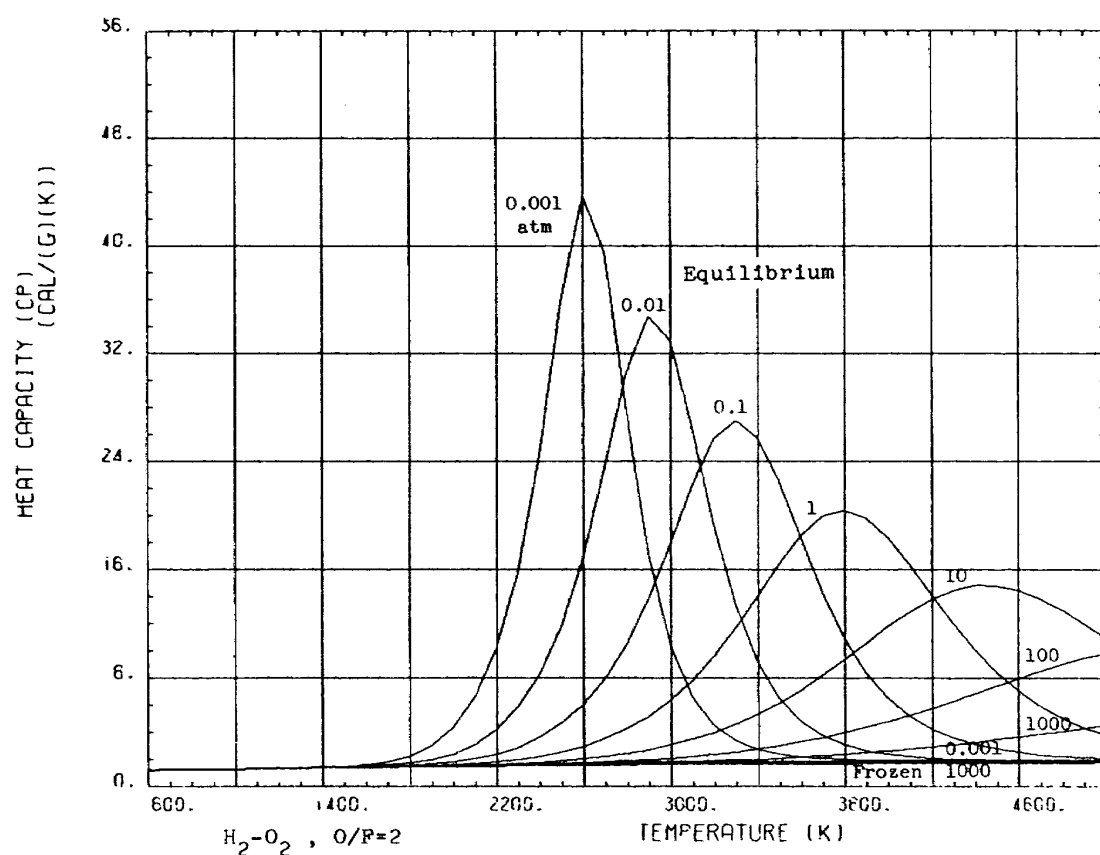


図 B-1-16-1

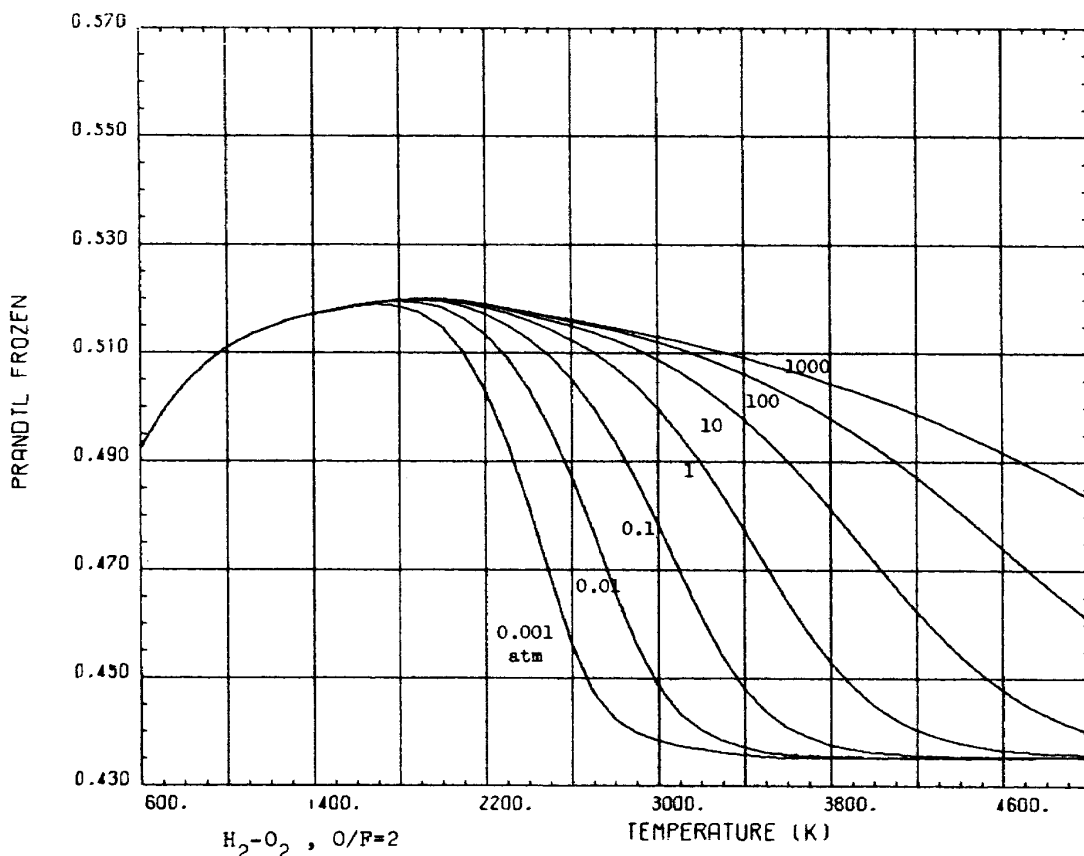


図 B-1-17-1

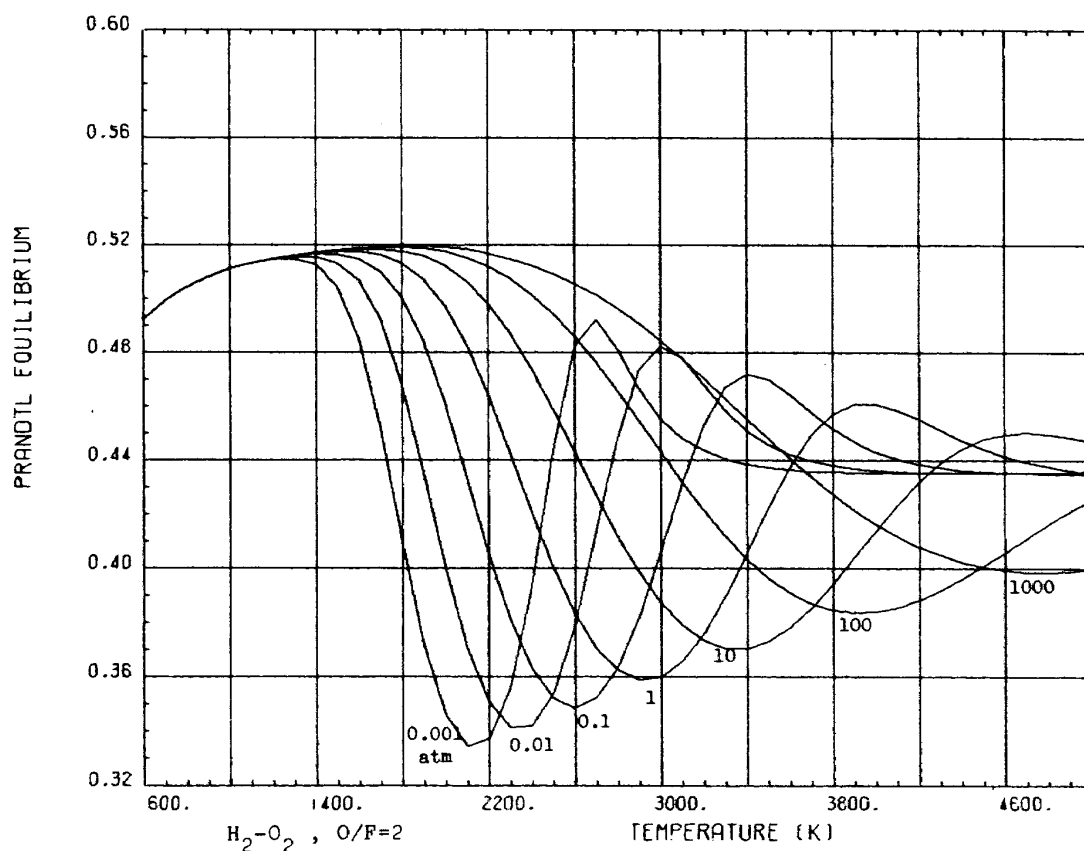


図 B-1-18-1

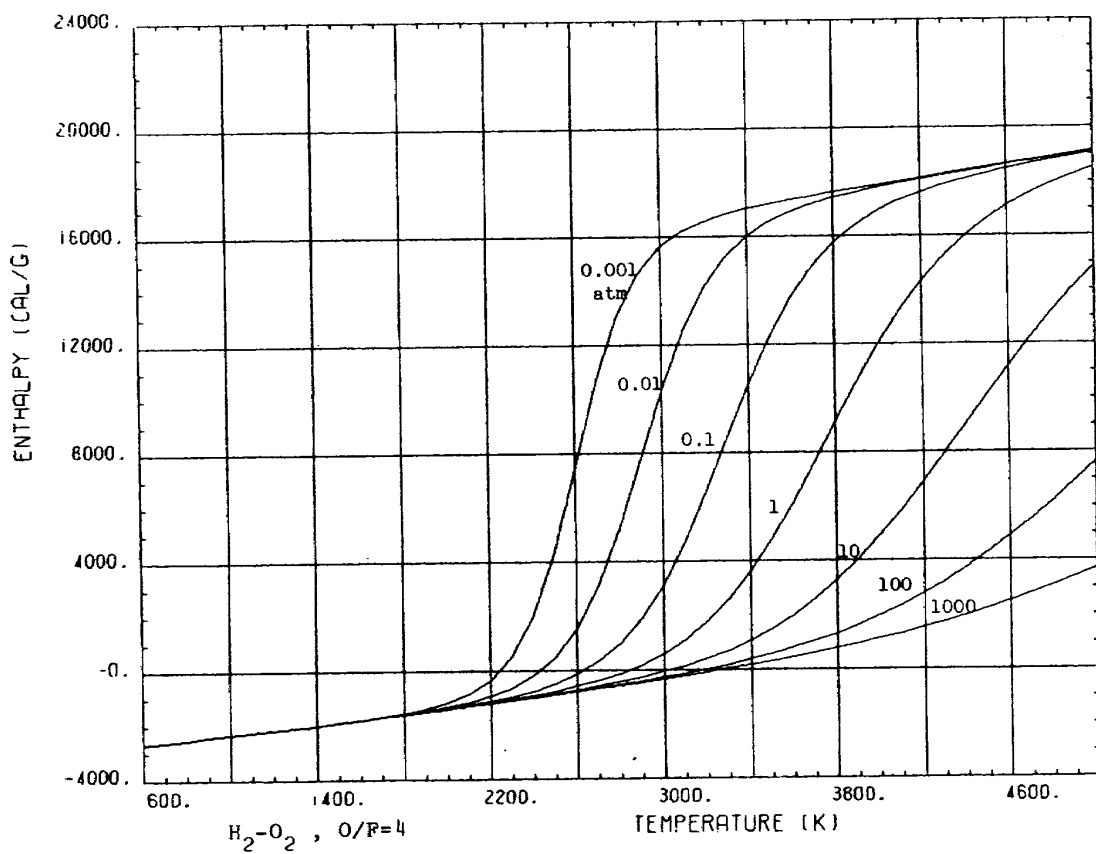


図 B-1-2-2

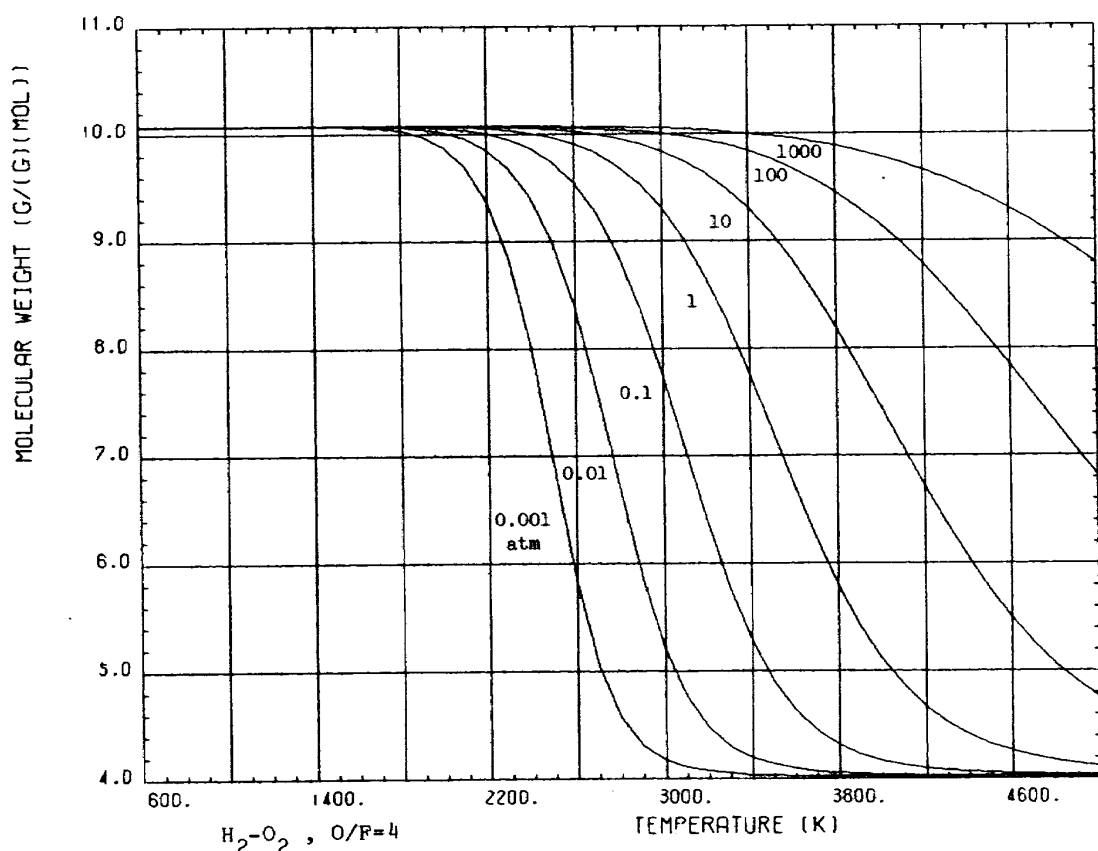


図 B-1-4-2

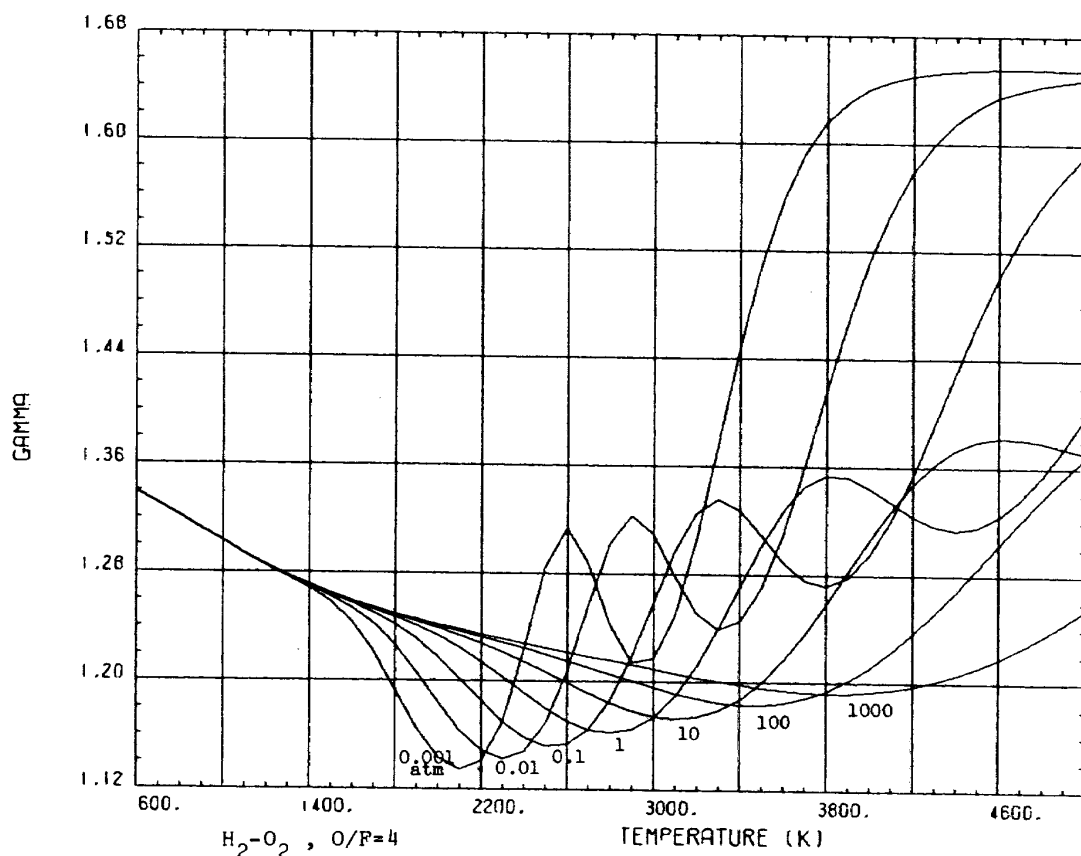


図 B-1-7-2

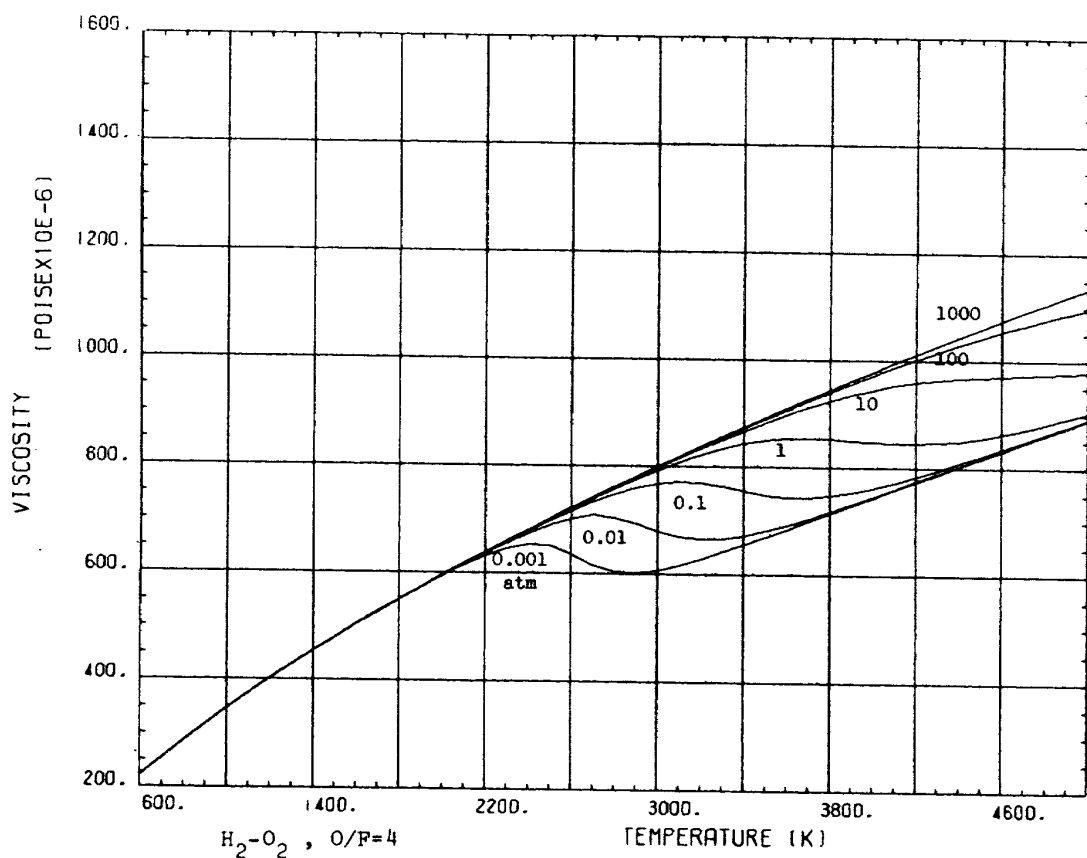


図 B-1-9-2

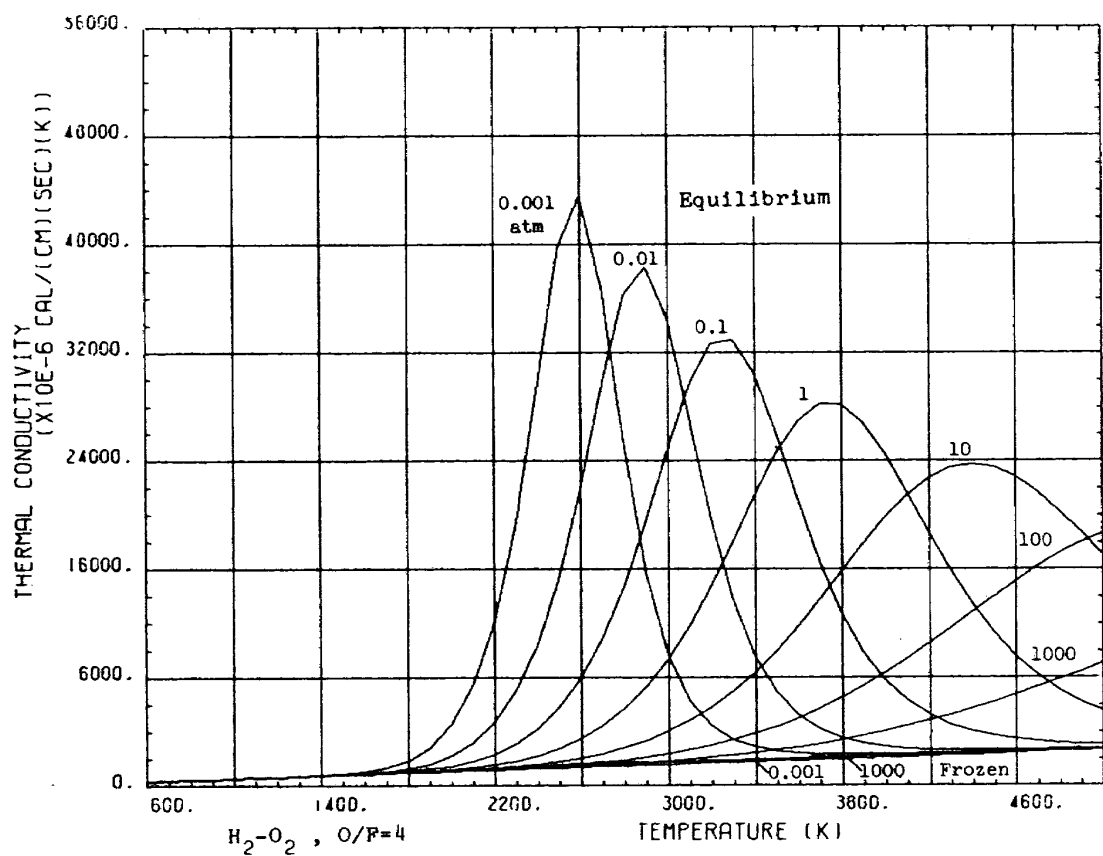


図 B-1-14-2

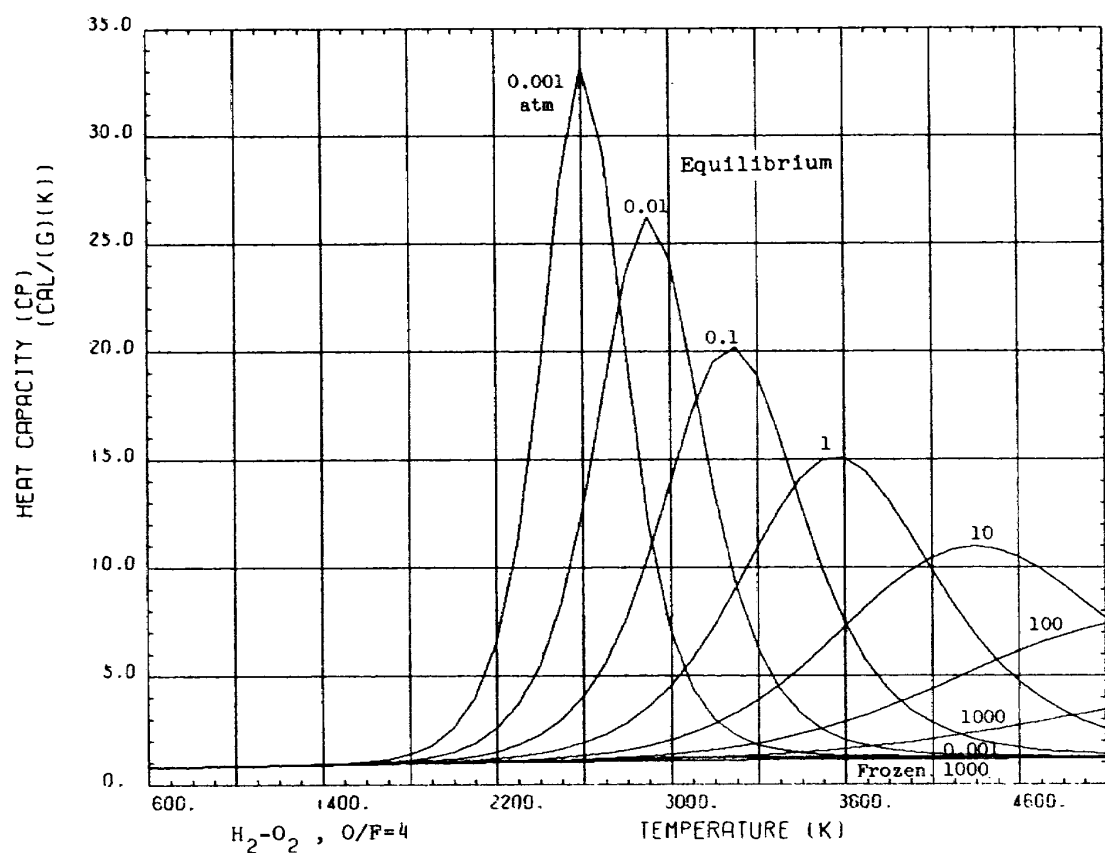


図 B-1-16-2

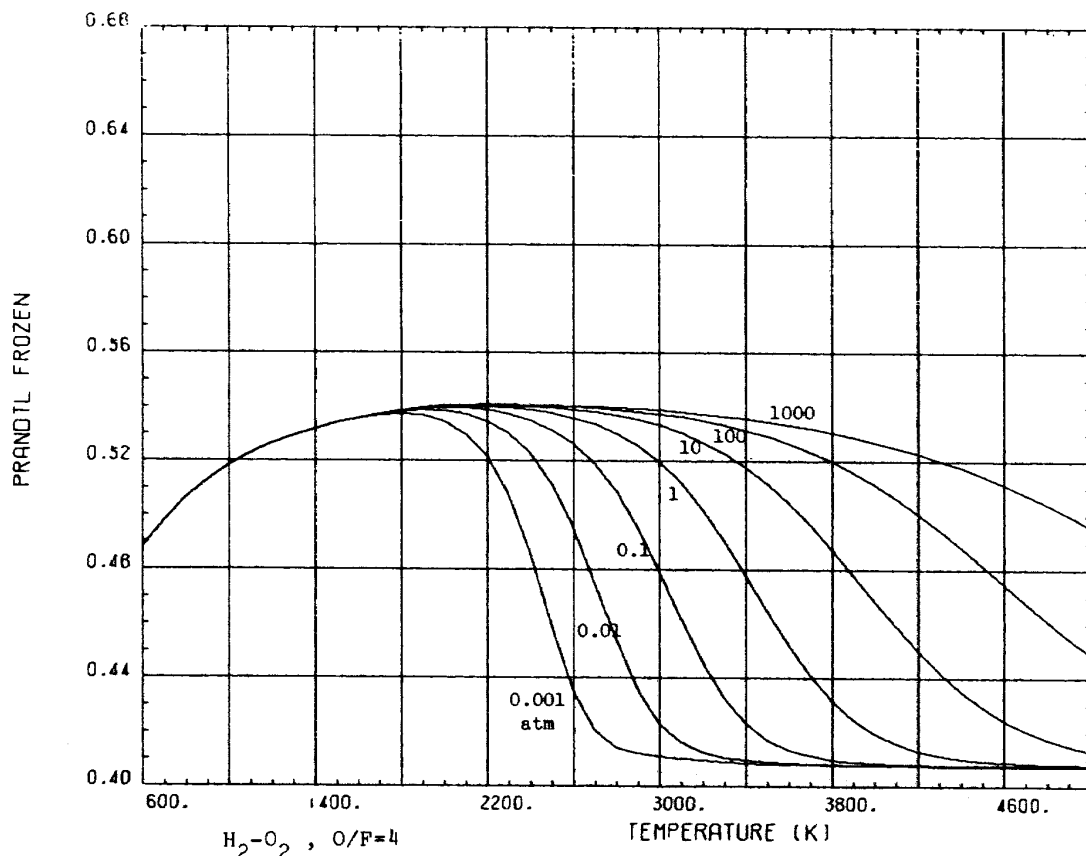


図 B-1-17-2

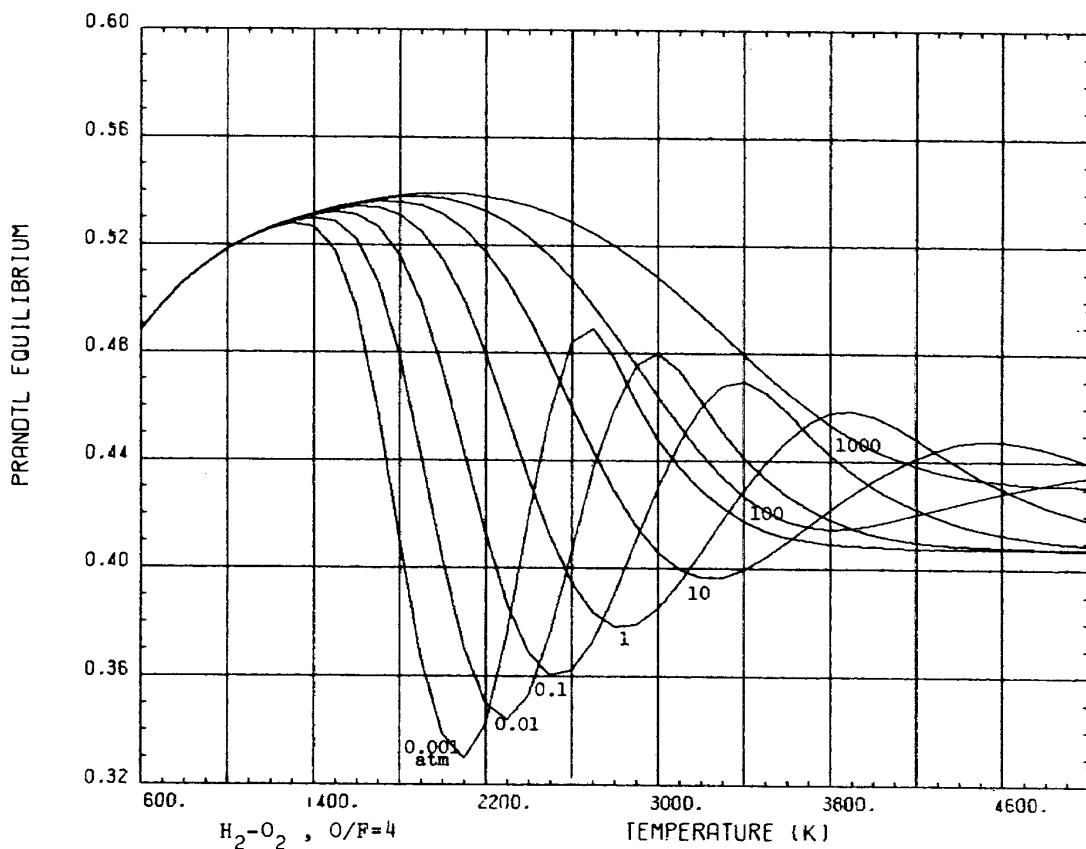


図 B-1-18-2

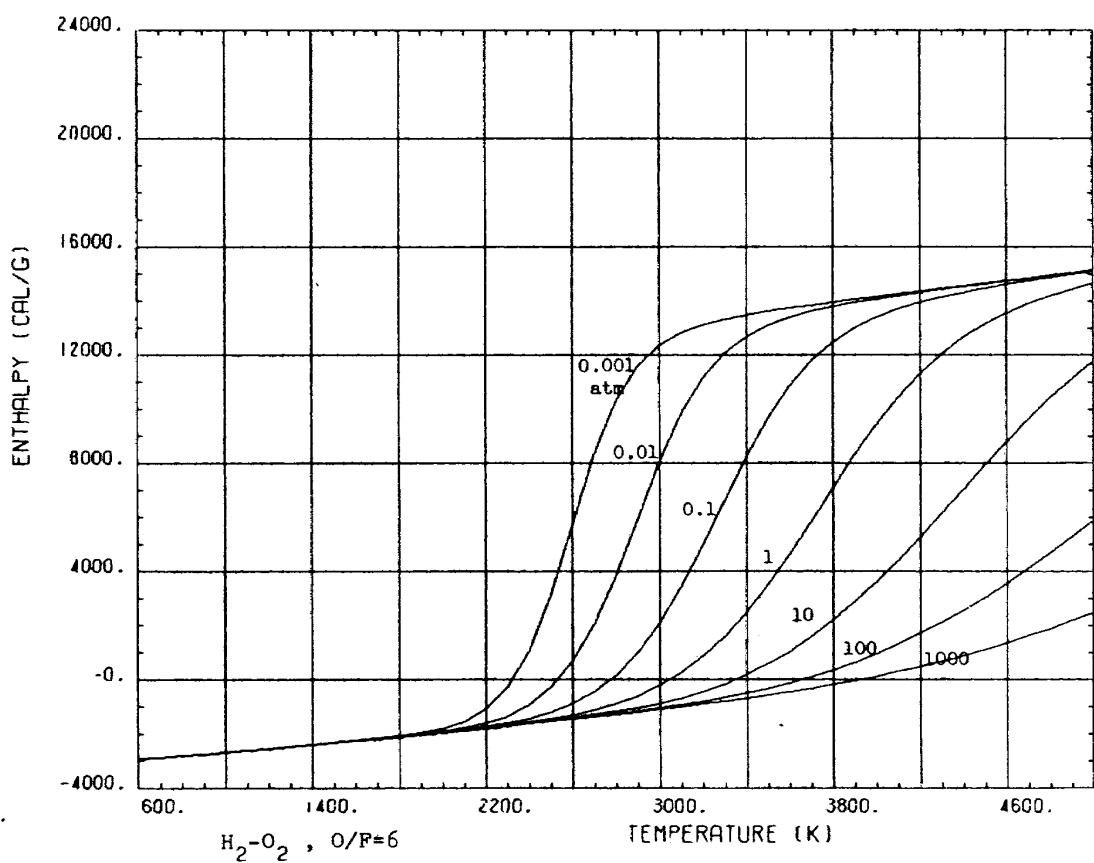


図 B-1-2-3

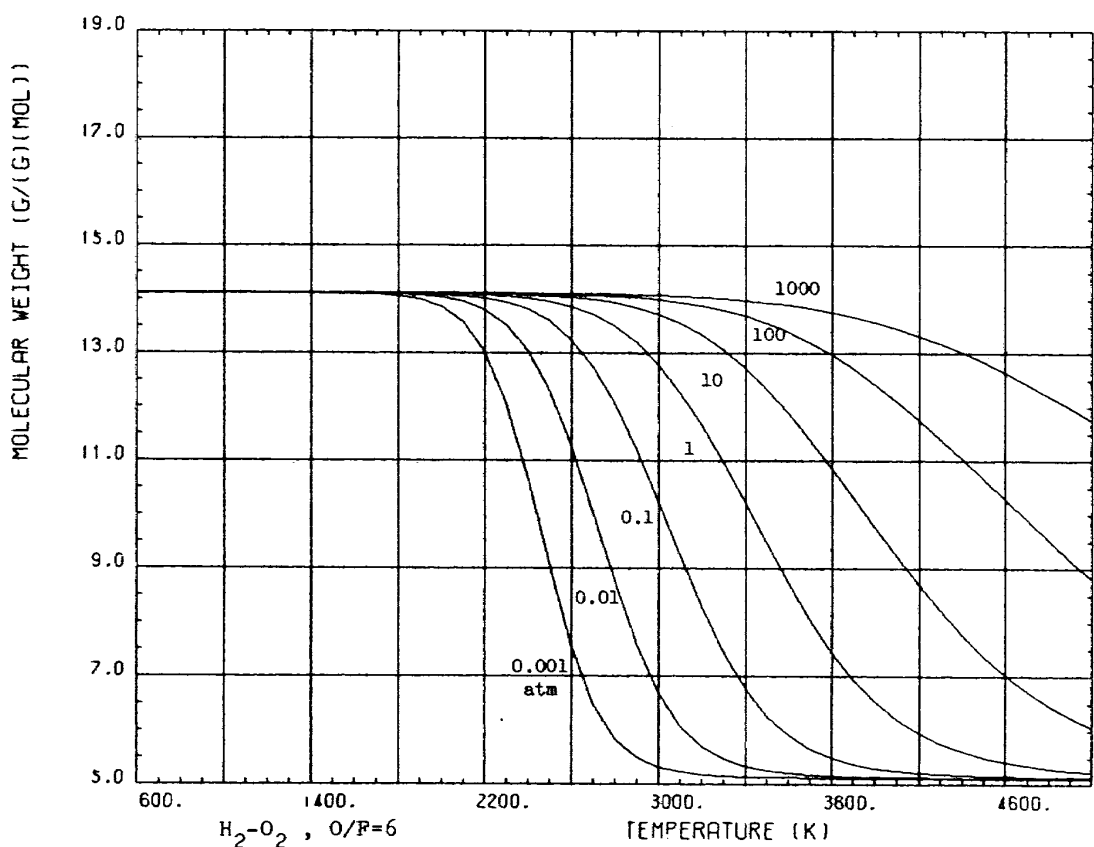


図 B-1-4-3

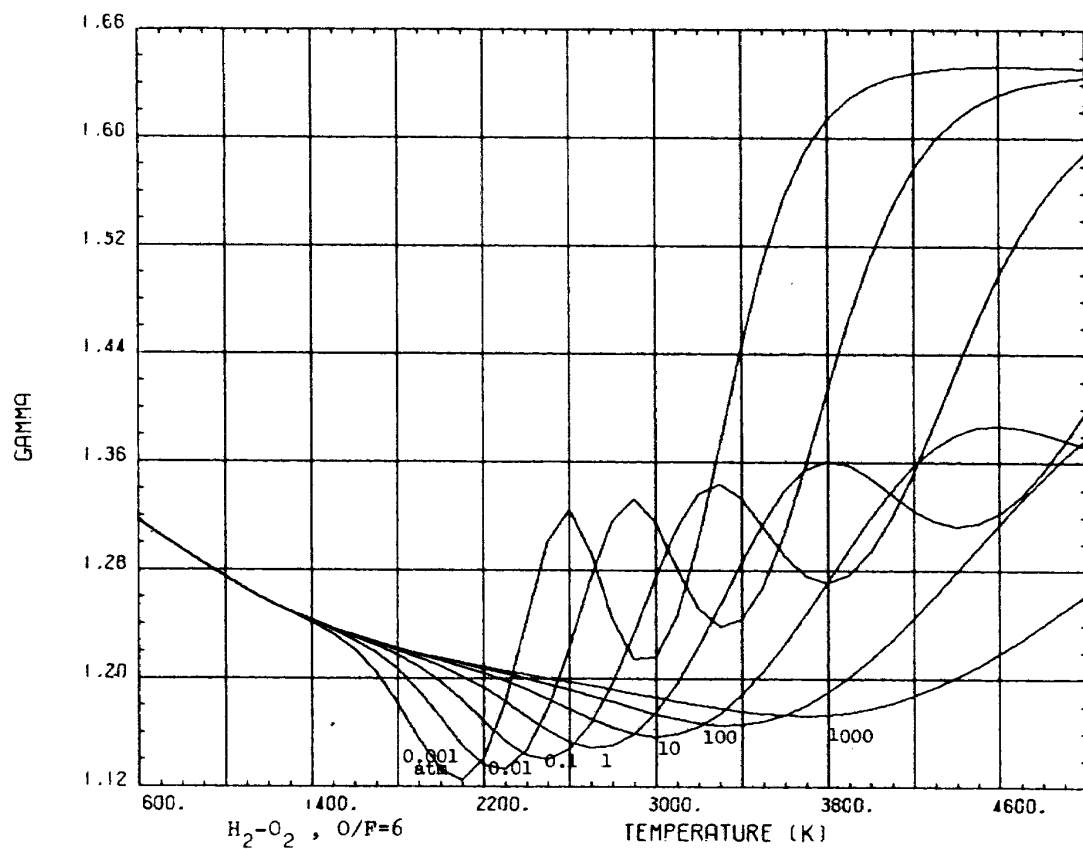


図 B-1-7-3

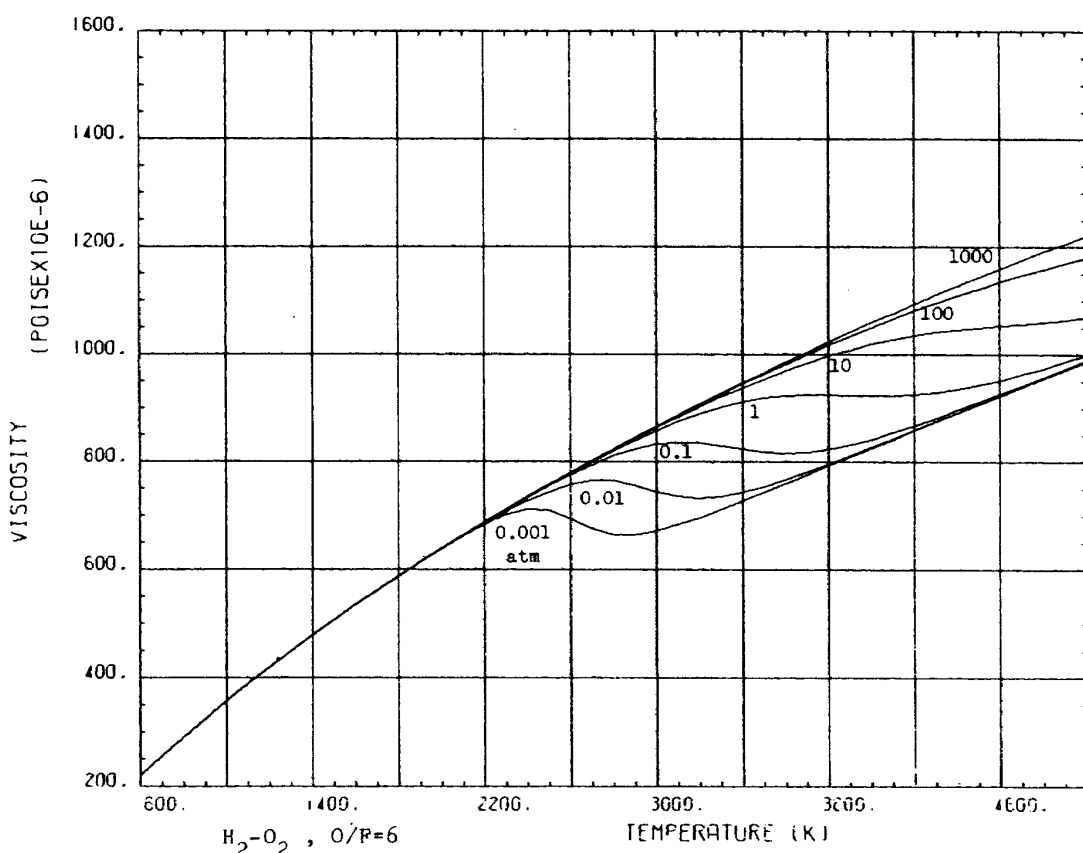


図 B-1-9-3

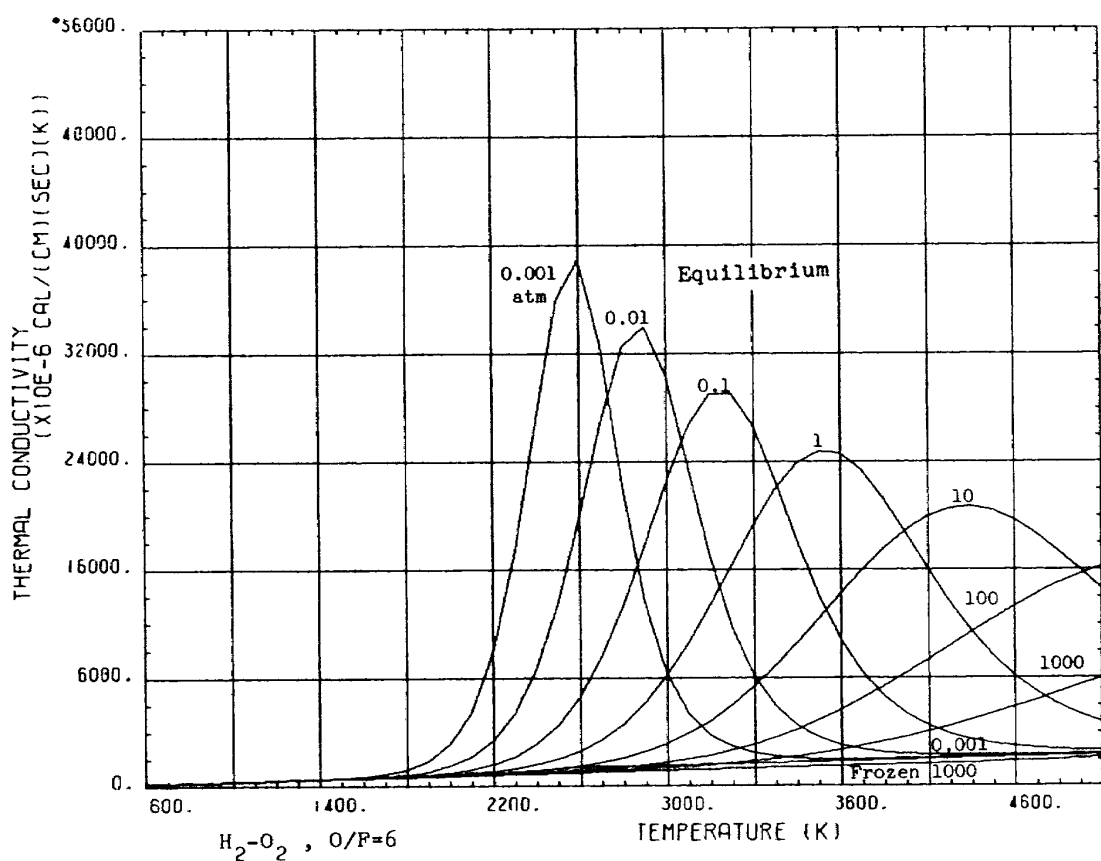


図 B-1-14-3

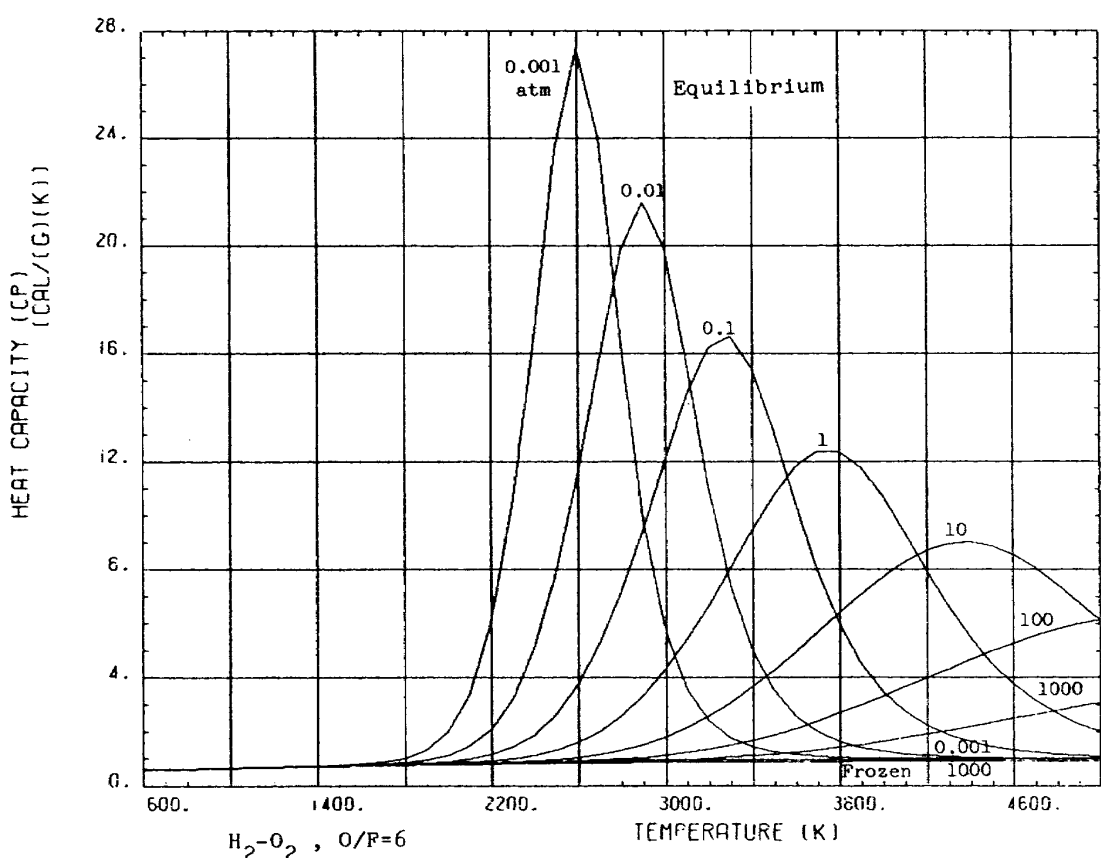


図 B-1-16-3

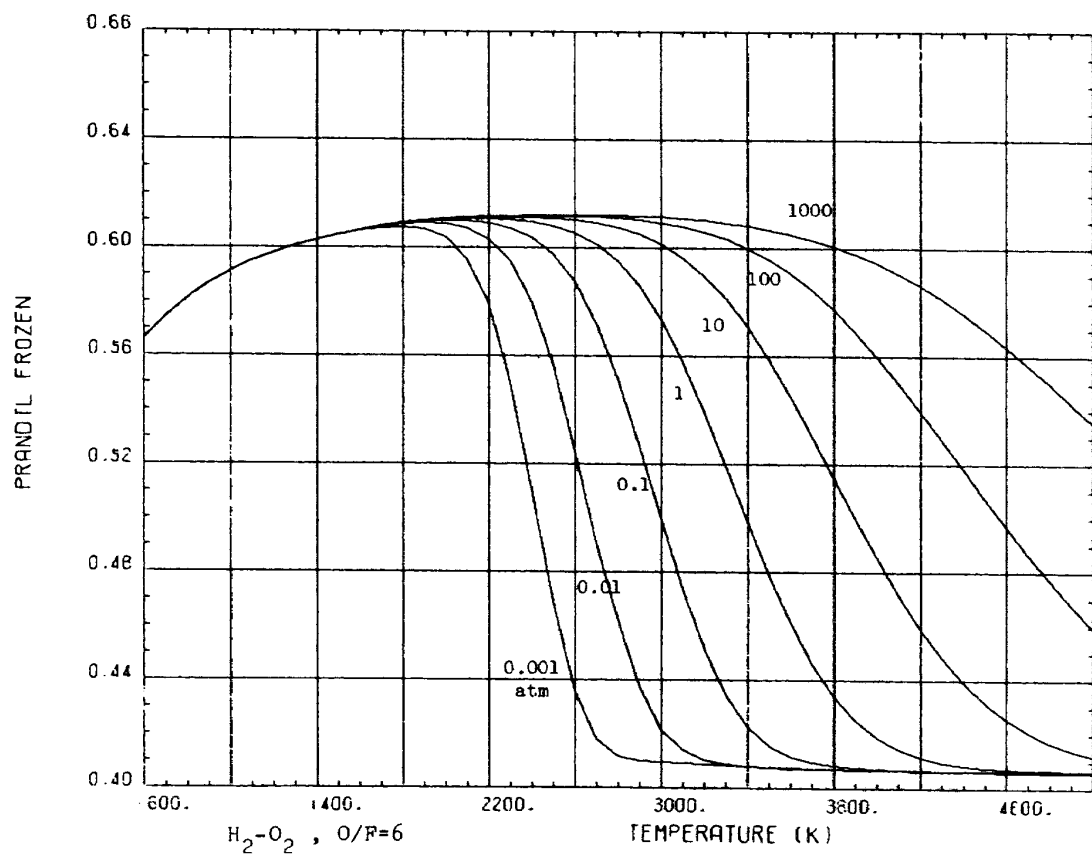


図 B-1-17-3

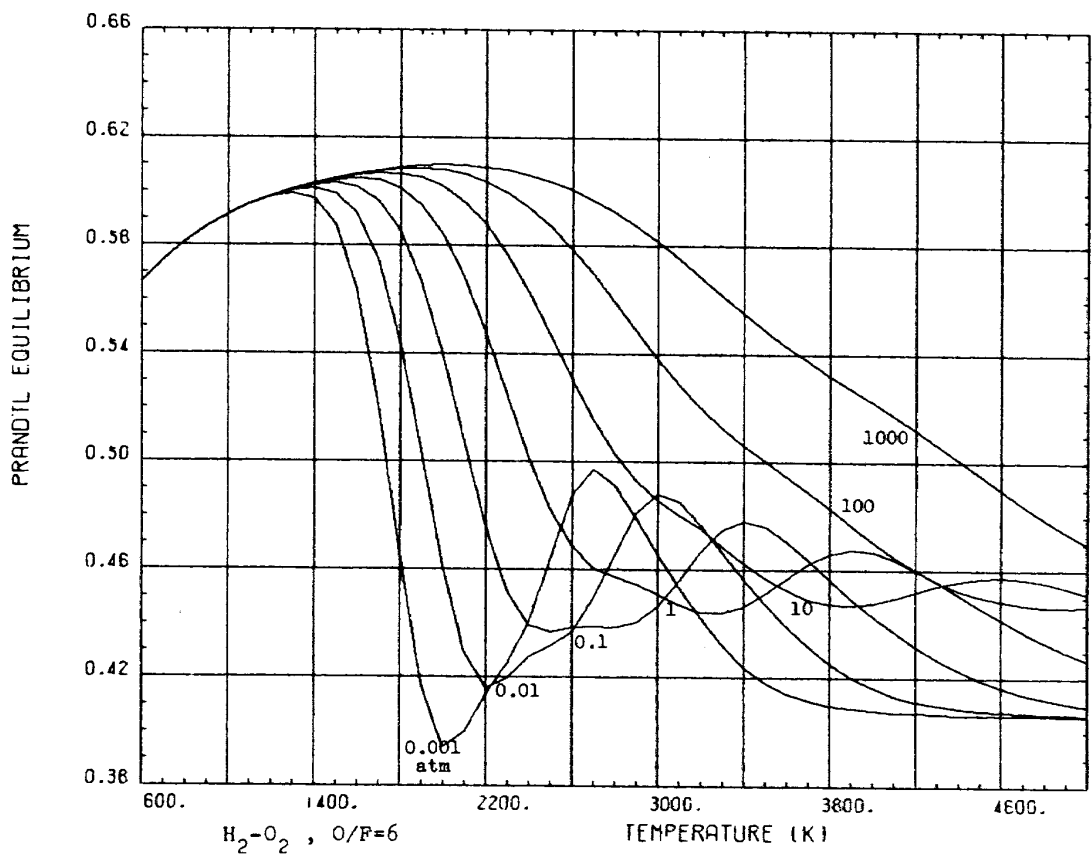


図 B-1-18-3

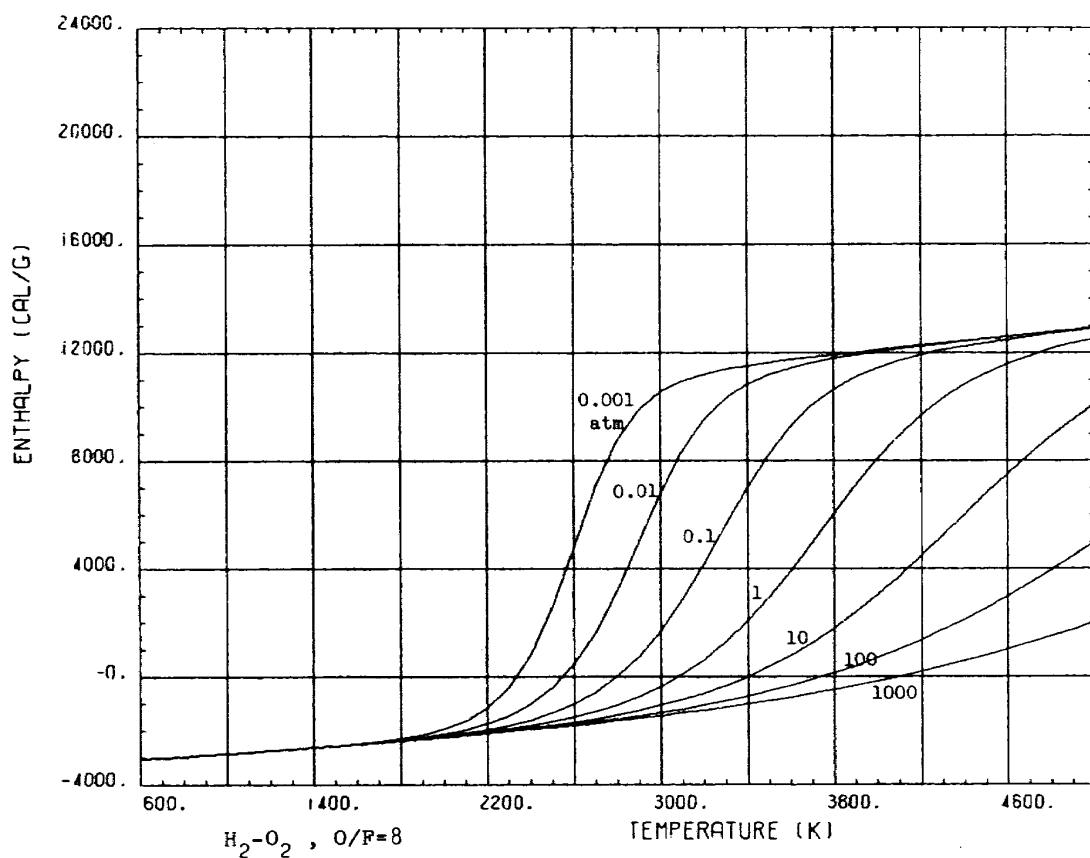


図 B-1-2-4

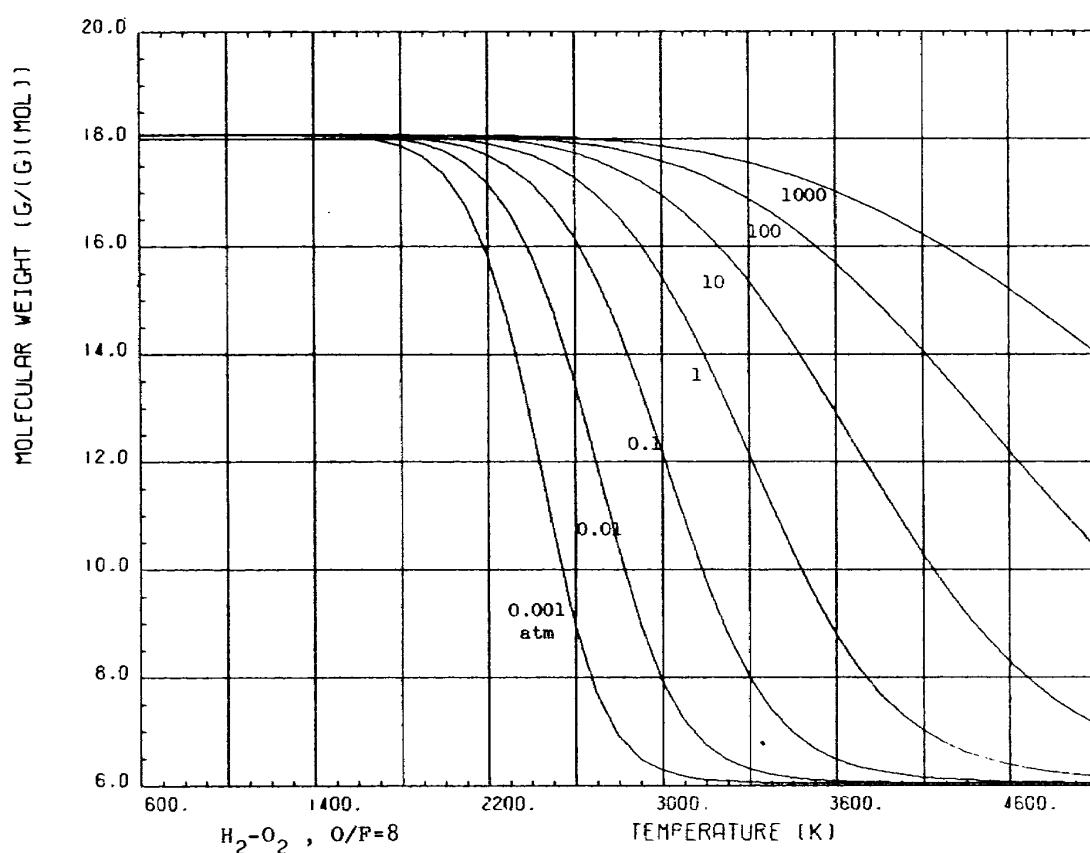


図 B-1-4-4

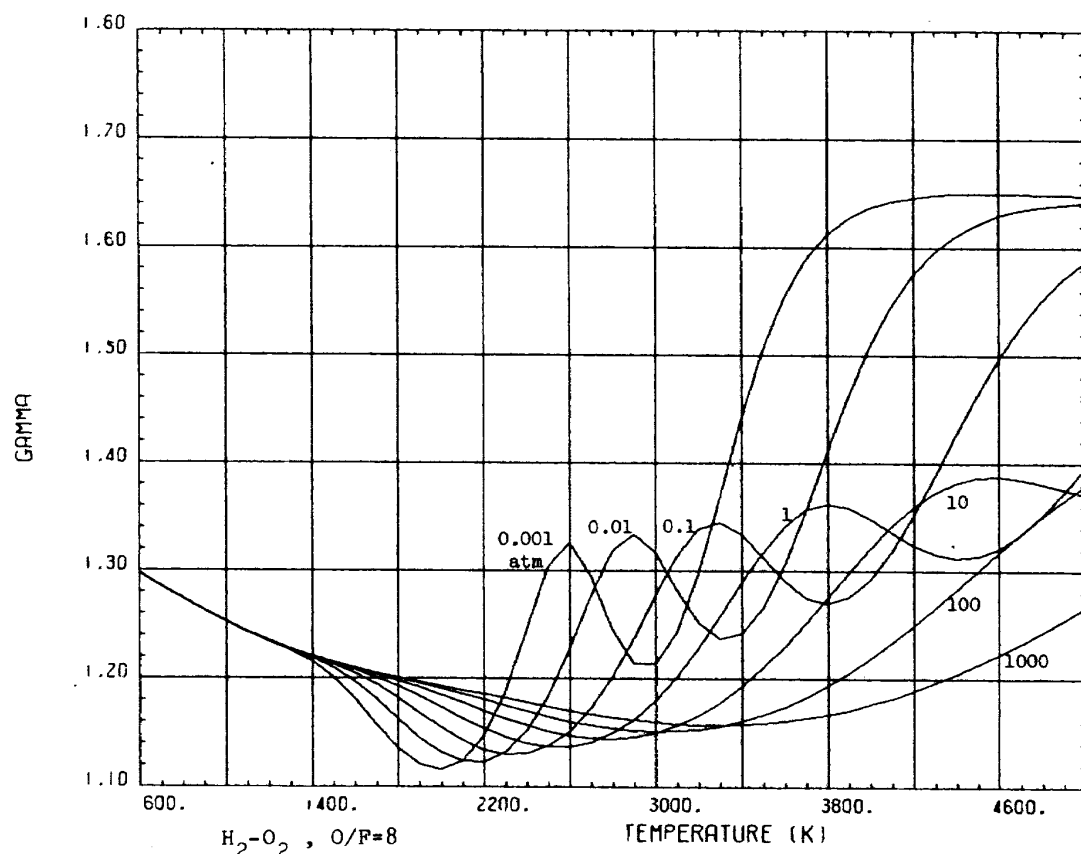


図 B-1-7-4

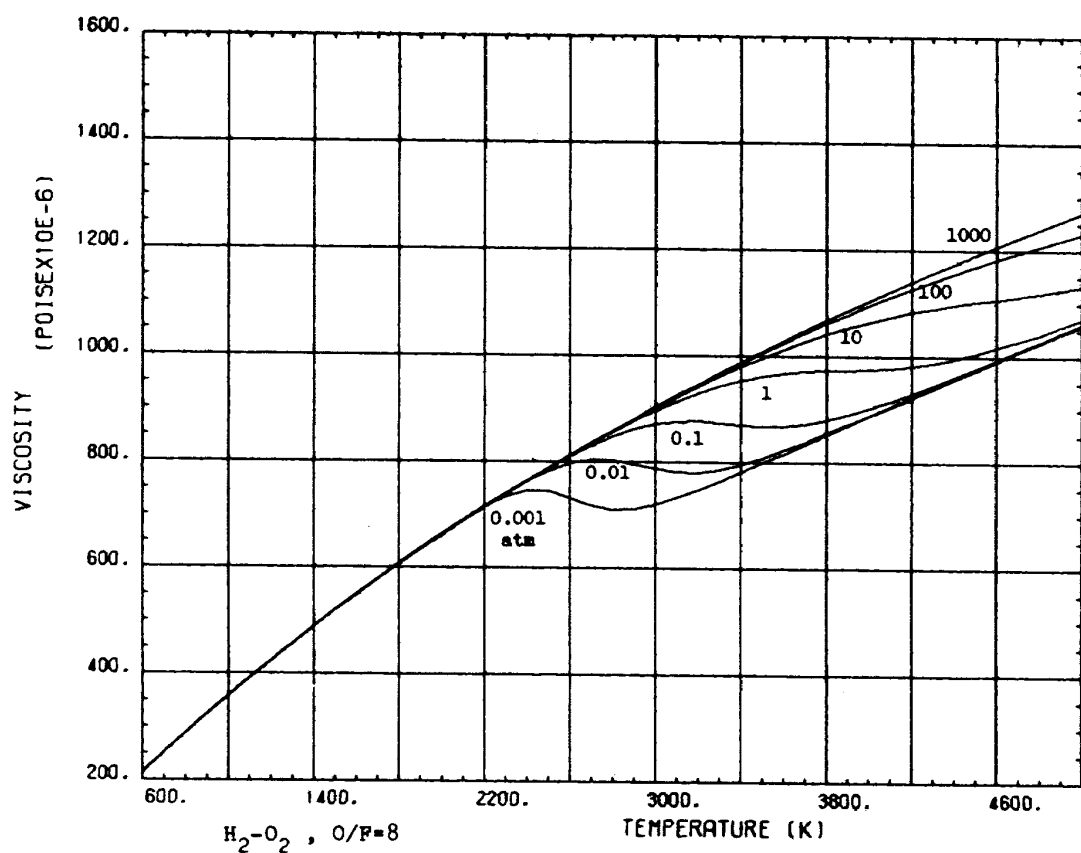


図 B-1-9-4

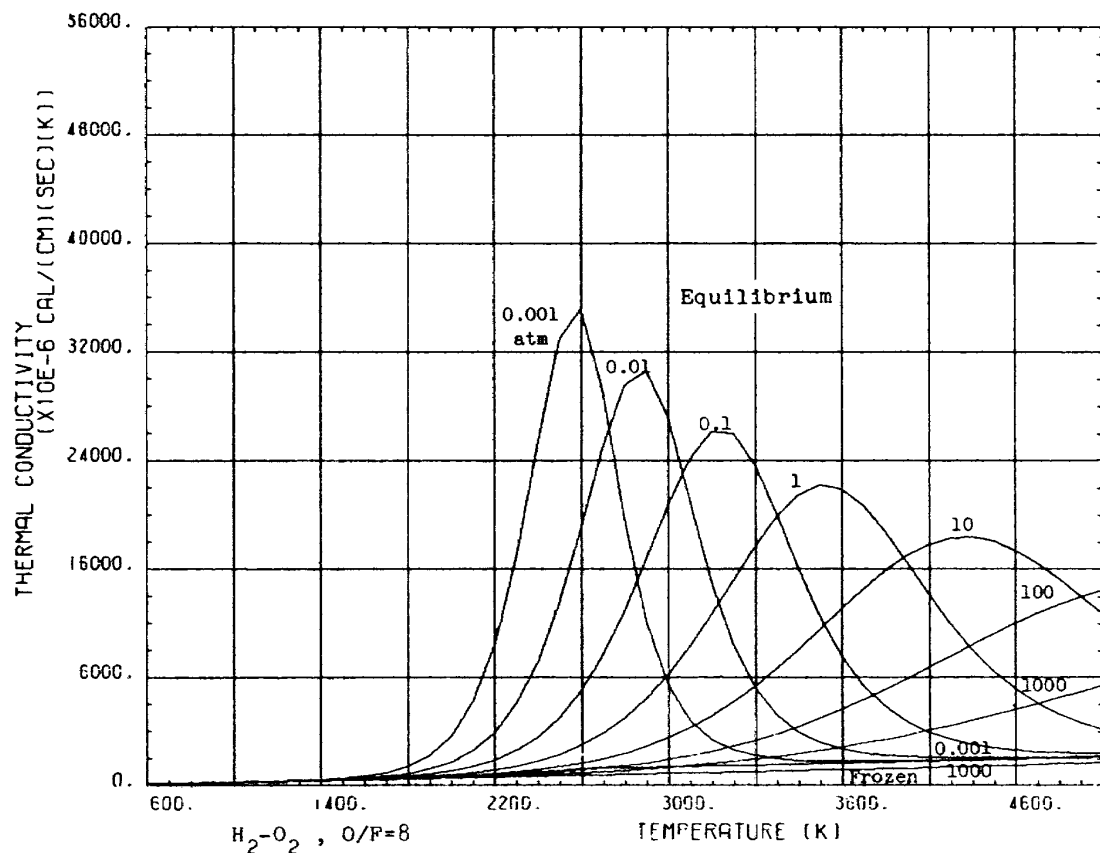


図 B-1-14-4

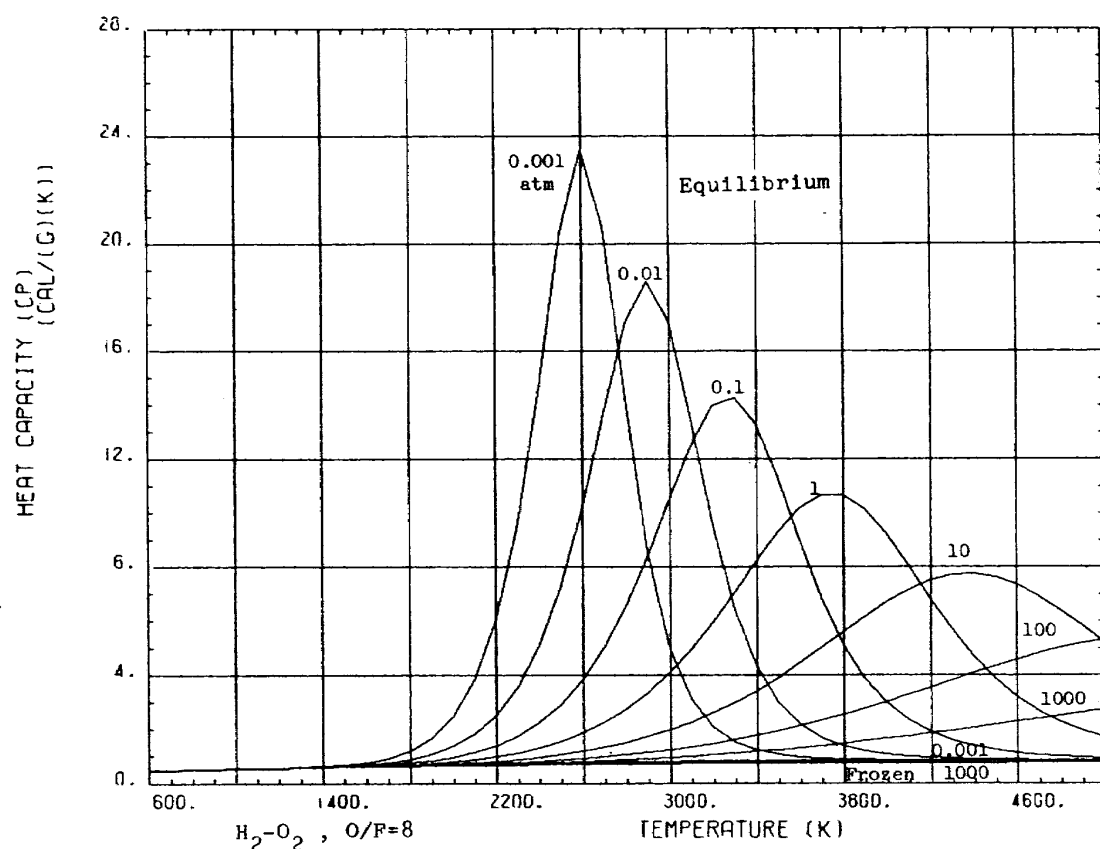


図 B-1-16-4

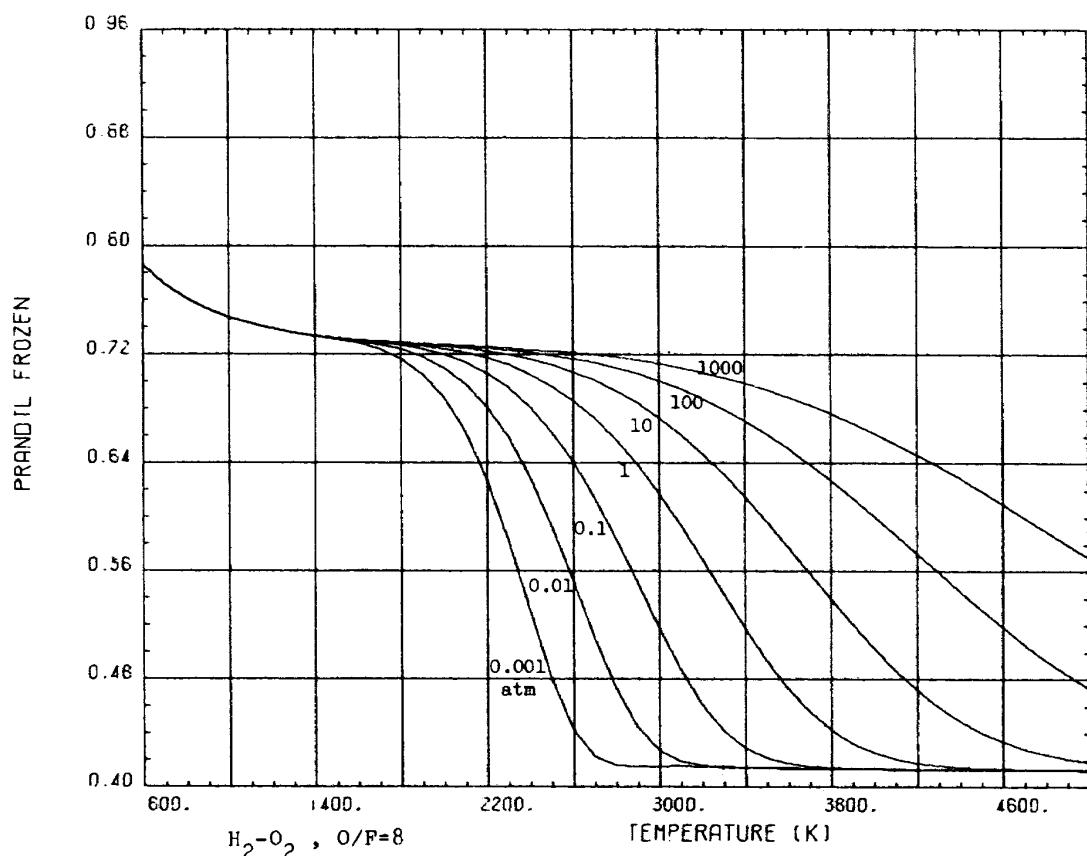


図 B-1-17-4

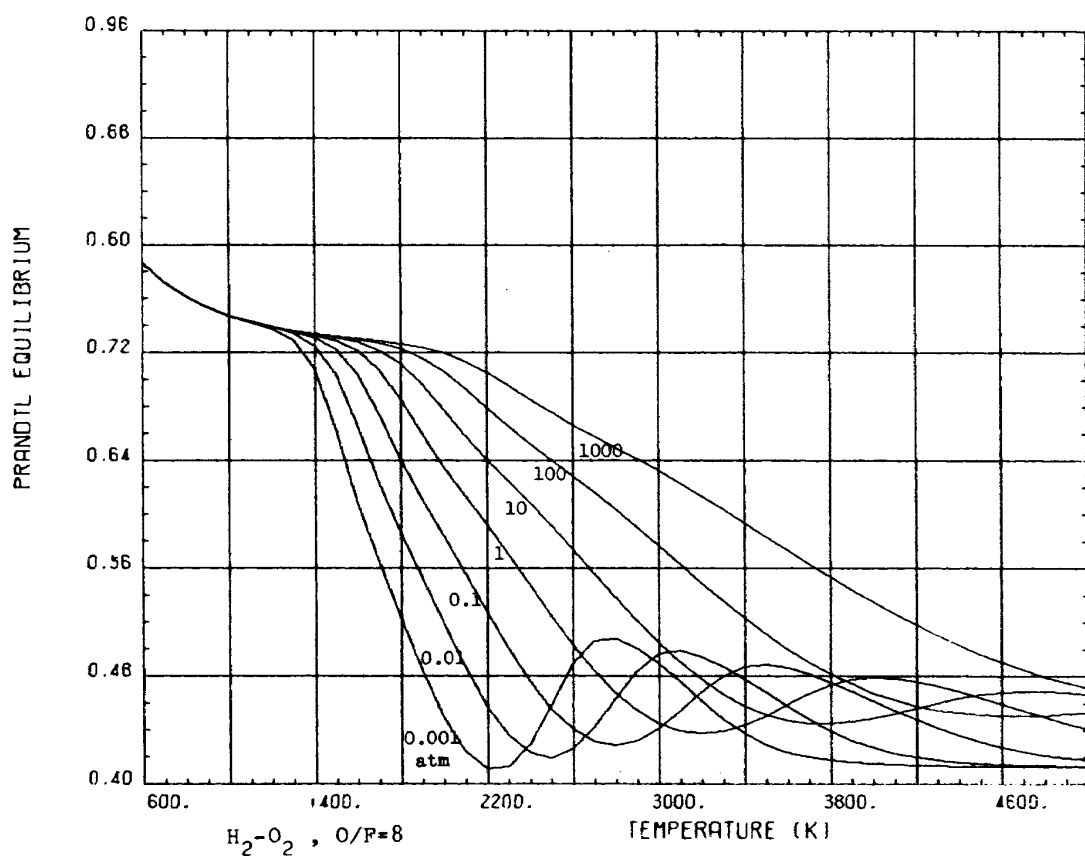


図 B-1-18-4

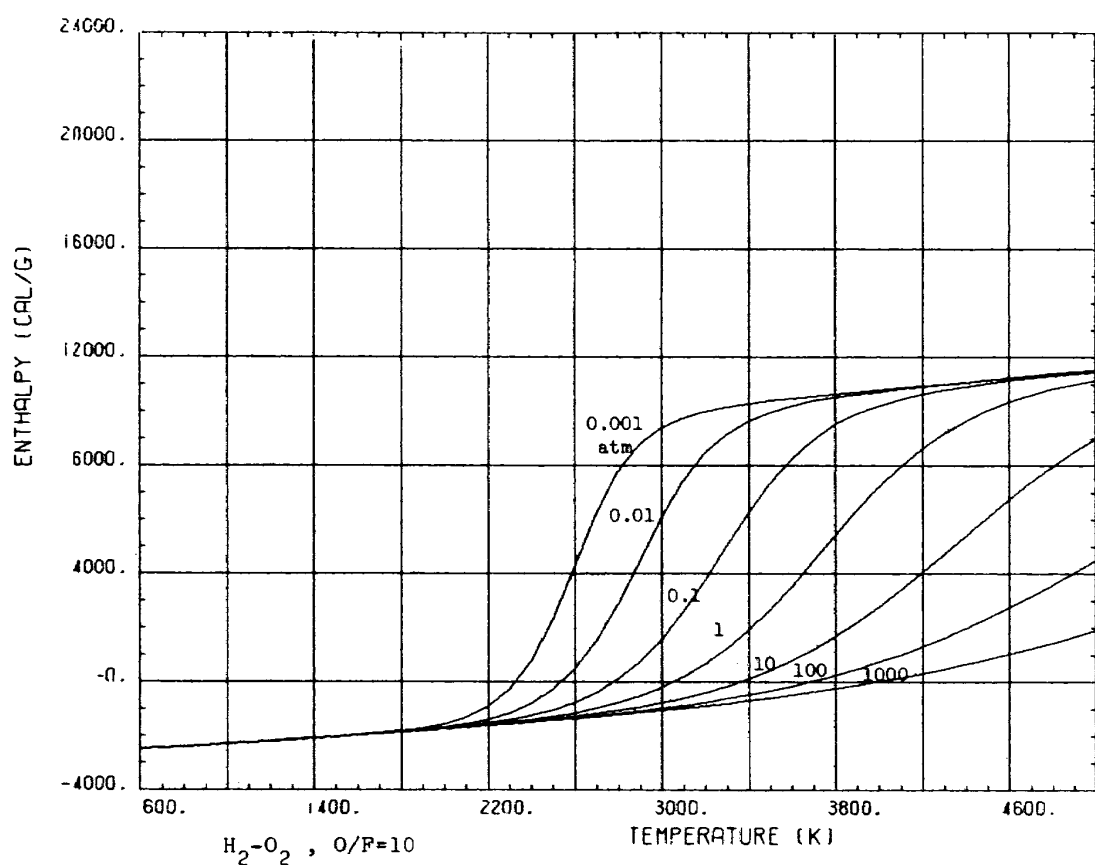


図 B-1-2-5

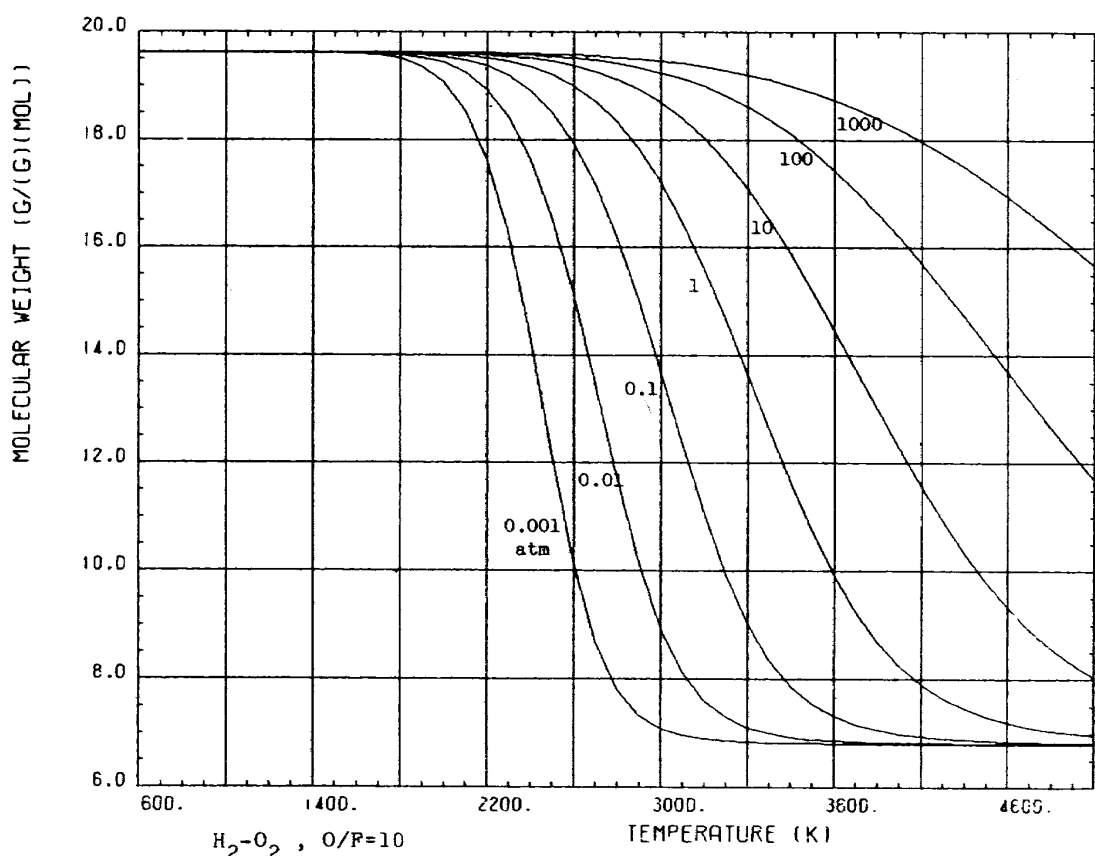


図 B-1-4-5

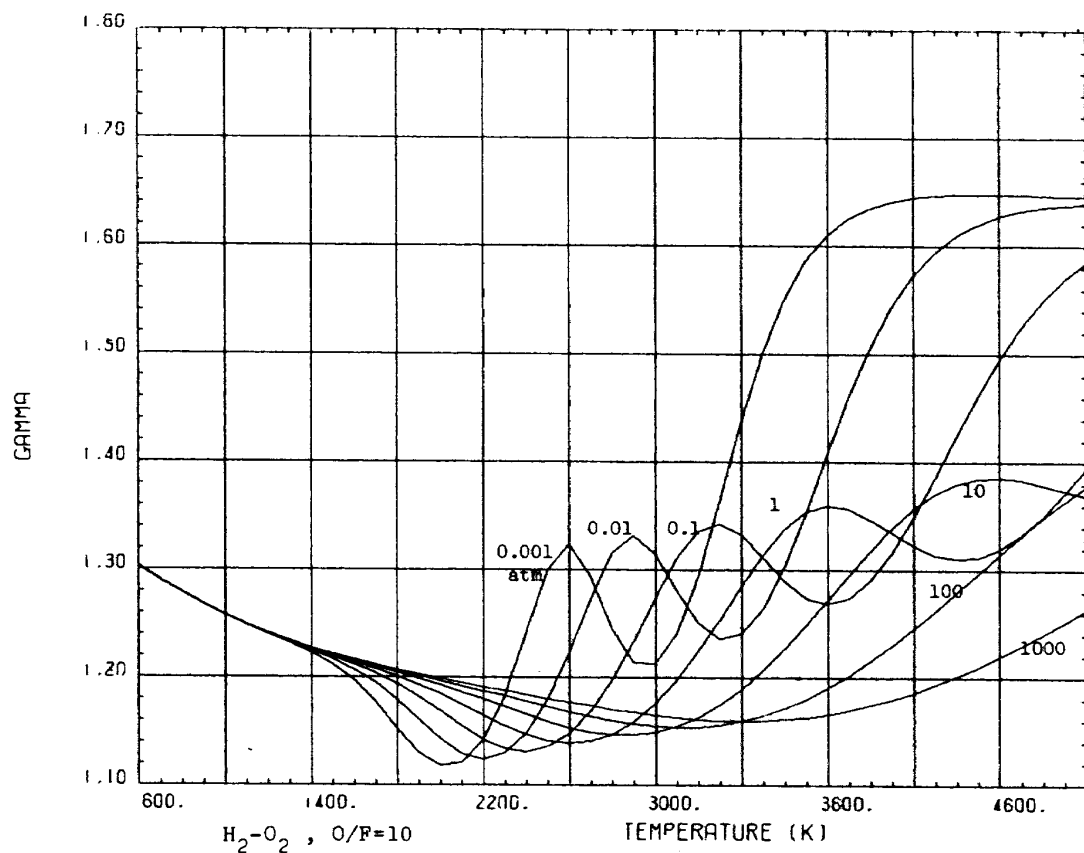


図 B-1-7-5

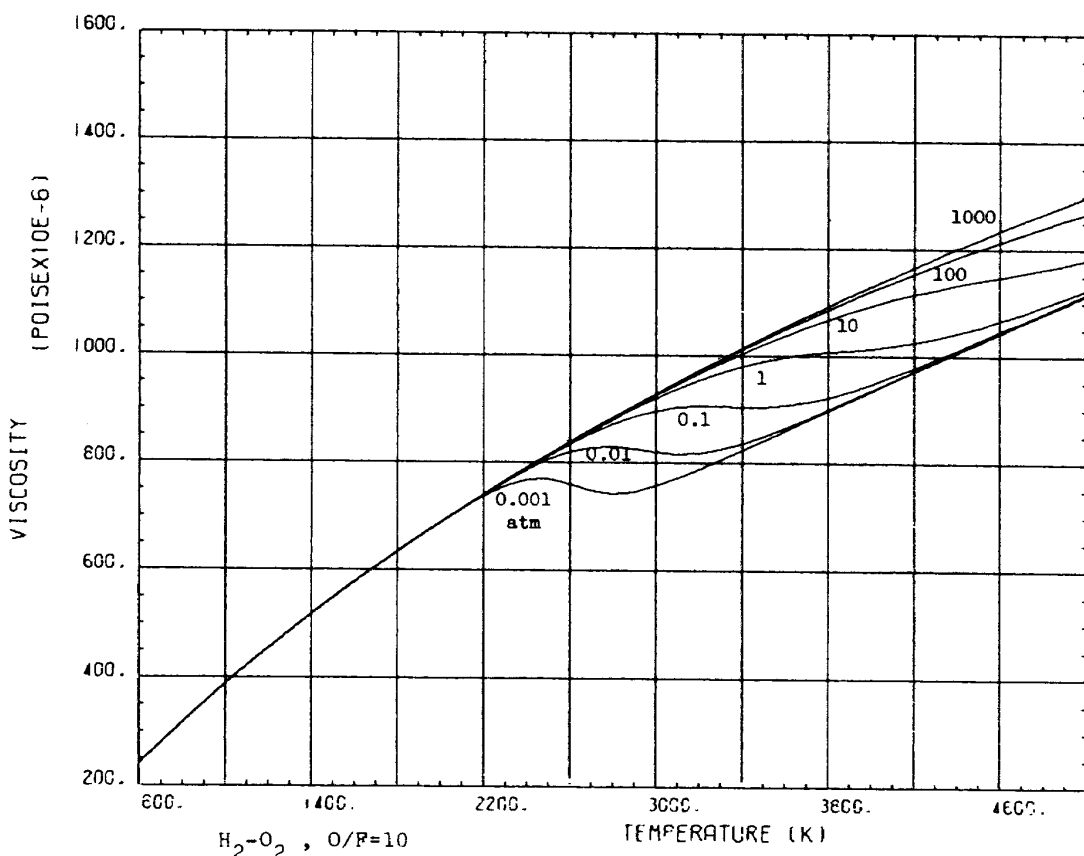


図 B-1-9-5

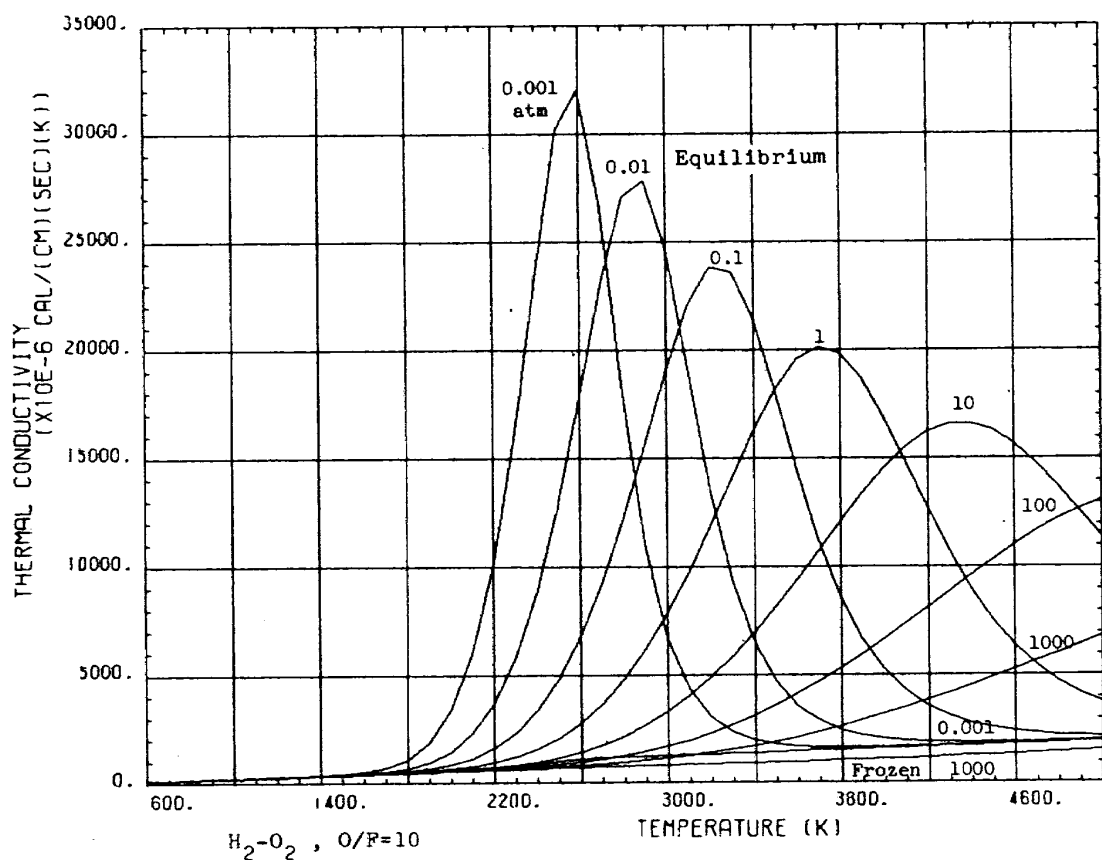


図 B-1-14-5

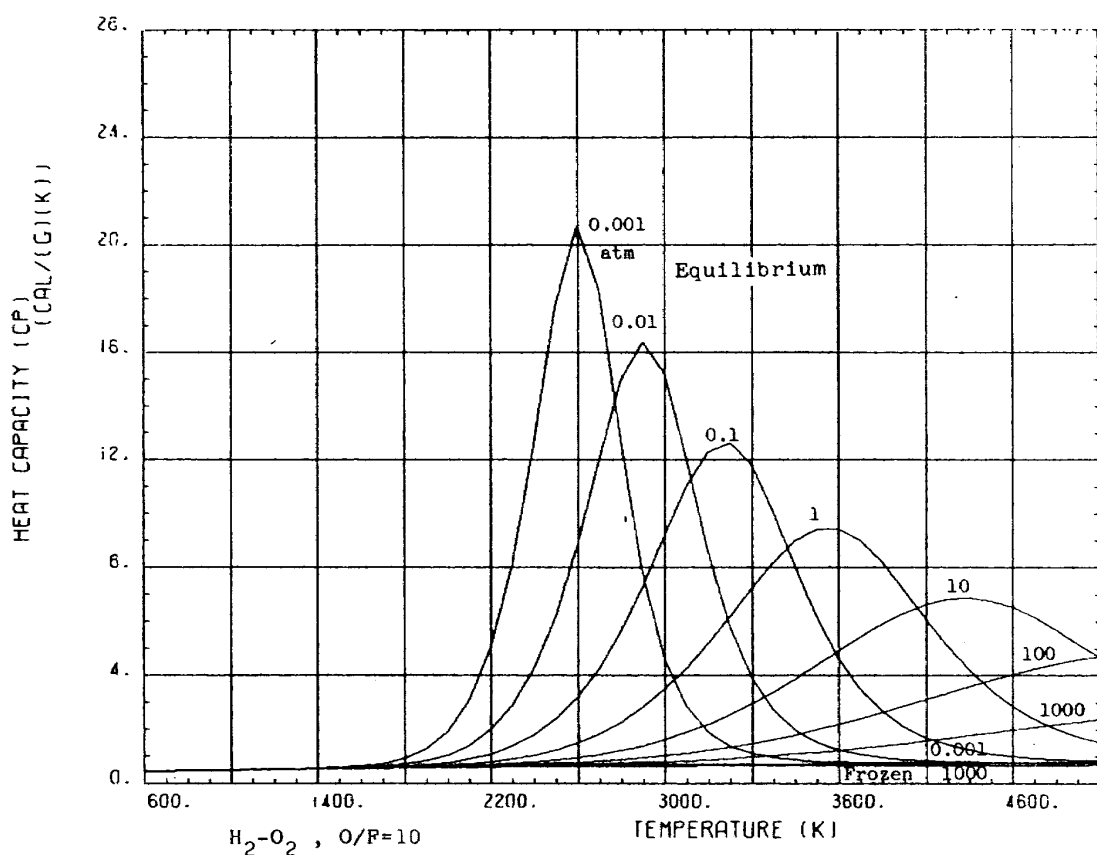


図 B-1-16-5

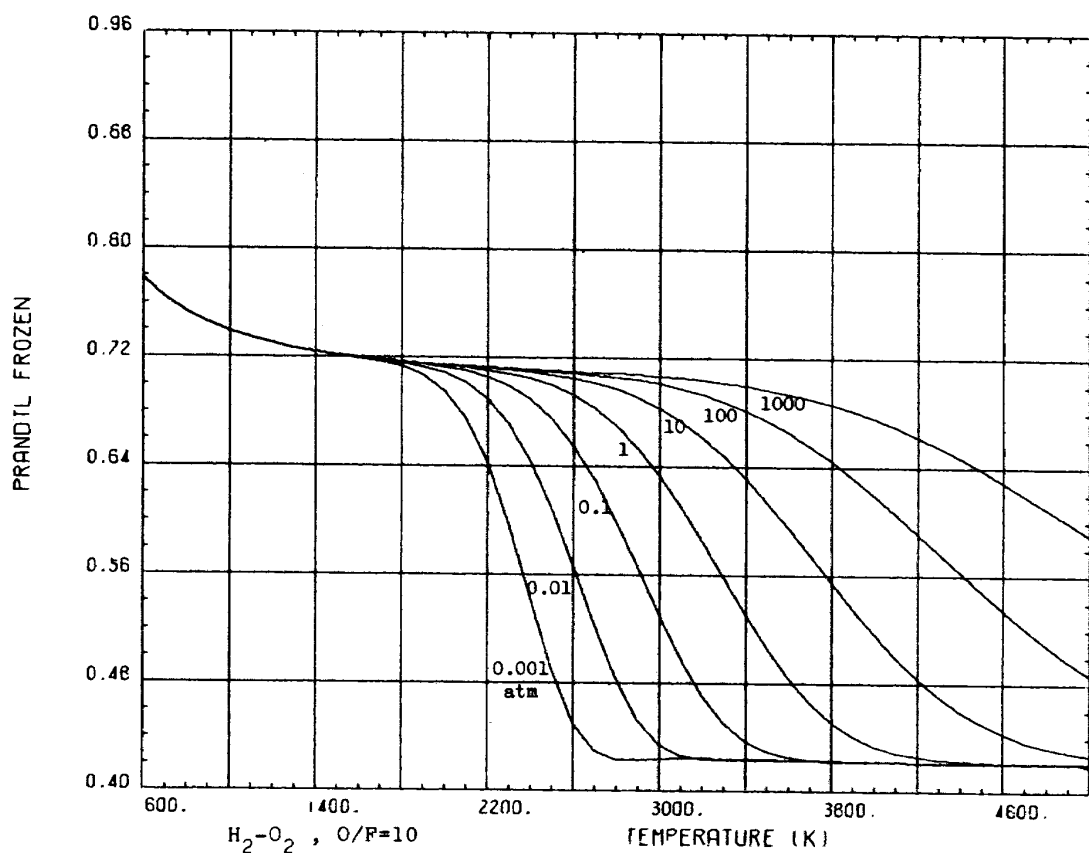


図 B-1-17-5

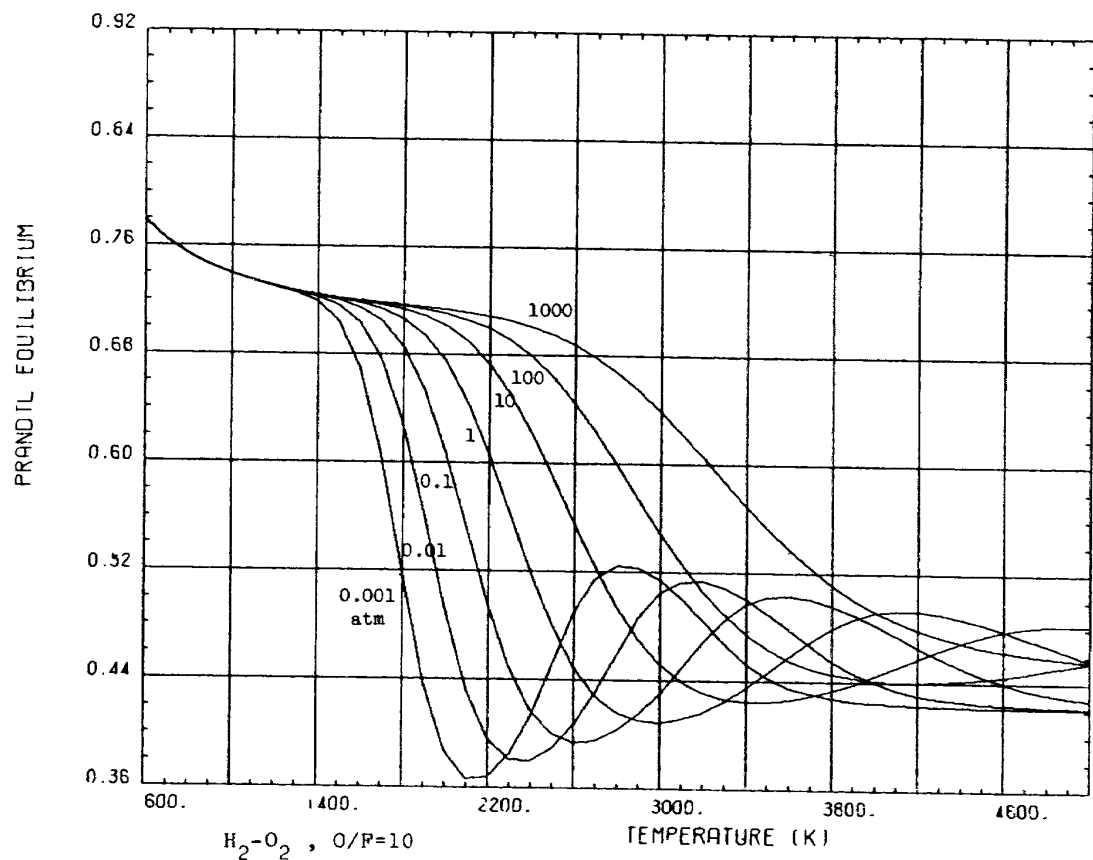


図 B-1-18-5

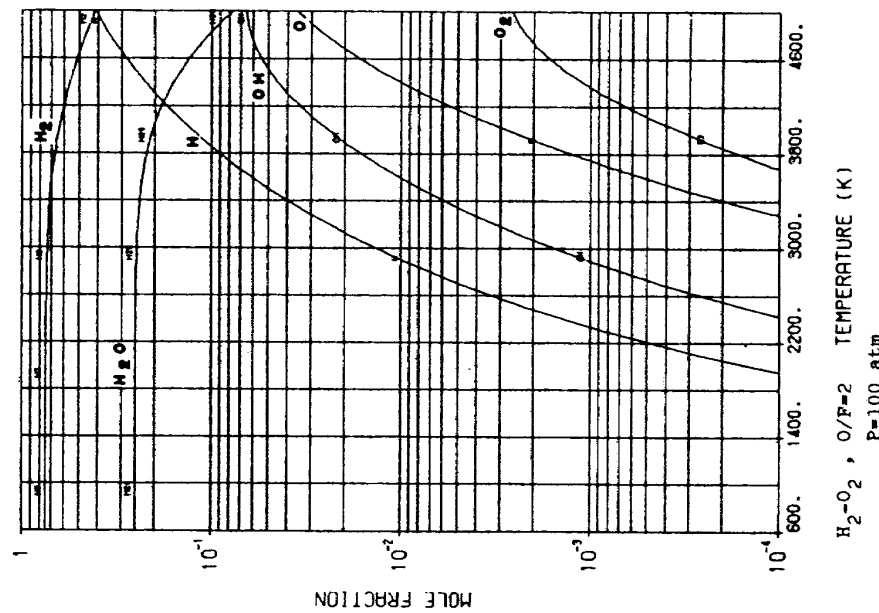


図 C-1-3

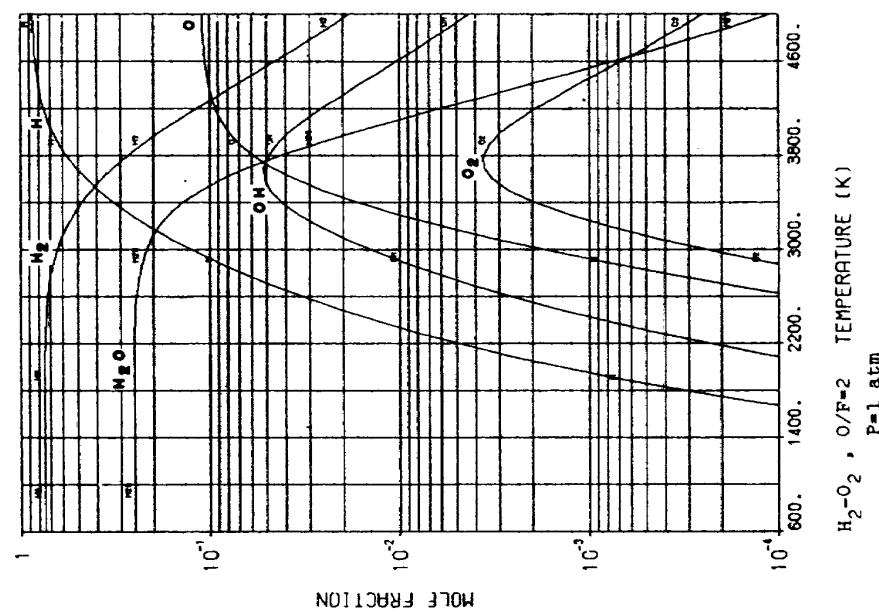


図 C-1-2

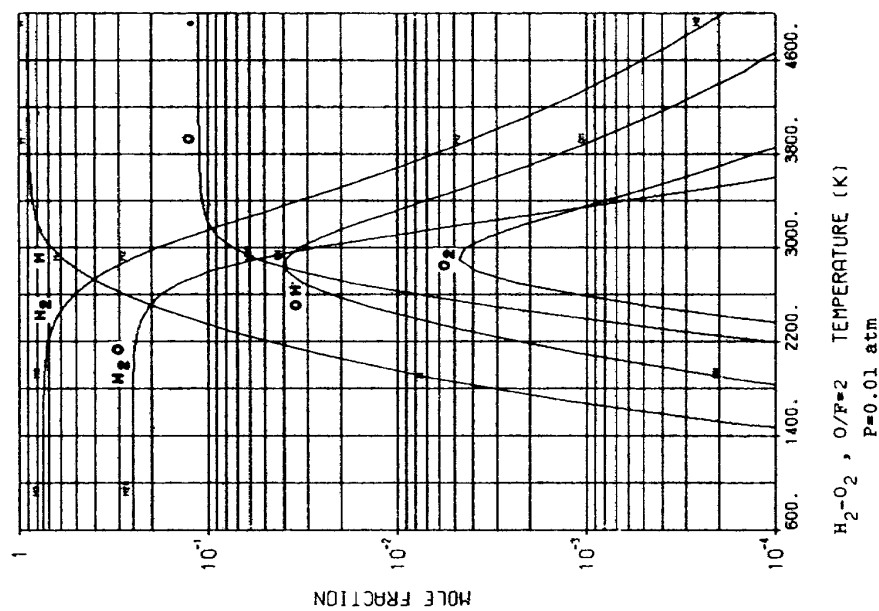


図 C-1-1

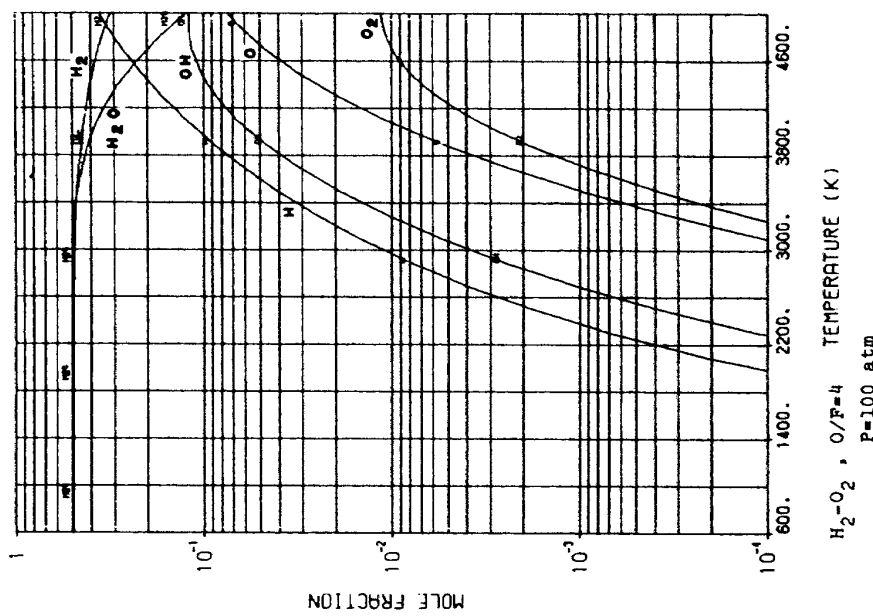


図 C-1-4

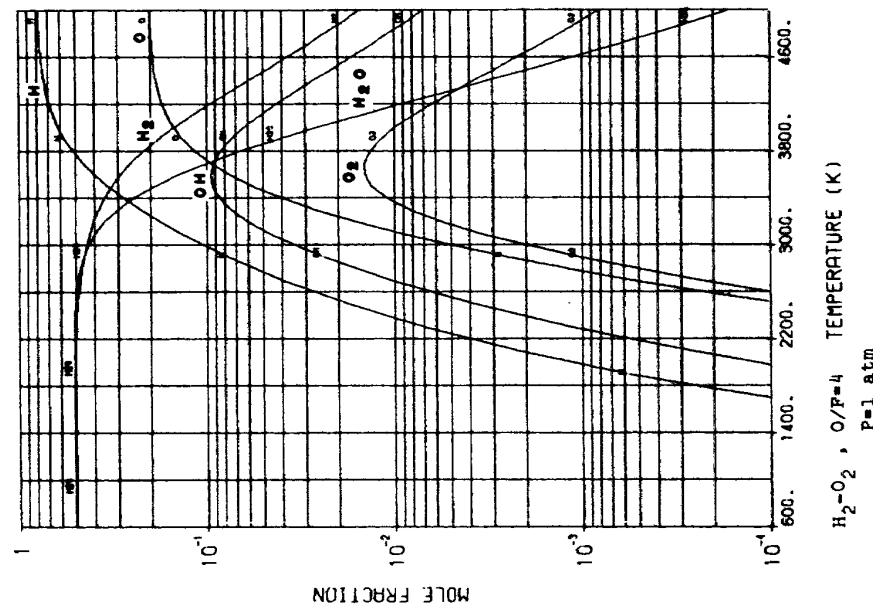
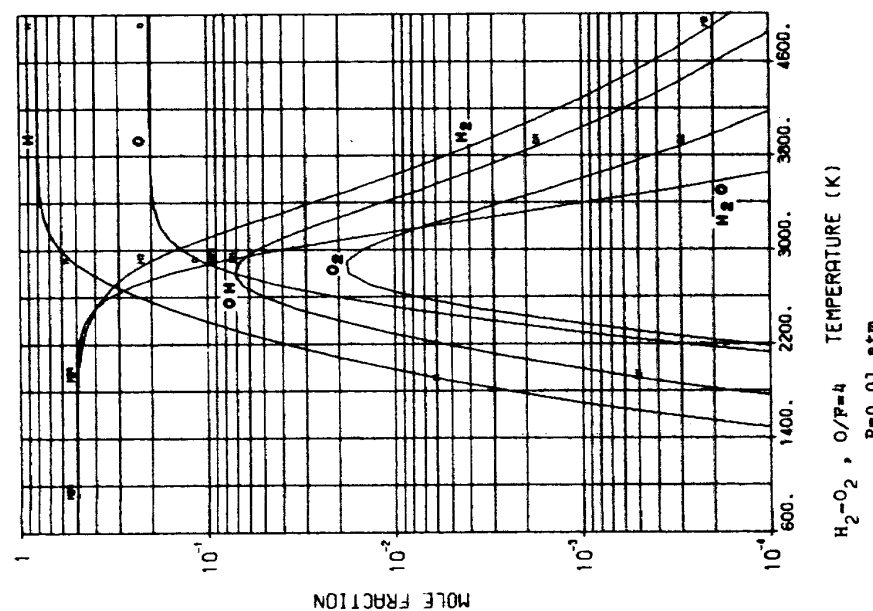


図 C-1-5



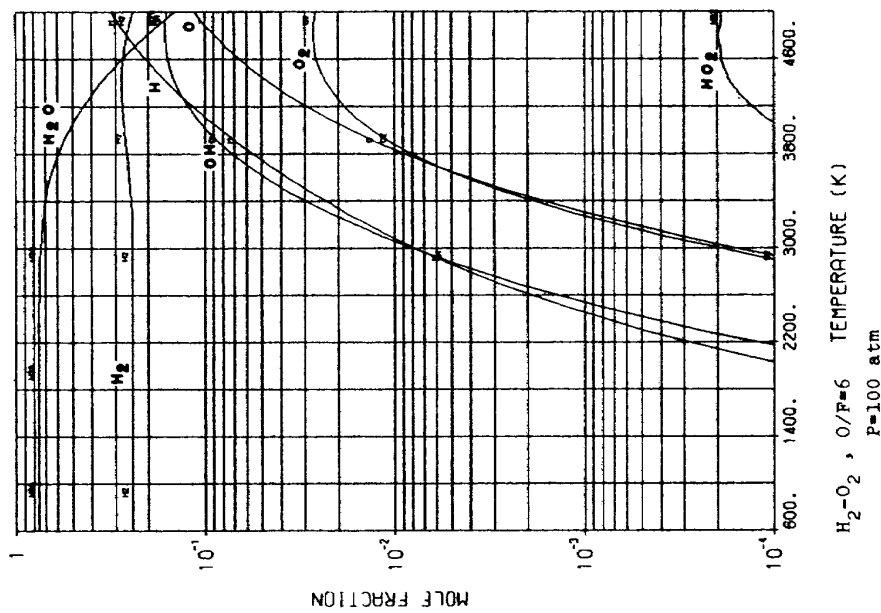


図 C-1-9

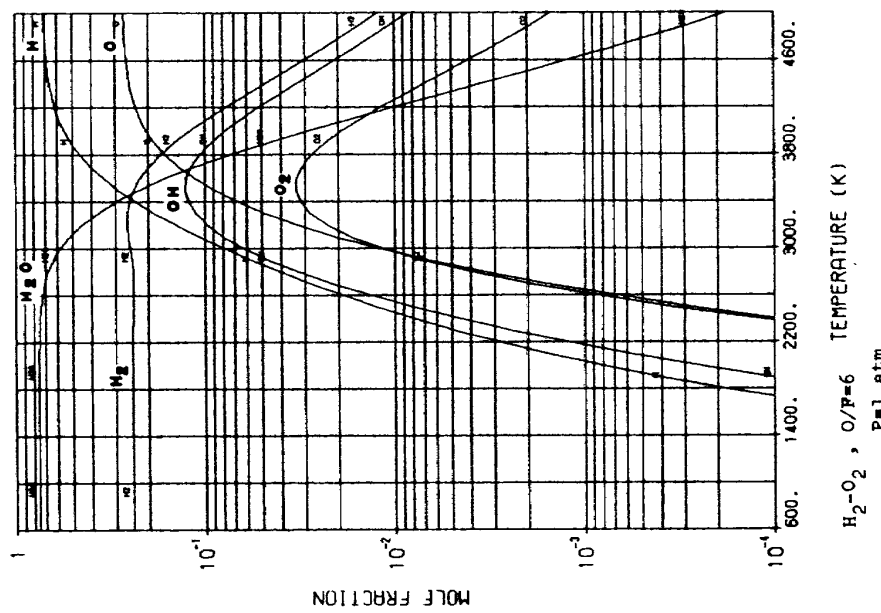


図 C-1-8

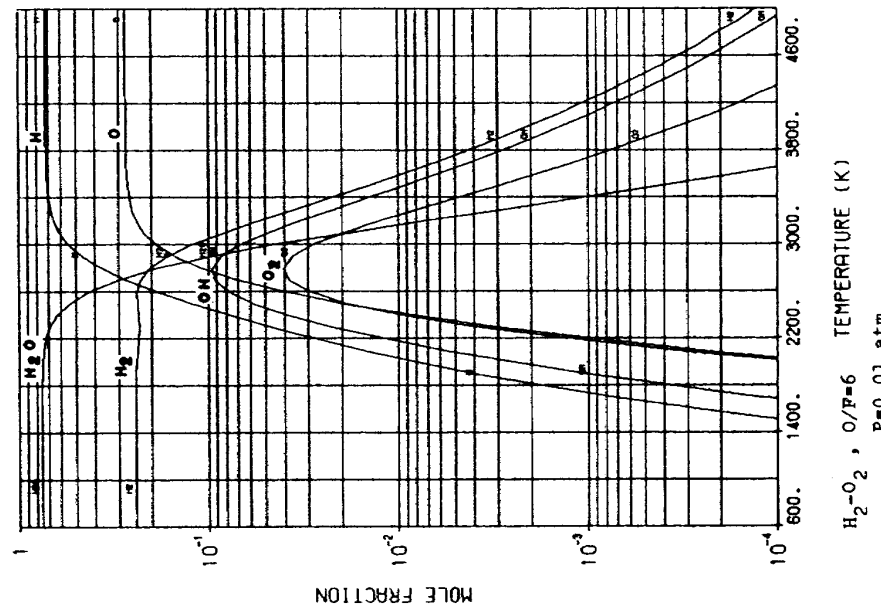


図 C-1-7

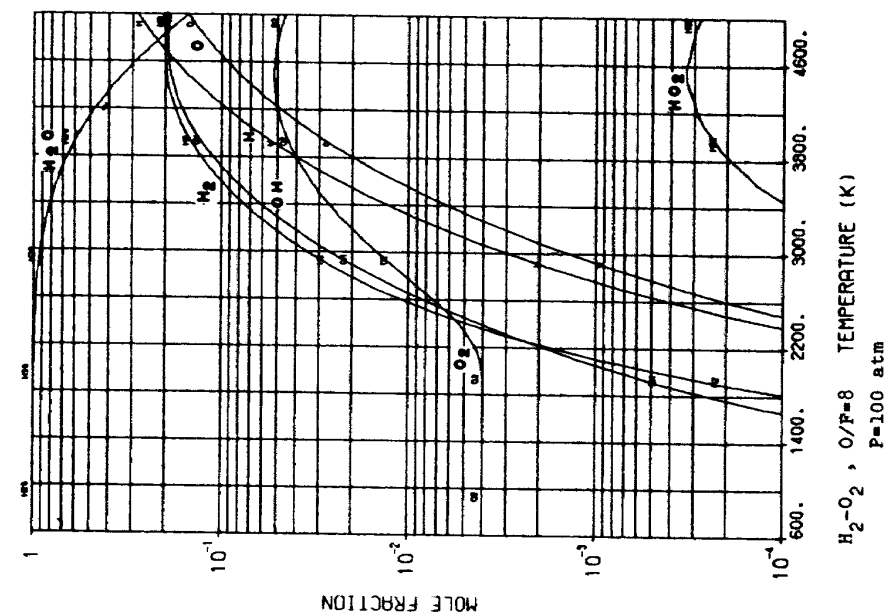


図 C-1-12

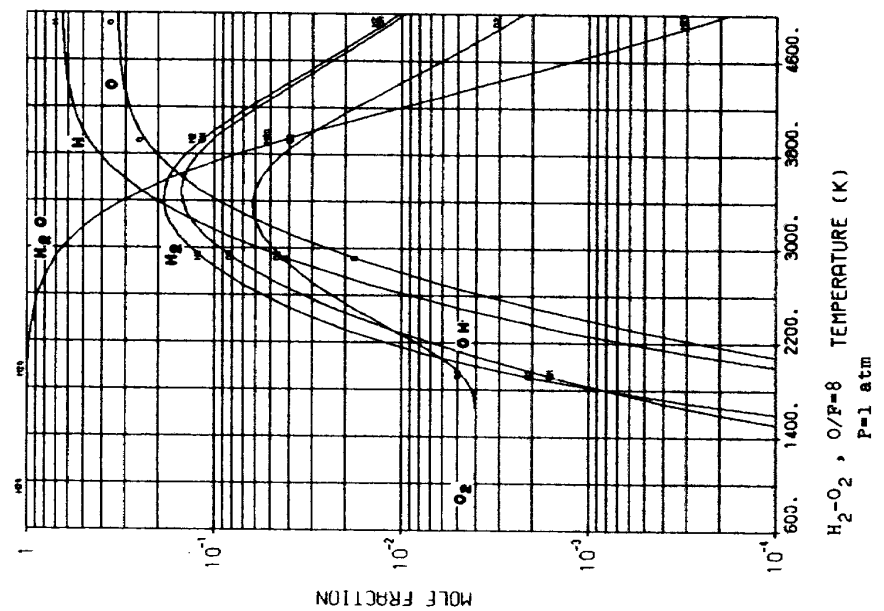


図 C-1-11

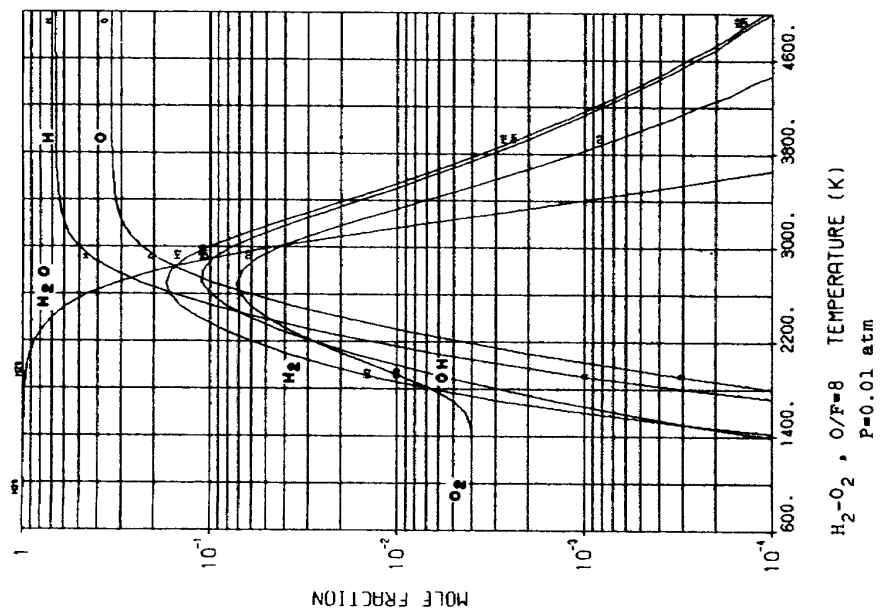


図 C-1-10

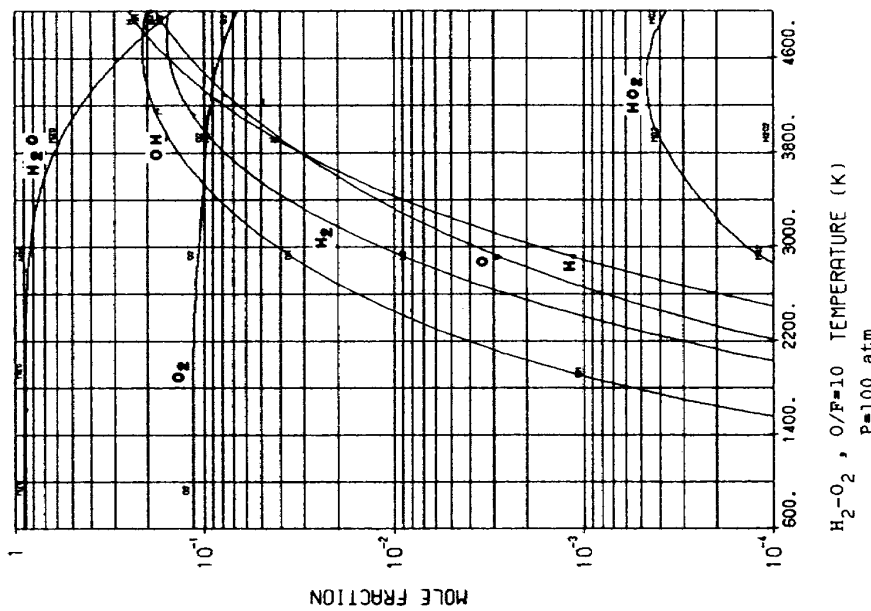


図 C-1-15

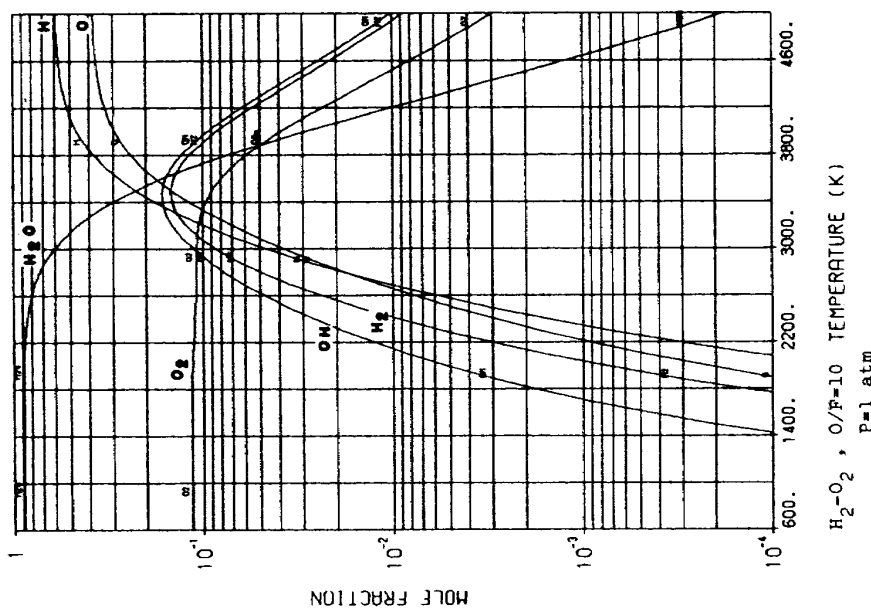


図 C-1-14

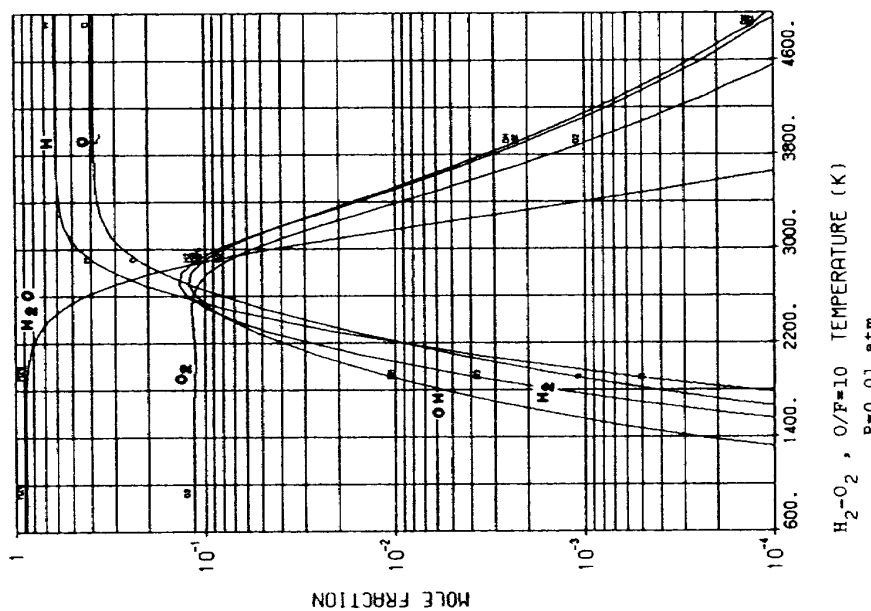


図 C-1-13

付録 2 H₂-Air 系

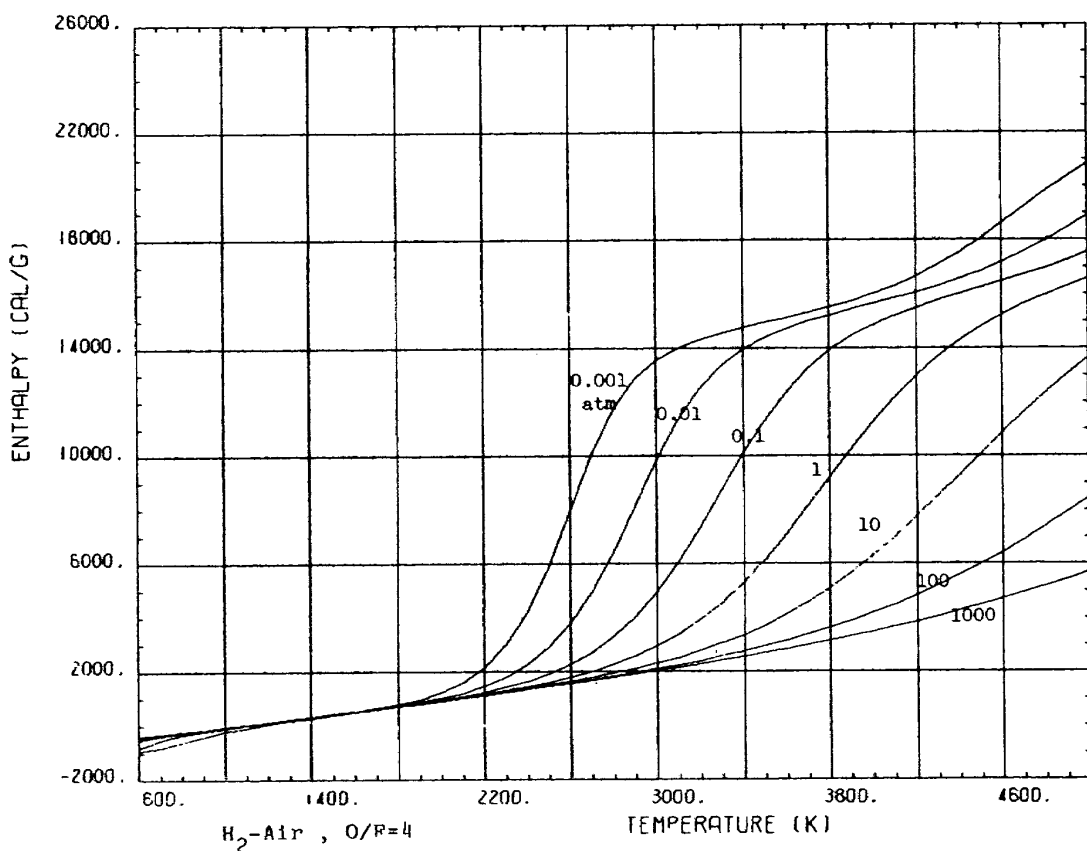


図 B-2-2-1

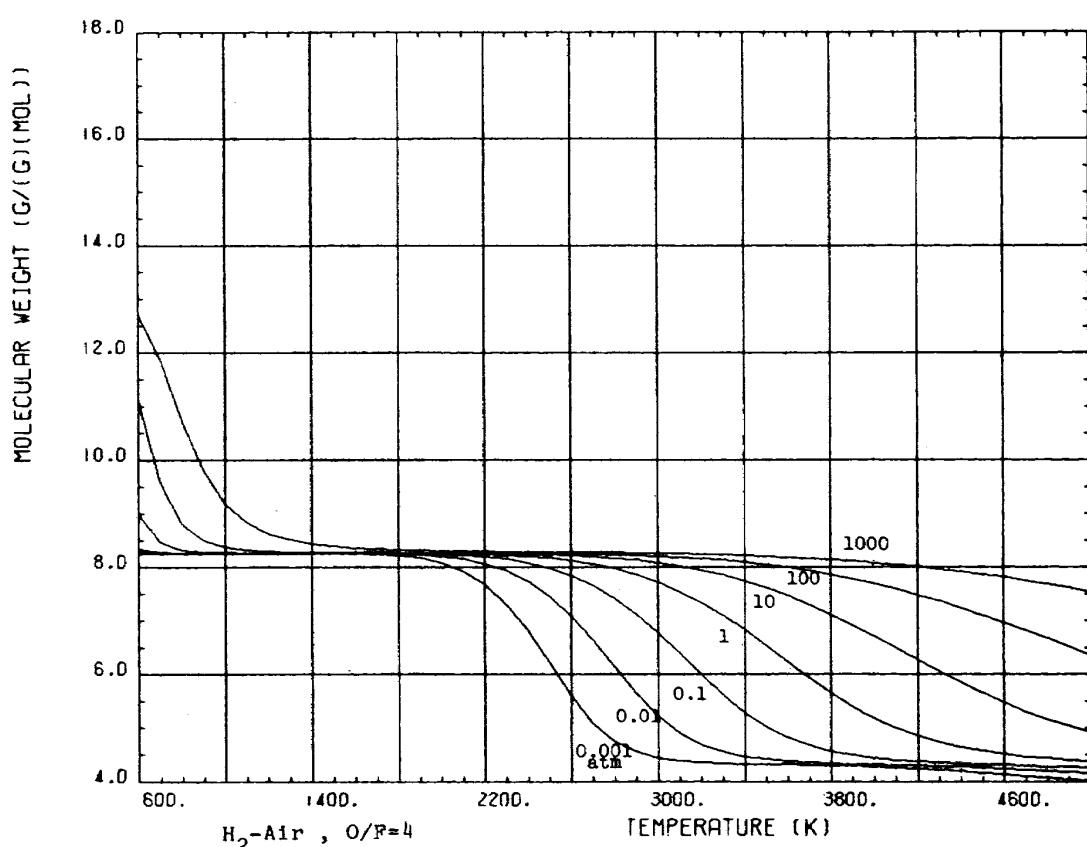


図 B-2-4-1

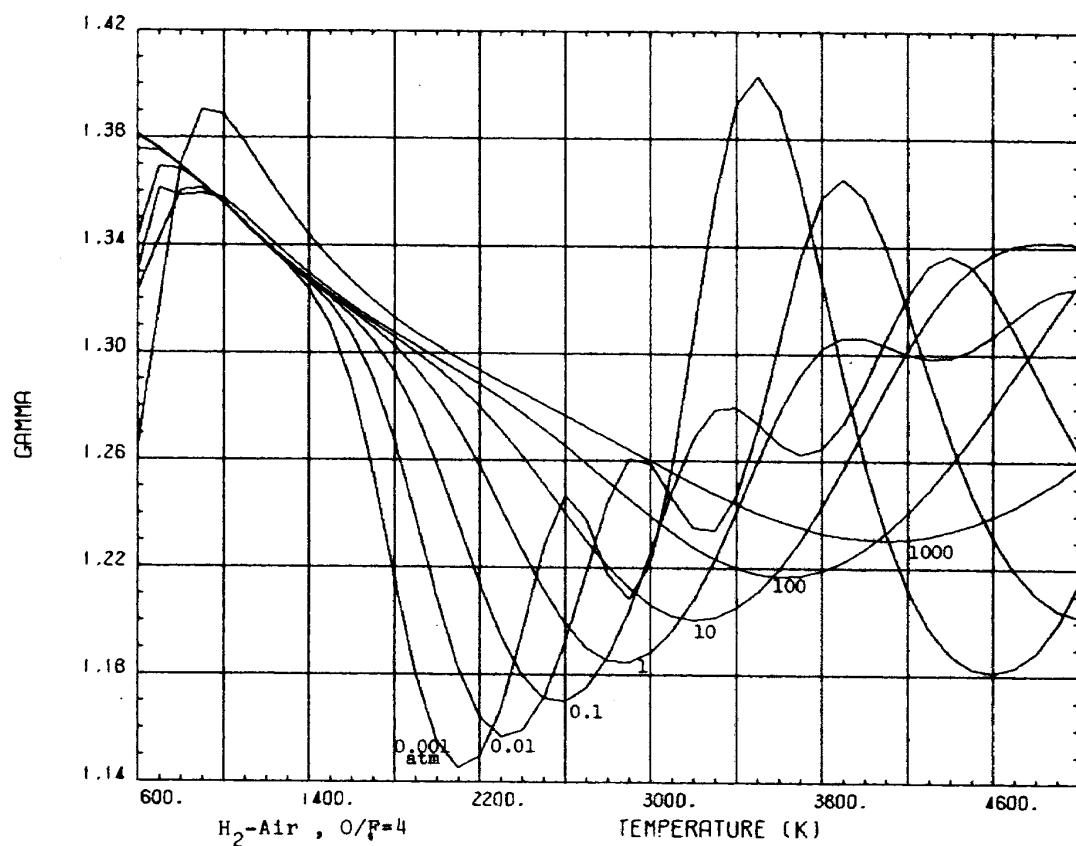


図 B-2-7-1

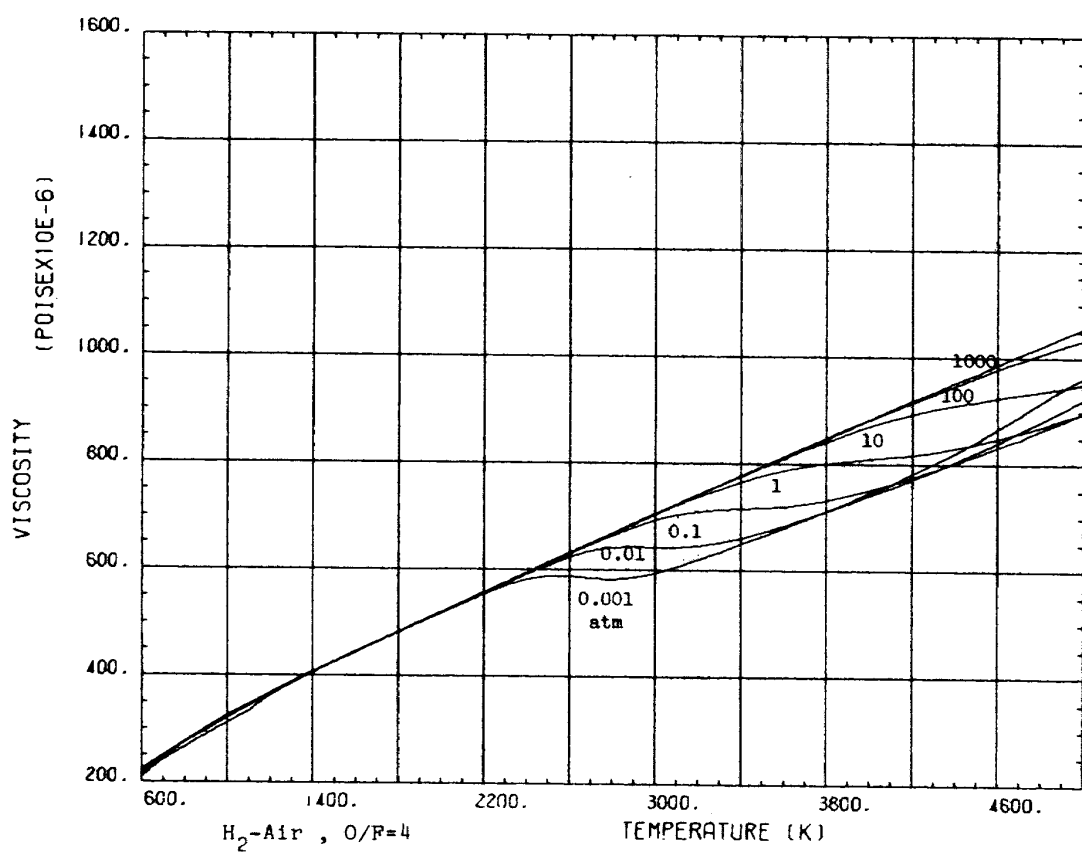


図 B-2-9-1

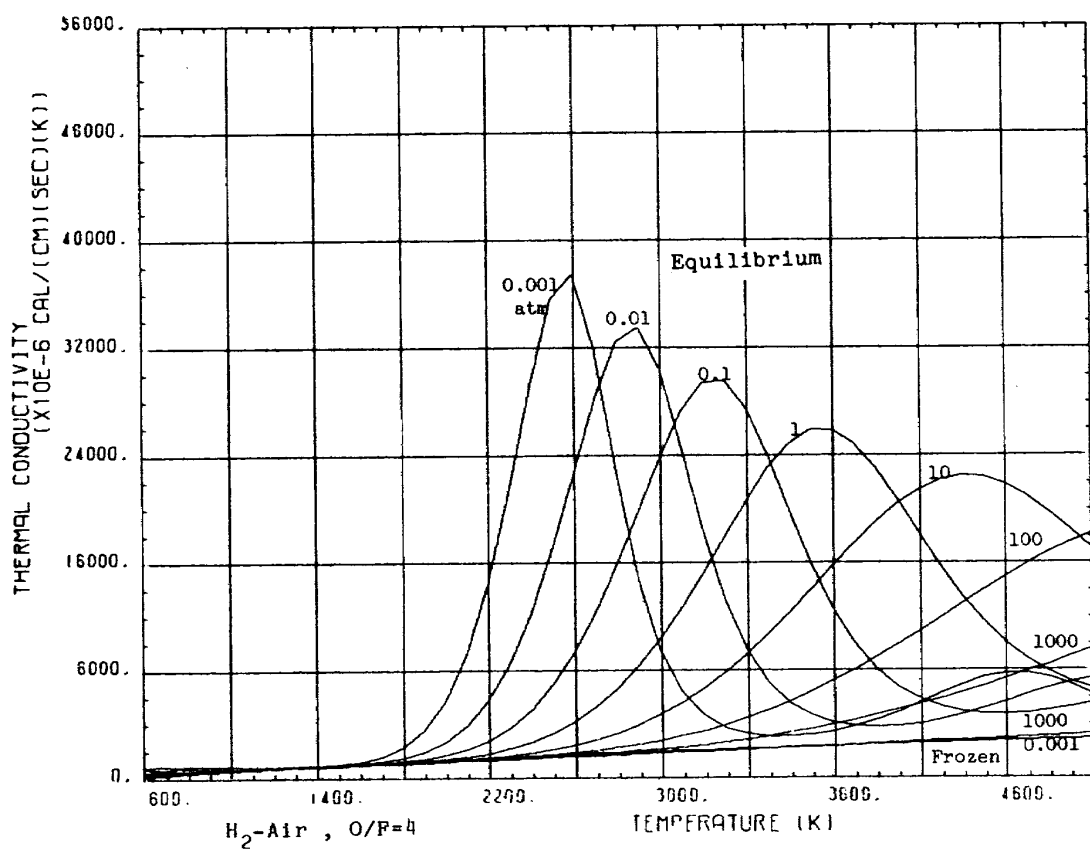


図 B-2-14-1

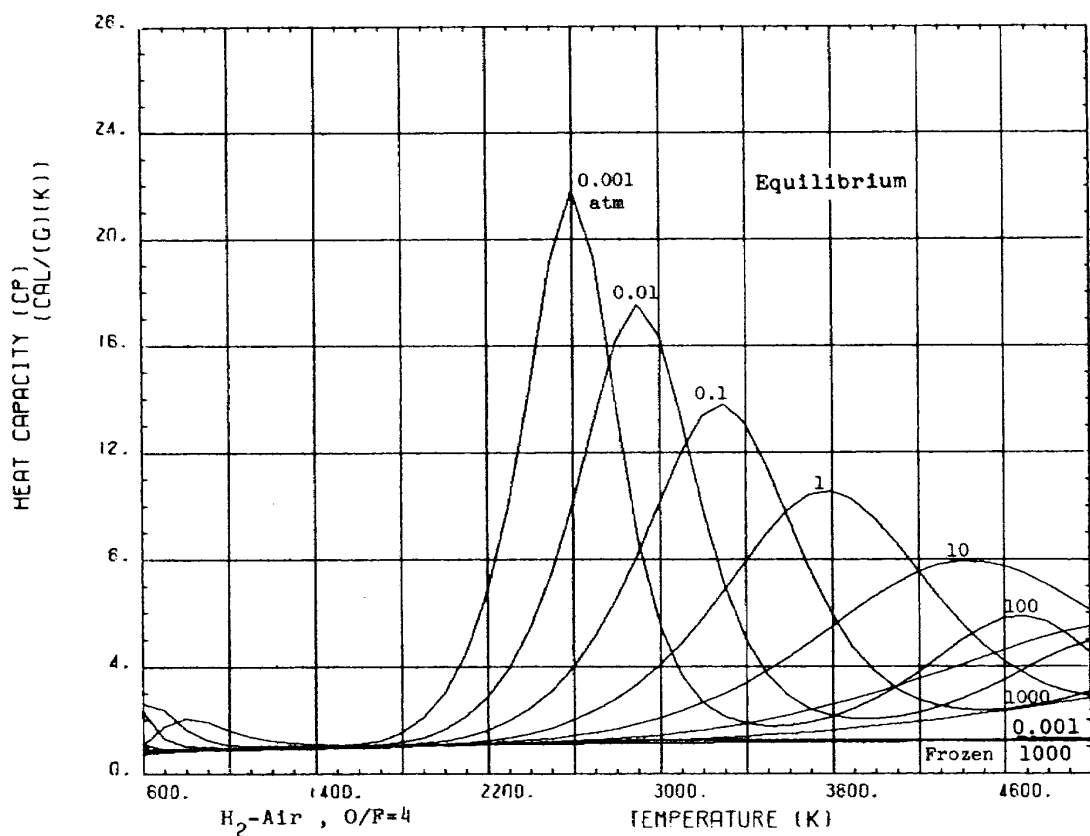


図 B-2-16-1

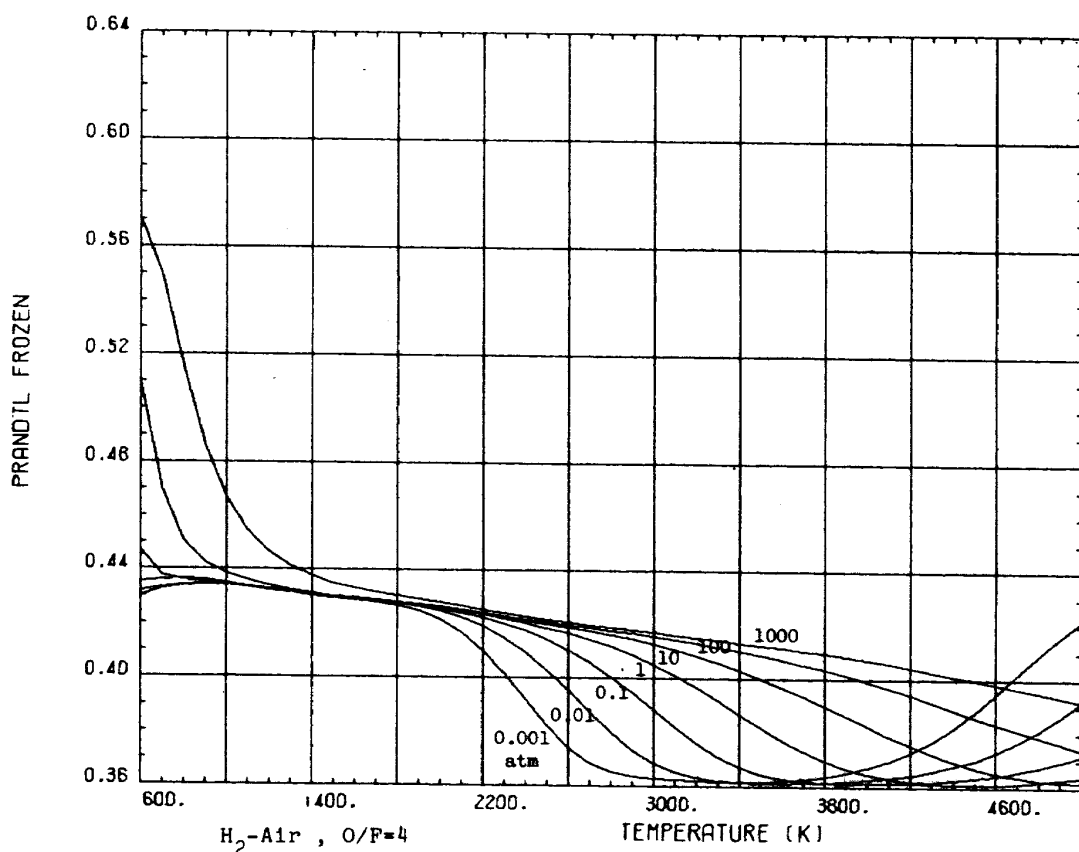


図 B-2-17-1

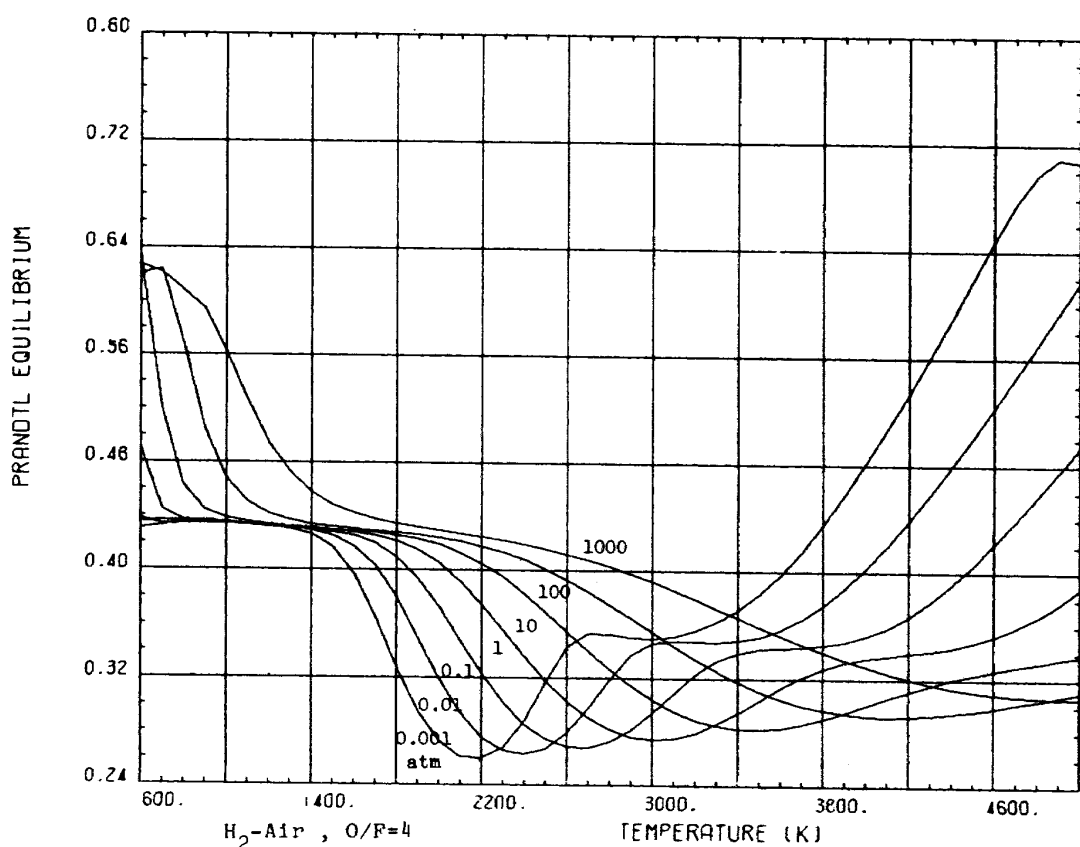


図 B-2-18-1

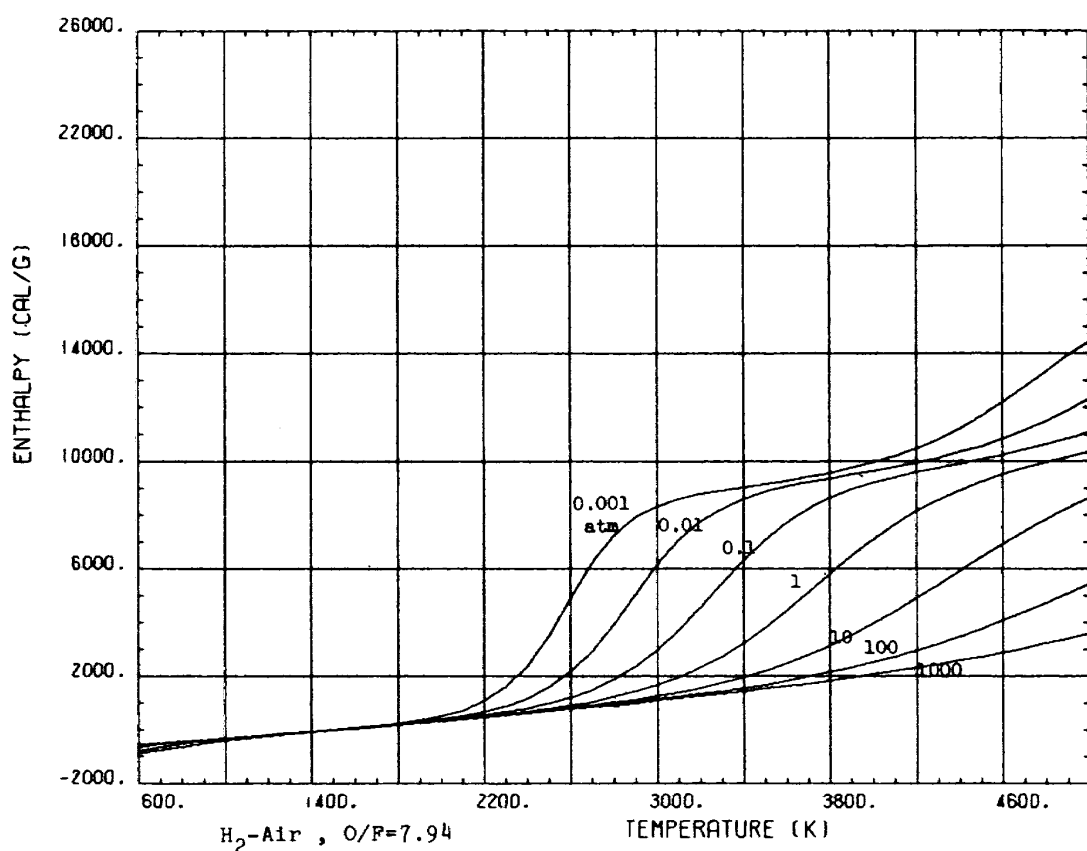


図 B-2-2-2

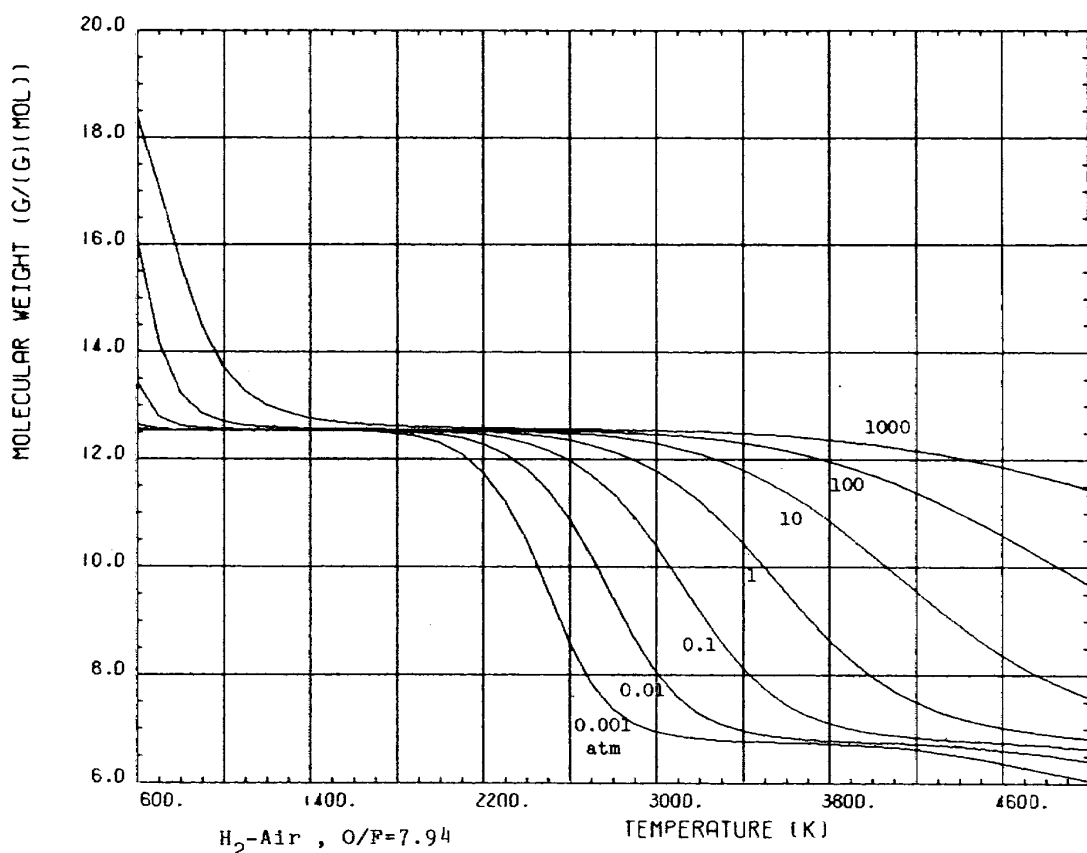


図 B-2-4-2

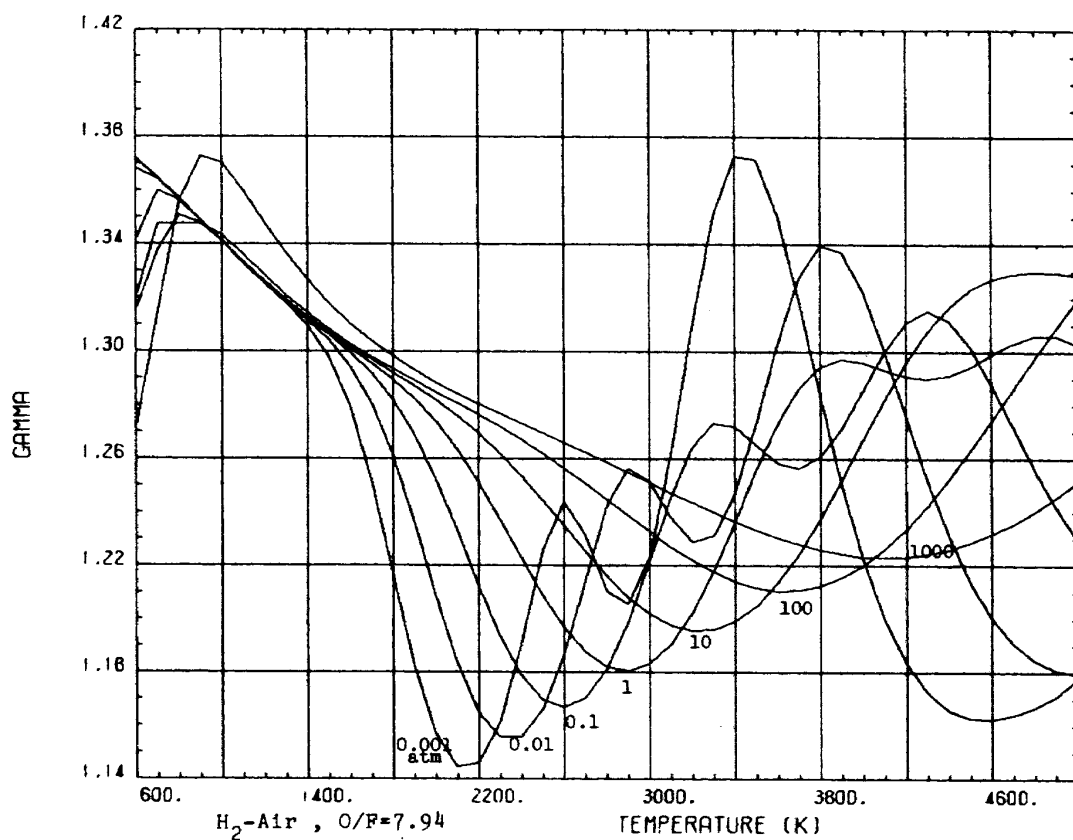


図 B-2-7-2

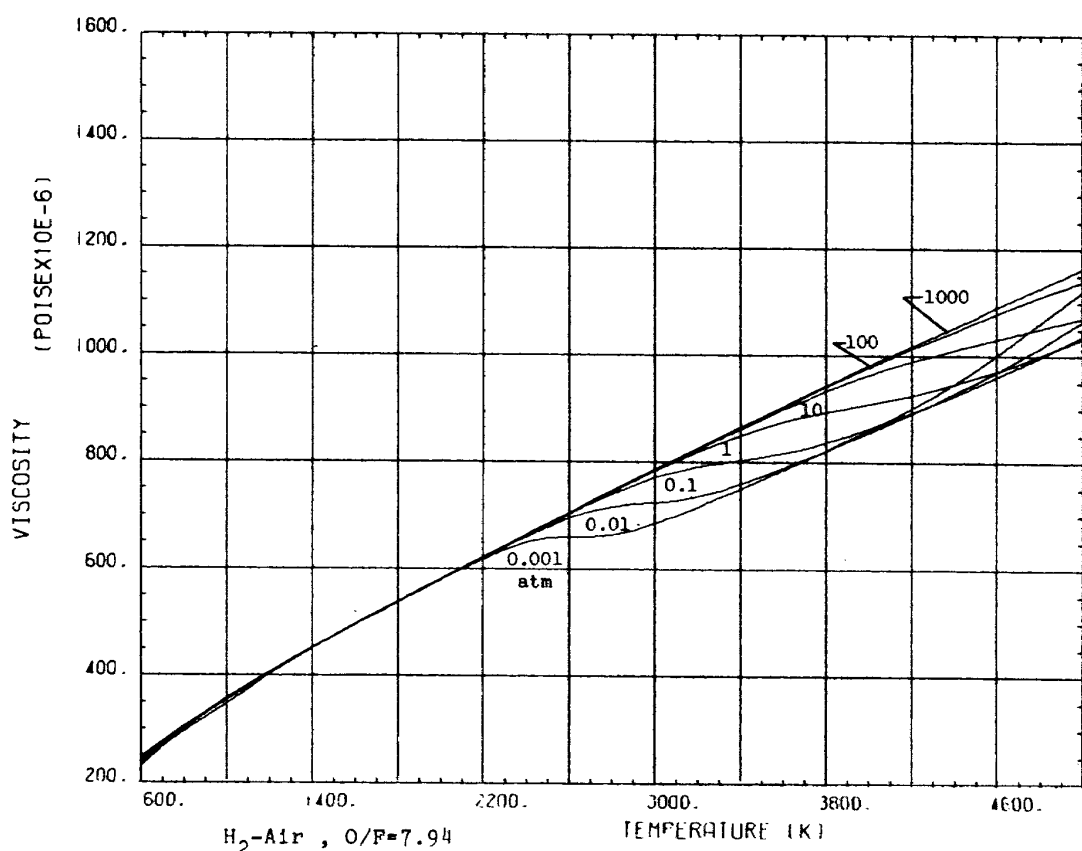


図 B-2-9-2

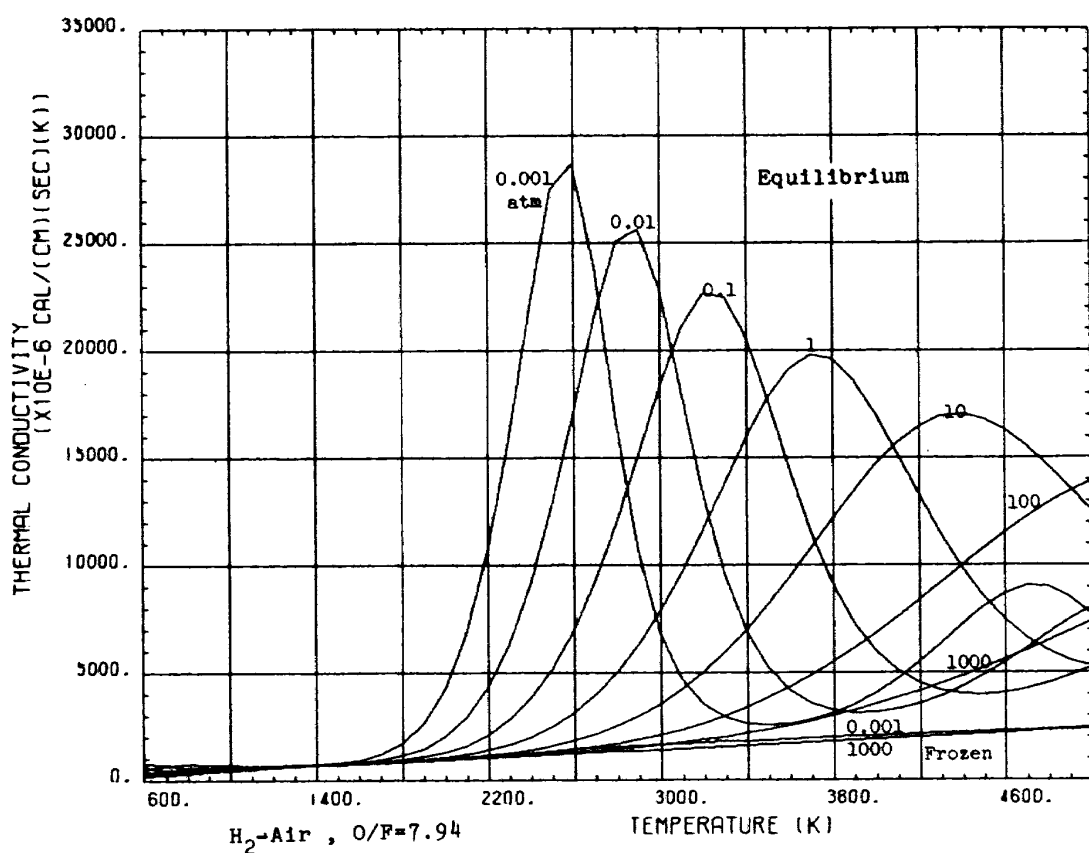


図 B-2-14-2

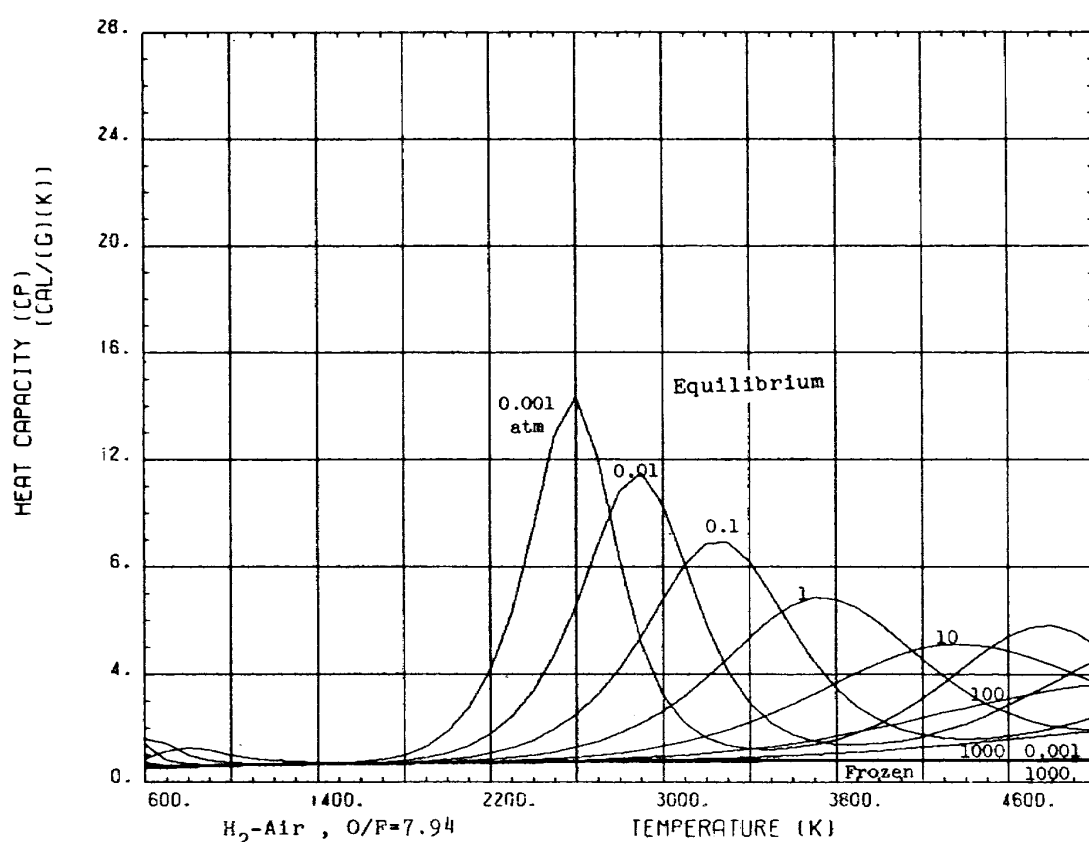


図 B-2-16-2

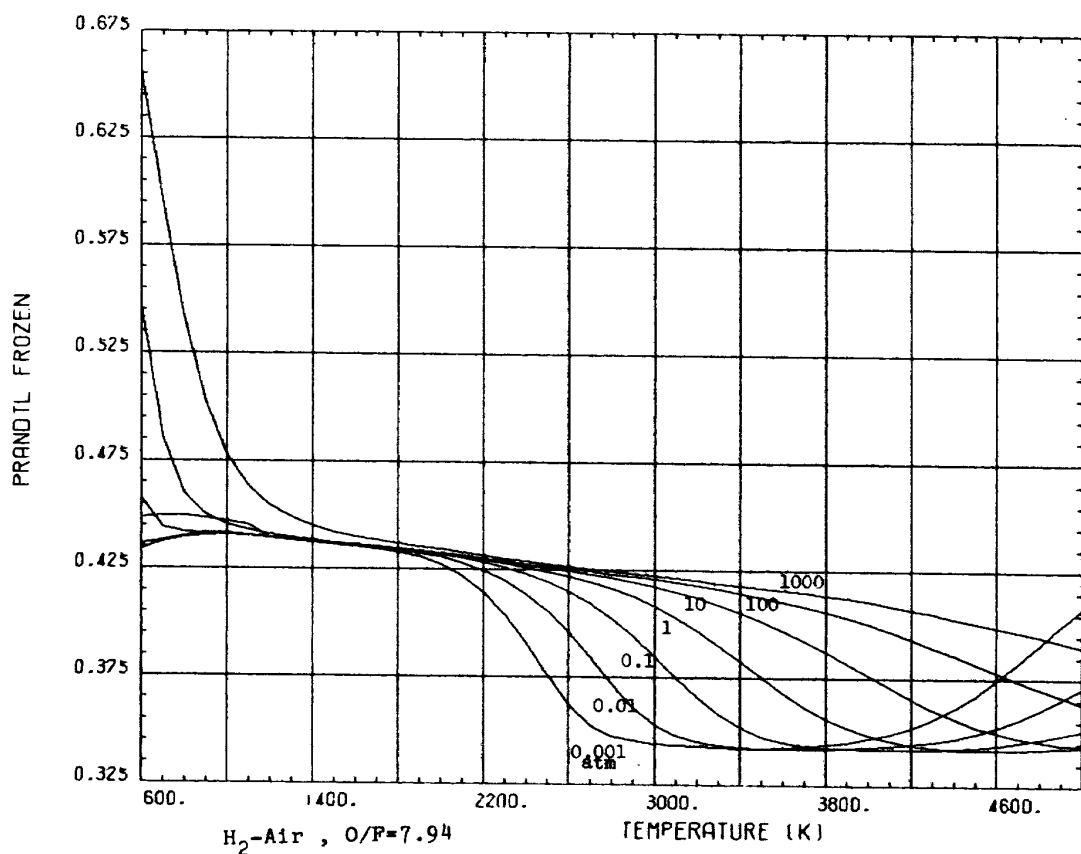


図 B-2-17-2

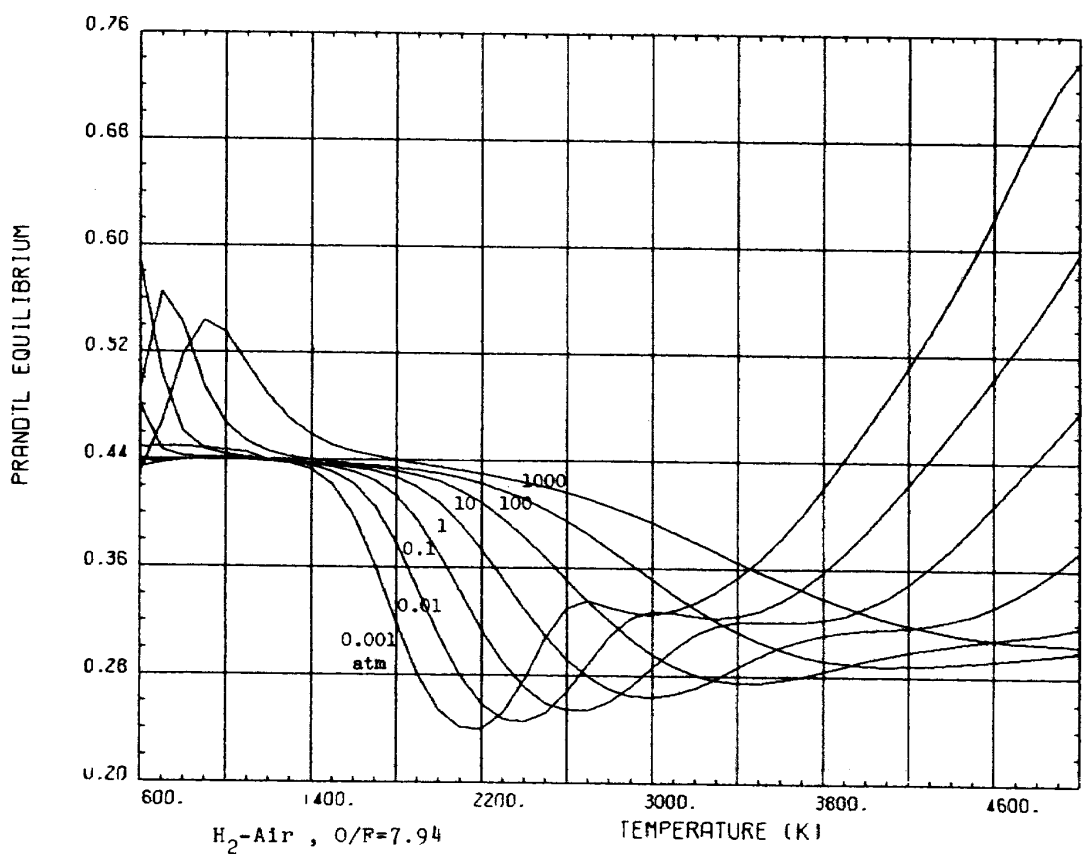


図 B-2-18-2

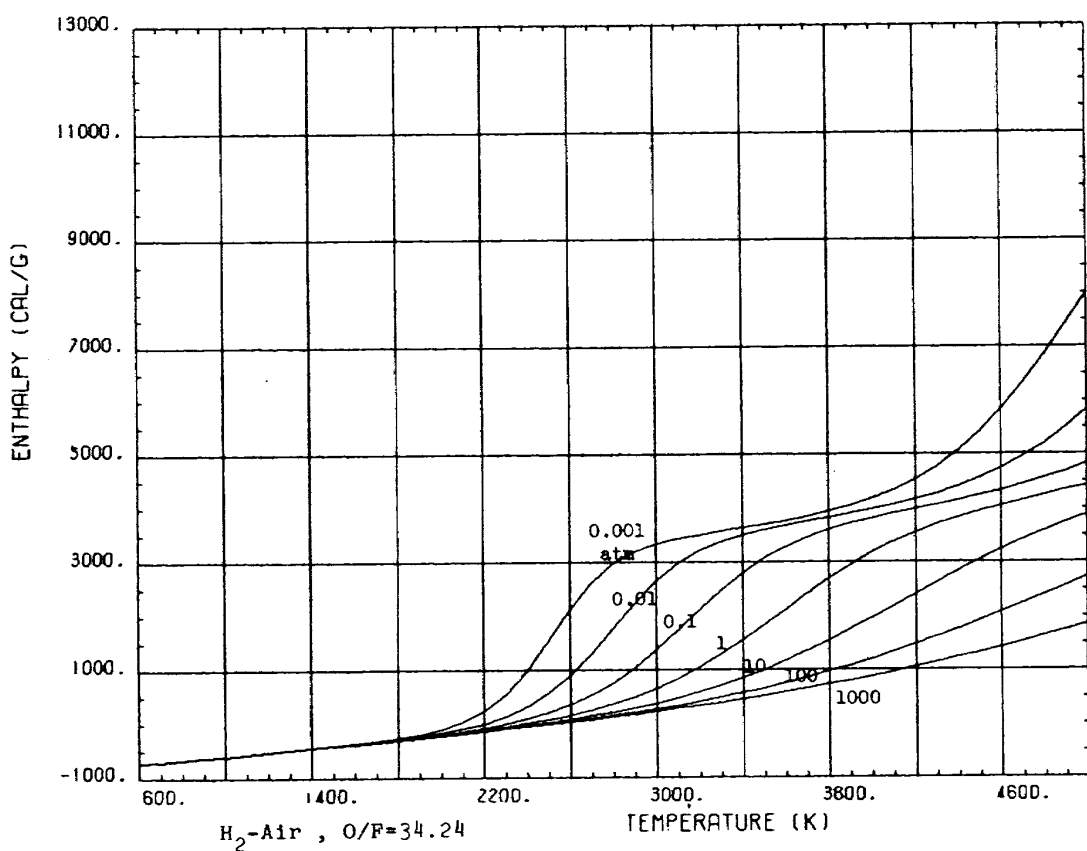


図 B-2-2-3

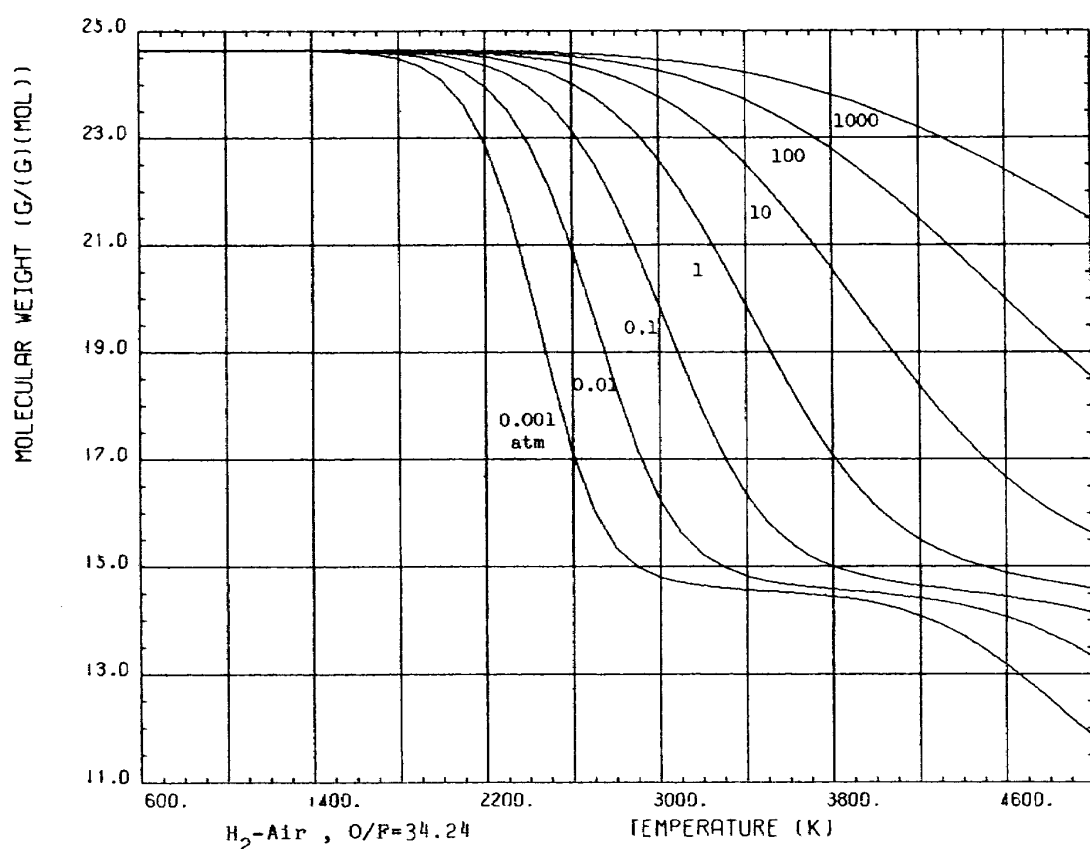


図 B-2-4-3

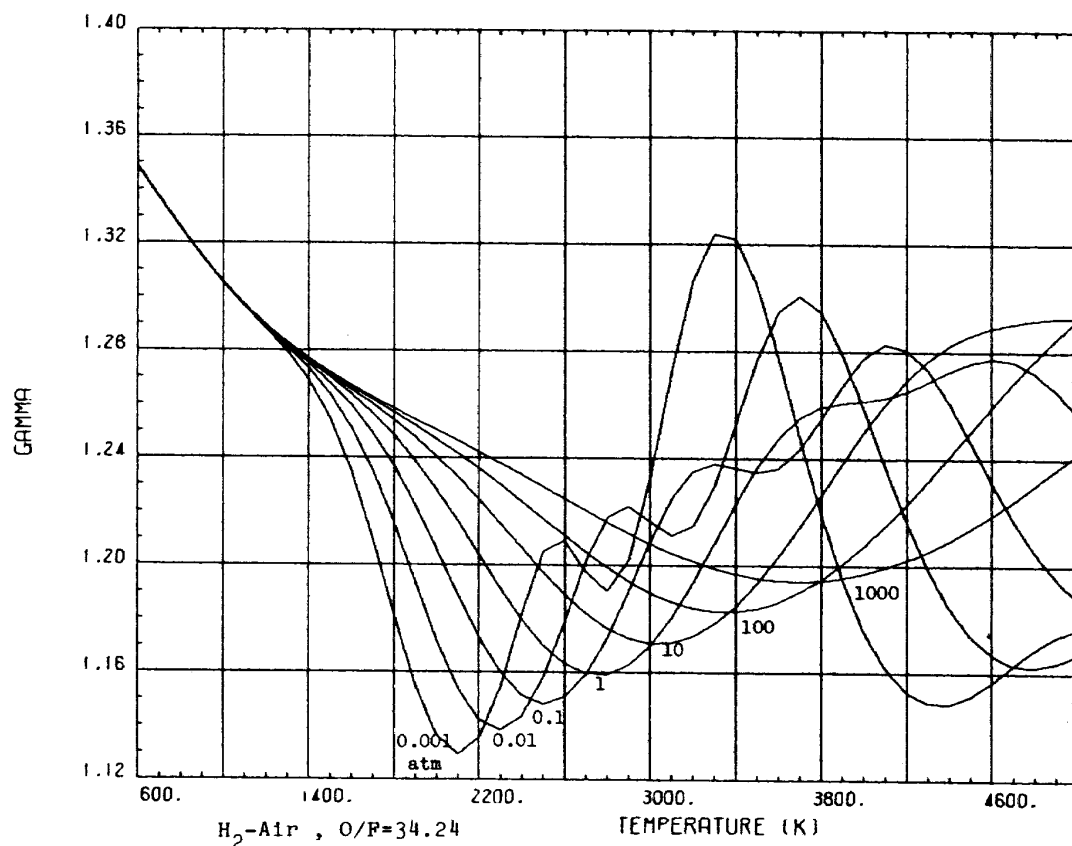


図 B-2-7-3

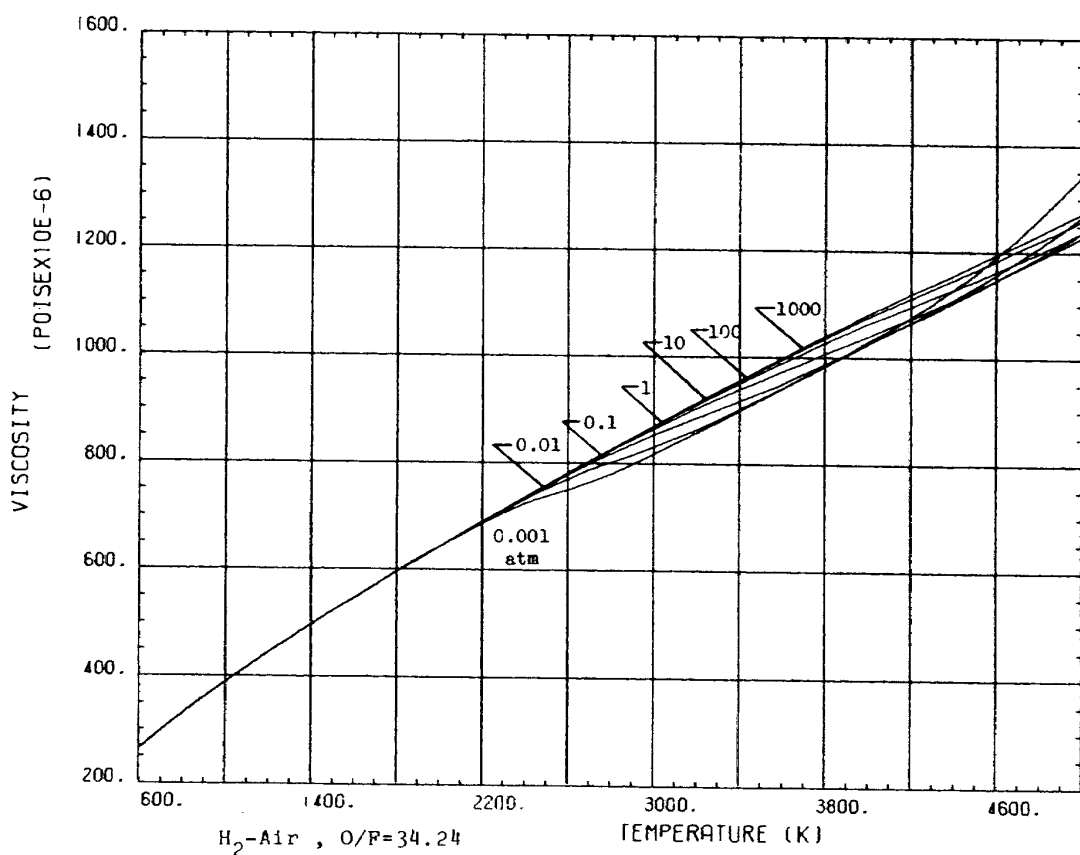


図 B-2-9-3

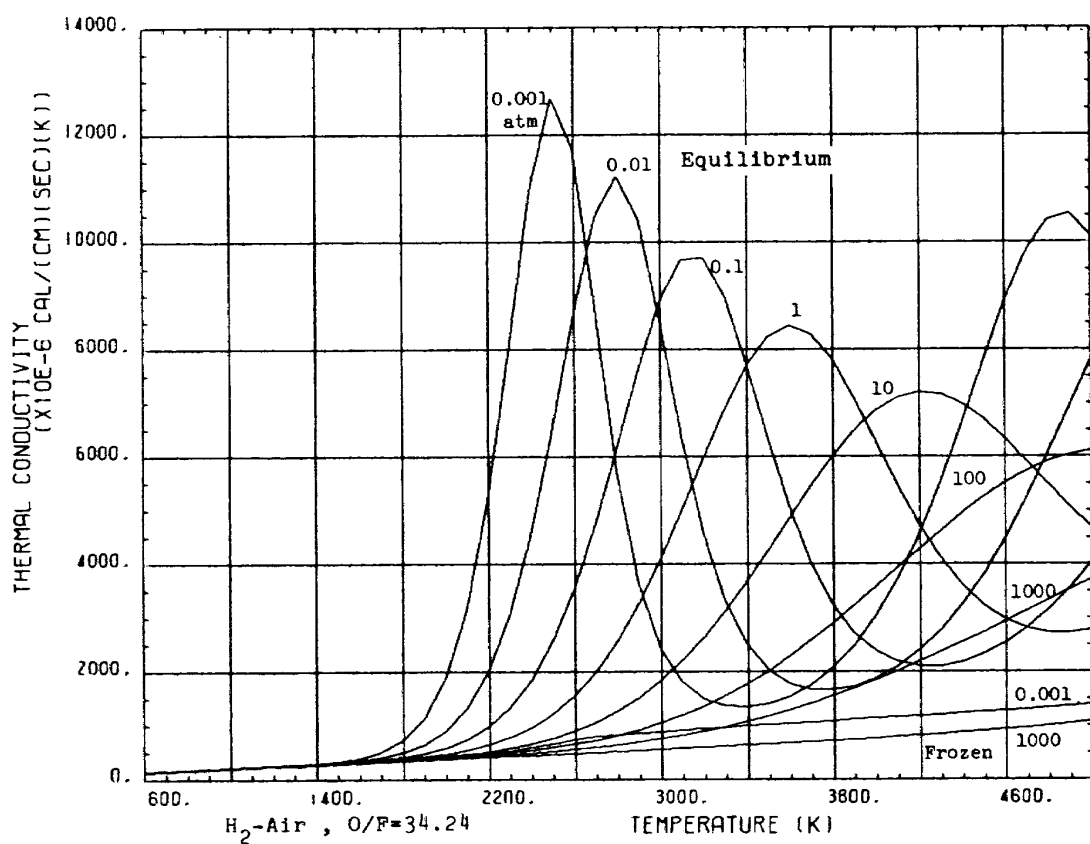


図 B-2-14-3

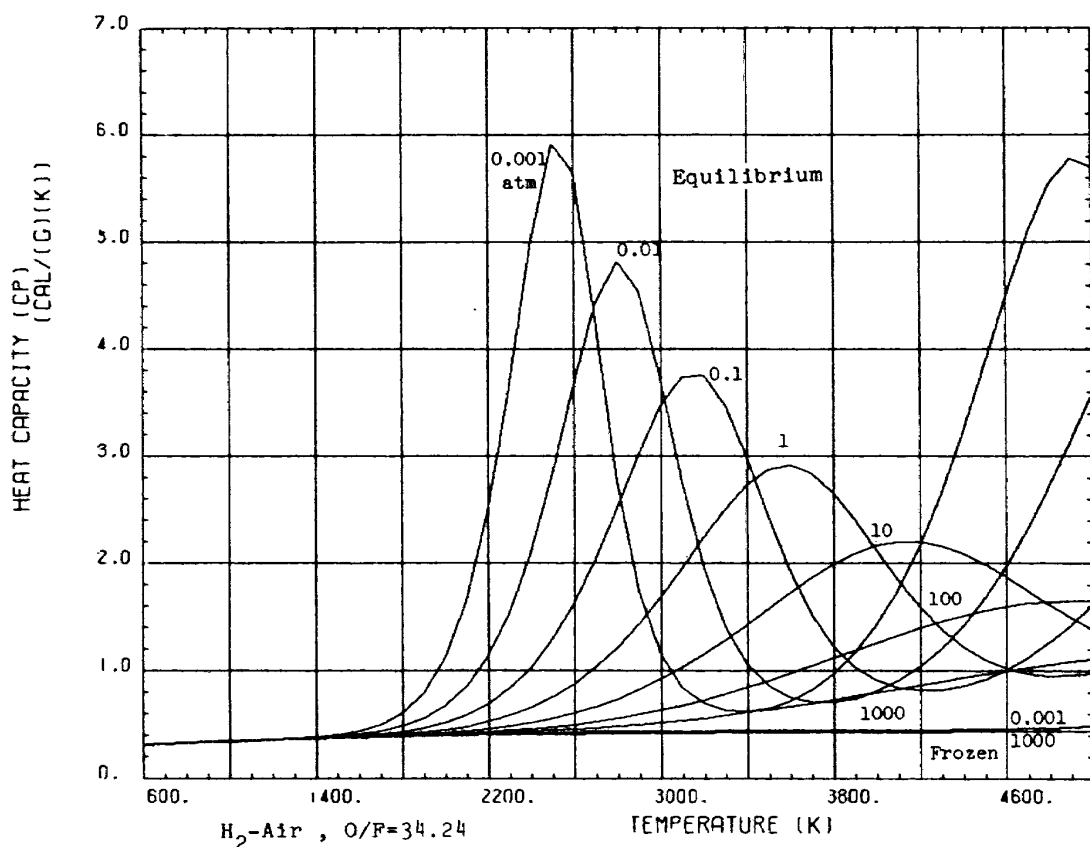


図 B-2-16-3

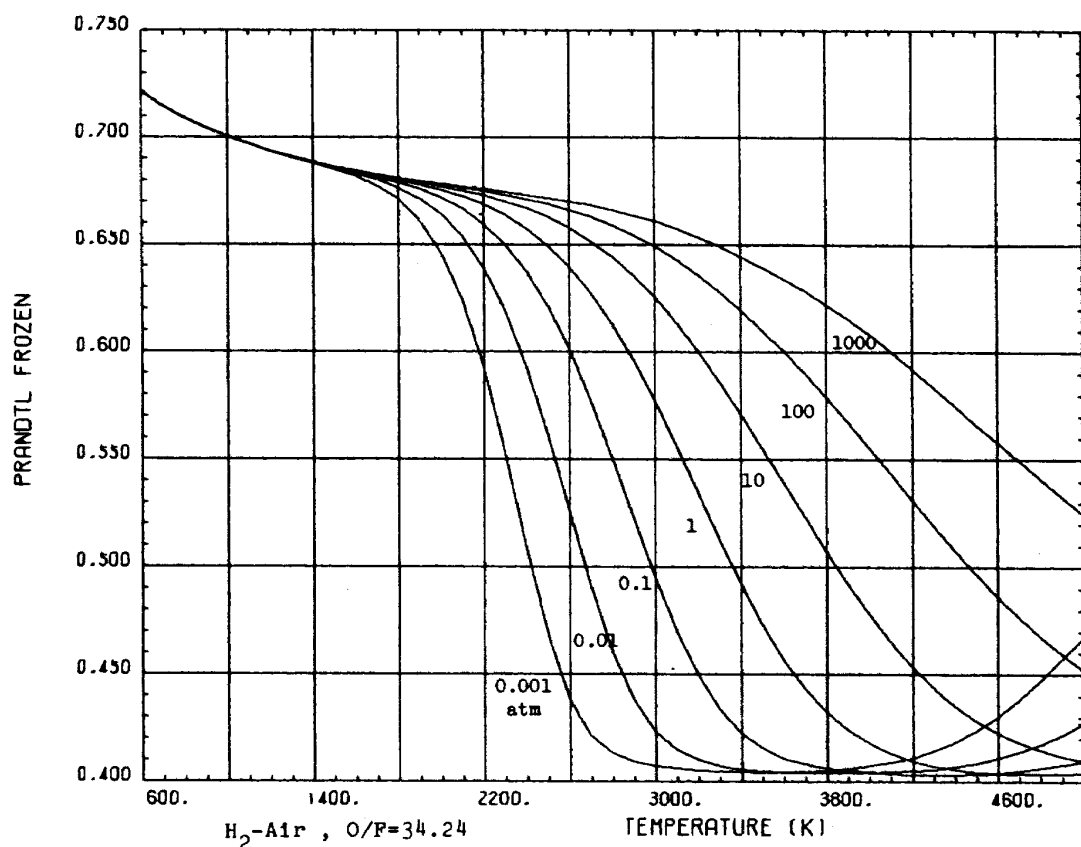


図 B-2-17-3

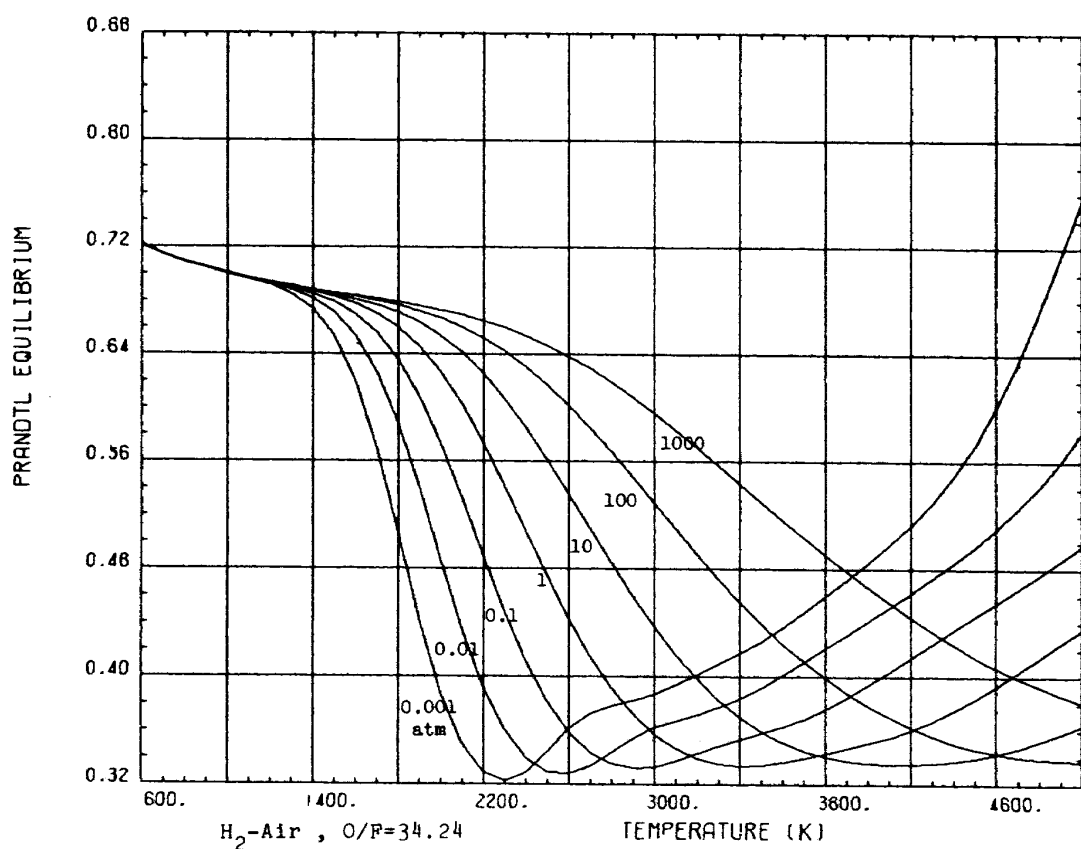


図 B-2-18-3

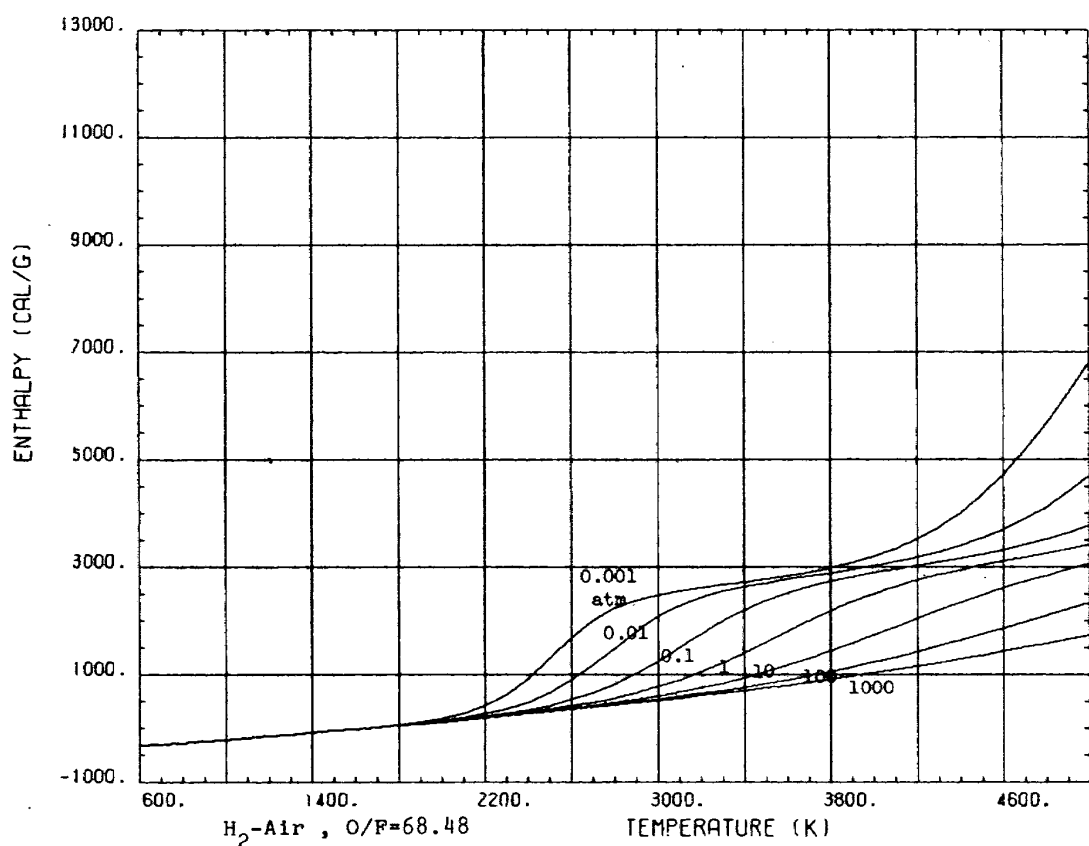


図 B-2-2-4

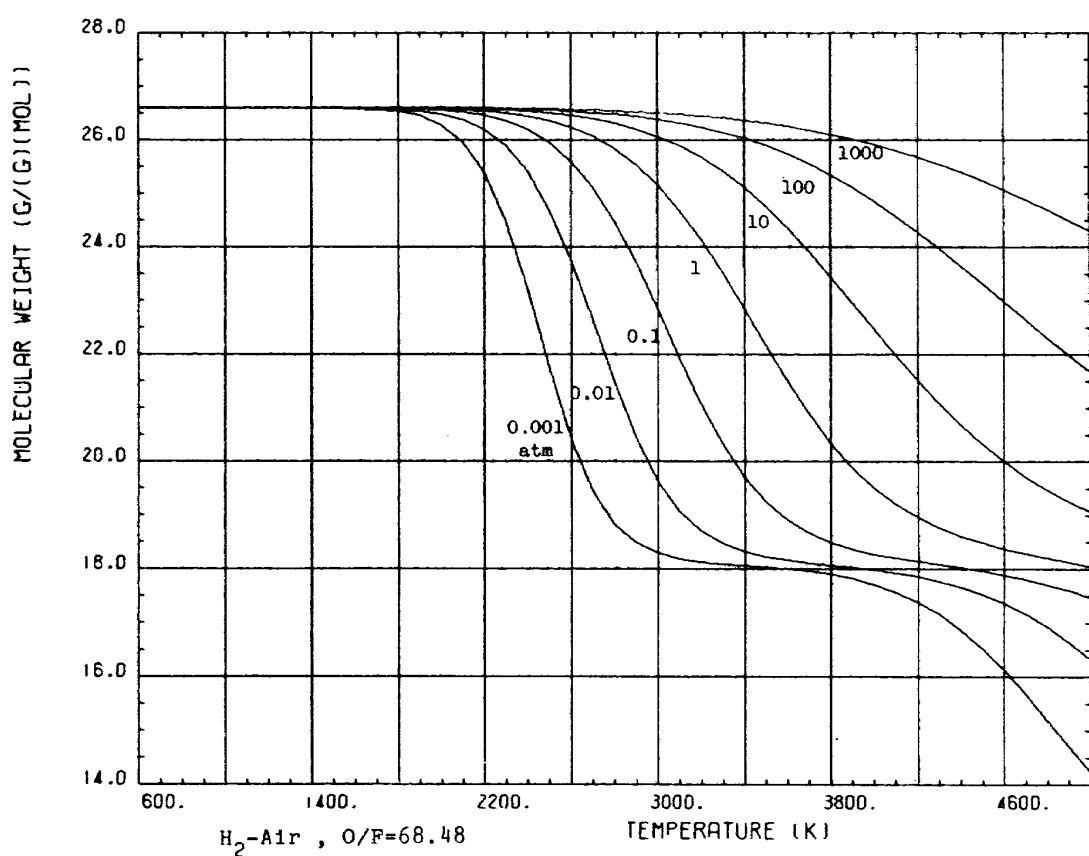


図 B-2-4-4

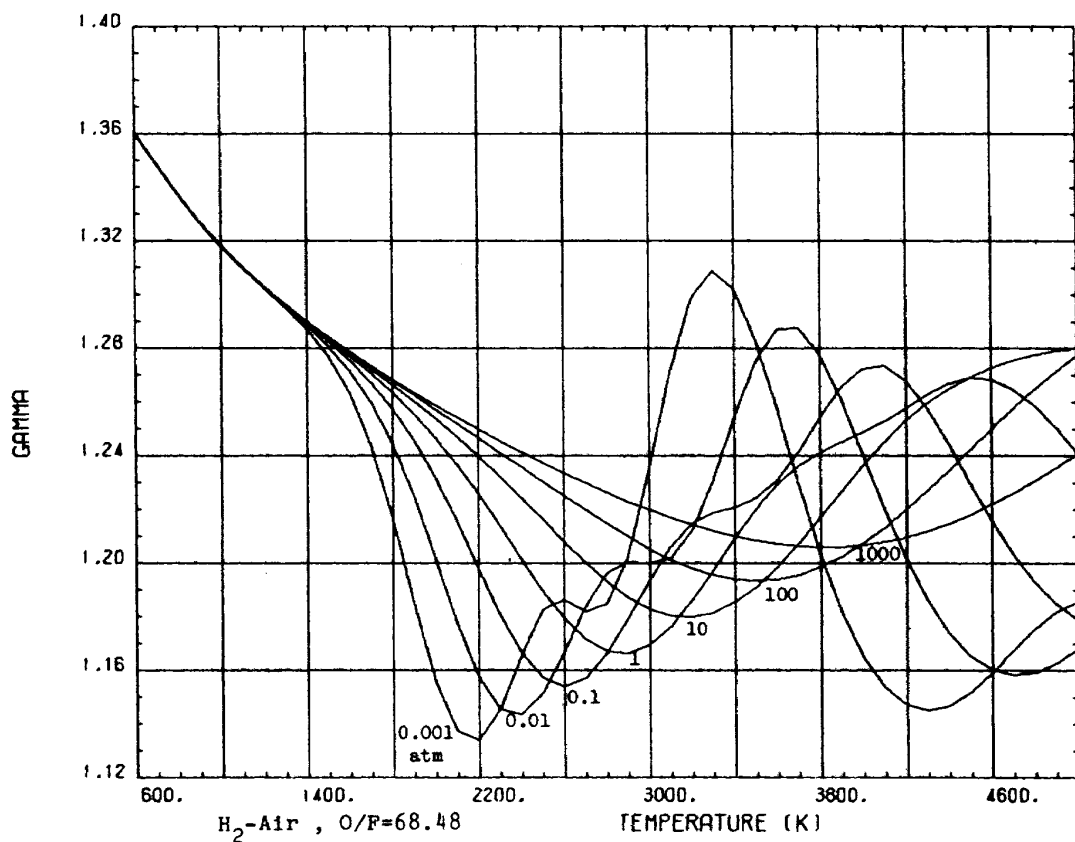


図 B-2-7-4

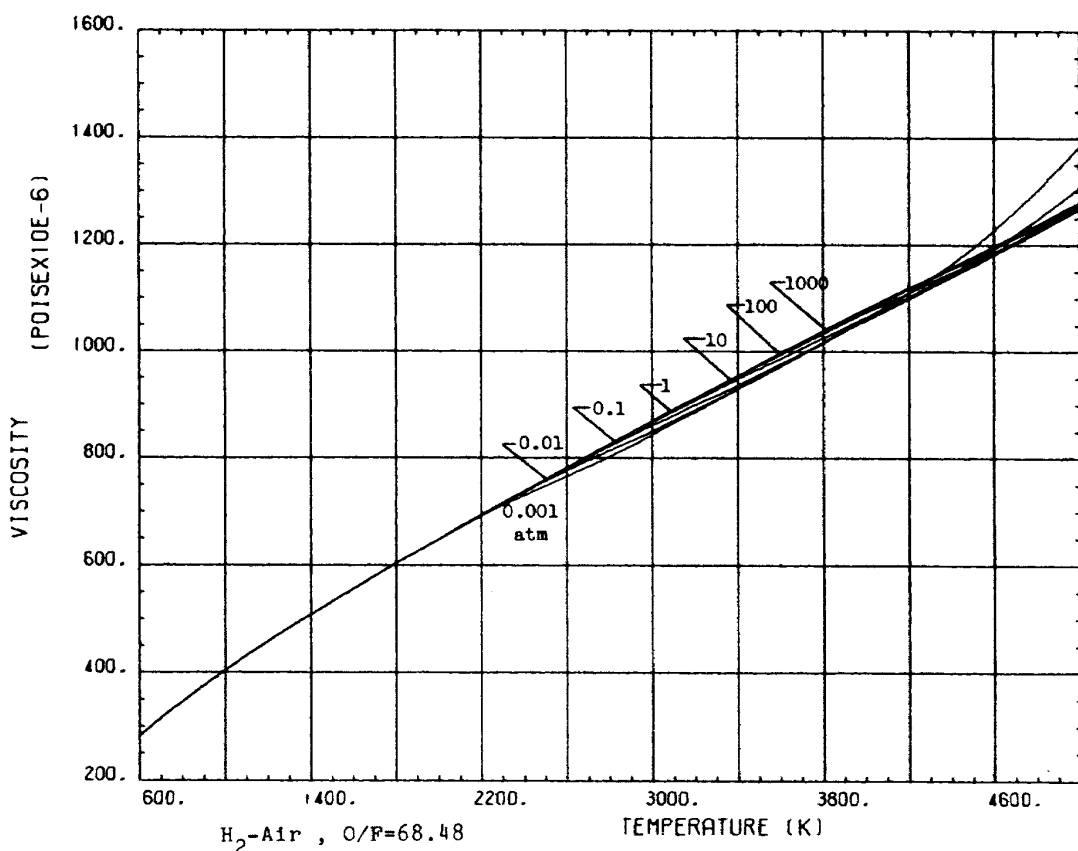


図 B-2-9-4

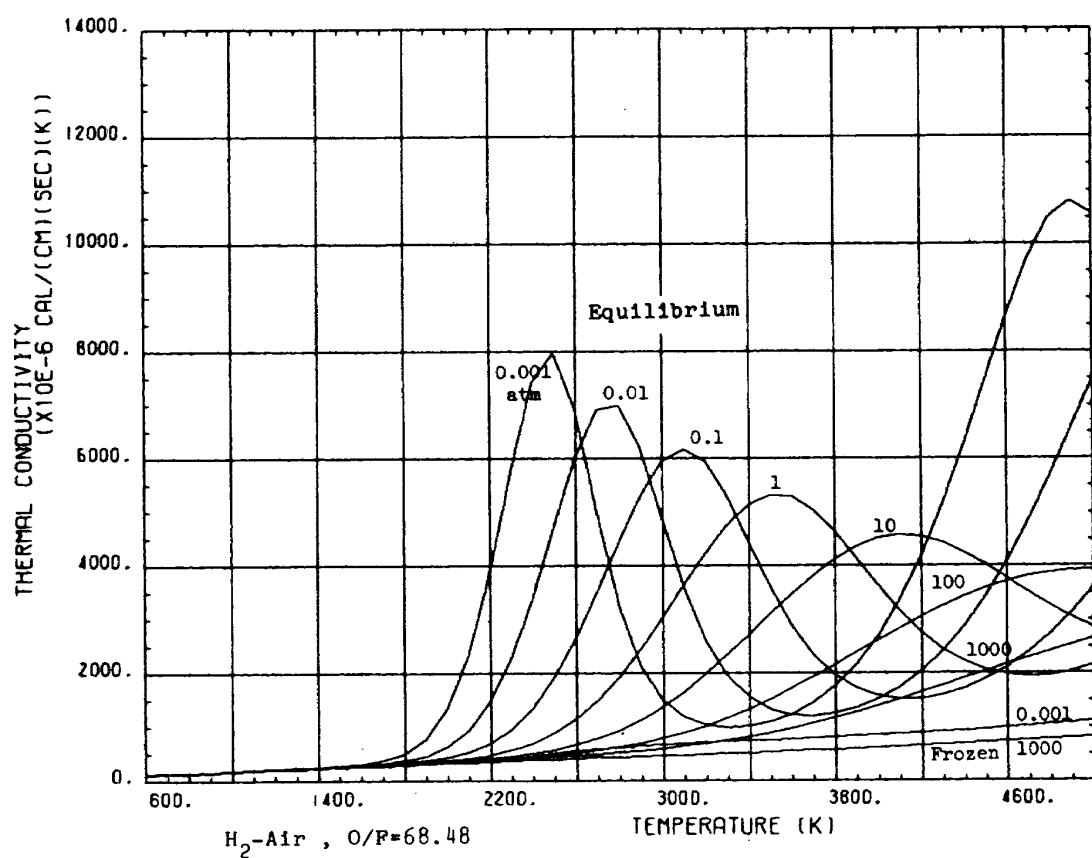


図 B-2-14-4

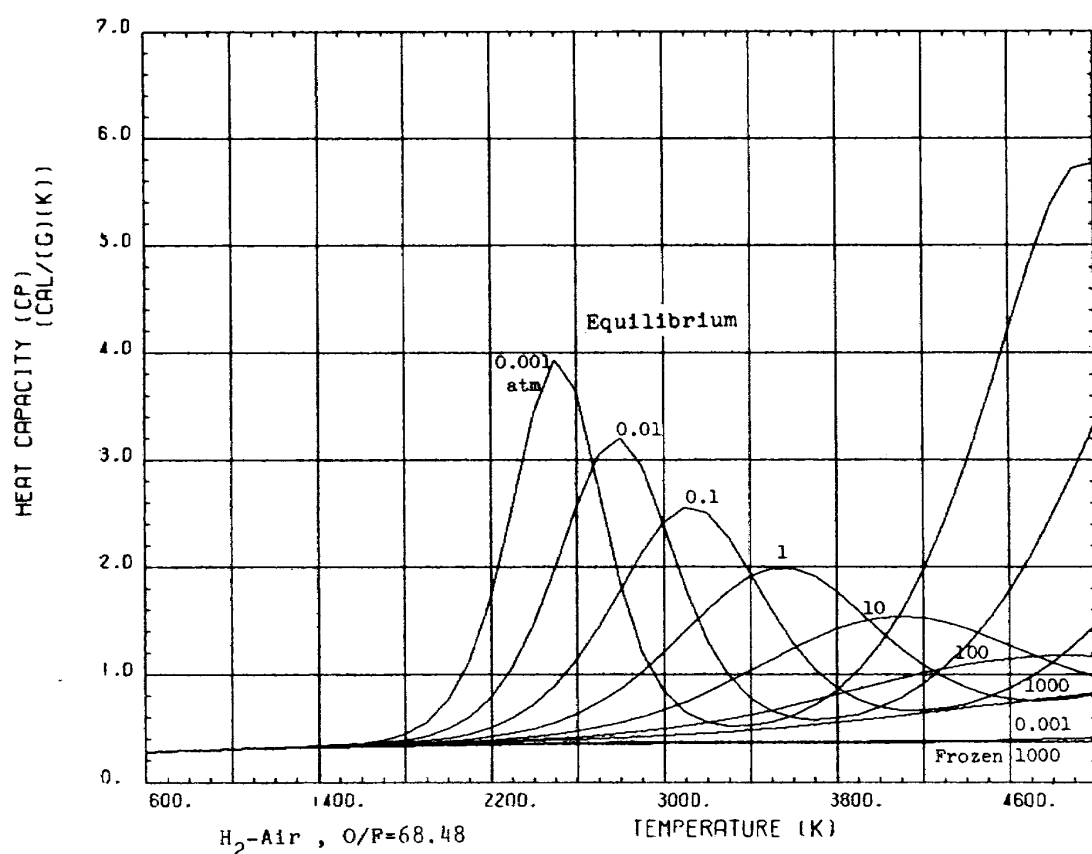


図 B-2-16-4

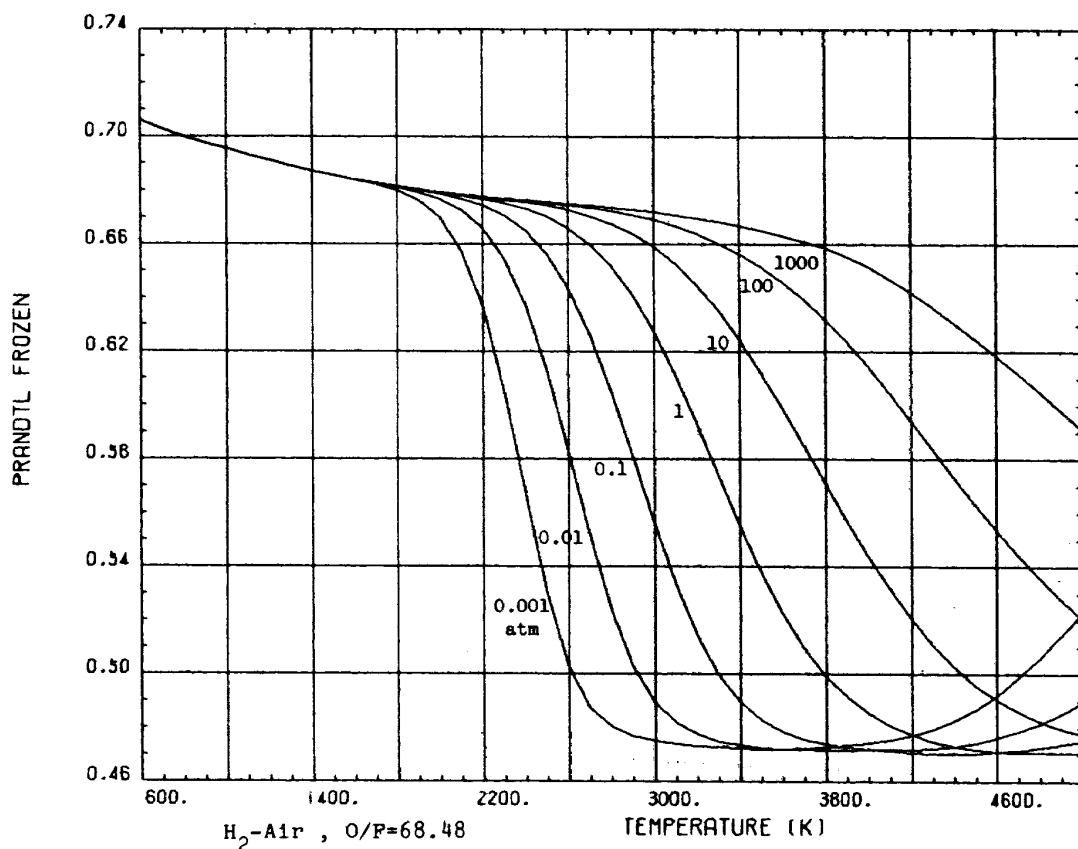


図 B-2-17-4

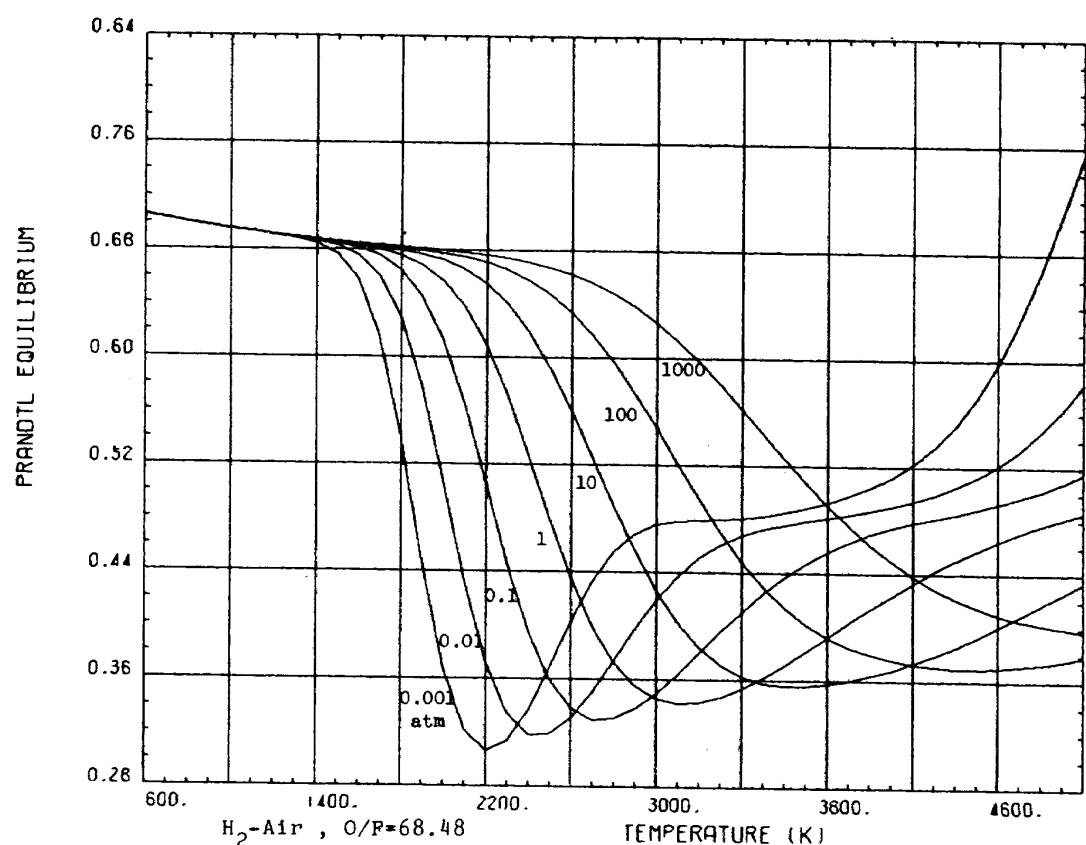


図 B-2-18-4

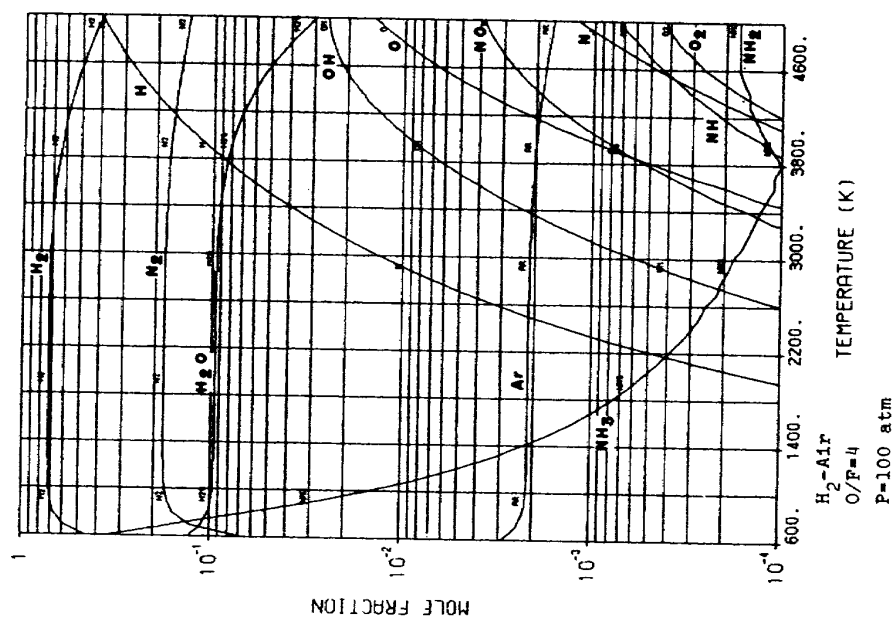


図 C-2-3

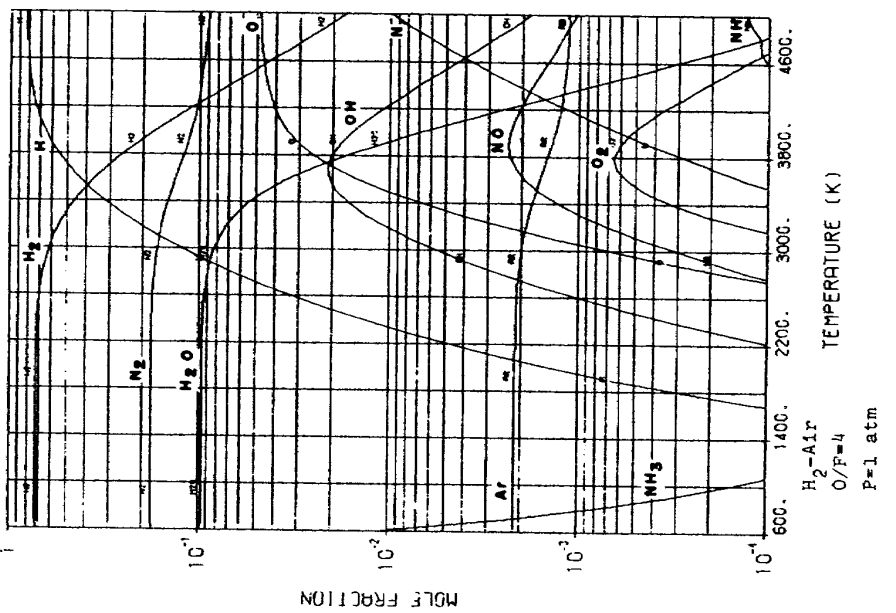


図 C-2-2

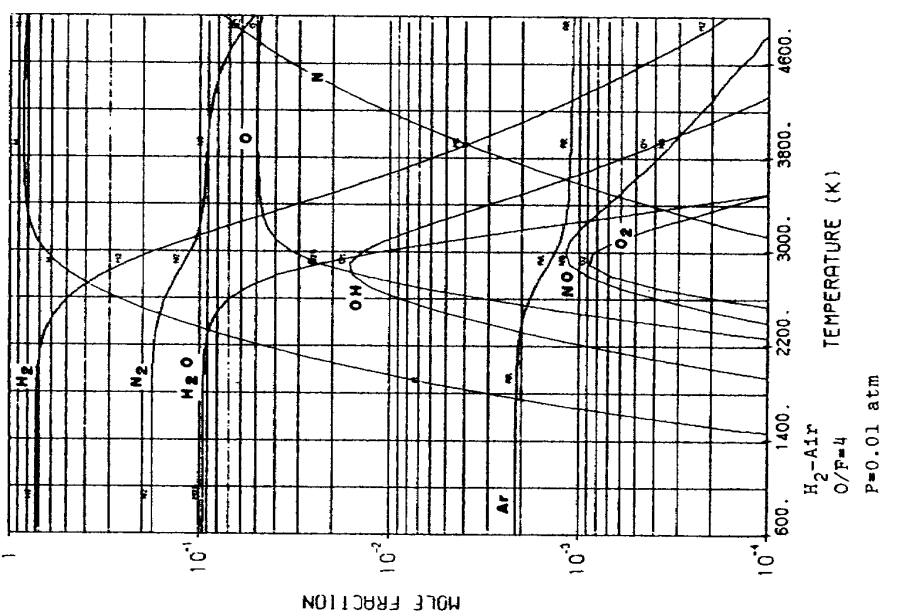


図 C-2-1

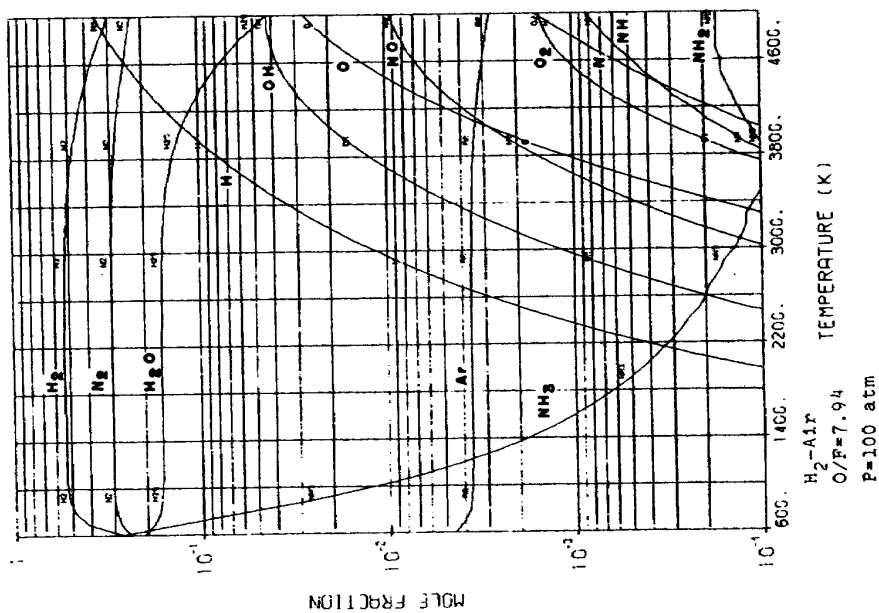


図 C-2-6

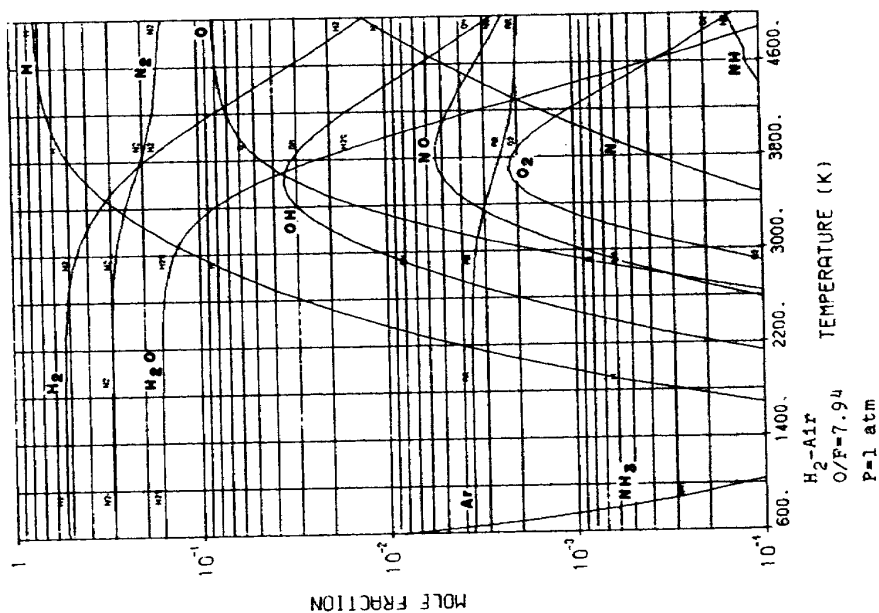


図 C-2-5

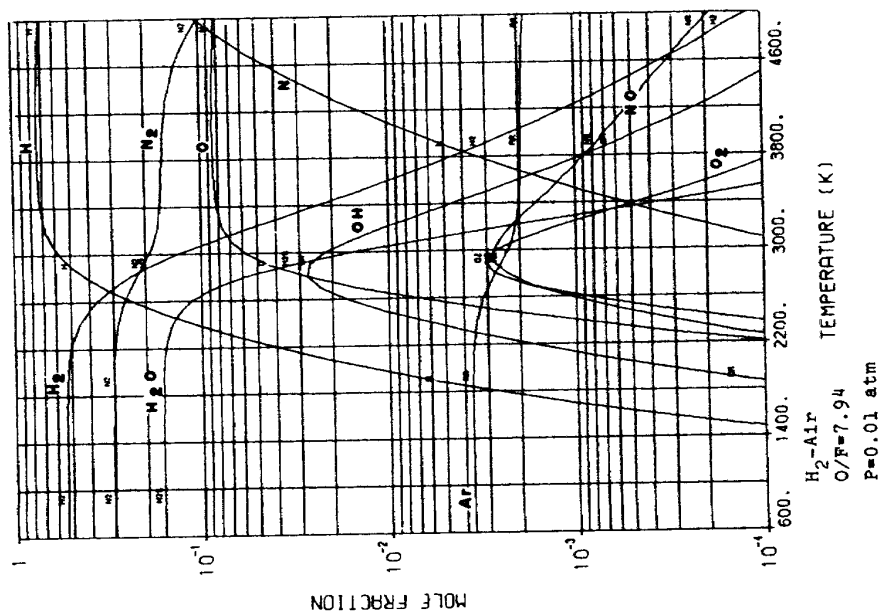


図 C-2-4

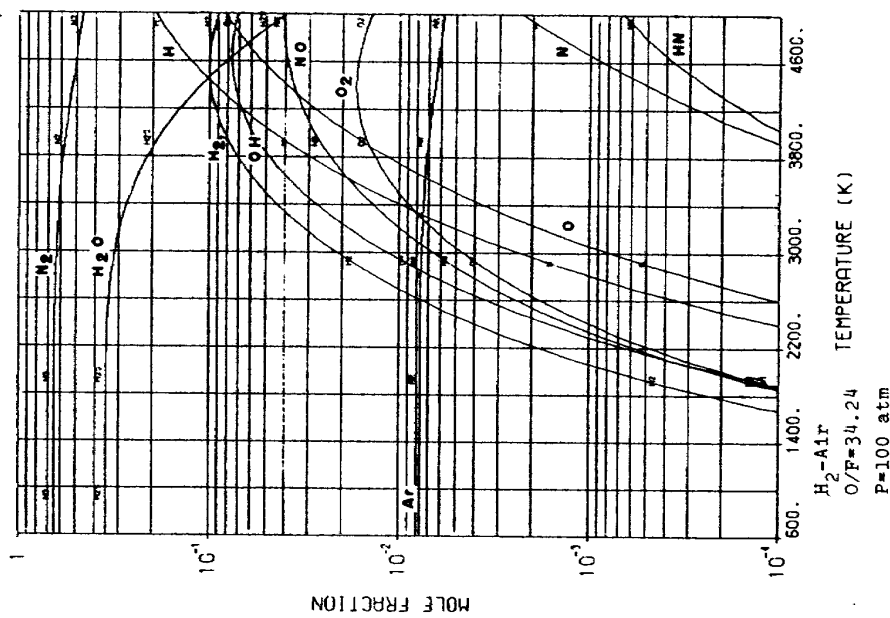


図 C-2-9

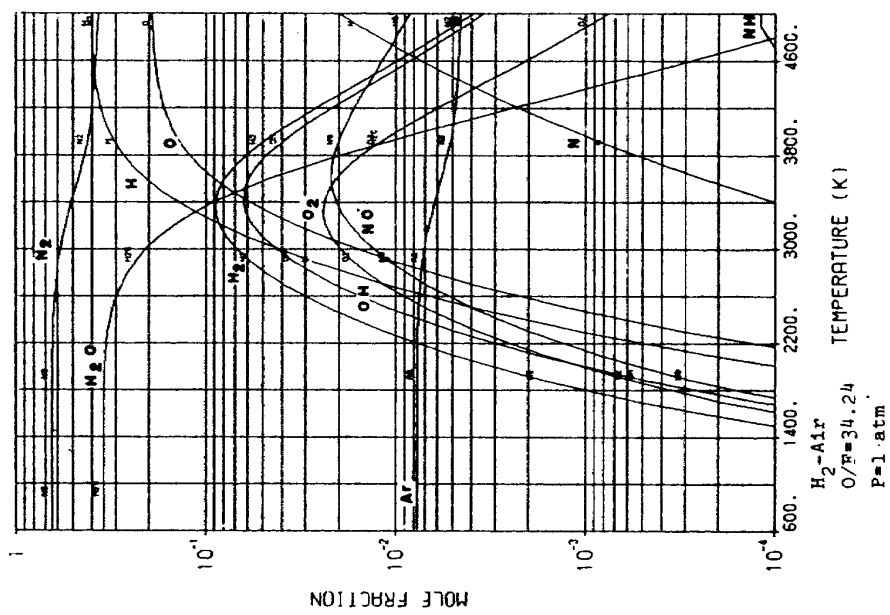


図 C-2-8

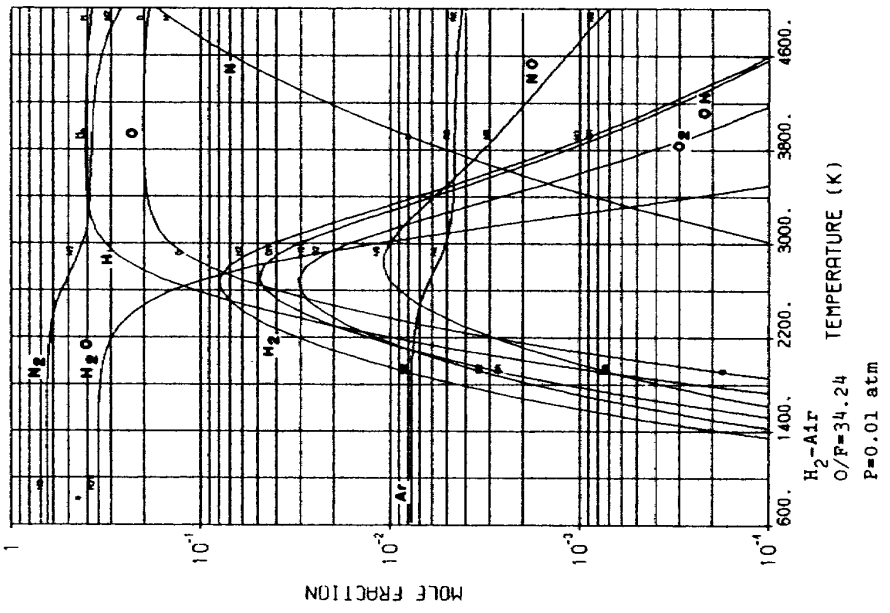


図 C-2-7

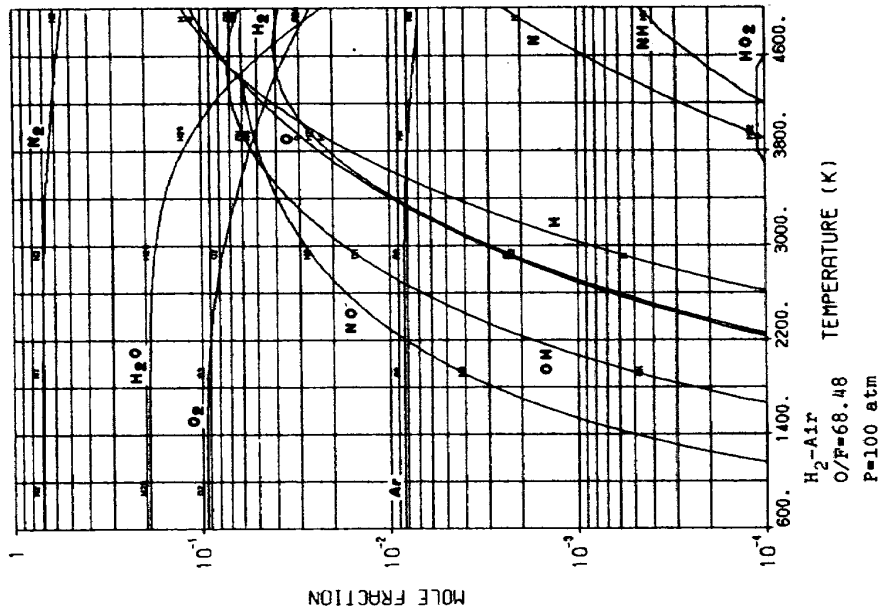


図 C-2-12

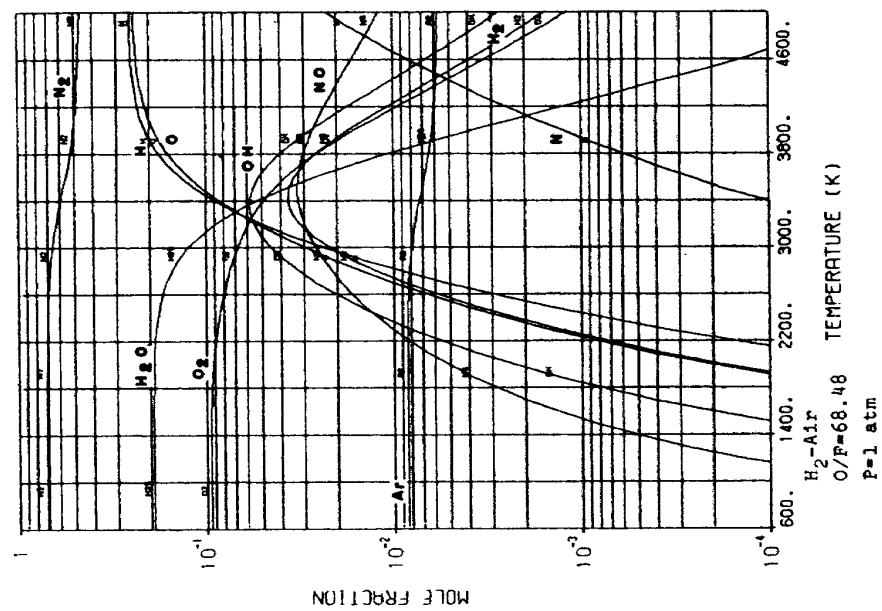


図 C-2-11

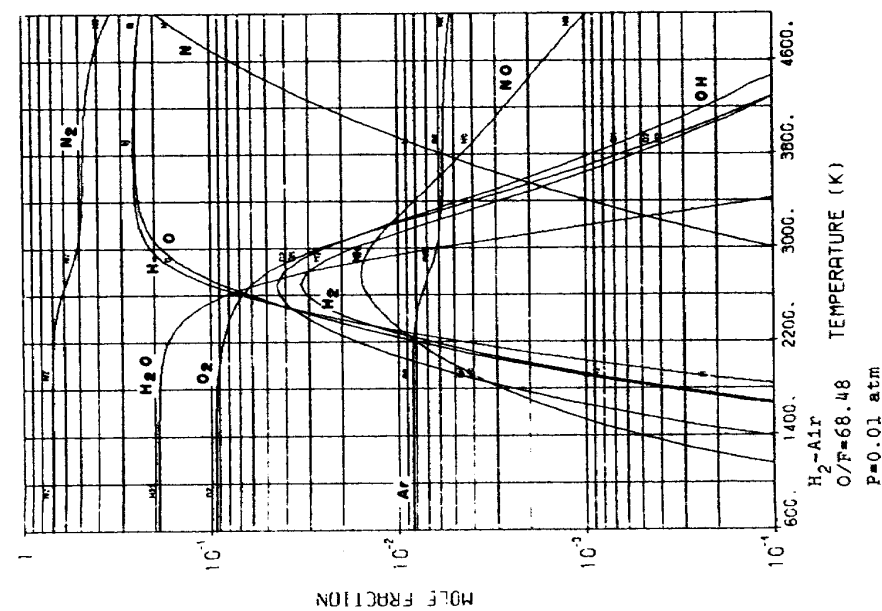


図 C-2-10

付録 3 $\text{H}_2\text{-O}_2\text{-Air}$ 系

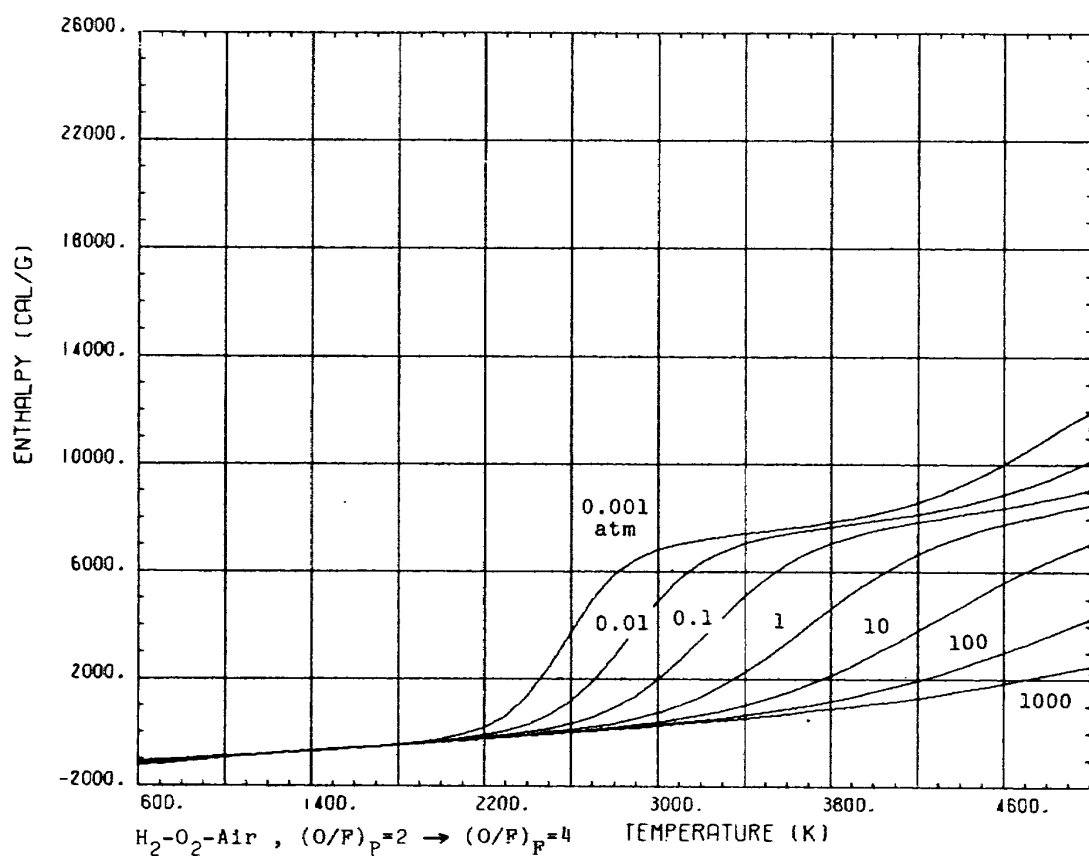


図 B-3-2-1

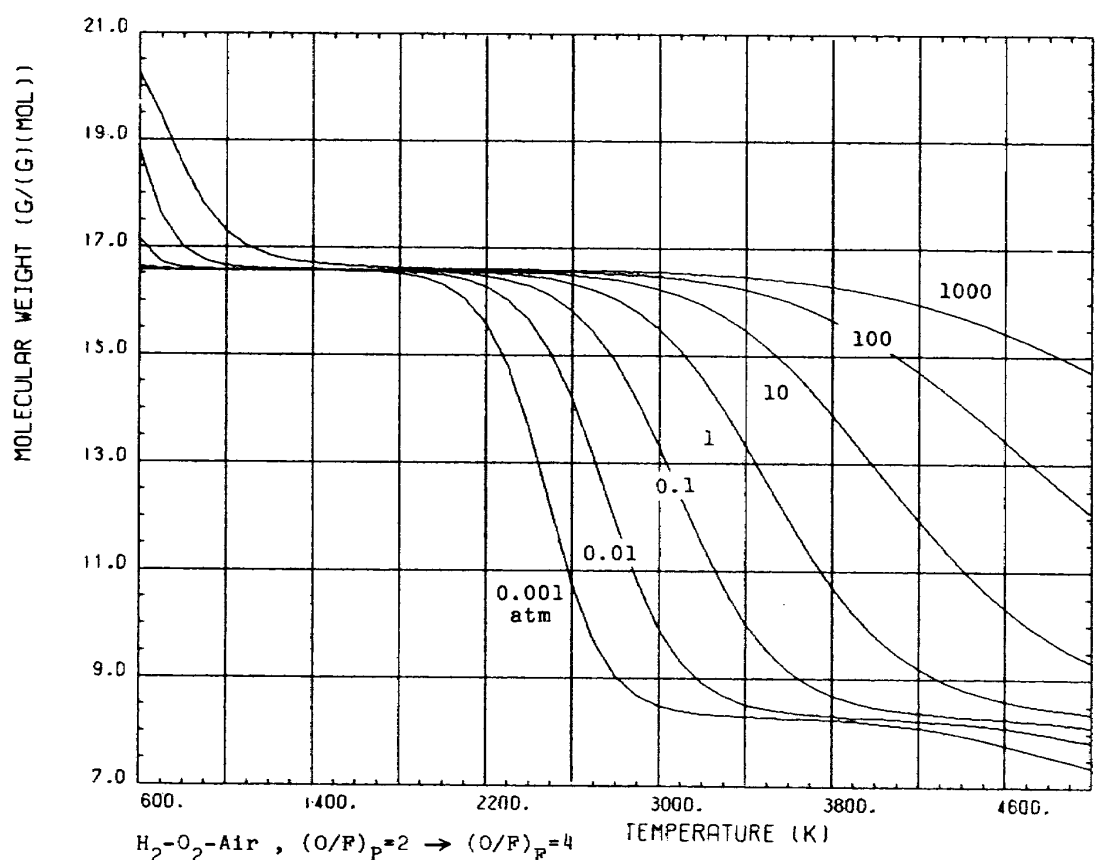


図 B-3-4-1

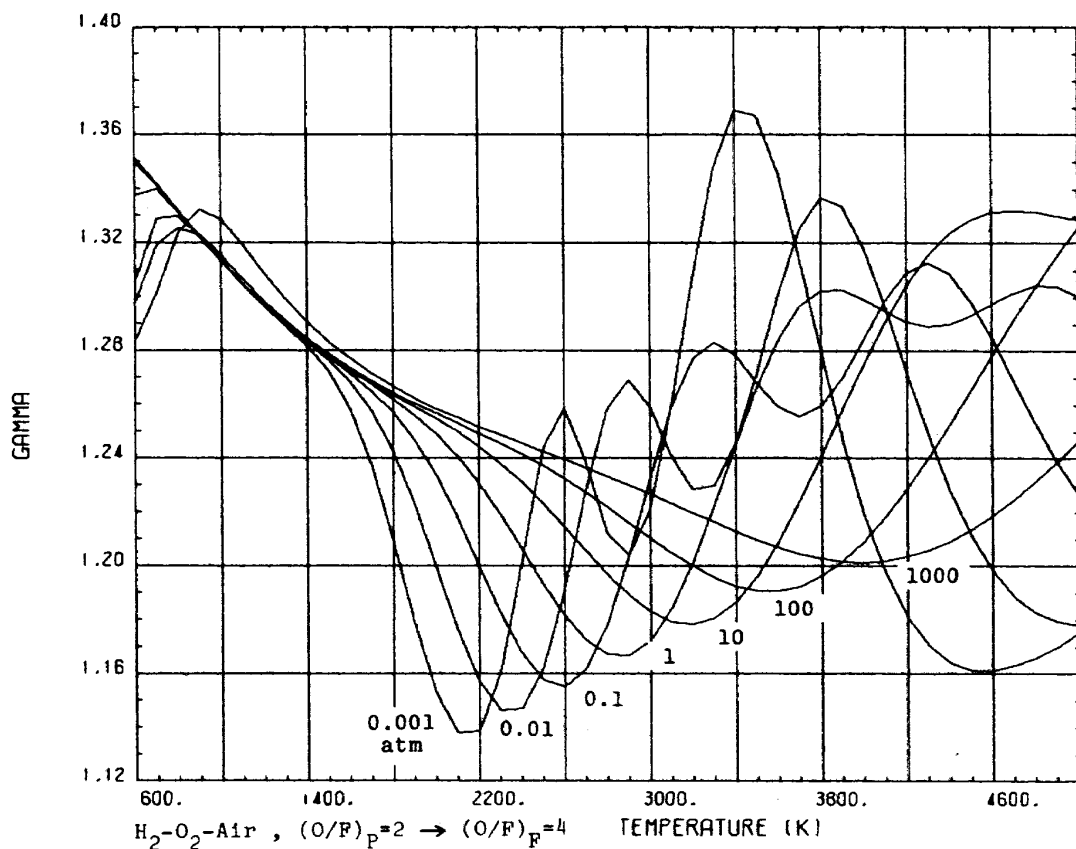


図 B-3-7-1

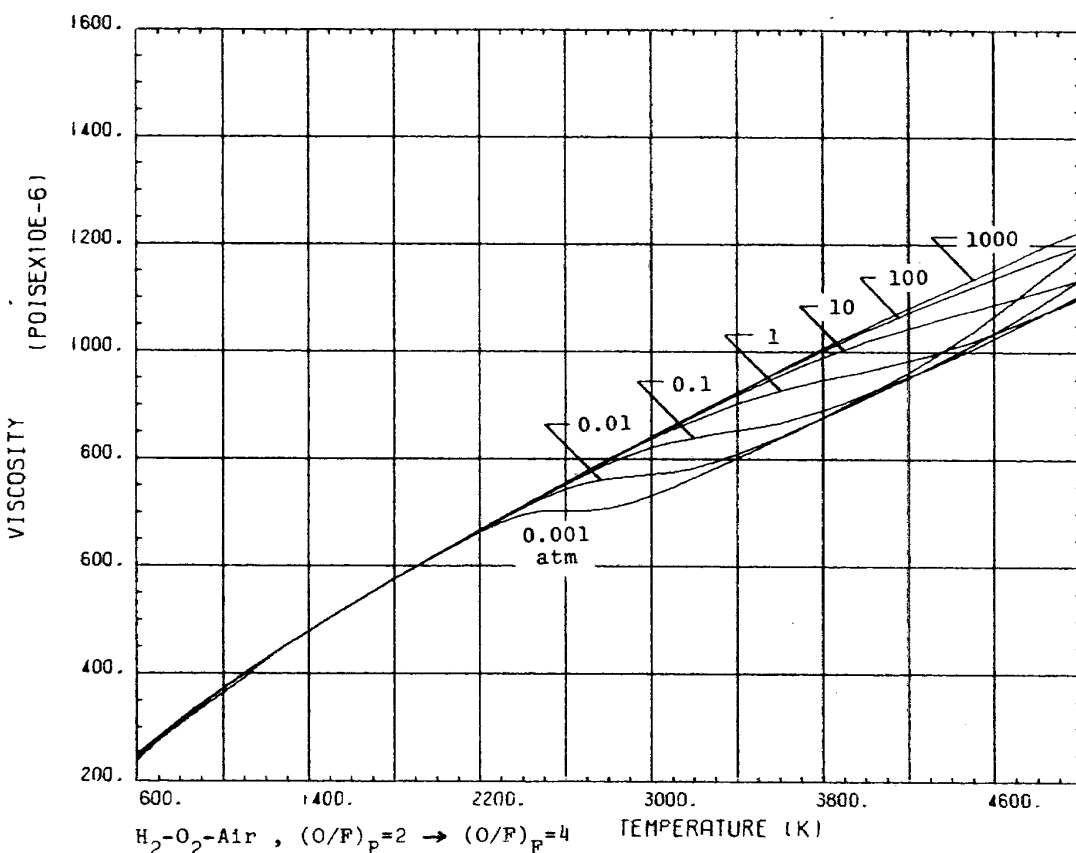


図 B-3-9-1

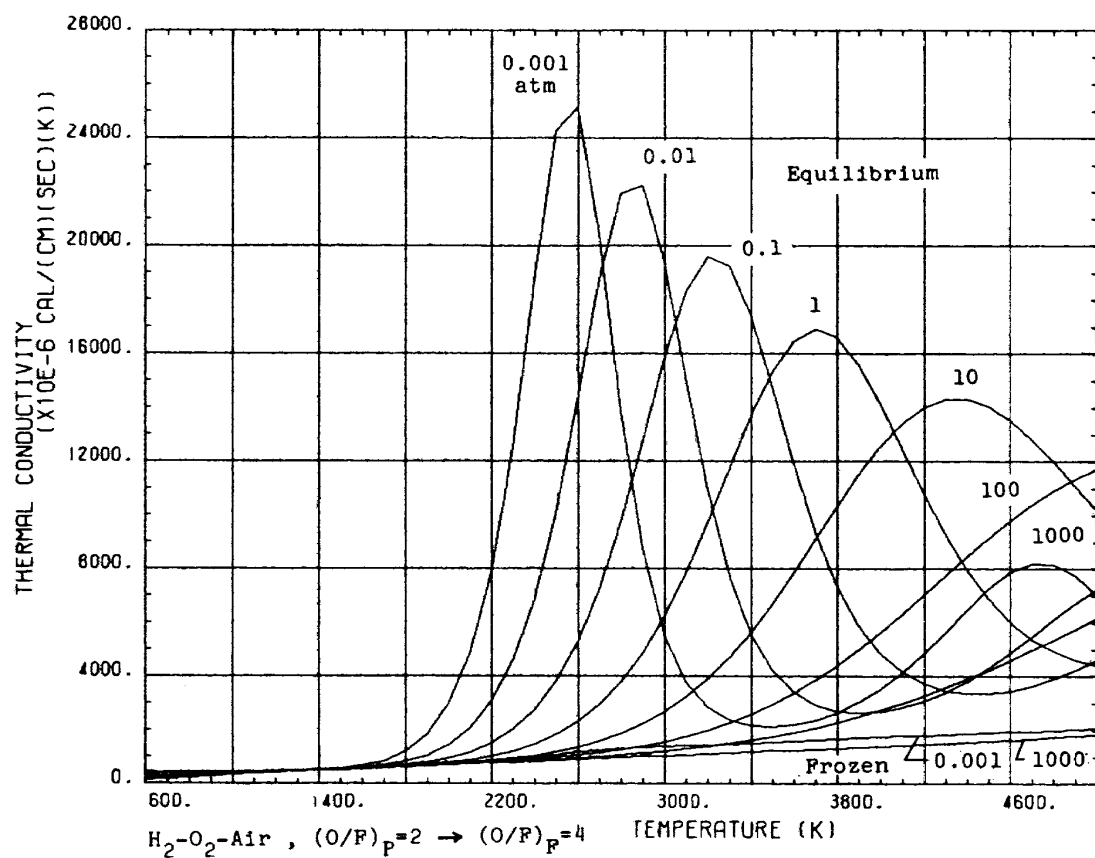


図 B-3-14-1

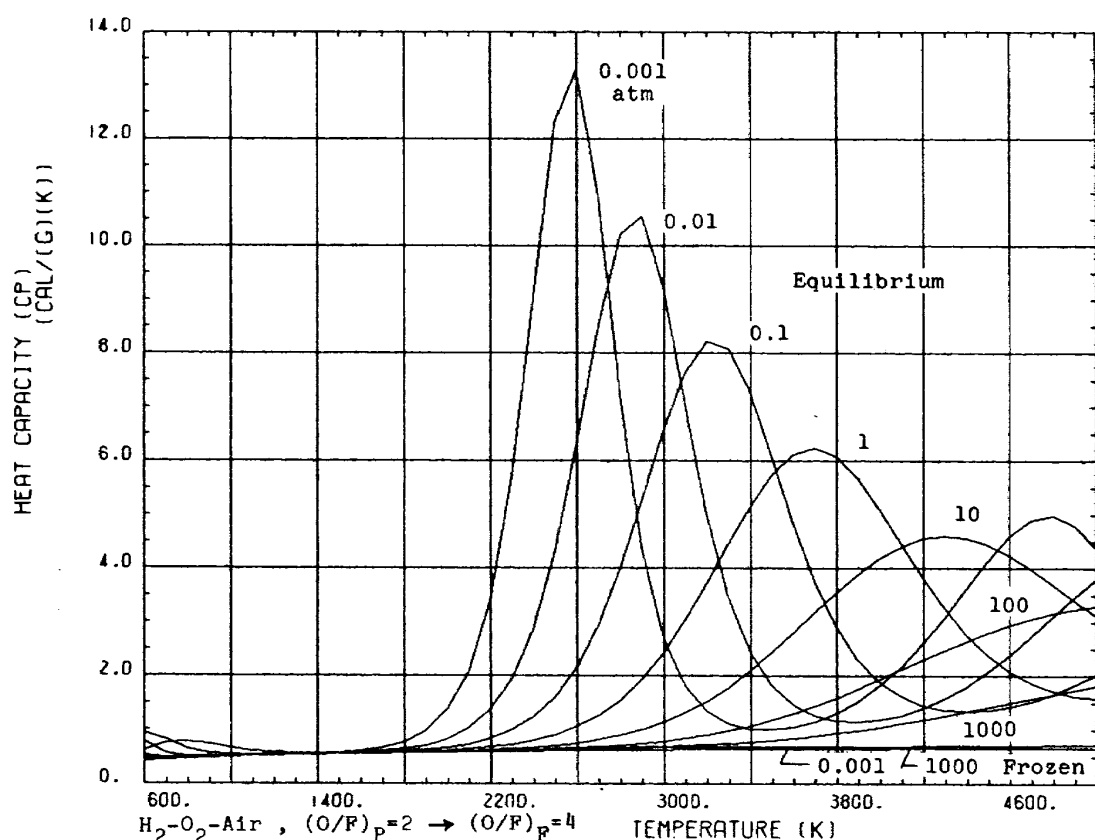


図 B-3-16-1

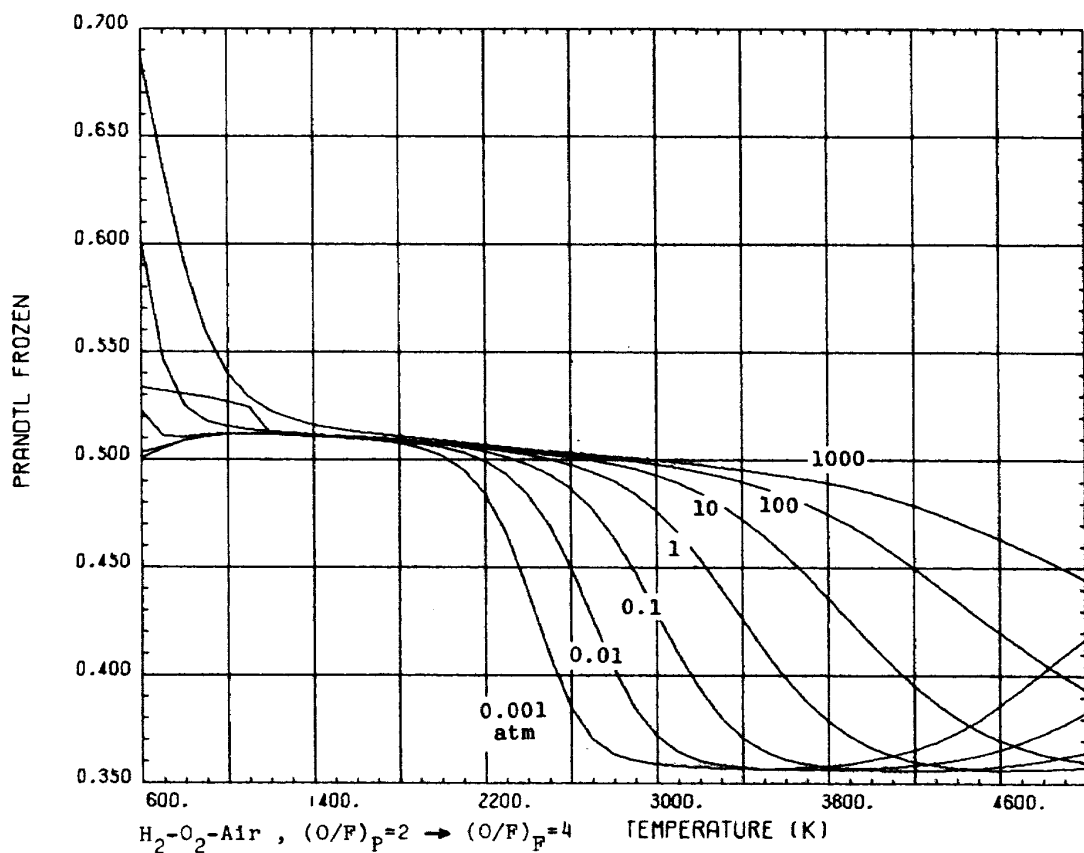


図 B-3-17-1

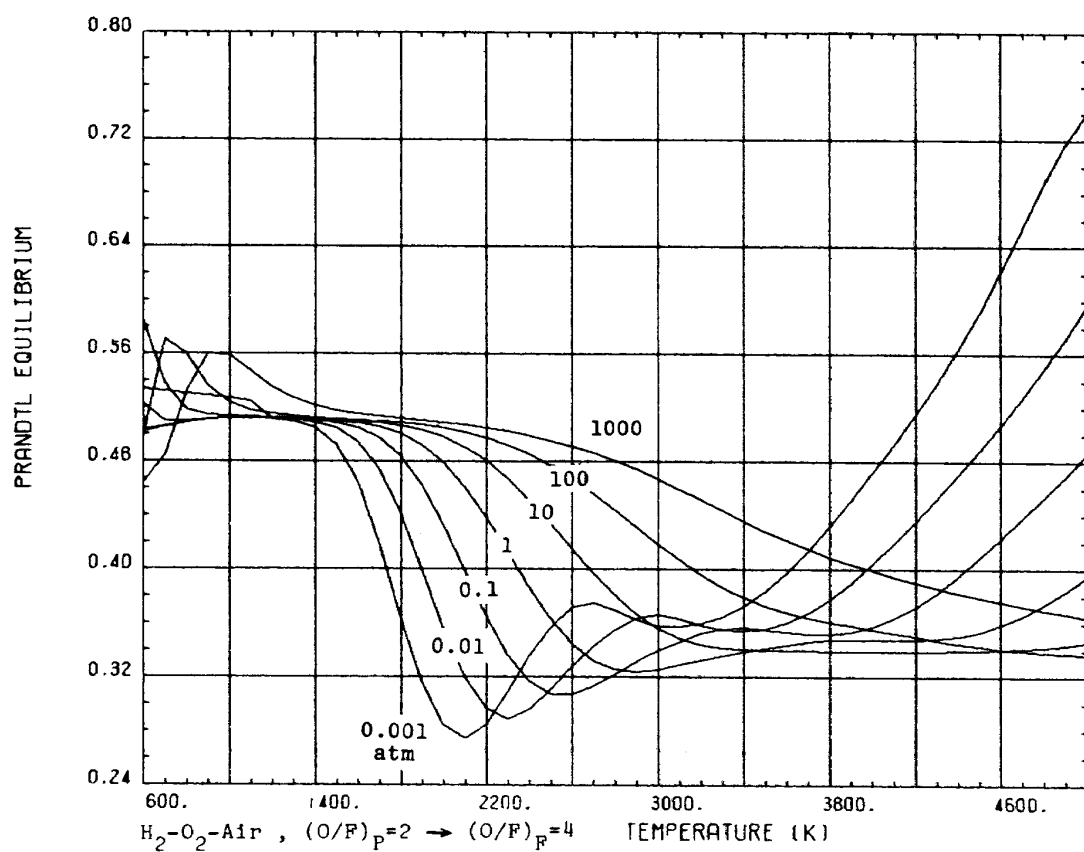


図 B-3-18-1

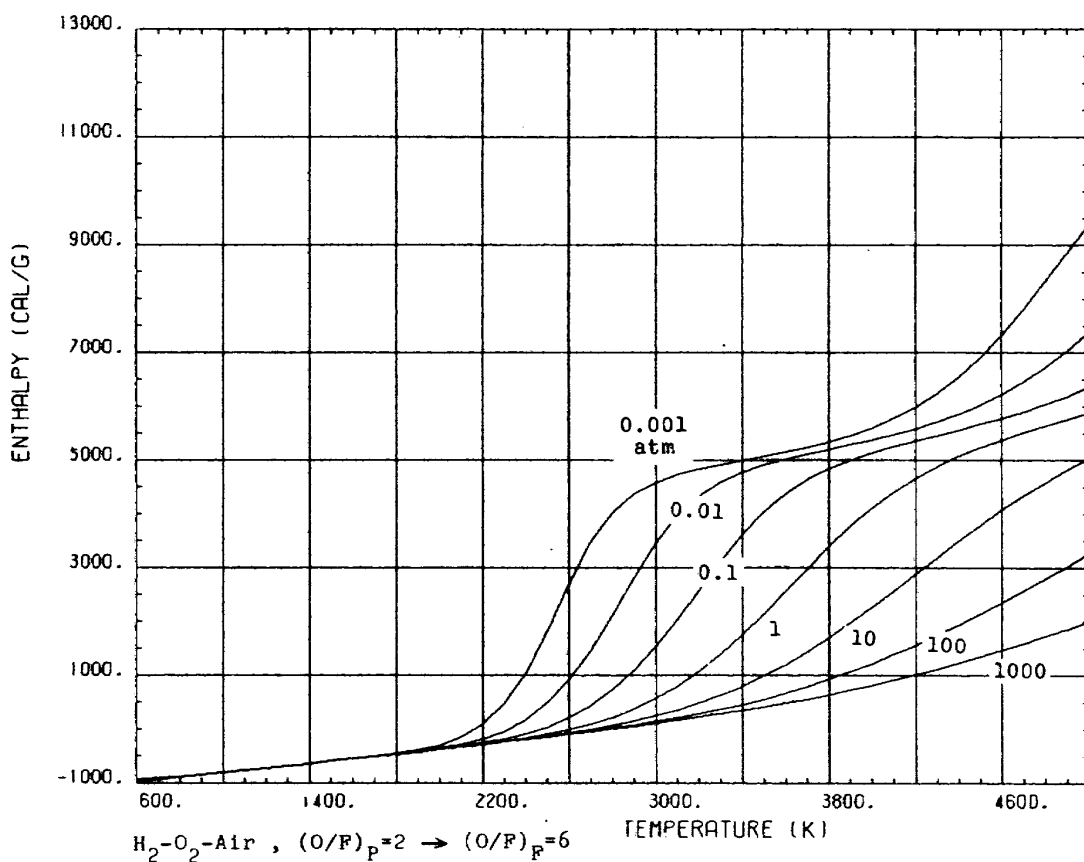


図 B-3-2-2

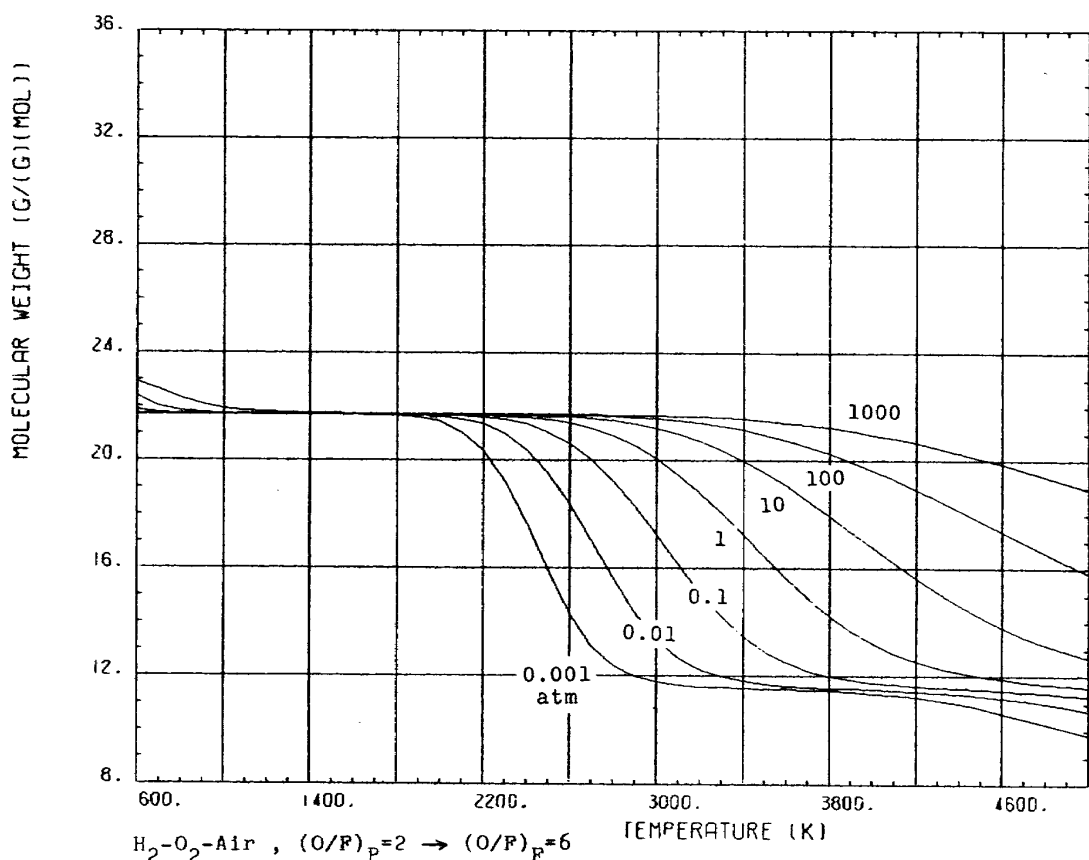


図 B-3-4-2

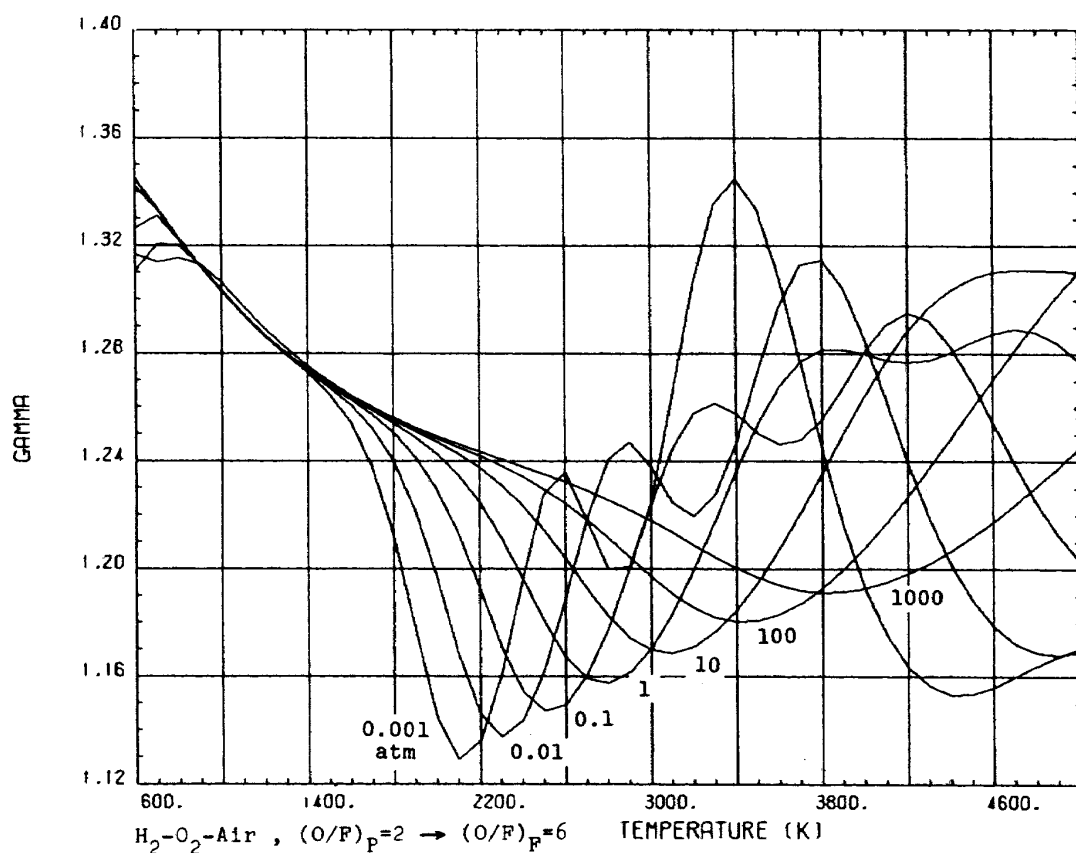


図 B-3-7-2

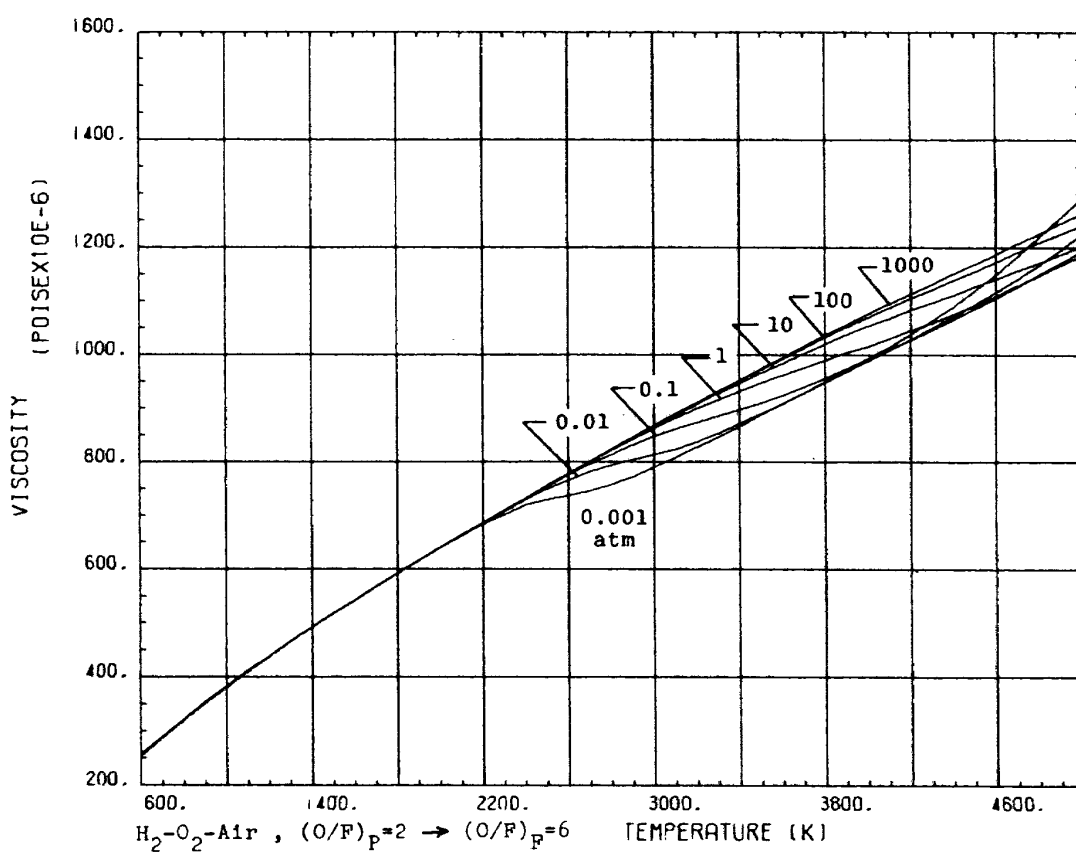


図 B-3-9-2

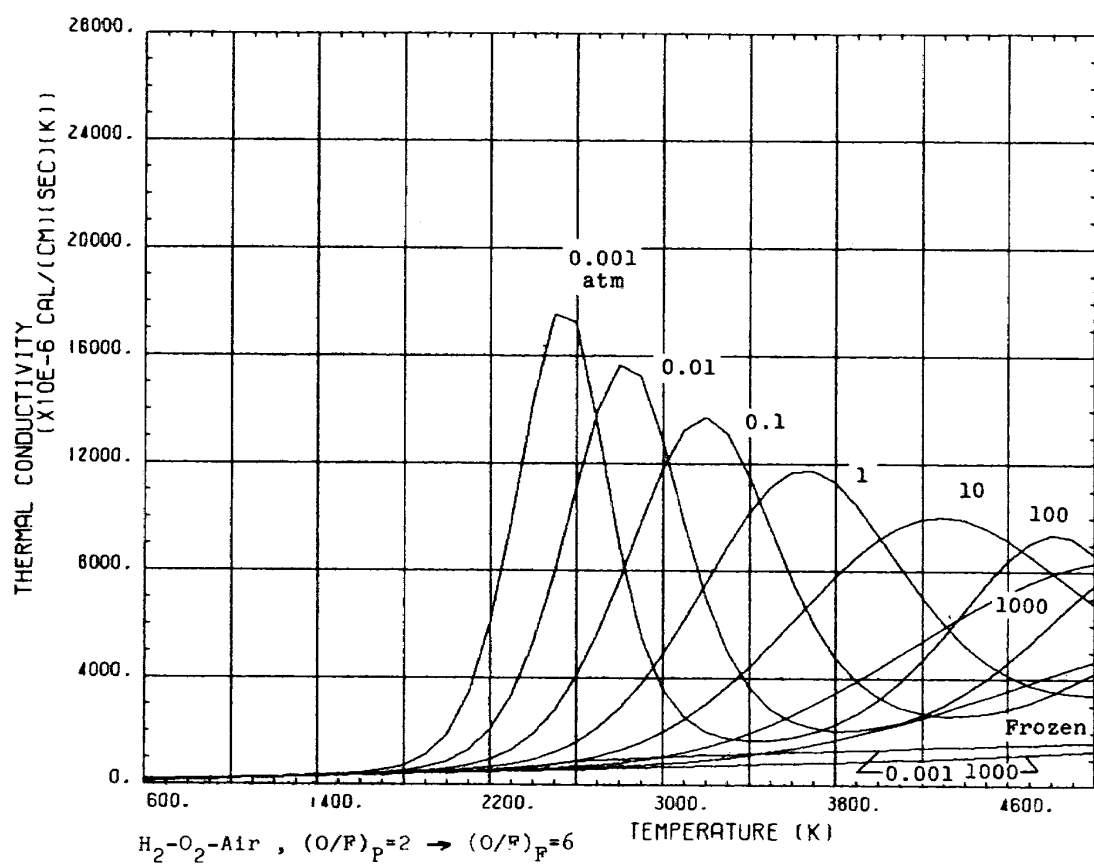


図 B-3-14-2

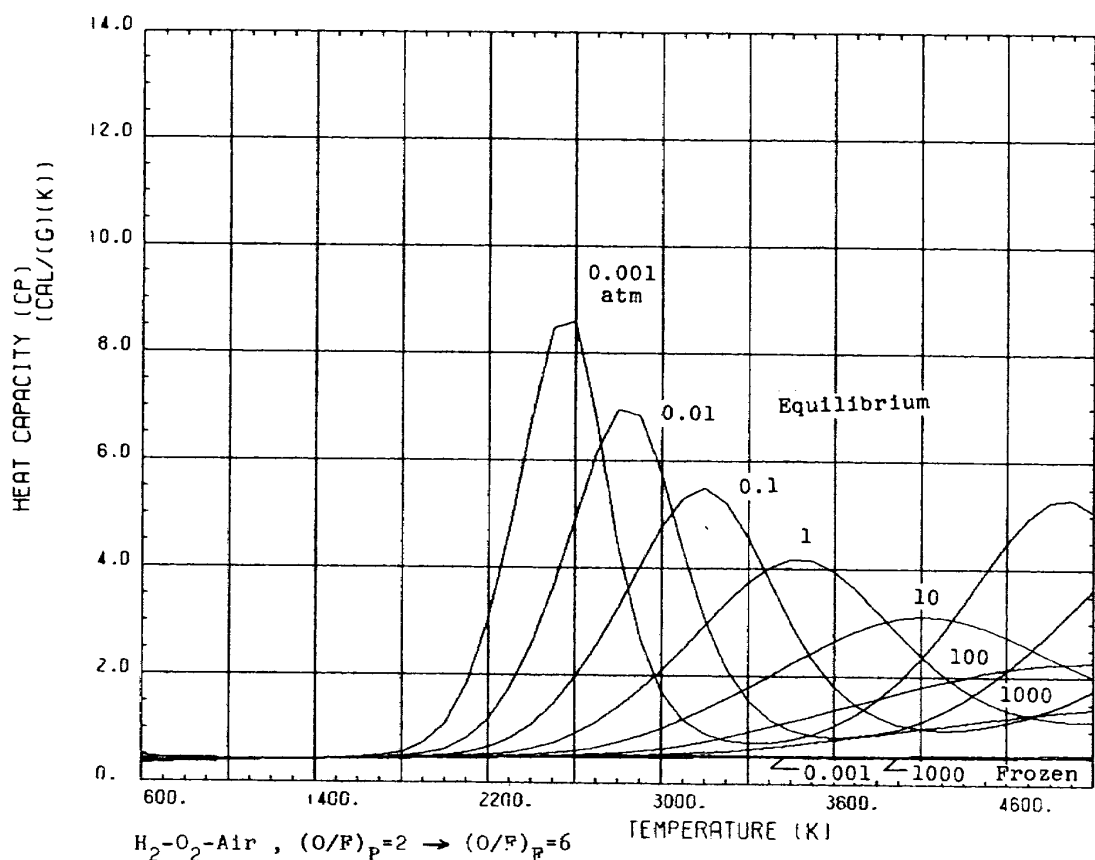


図 B-3-16-2

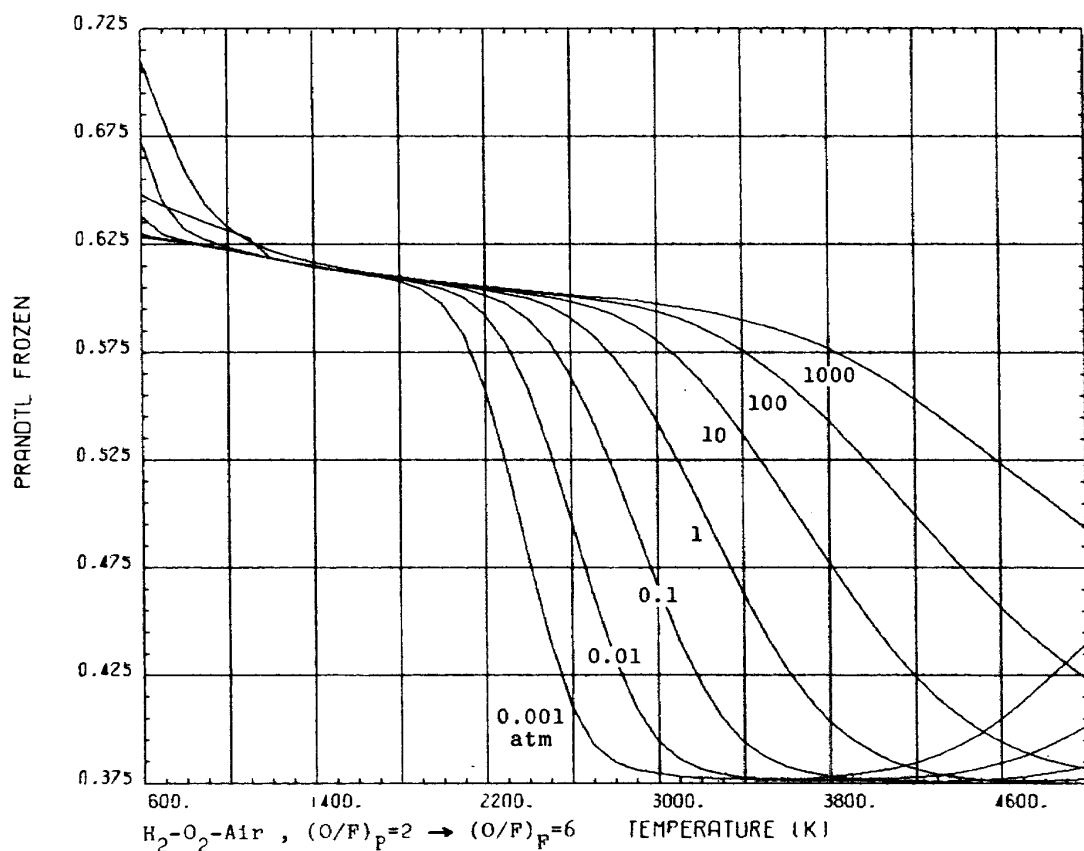


図 B-3-17-2

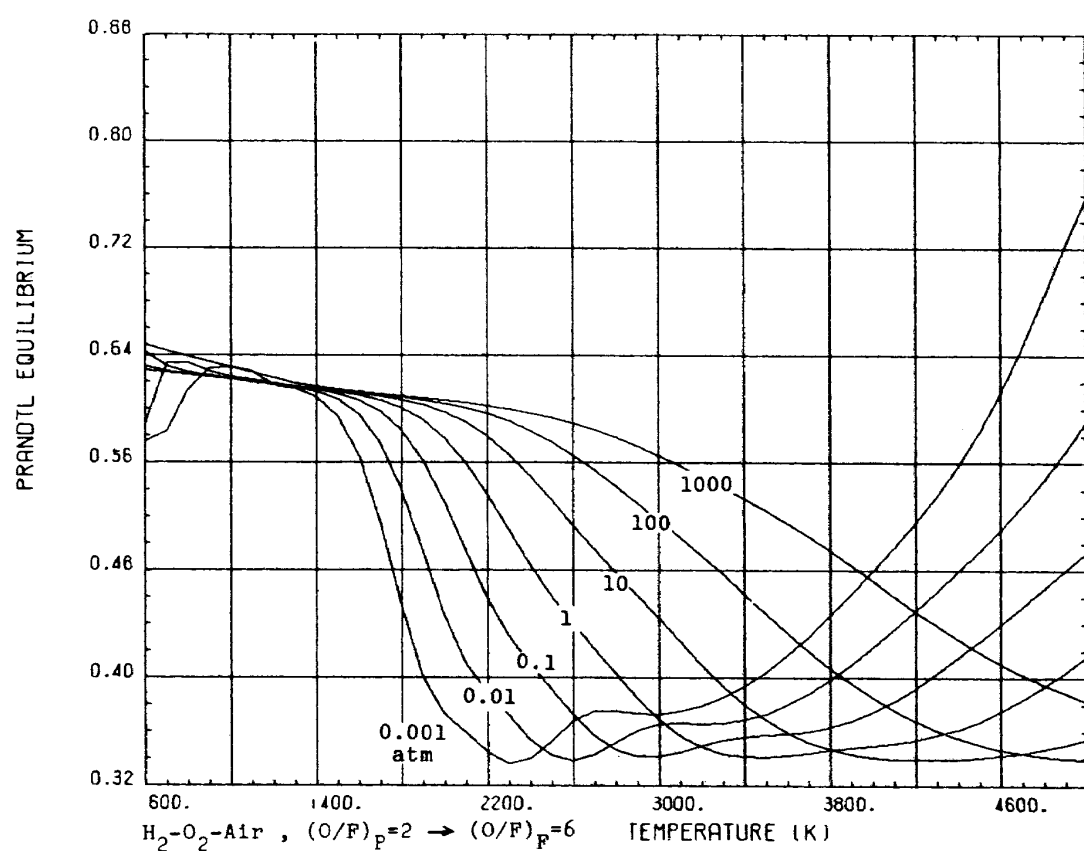


図 B-3-18-2

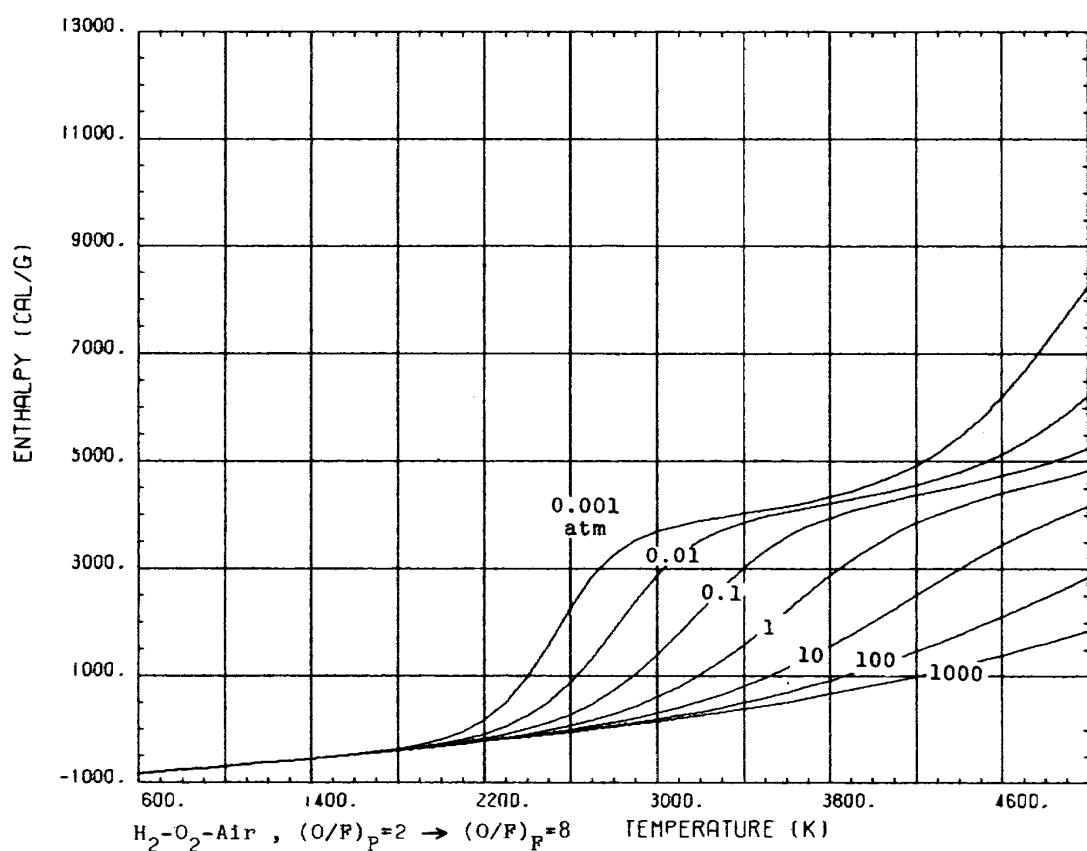


図 B-3-2-3

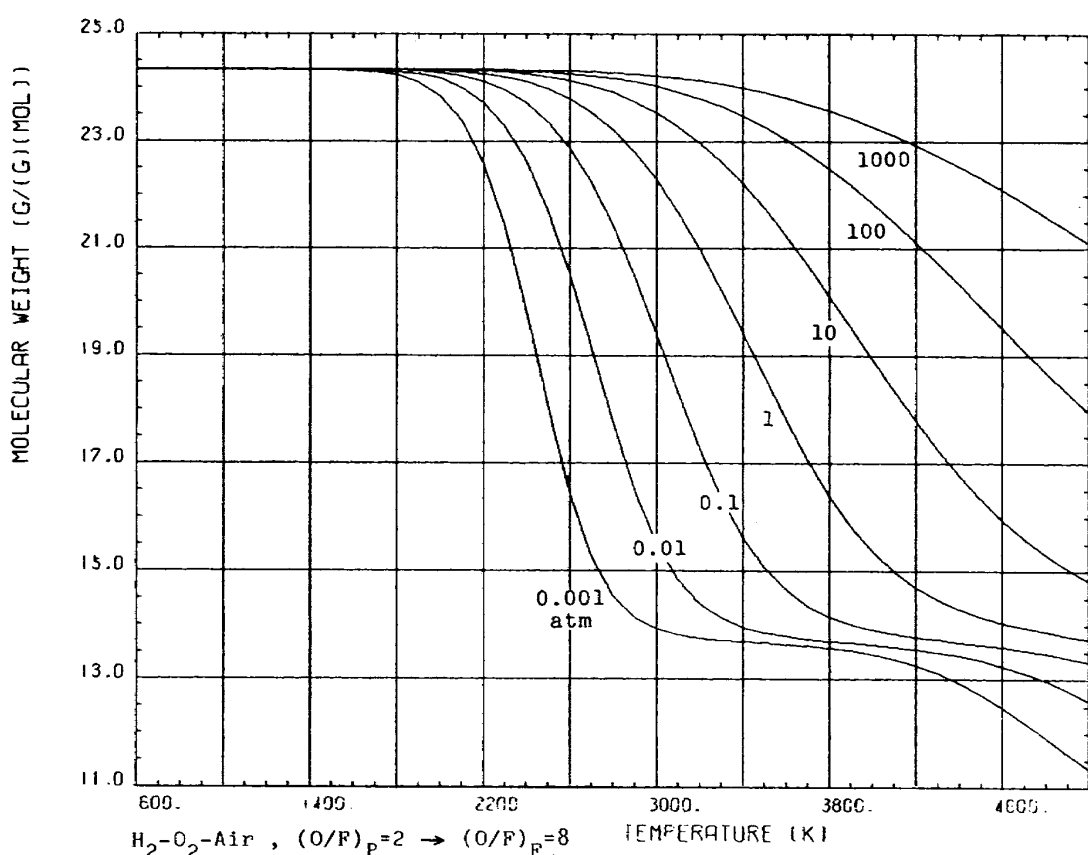


図 B-3-4-3

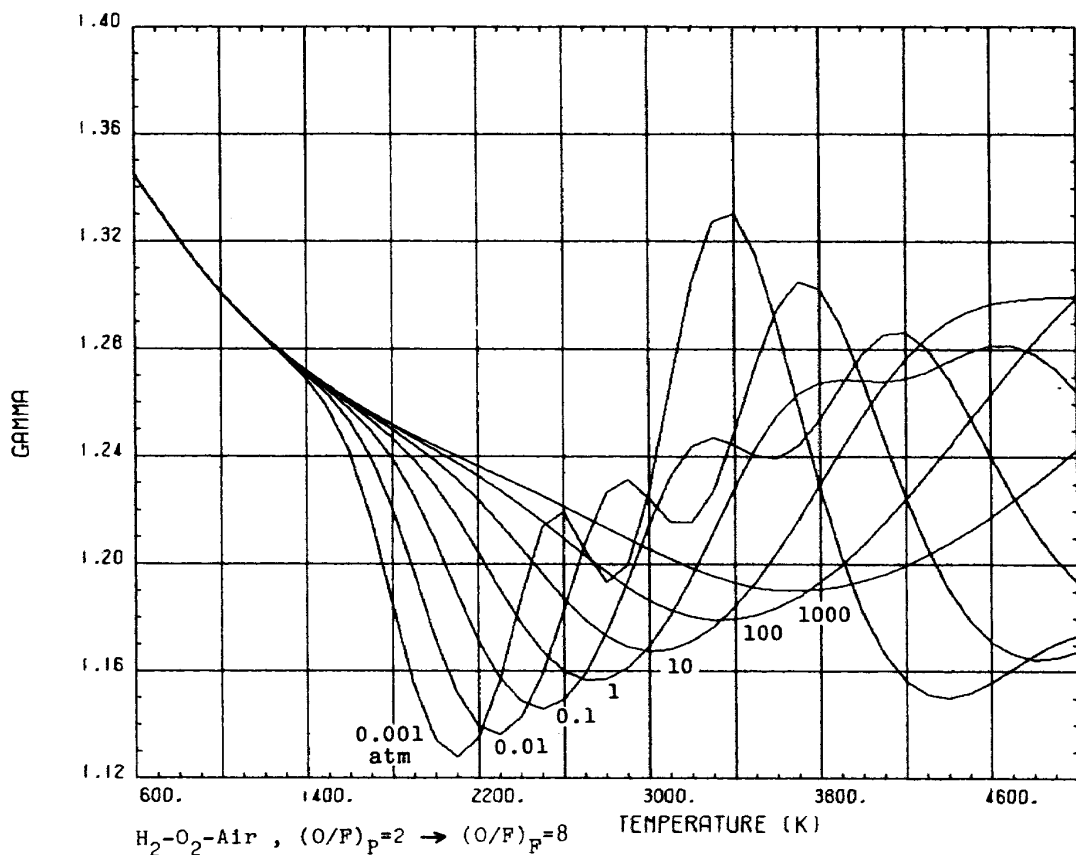


図 B-3-7-3

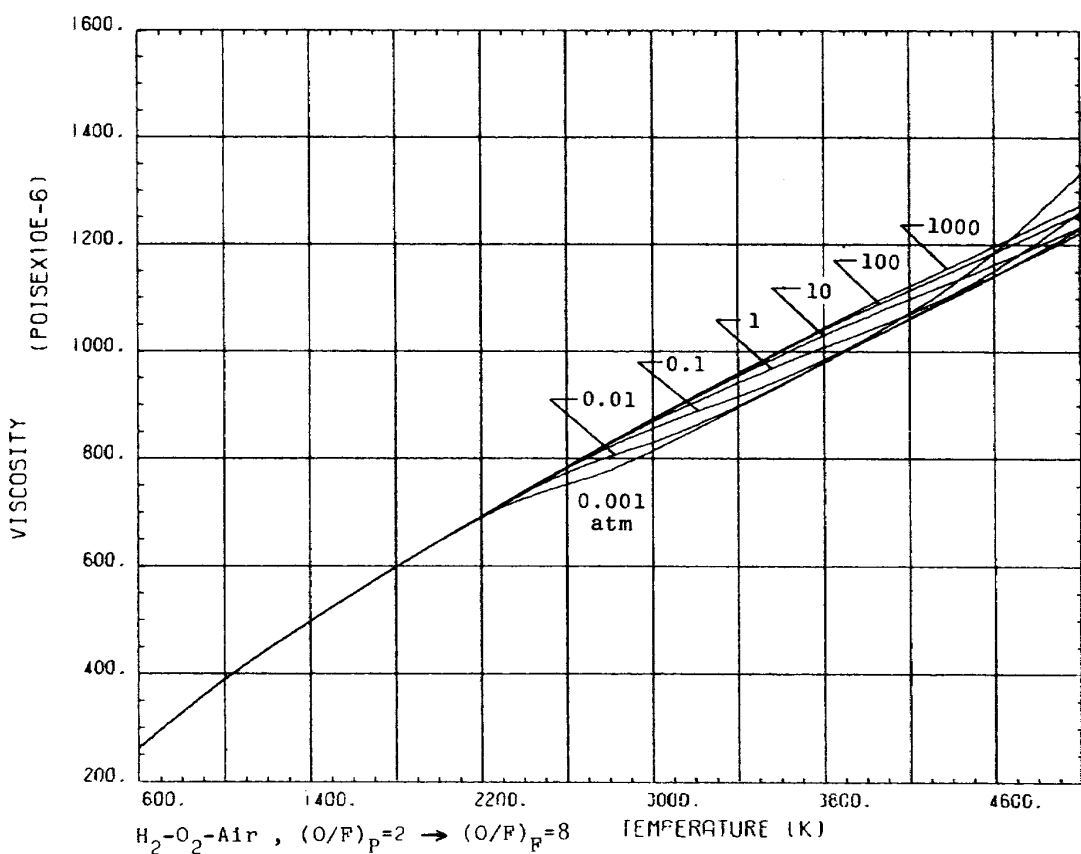


図 B-3-9-3

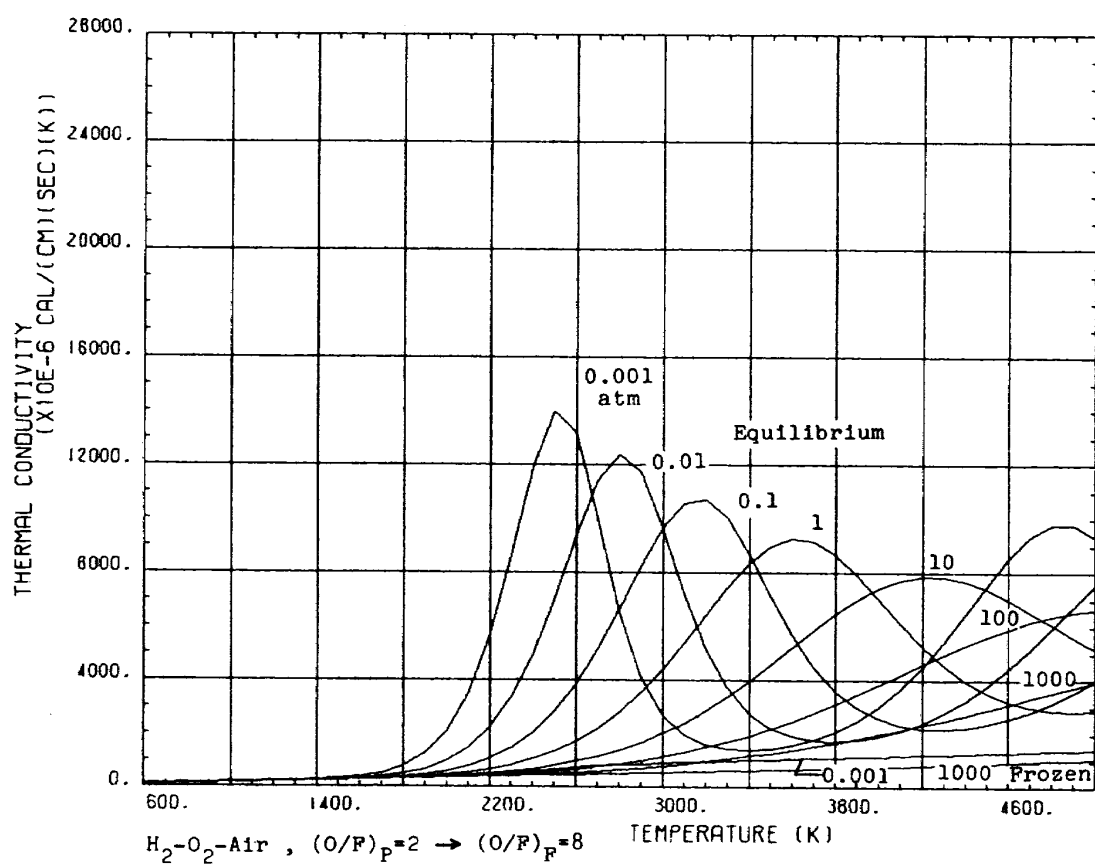


図 B-3-14-3

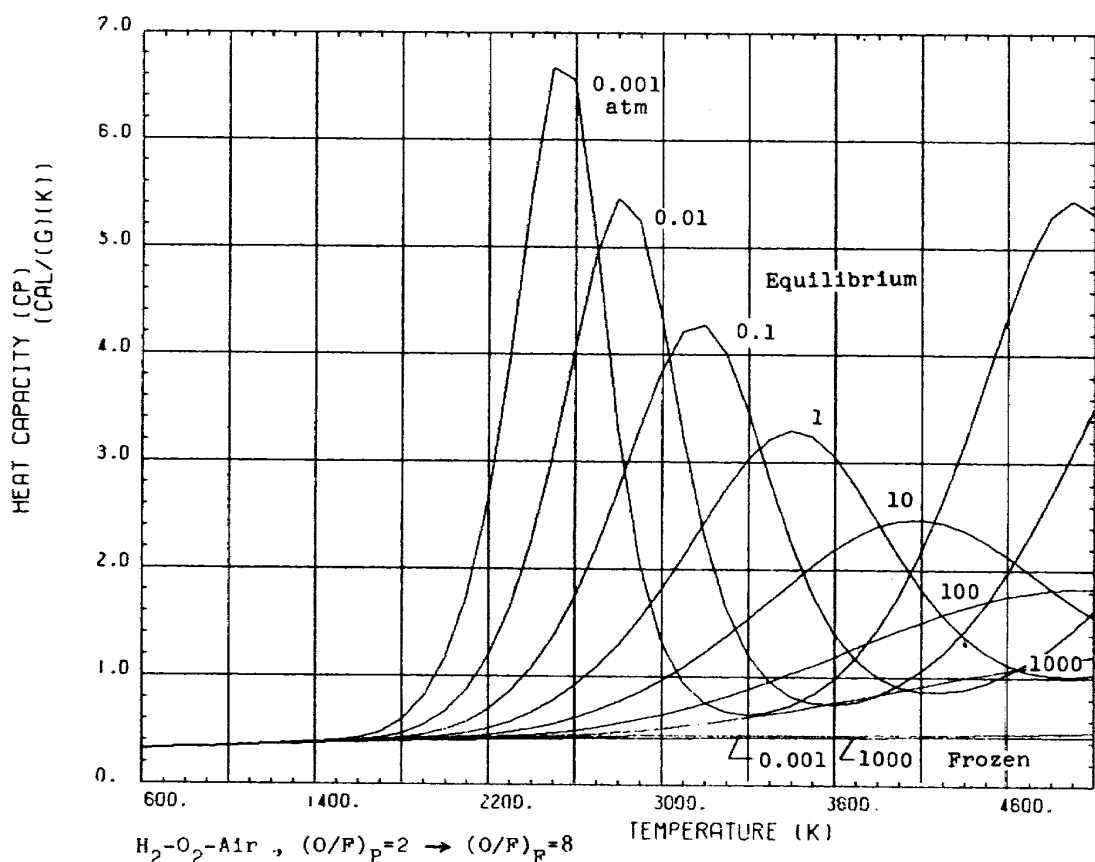


図 B-3-16-3

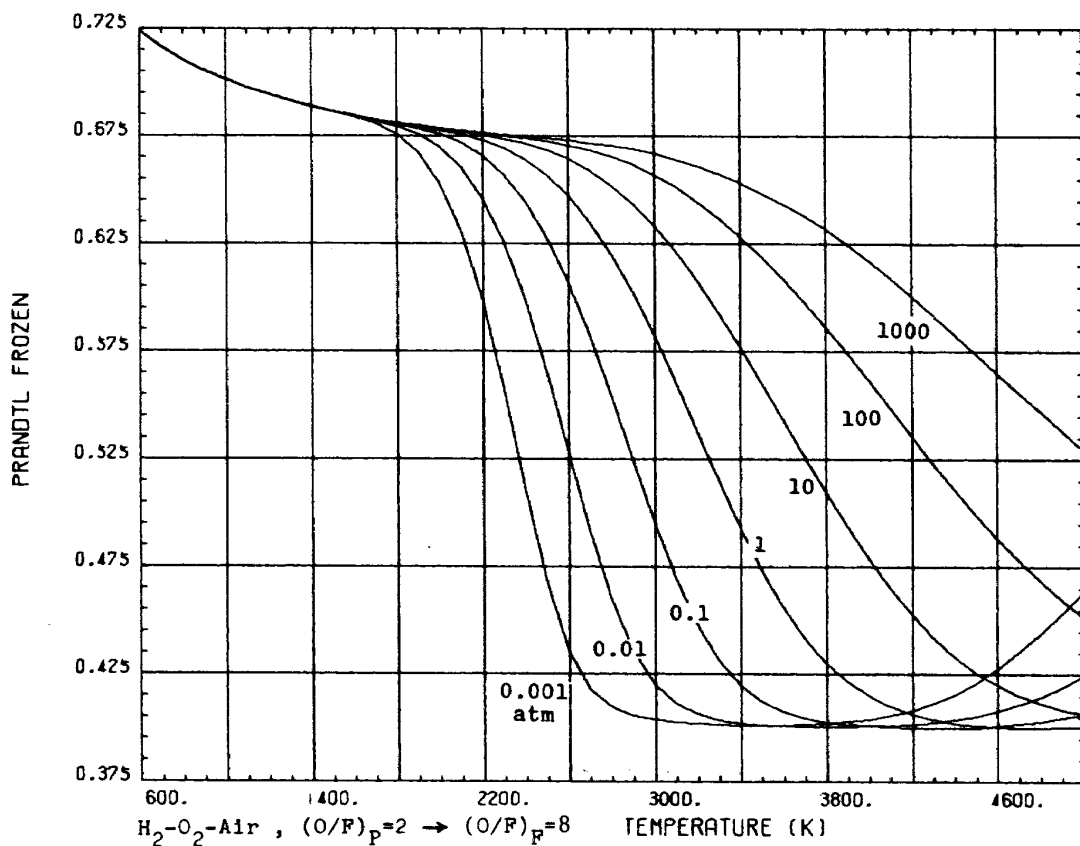


図 B-3-17-3

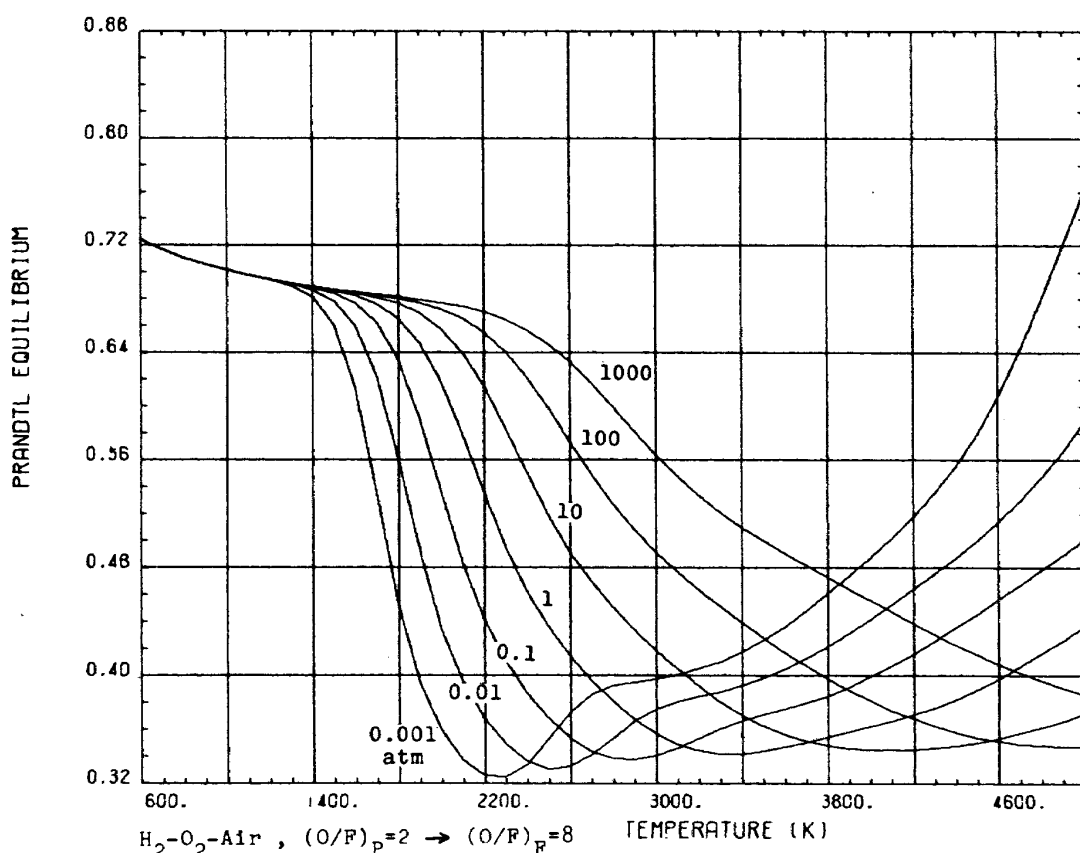


図 B-3-18-3

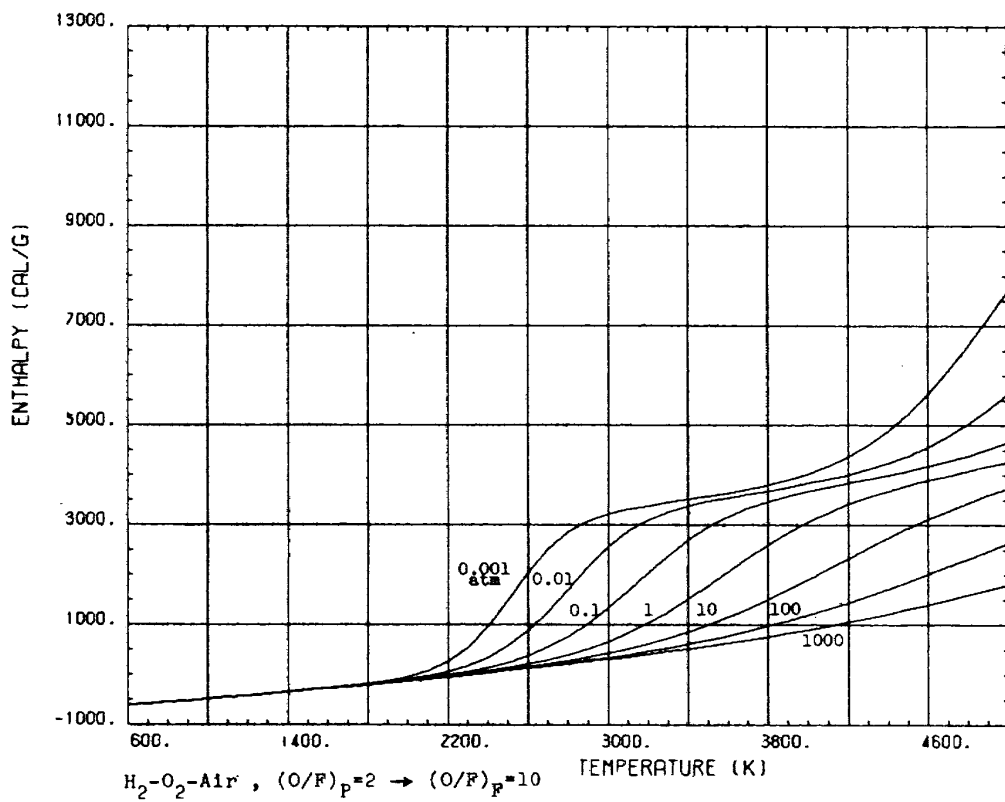


図 B-3-2-4

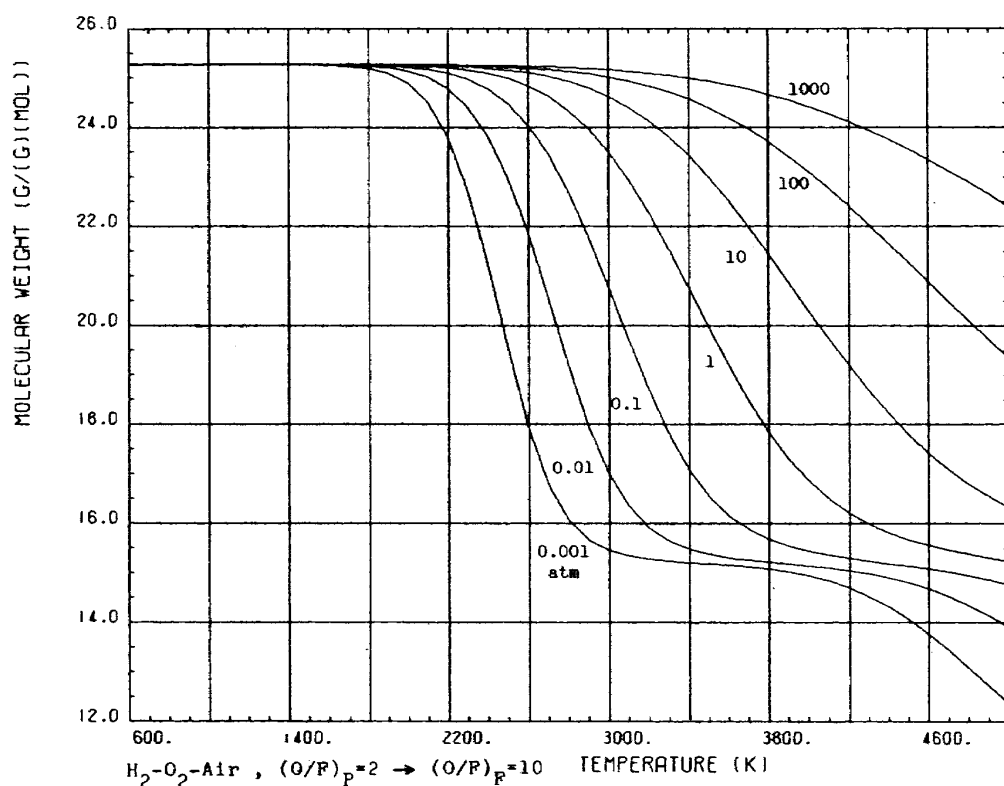


図 B-3-4-4

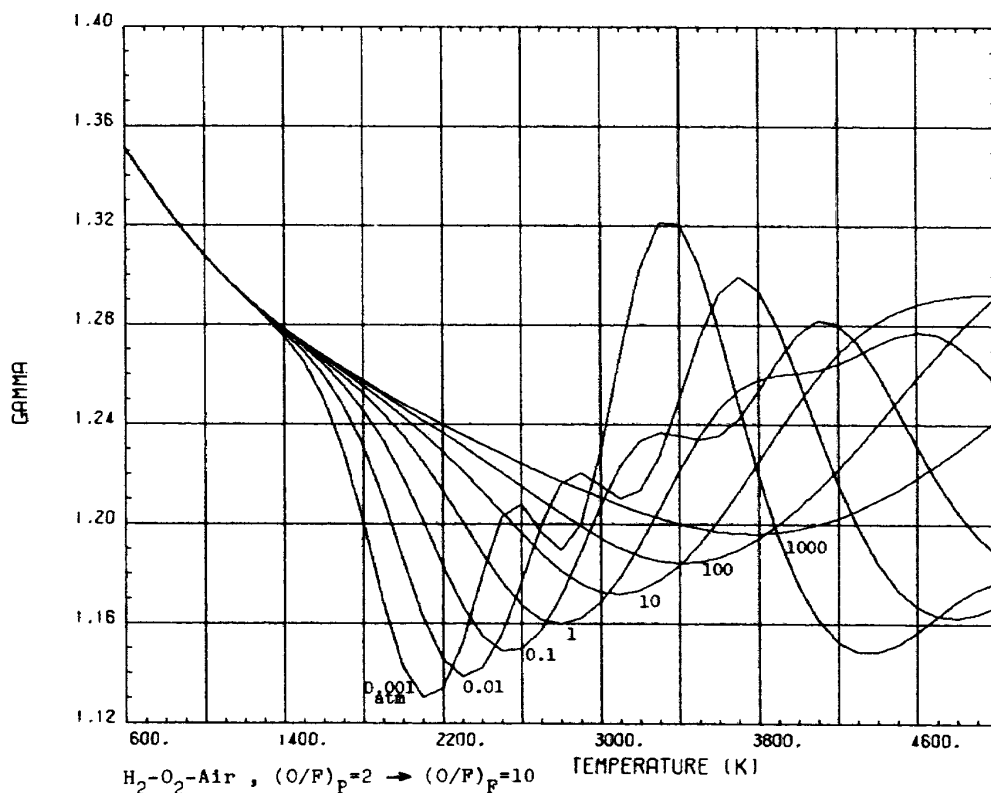


図 B-3-7-4

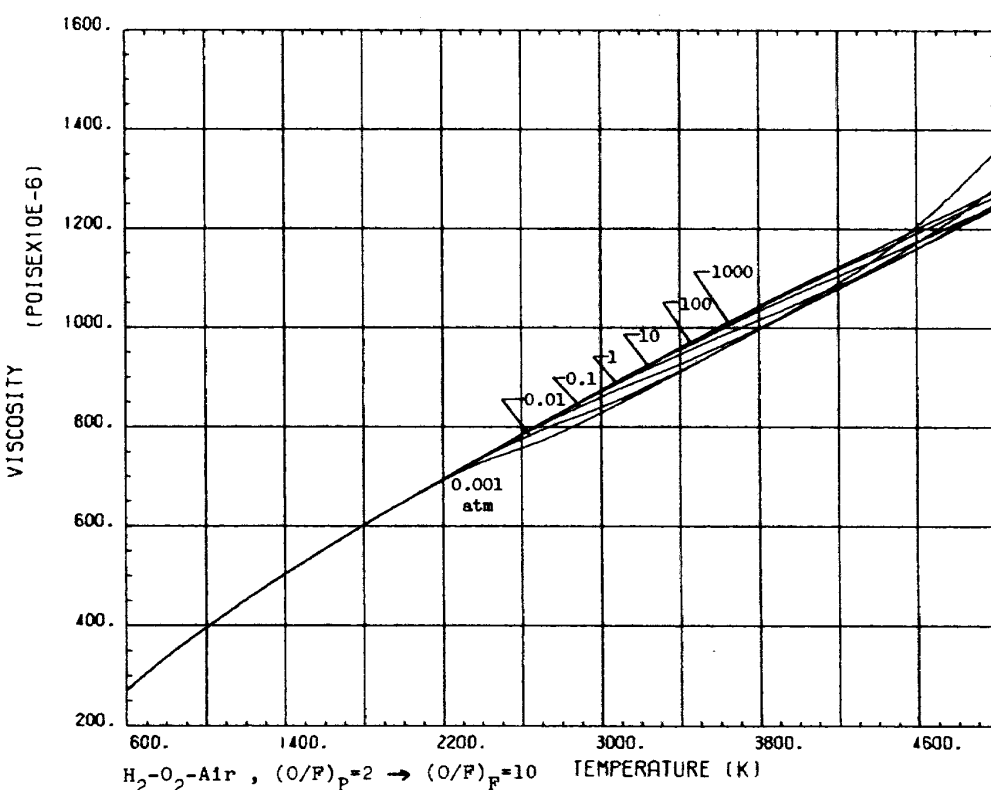


図 B-3-9-4

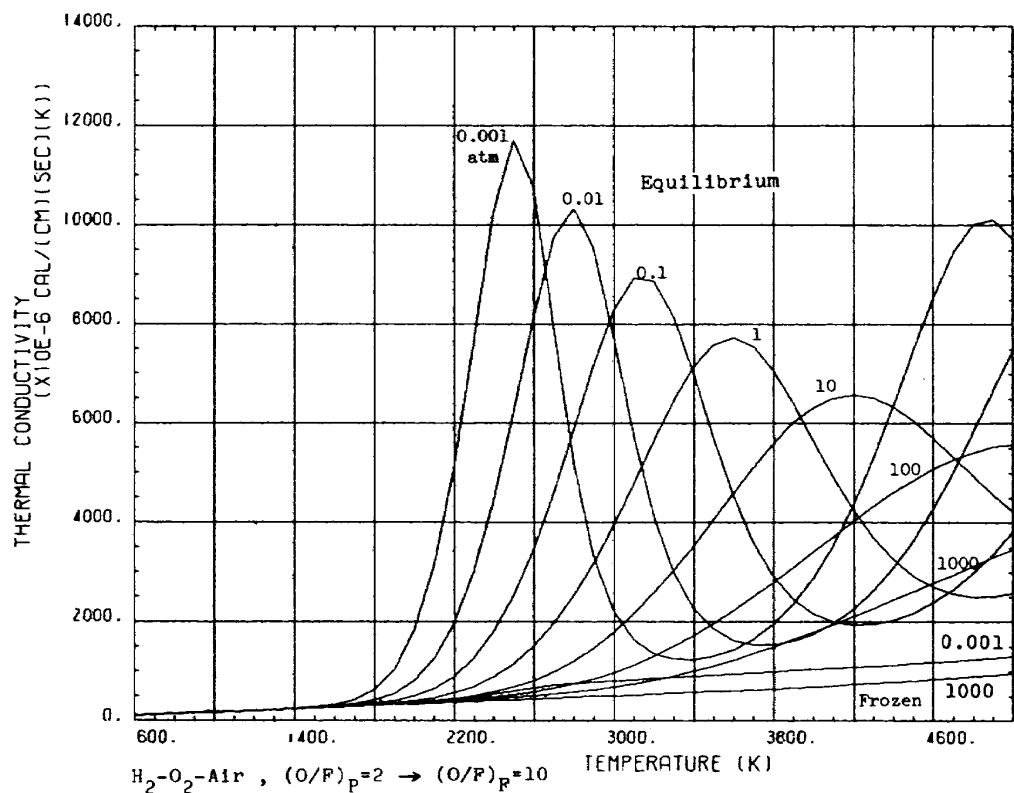


図 B-3-14-4

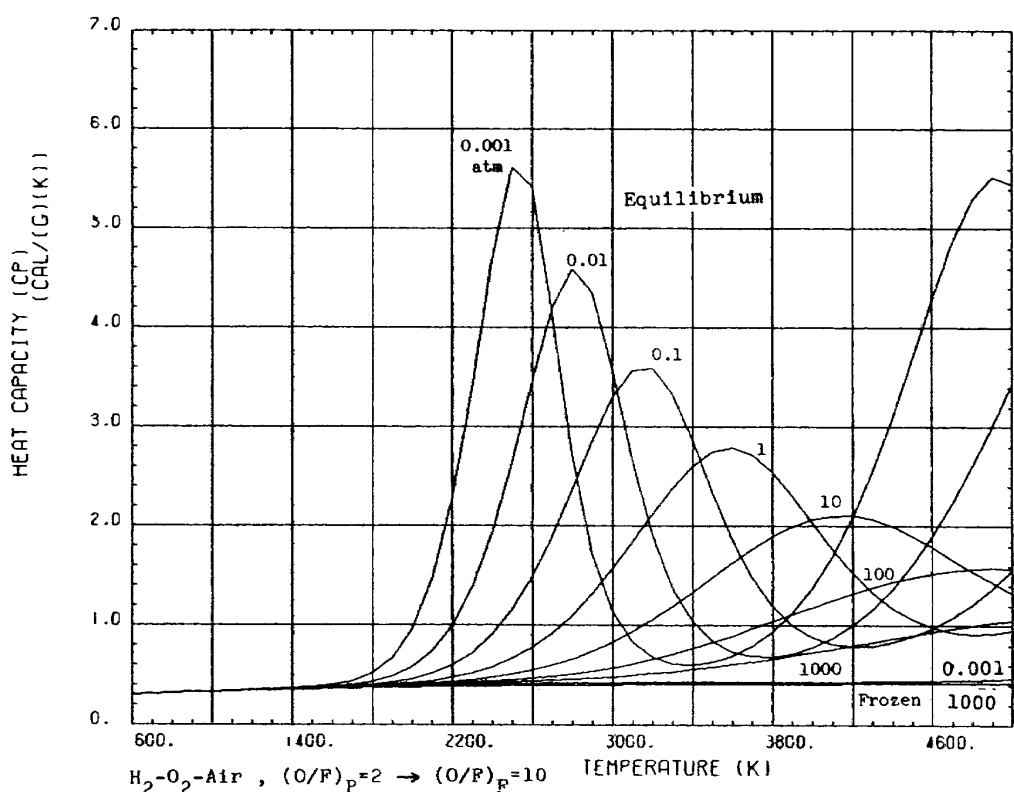


図 B-3-16-4

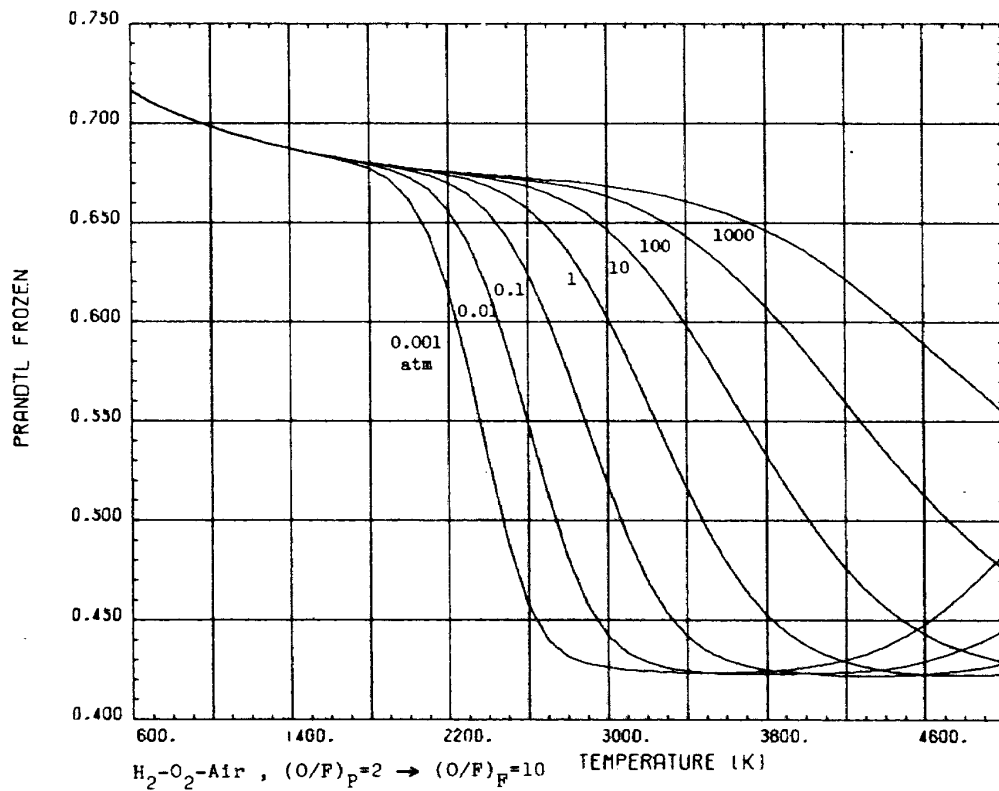


図 B-3-17-4

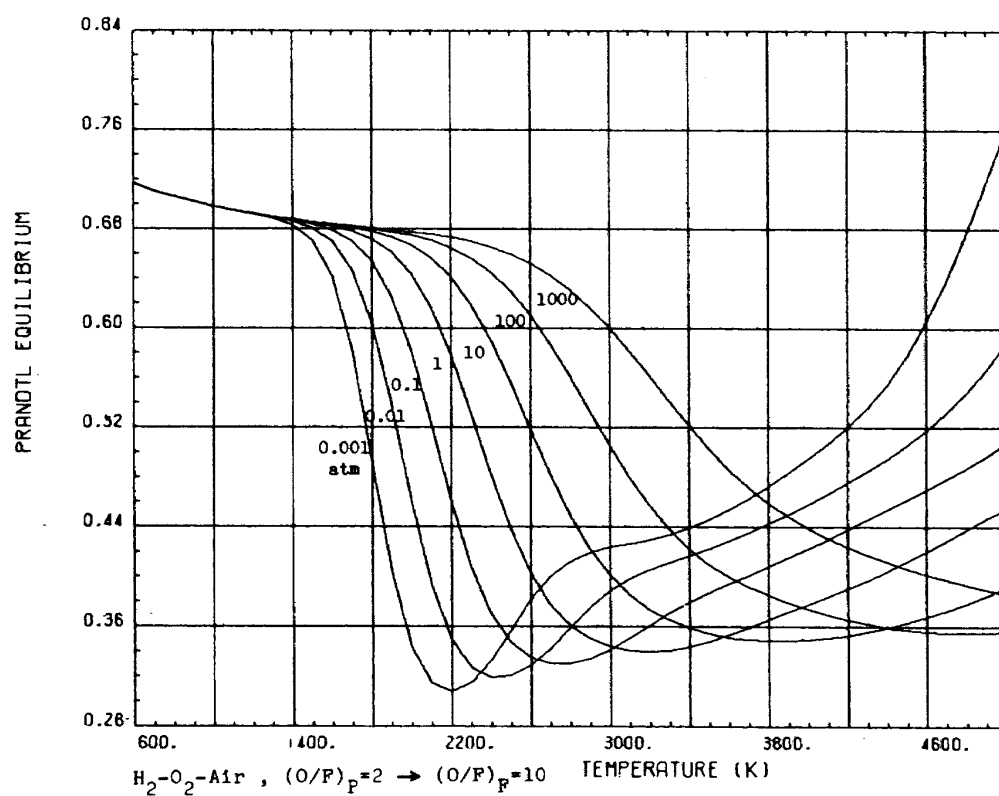


図 B-3-18-4

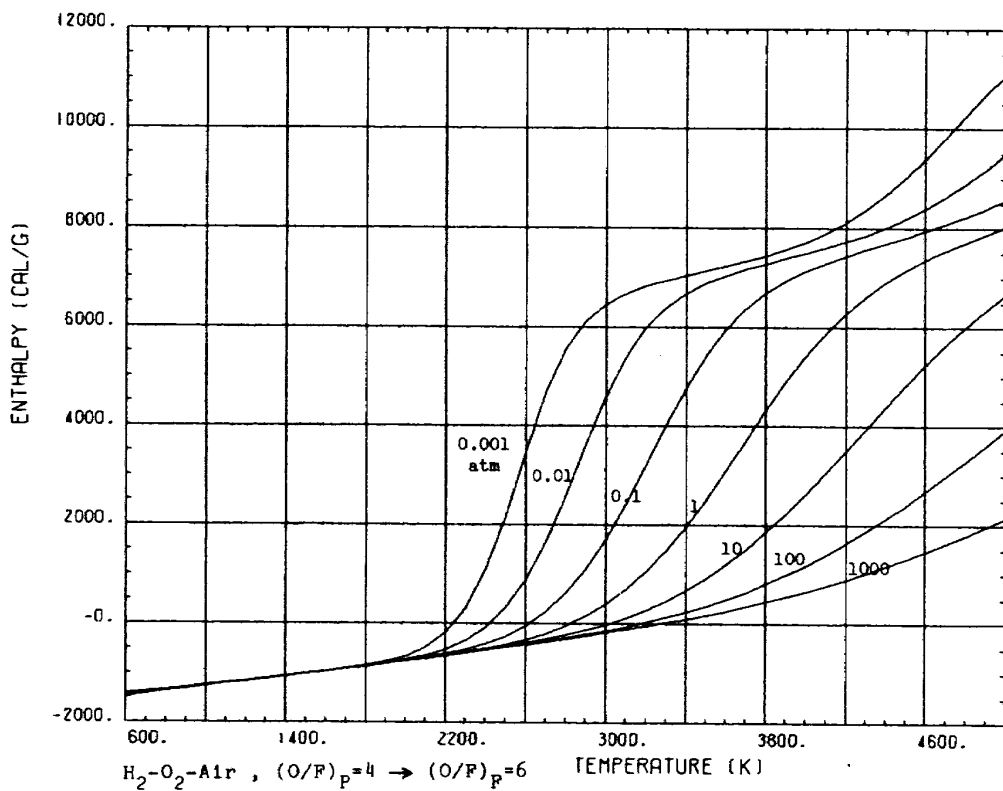


図 B-3-2-5

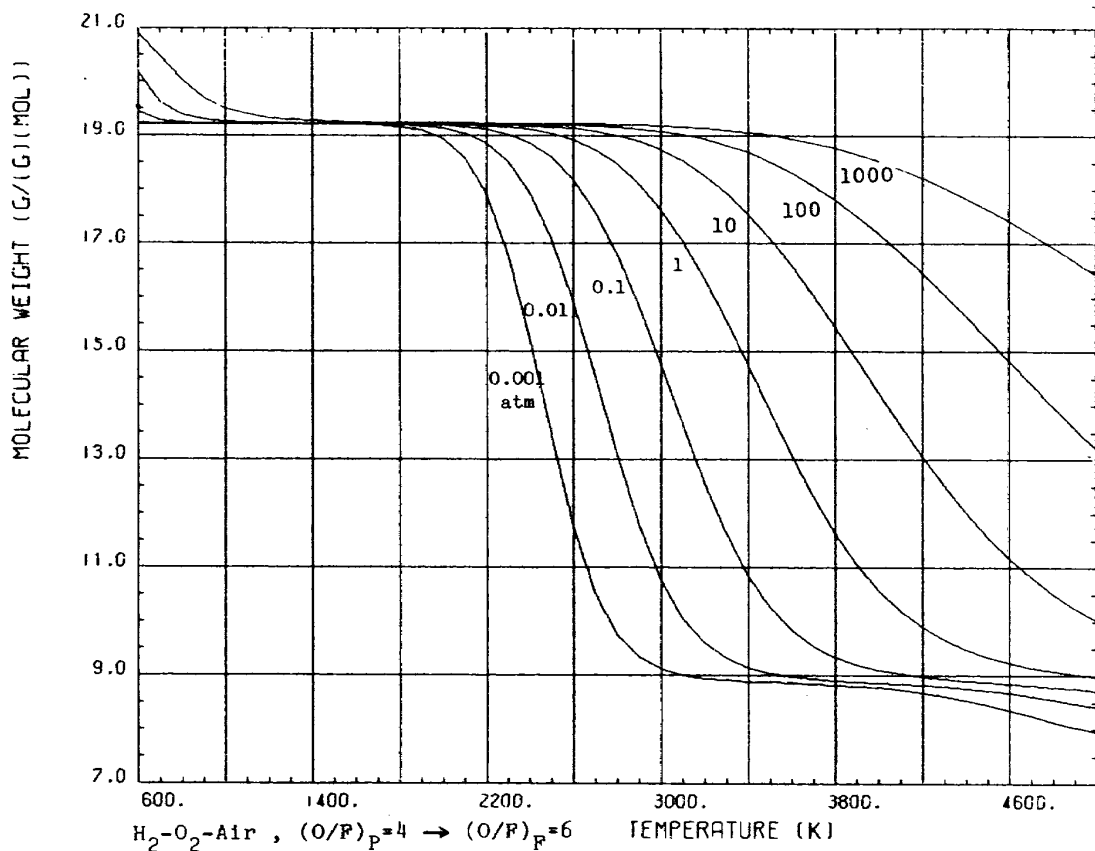


図 B-3-4-5

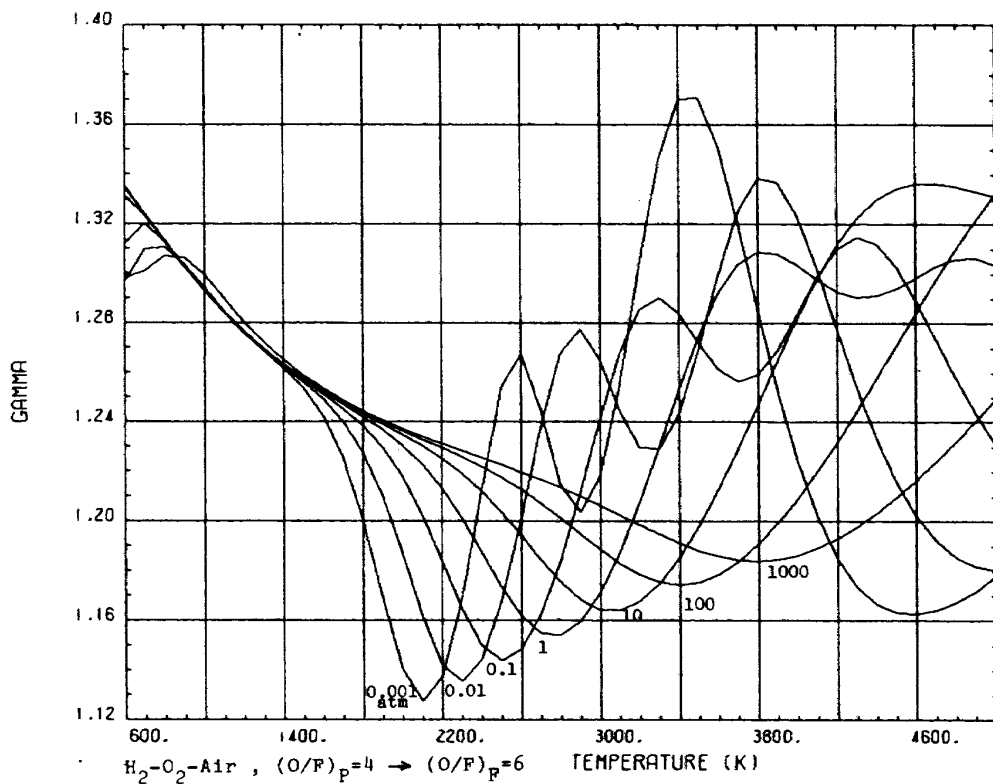


図 B-3-7-5

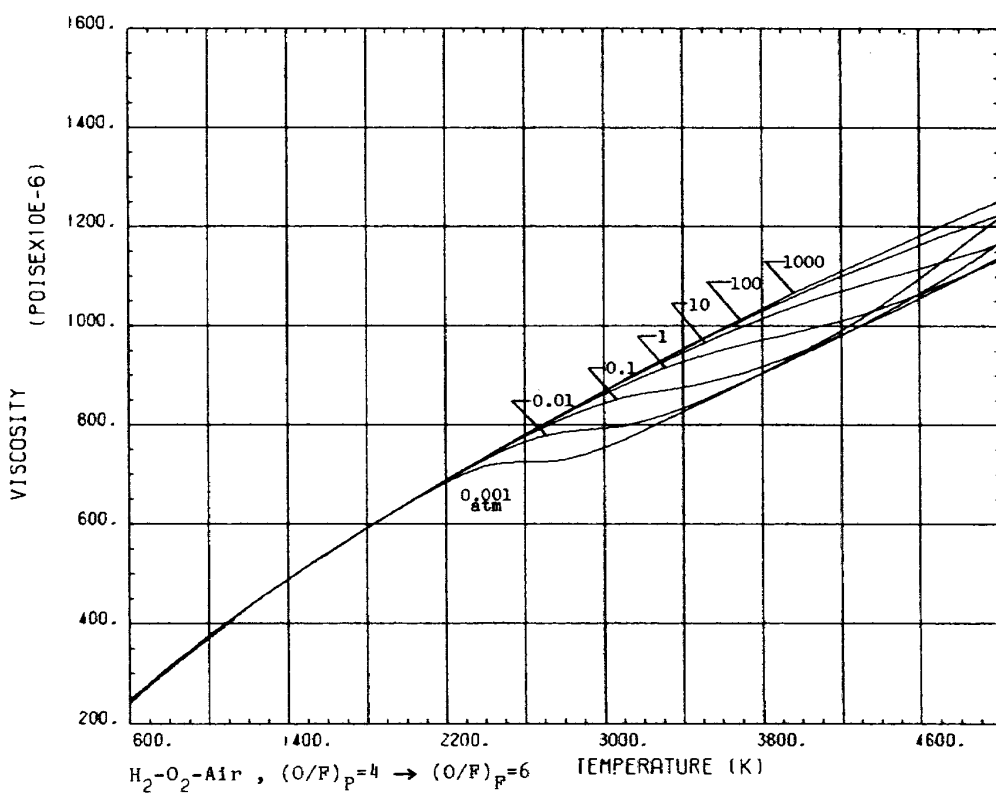


図 B-3-9-5

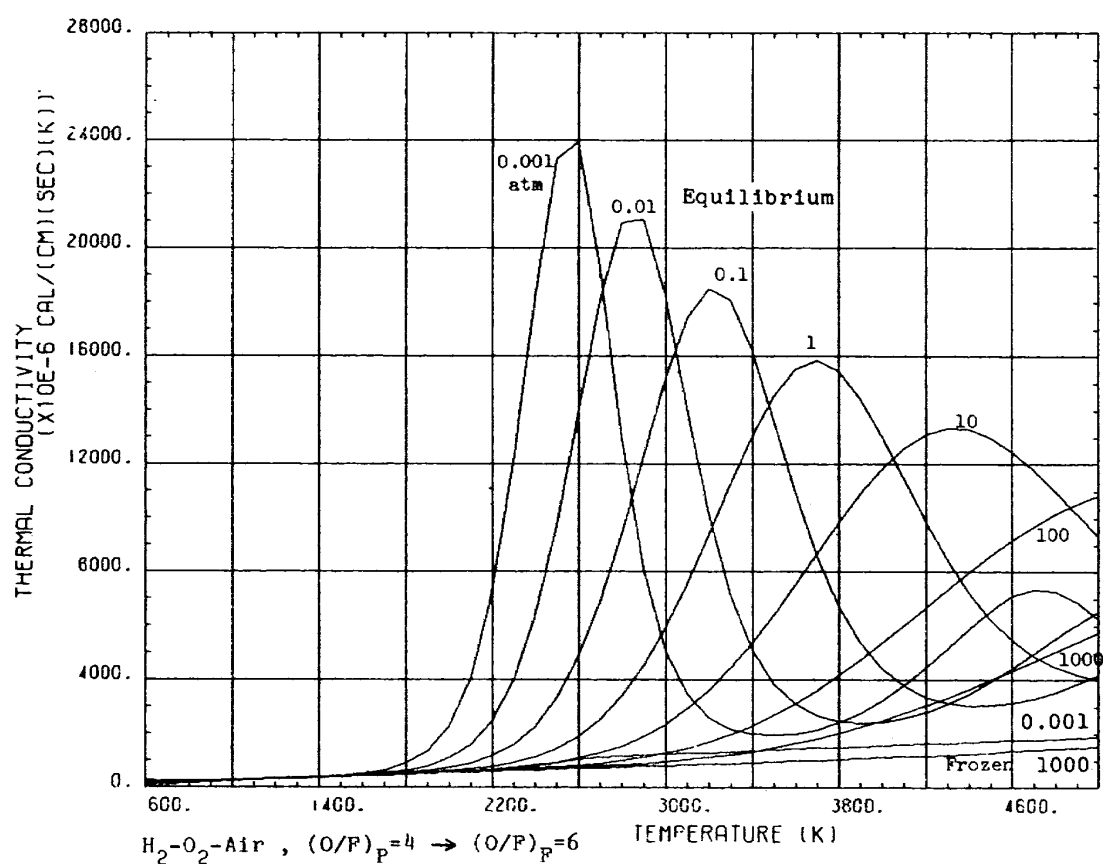


図 B-3-14-5

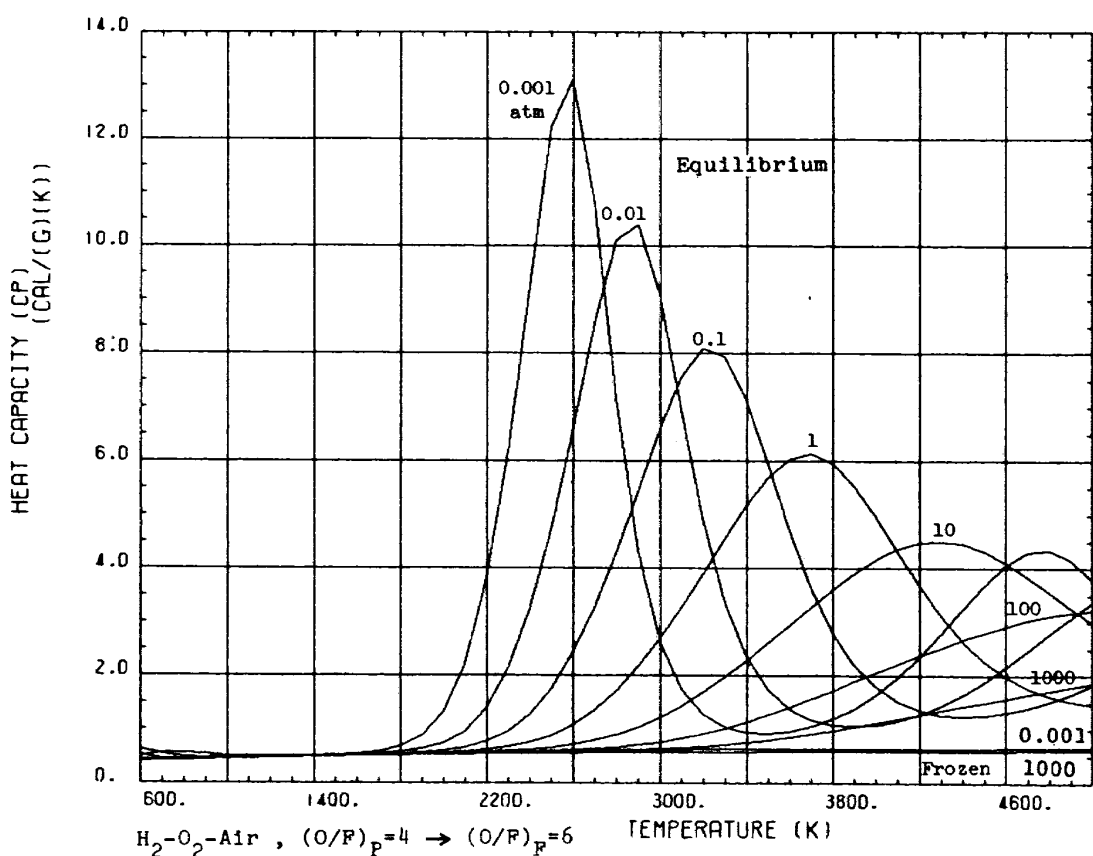


図 B-3-16-5

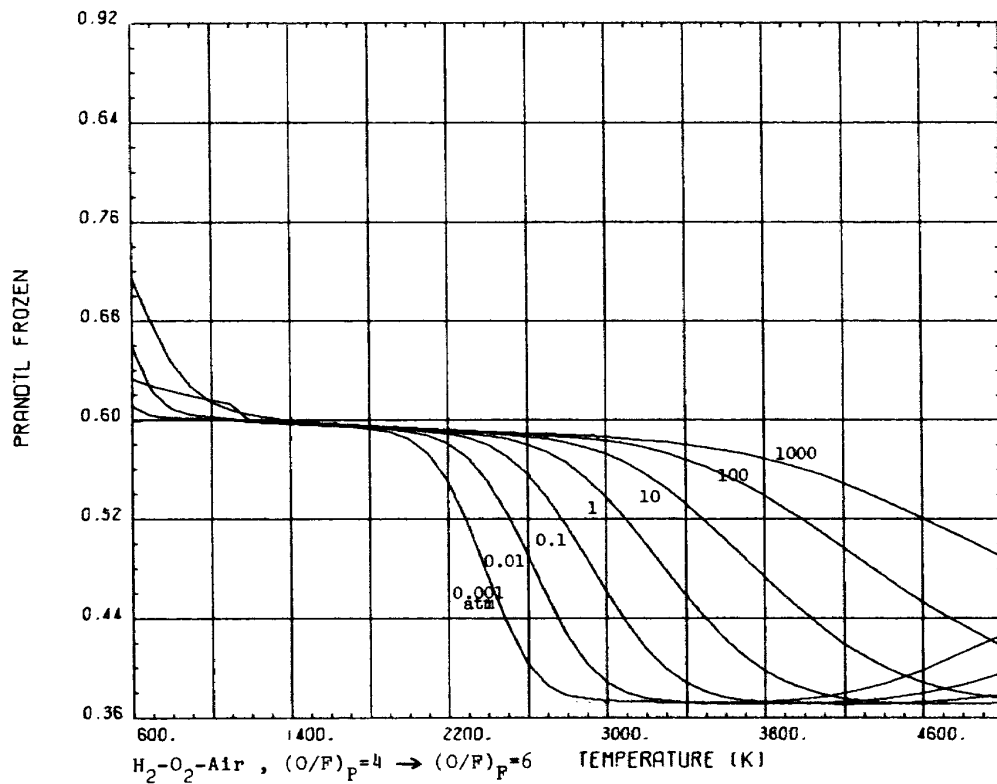


図 B-3-17-5

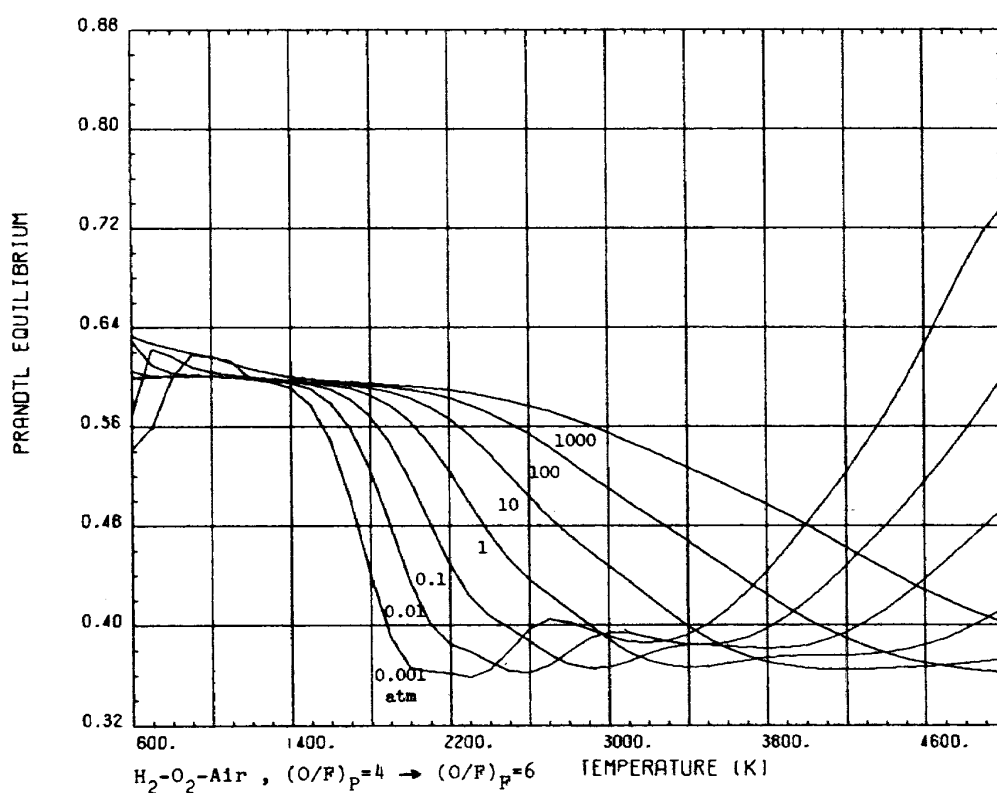


図 B-3-18-5

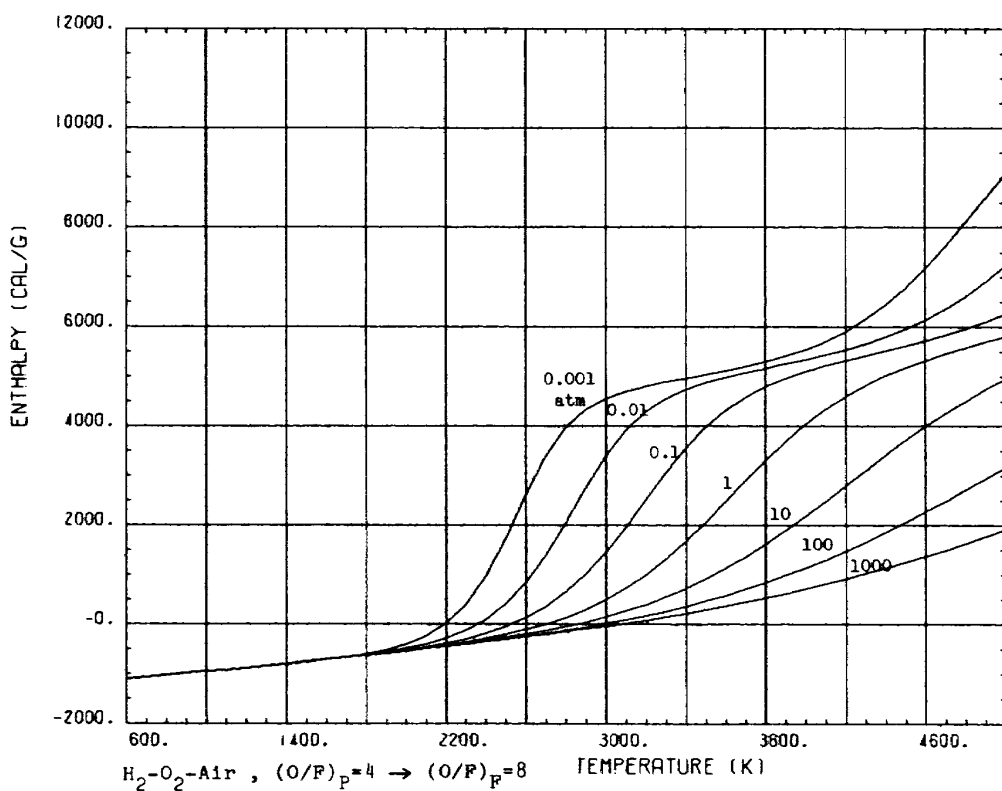


図 B-3-2-6

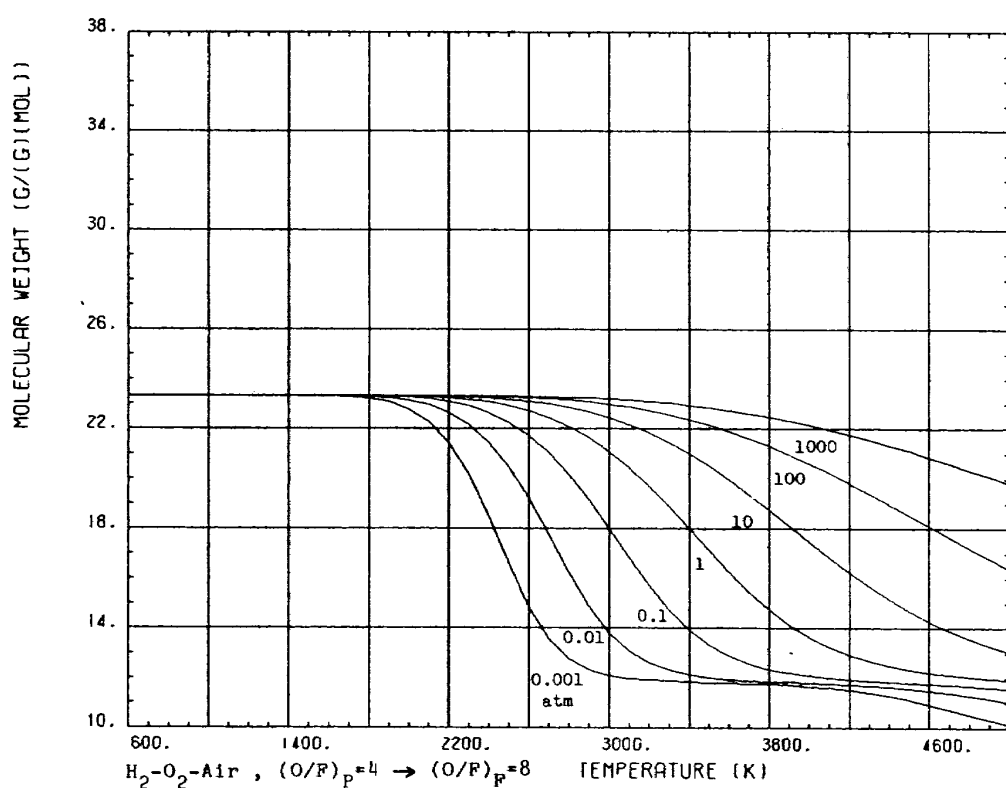


図 B-3-4-6

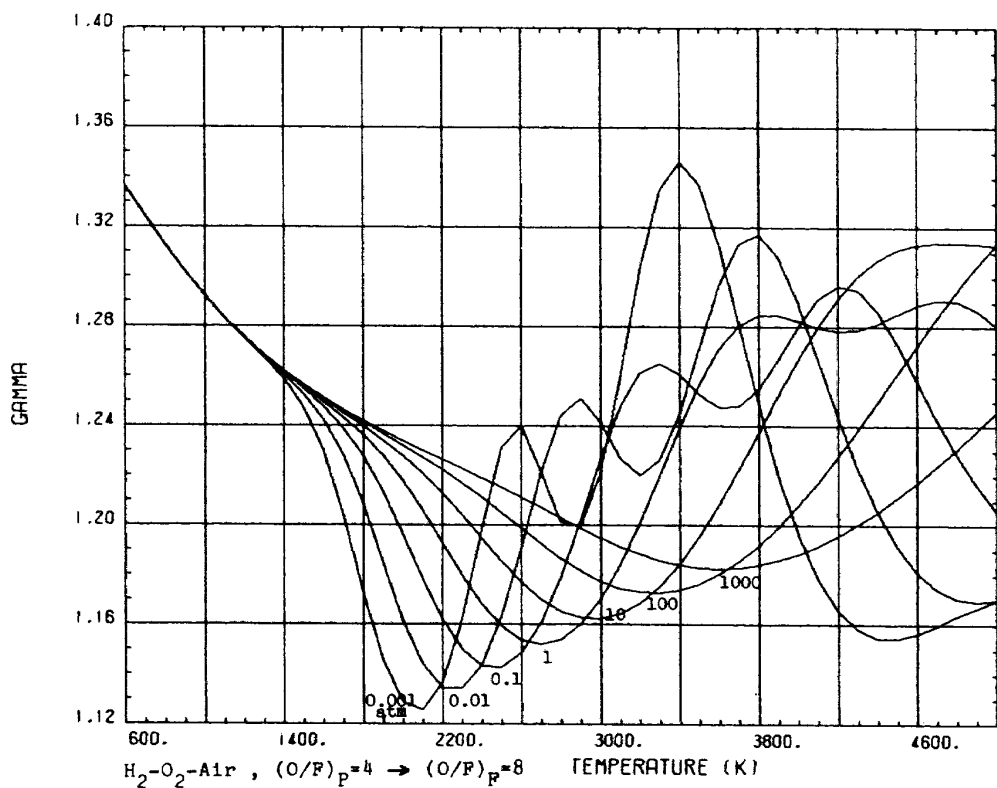


図 B-3-7-6

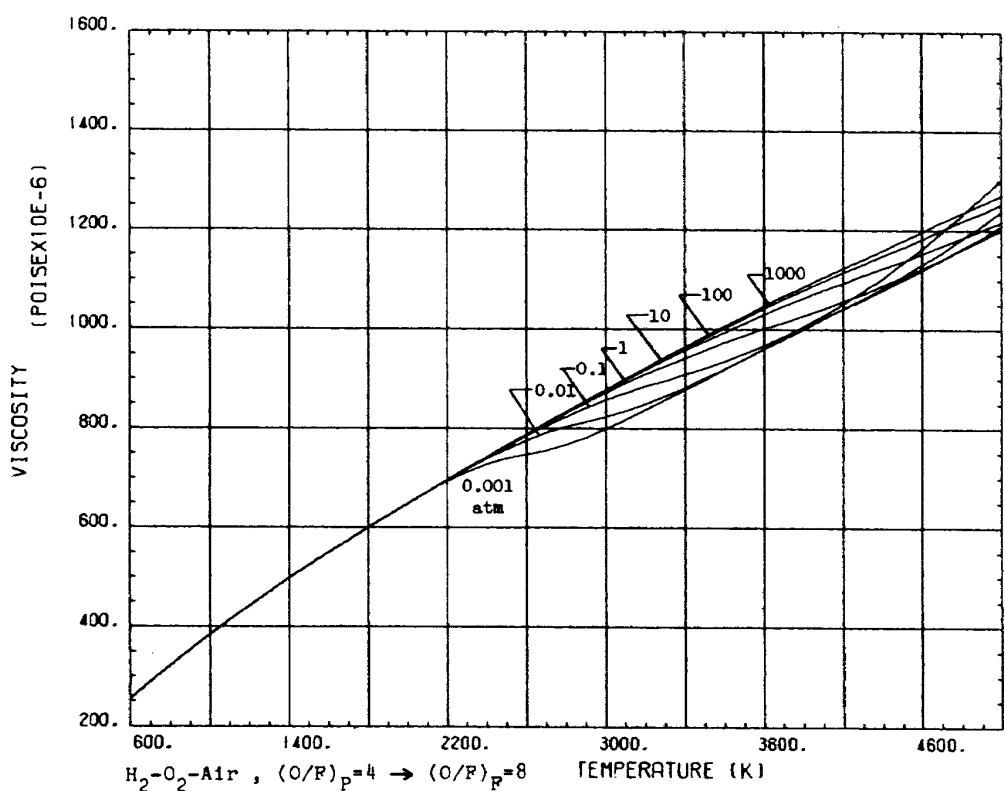


図 B-3-9-6

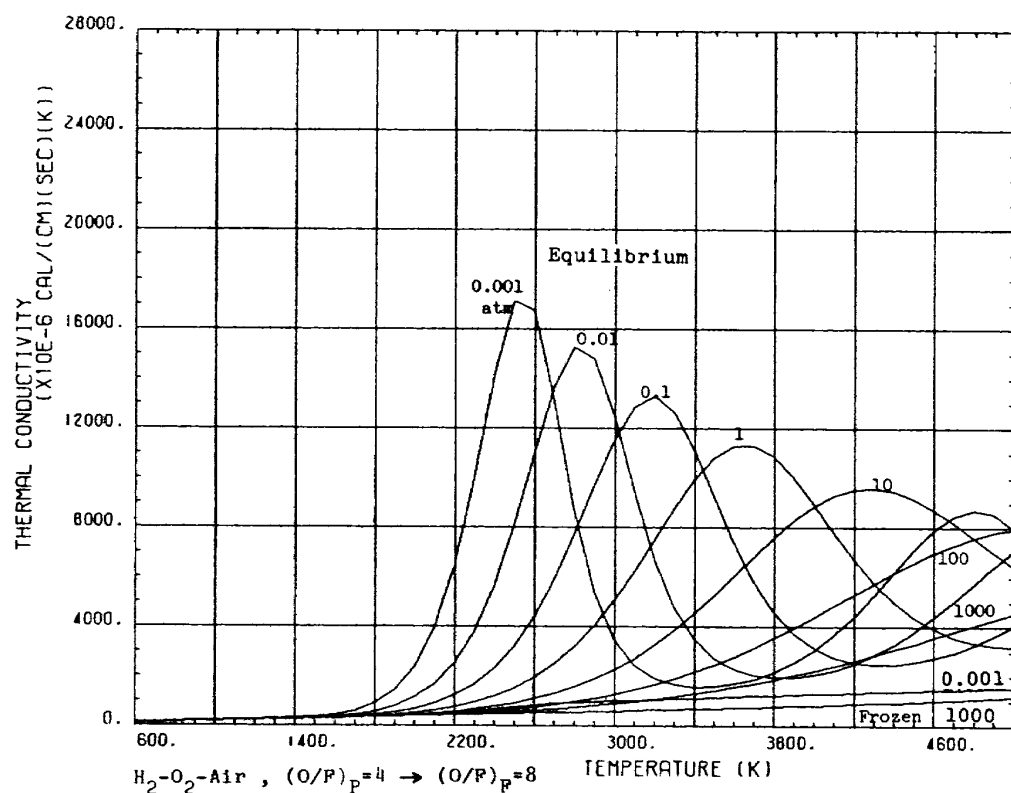


図 B-3-14-6

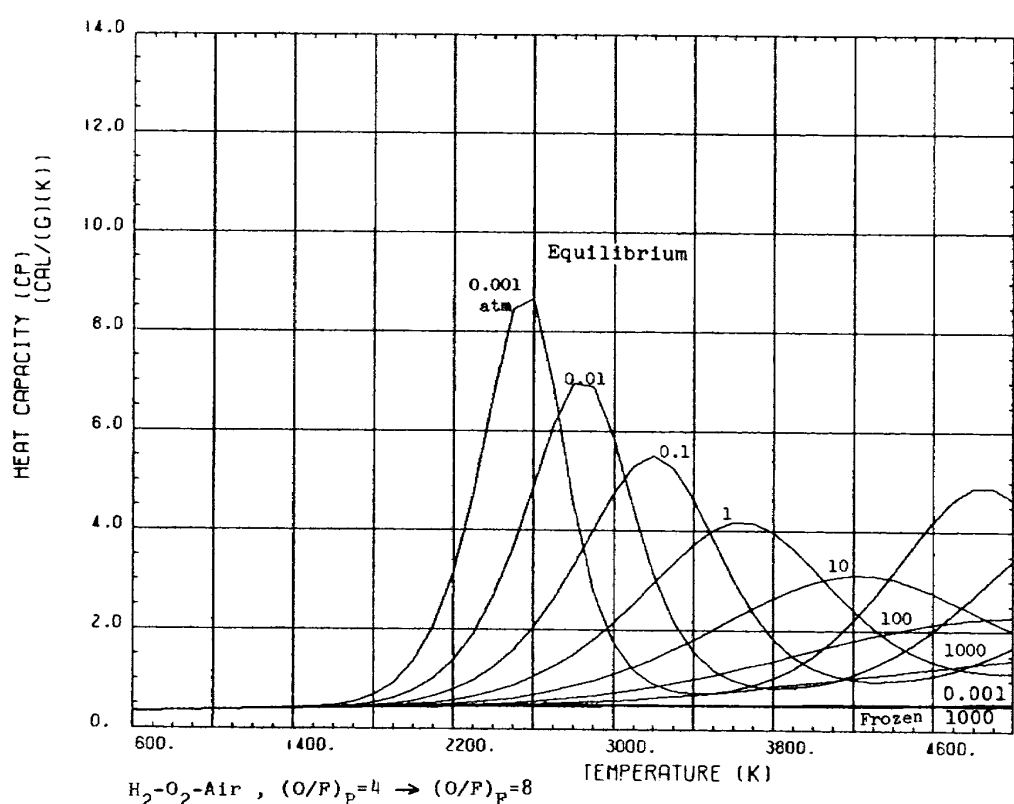


図 B-3-16-6

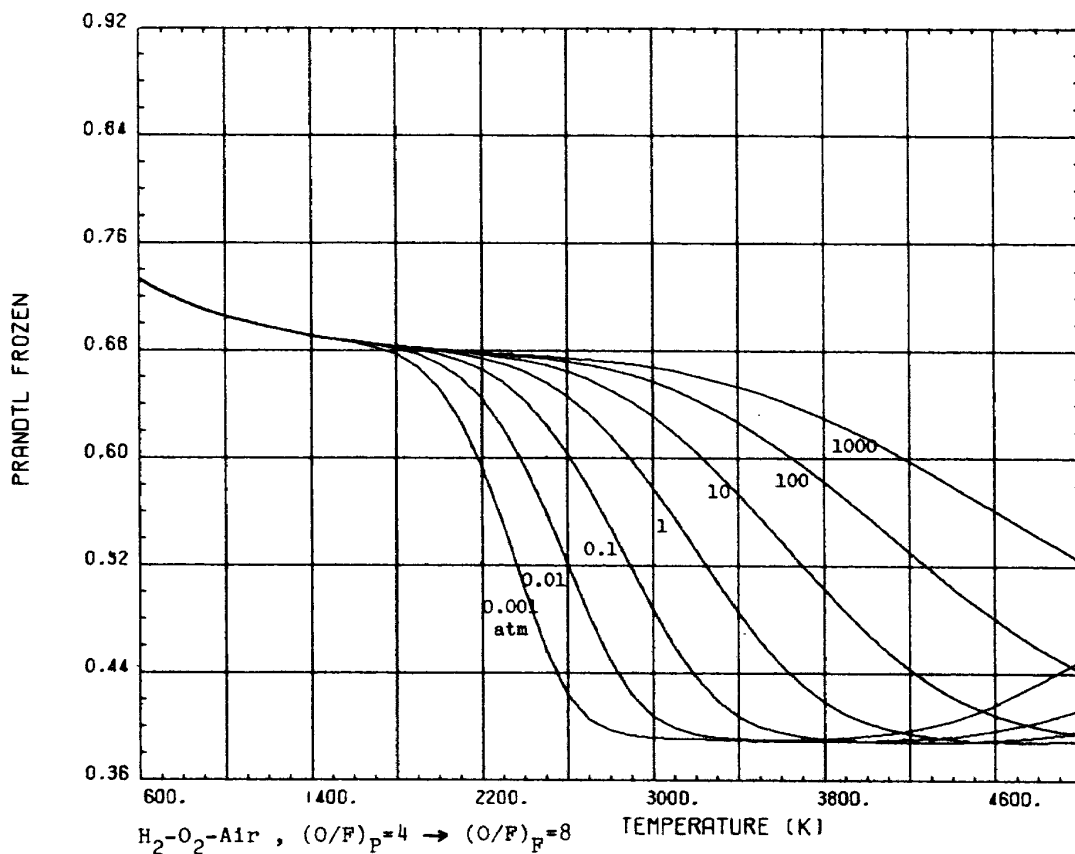


図 B-3-17-6

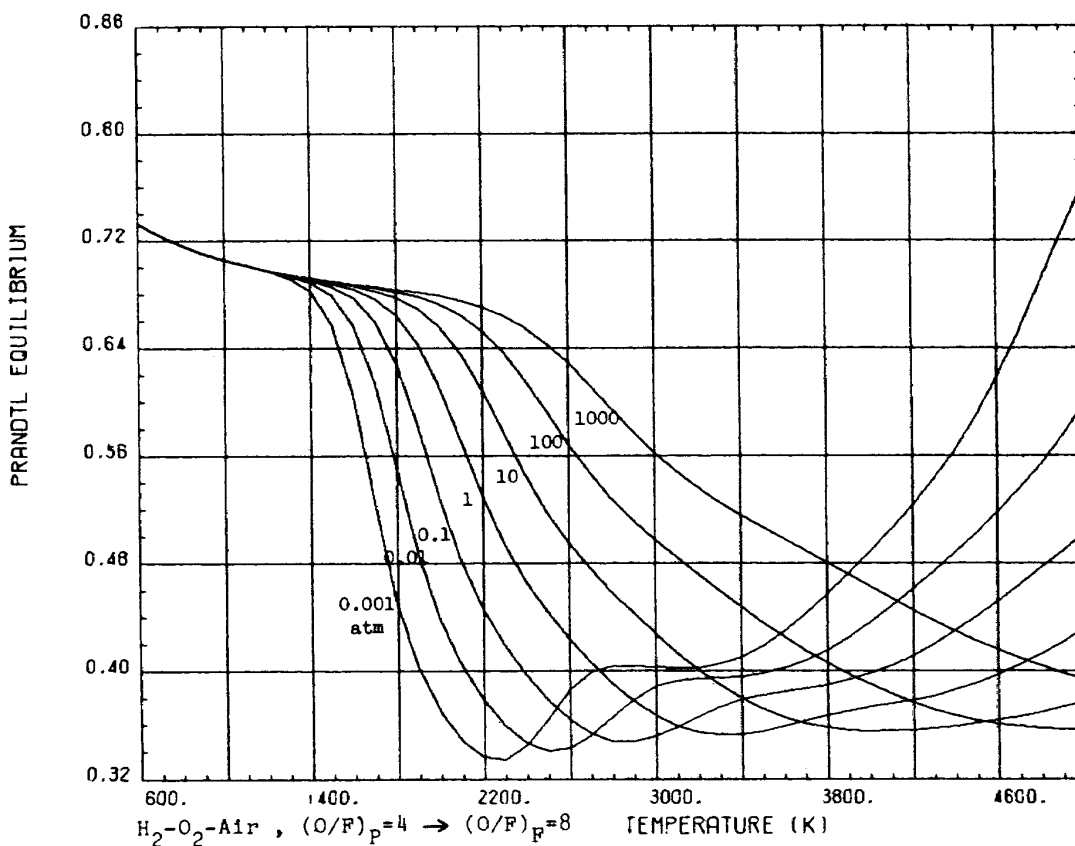


図 B-3-18-6

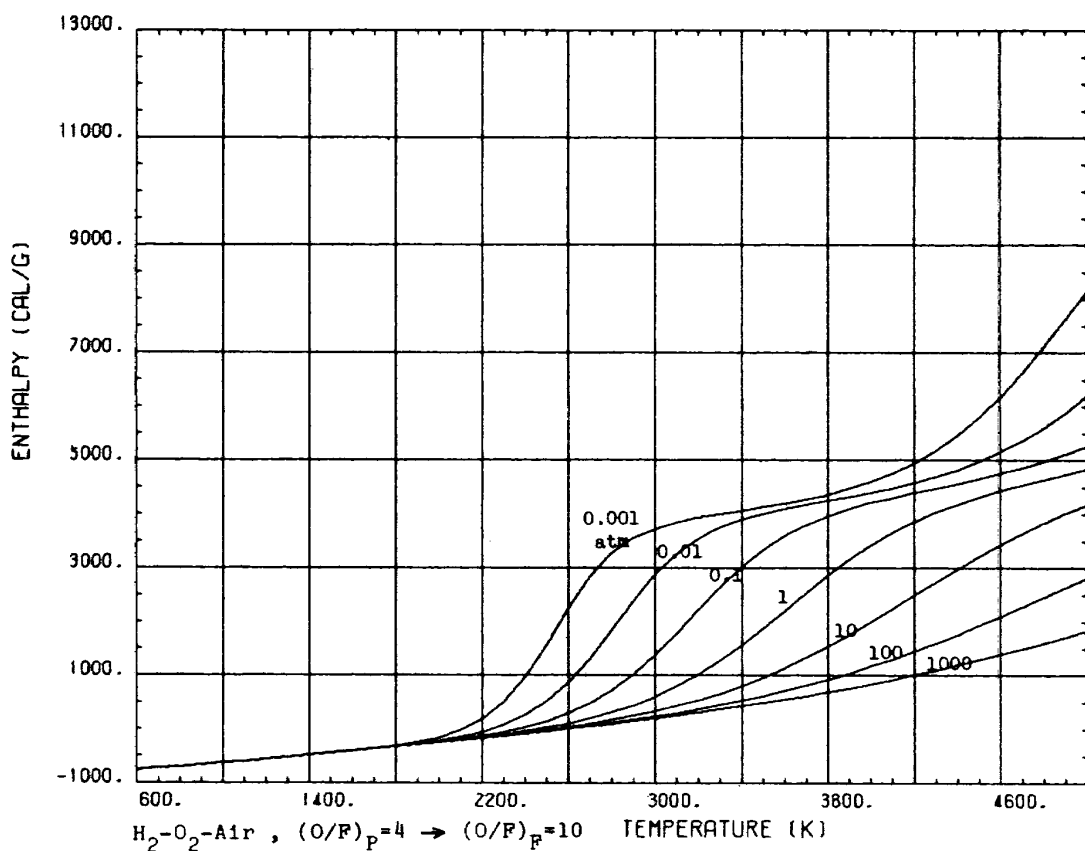


図 B-3-2-7

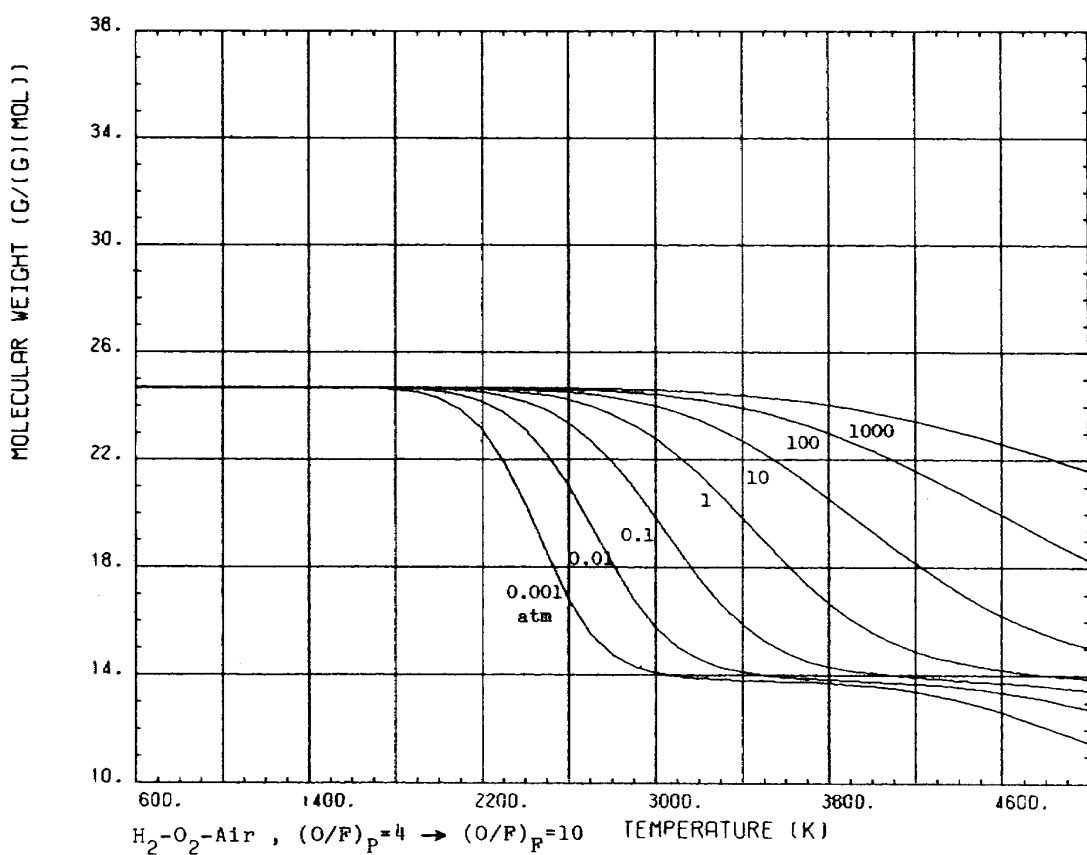


図 B-3-4-7

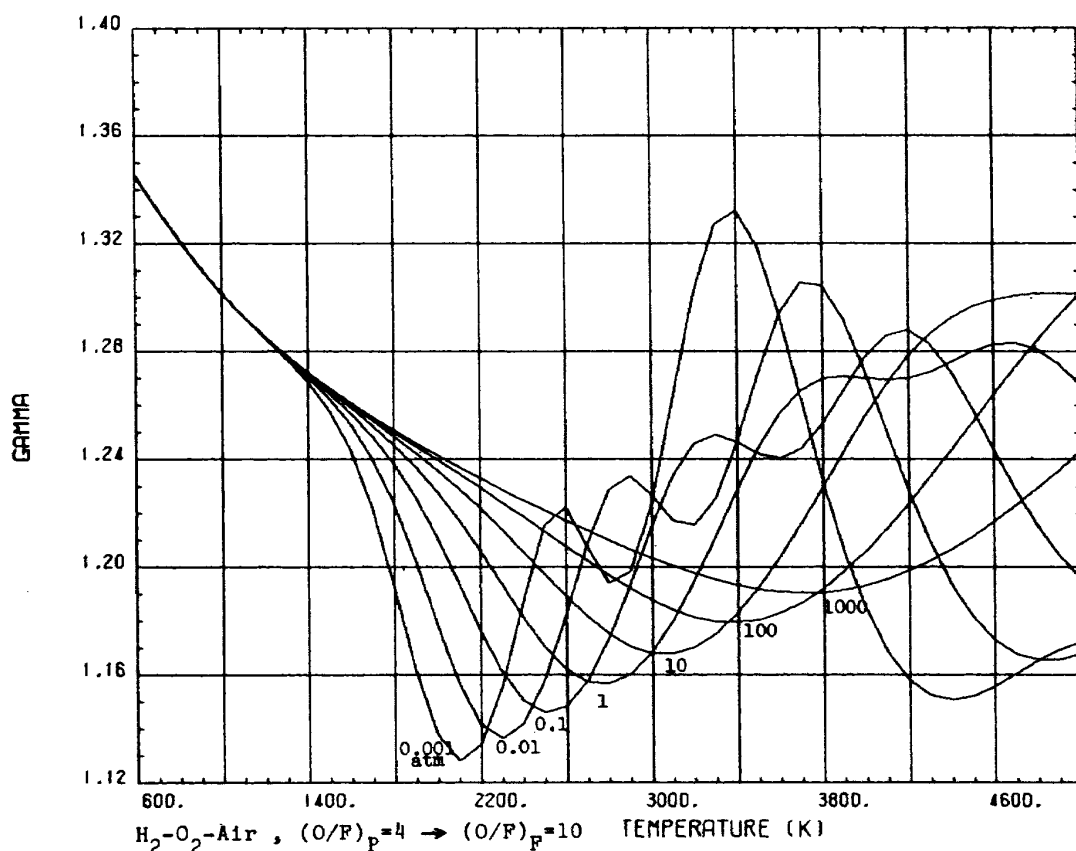


図 B-3-7-7

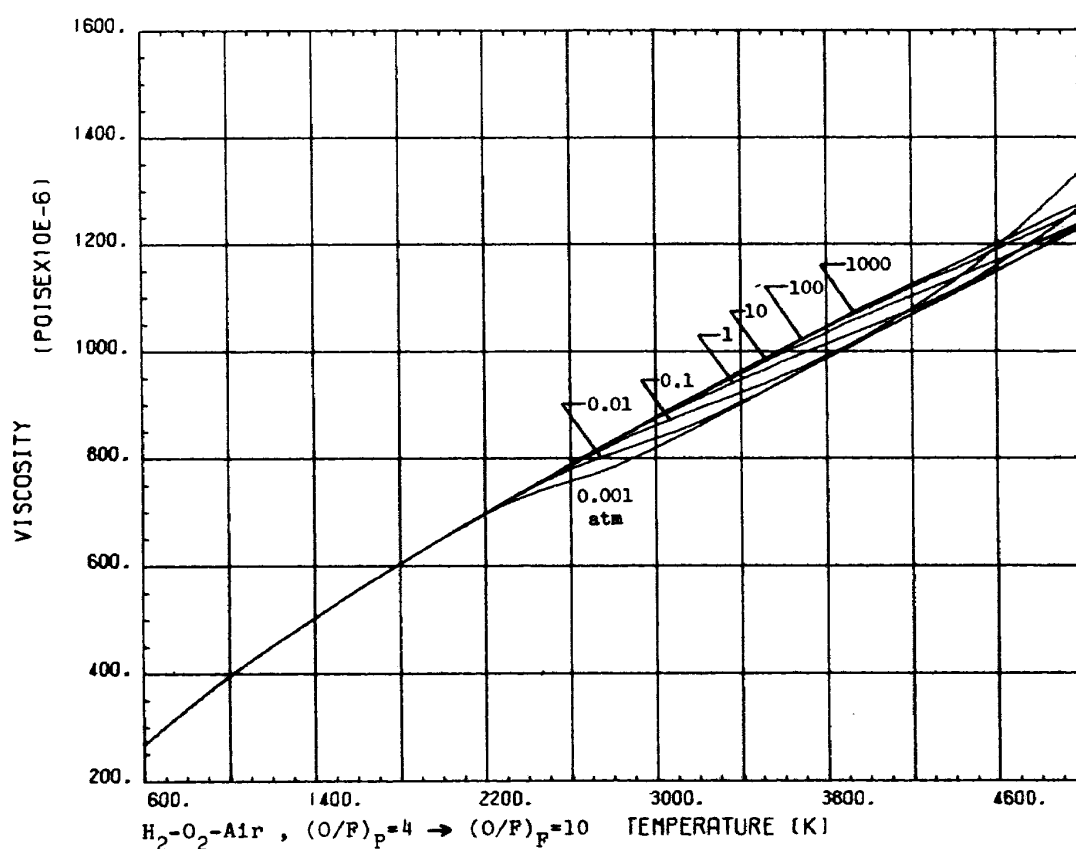


図 B-3-9-7

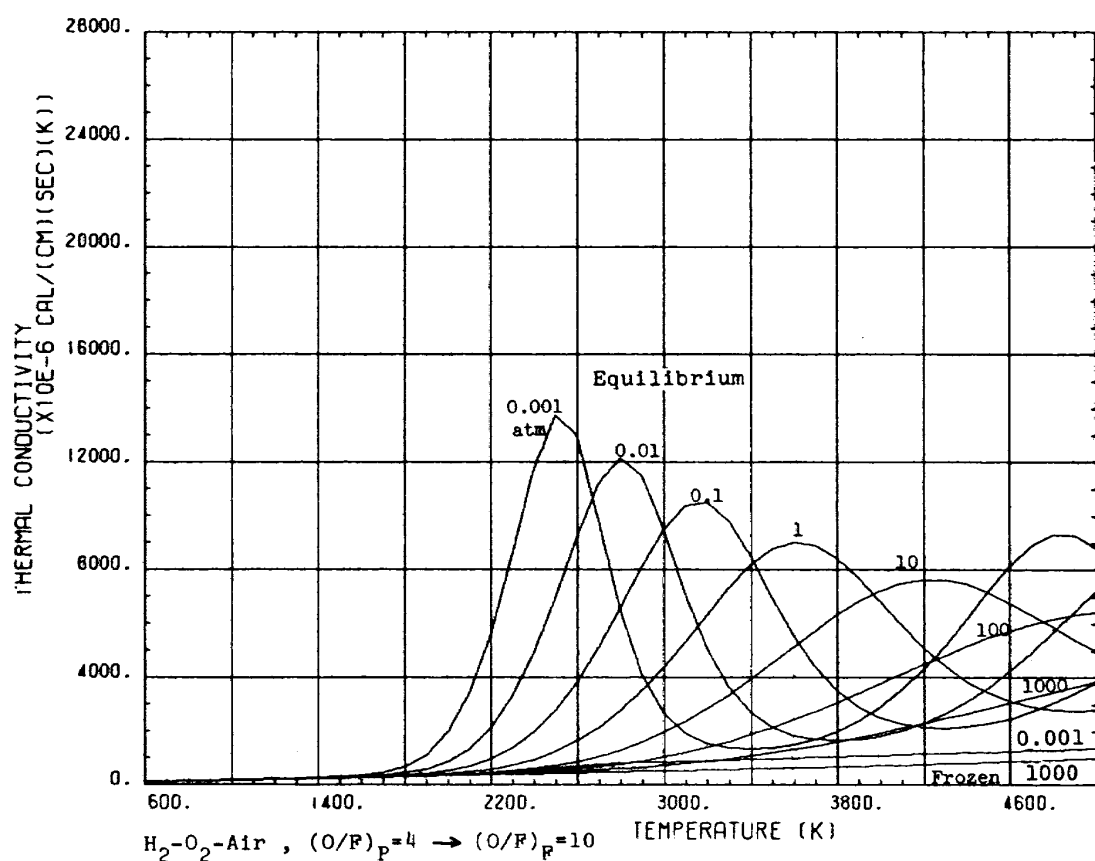


図 B-3-14-7

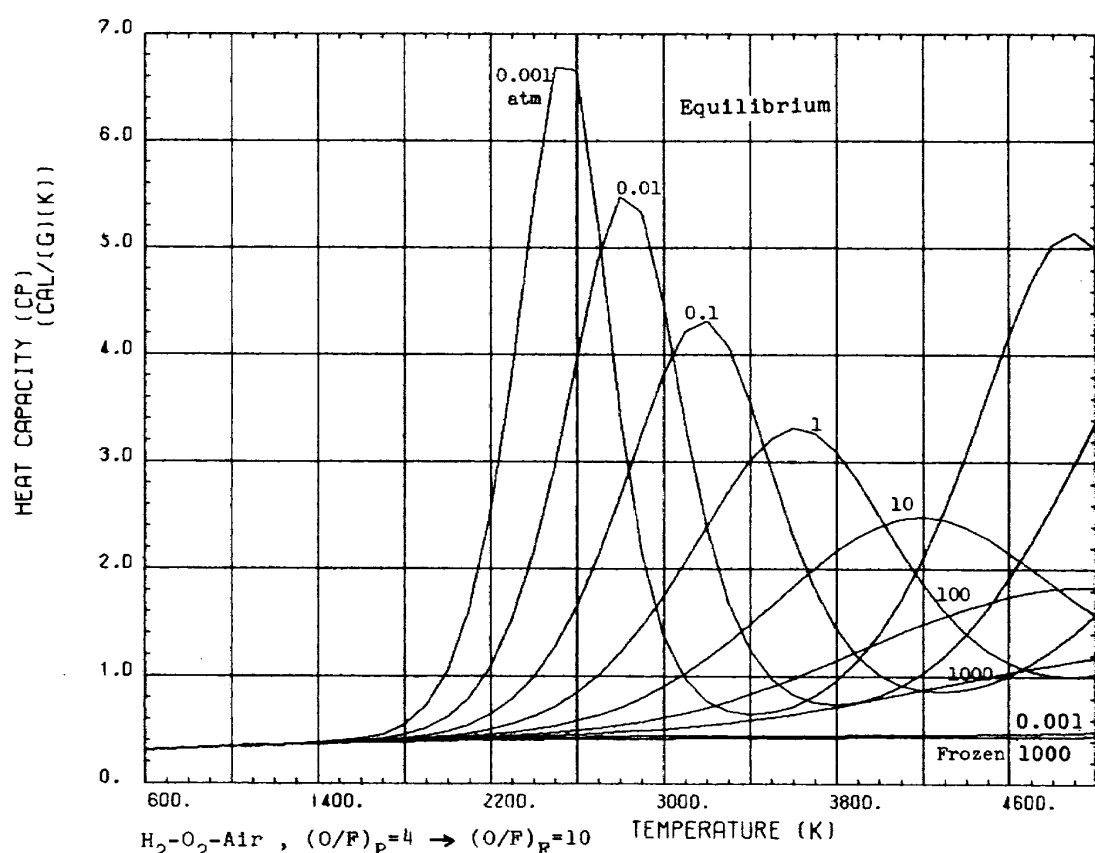


図 B-3-16-7

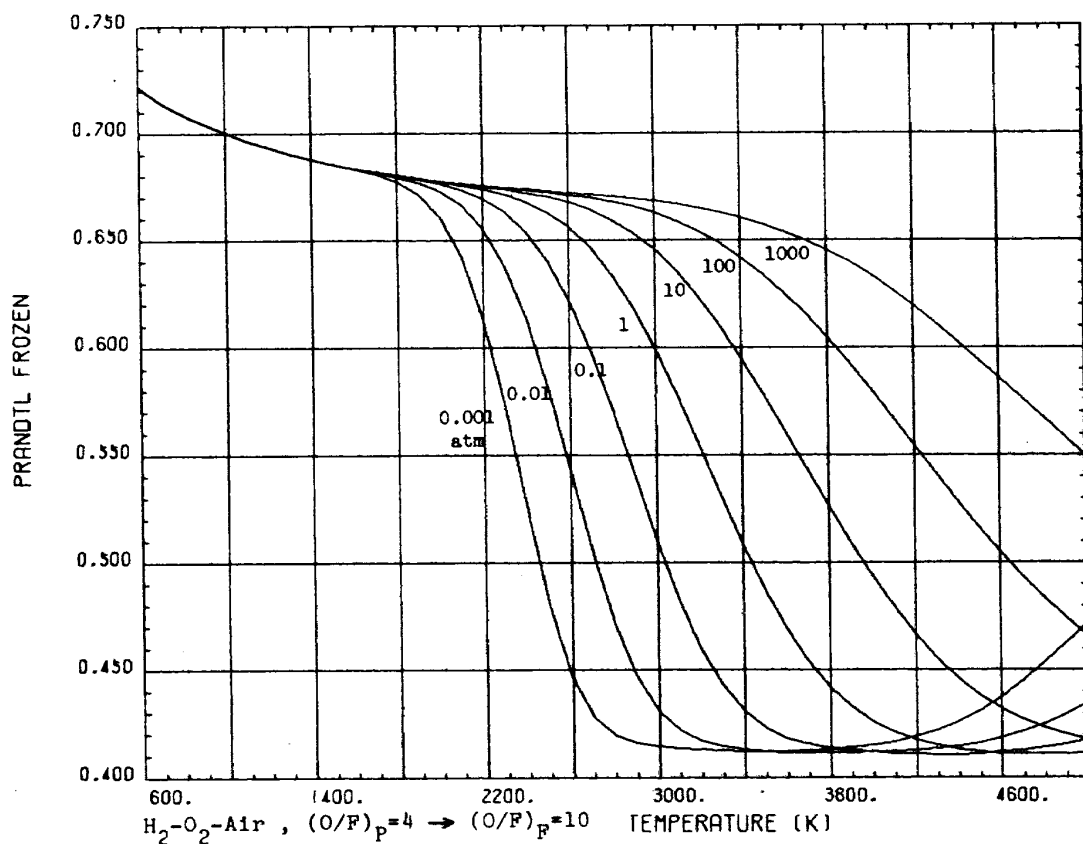


図 B-3-17-7

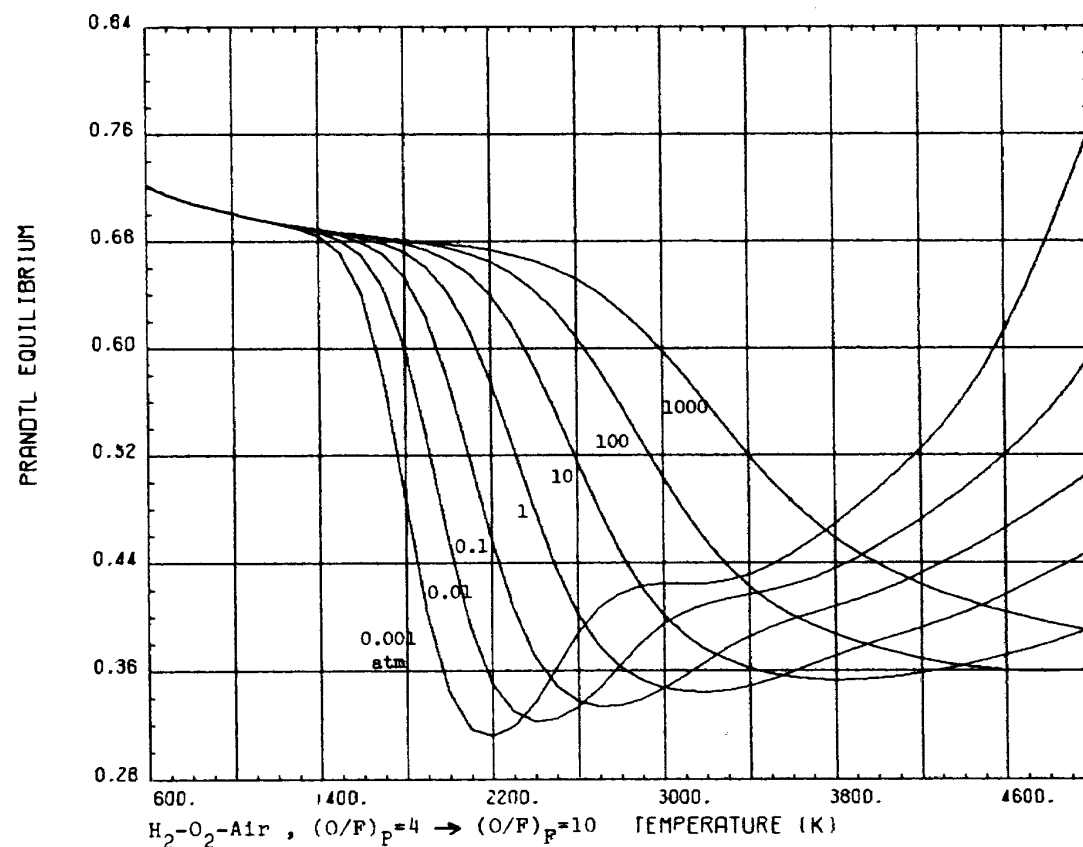


図 B-3-18-7

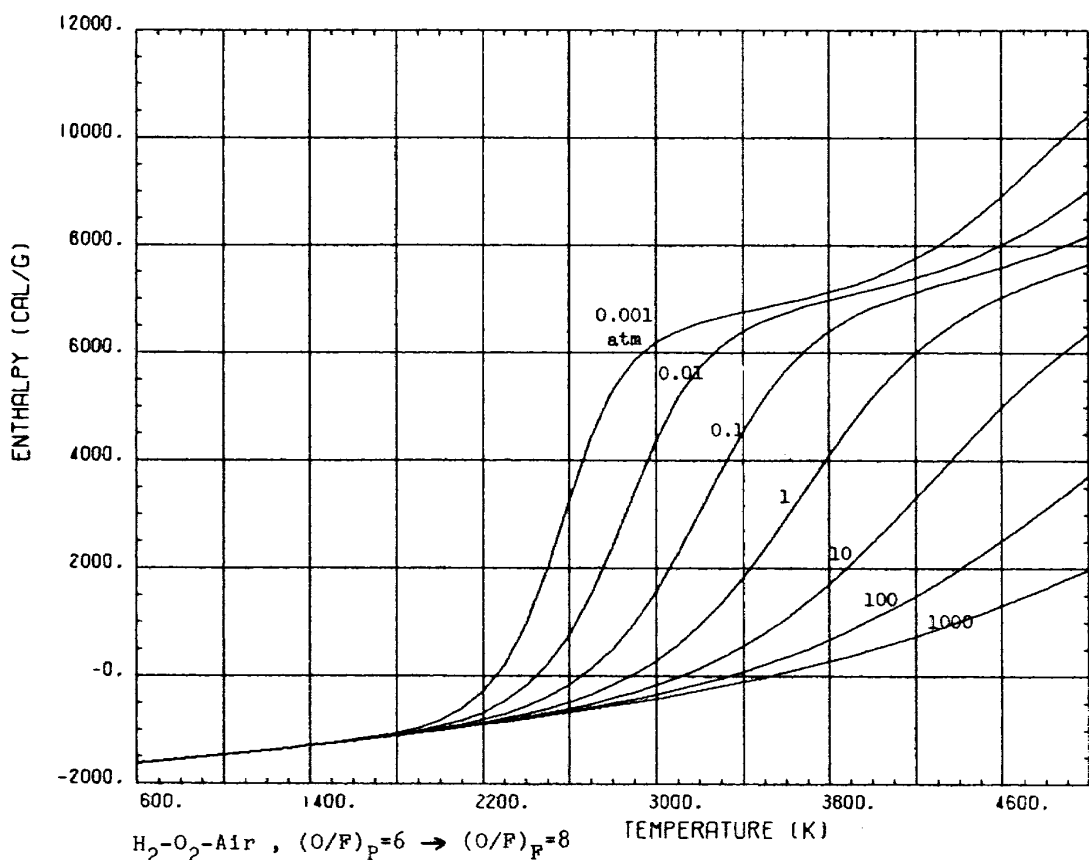


図 B-3-2-8

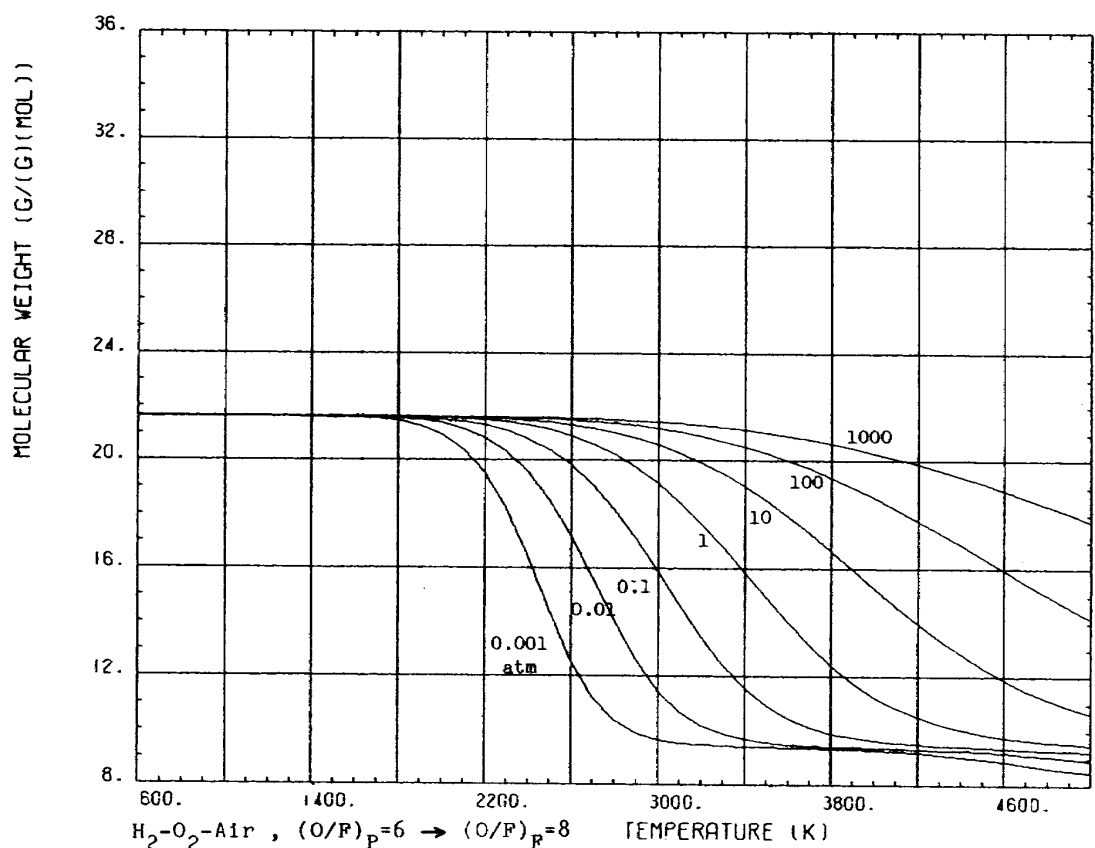


図 B-3-4-8

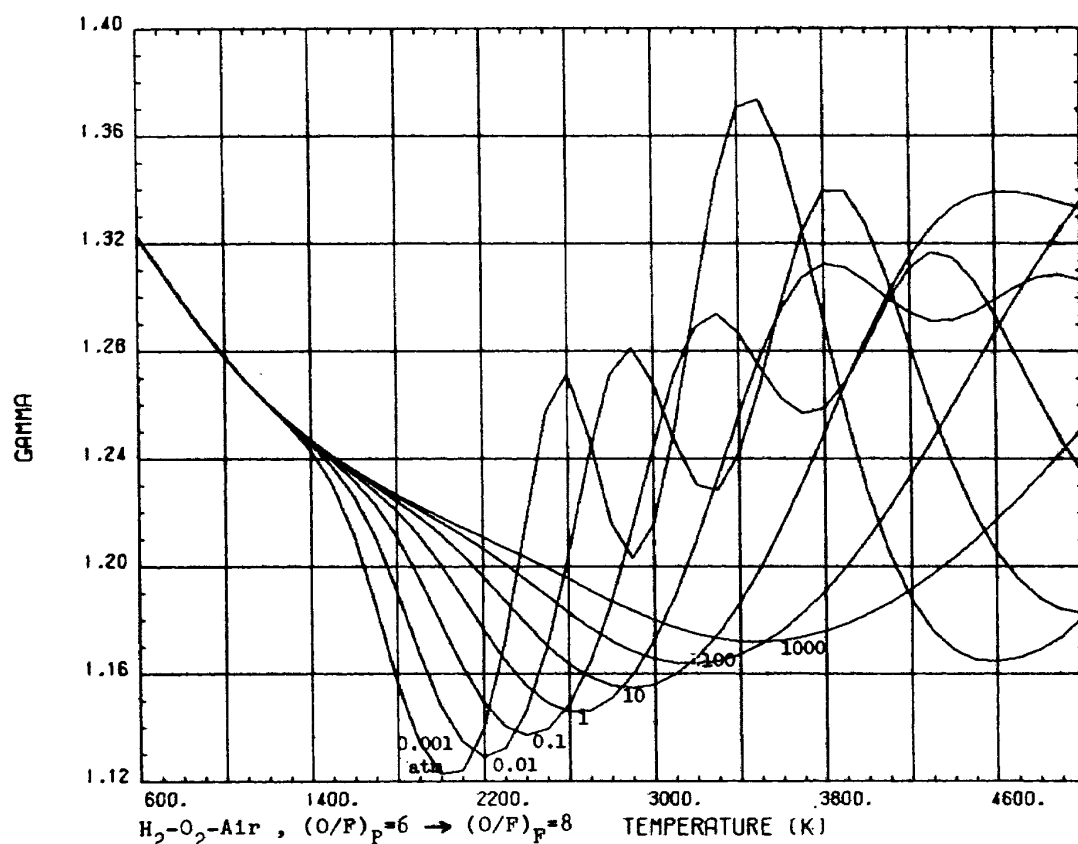


図 B-3-7-8

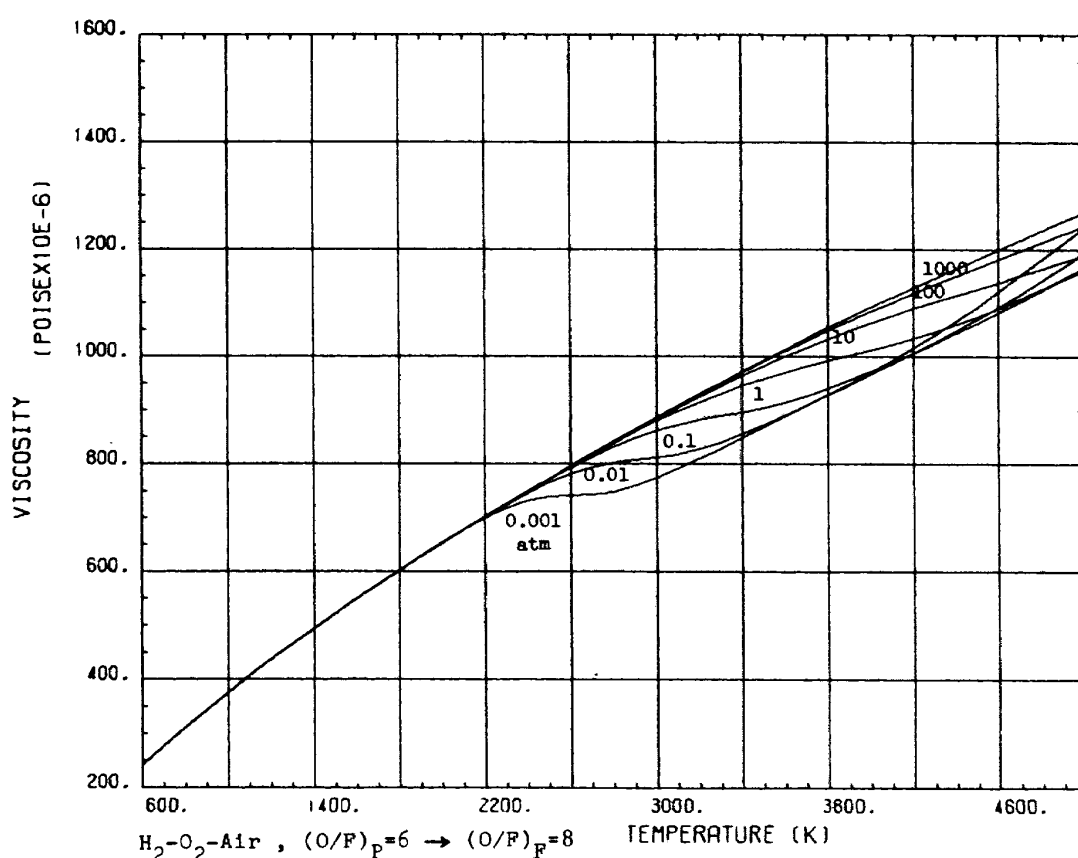


図 B-3-9-8

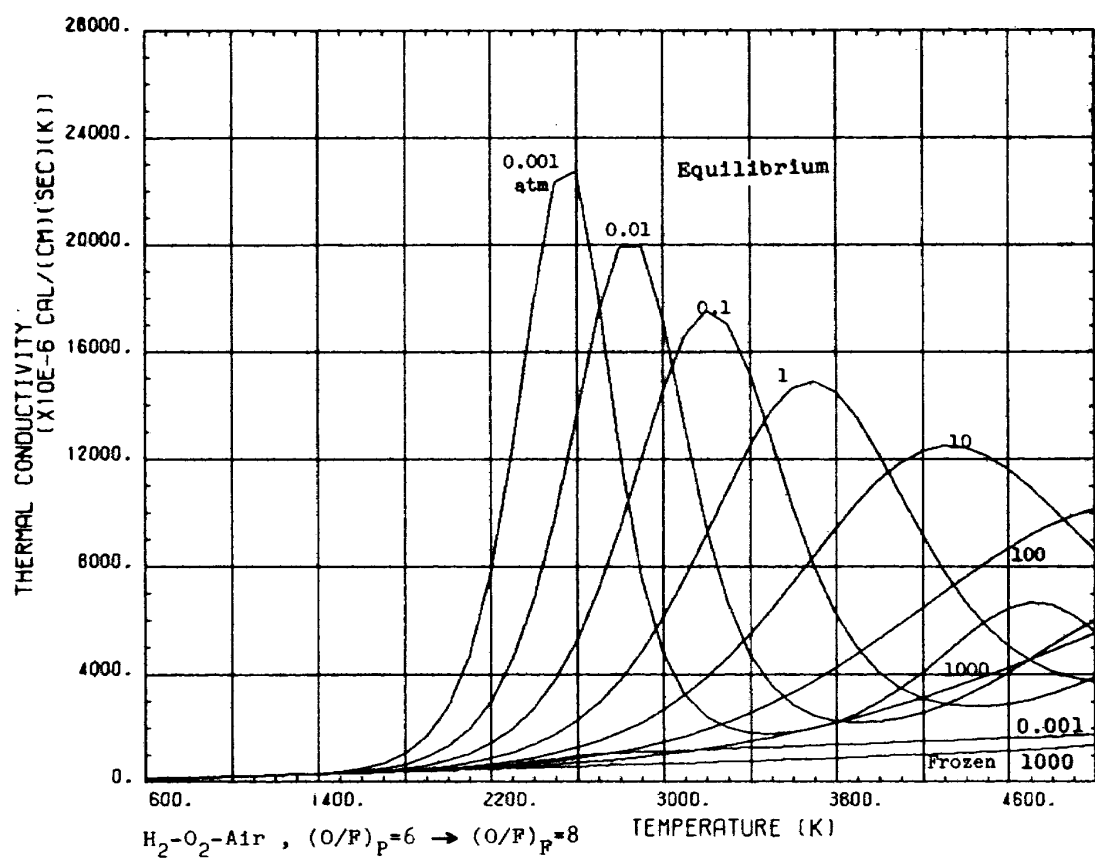


図 B-3-14-8

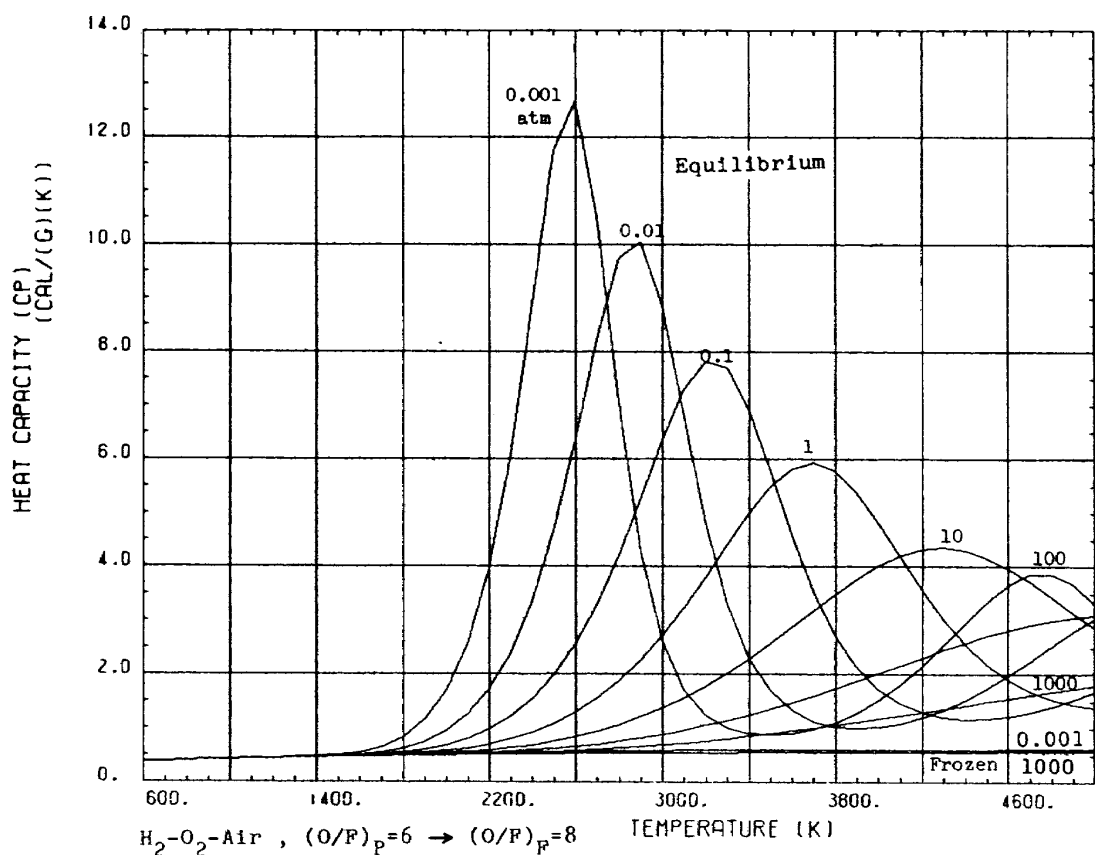


図 B-3-16-8

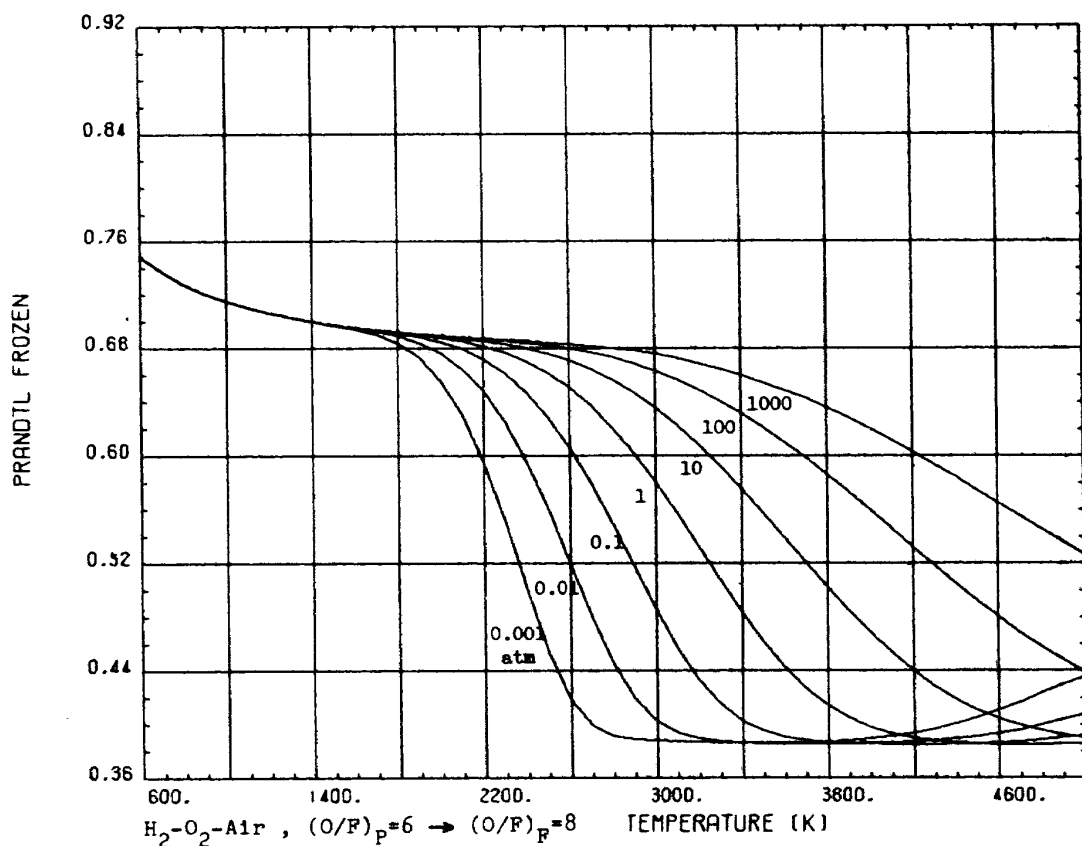


図 B-3-17-8

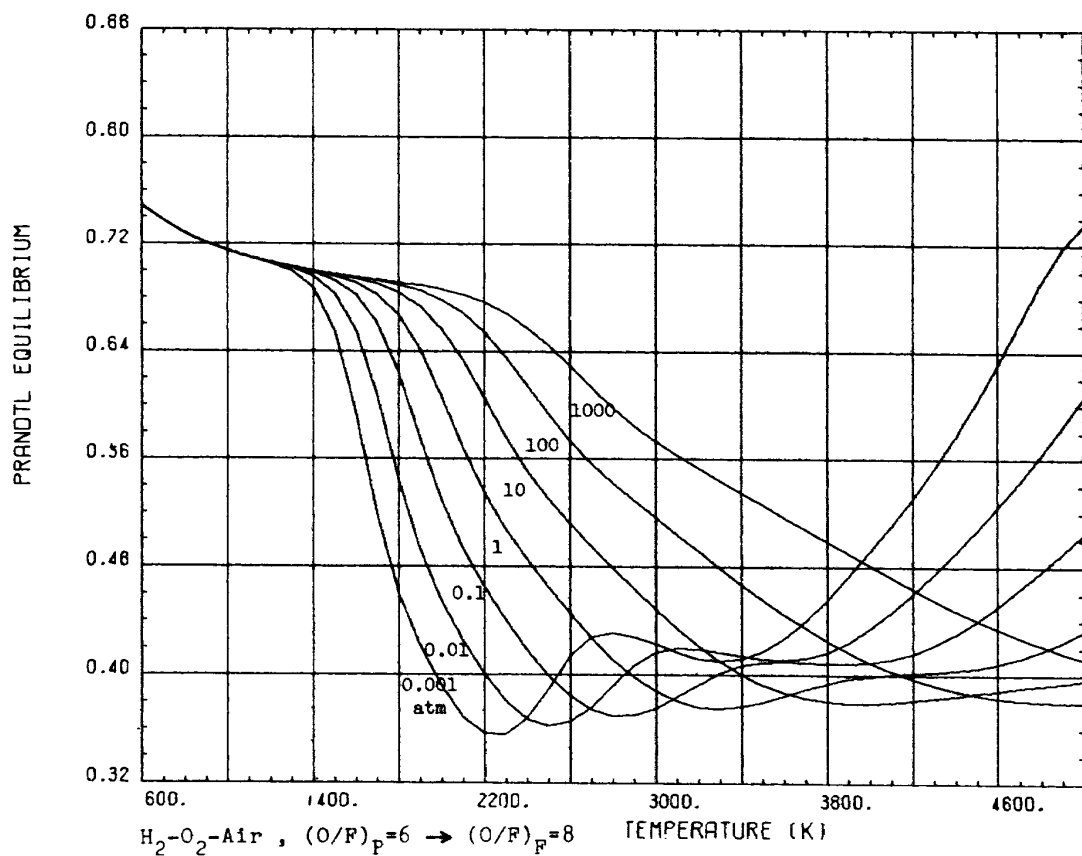


図 B-3-18-8

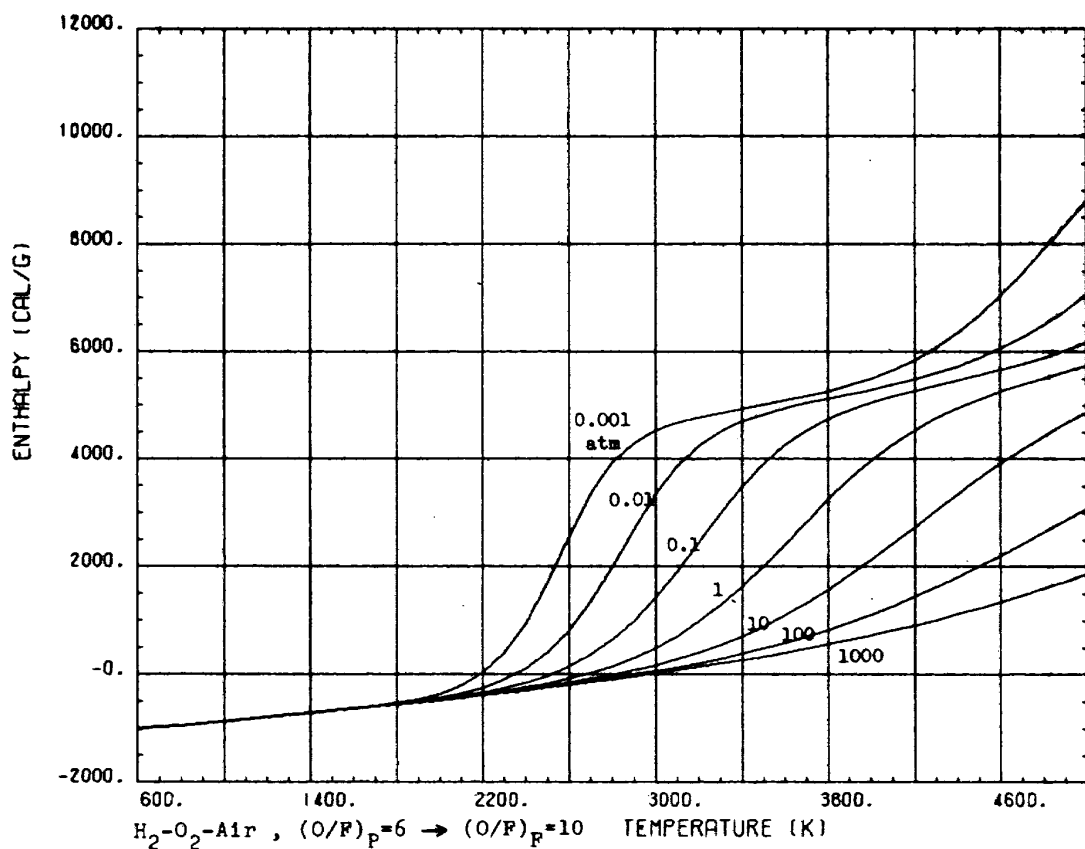


図 B-3-2-9

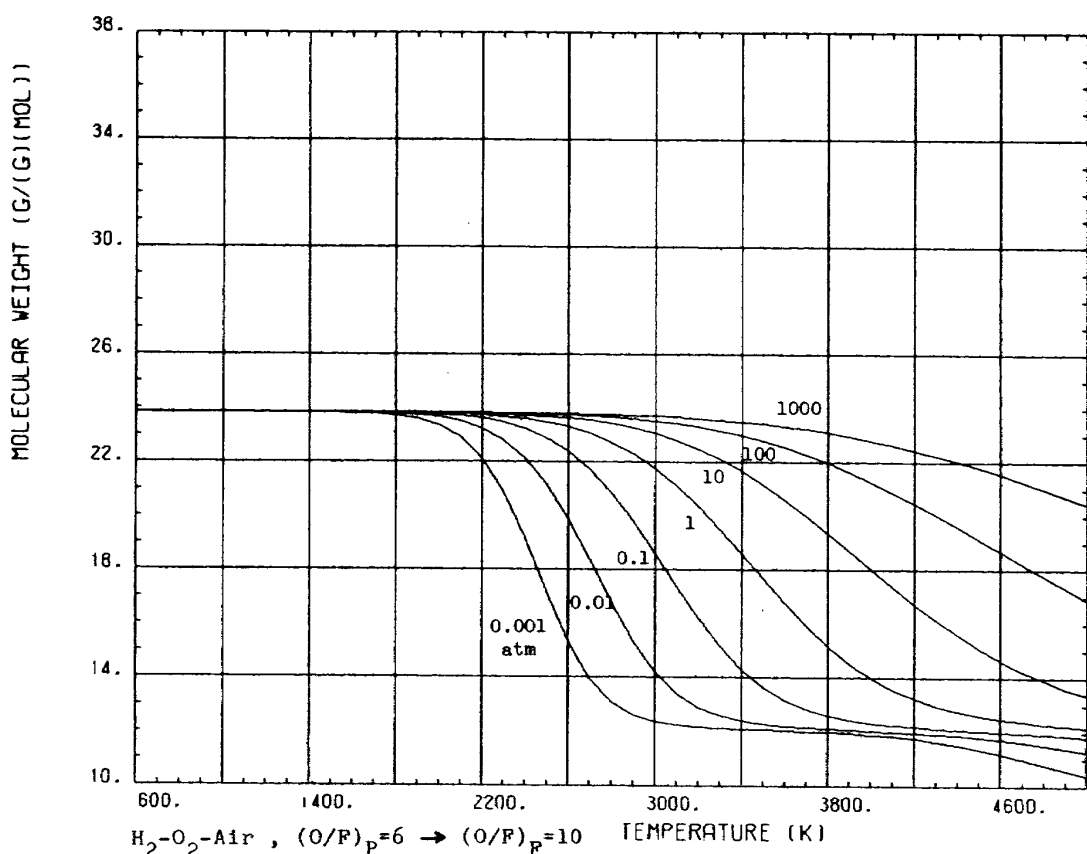


図 B-3-4-9

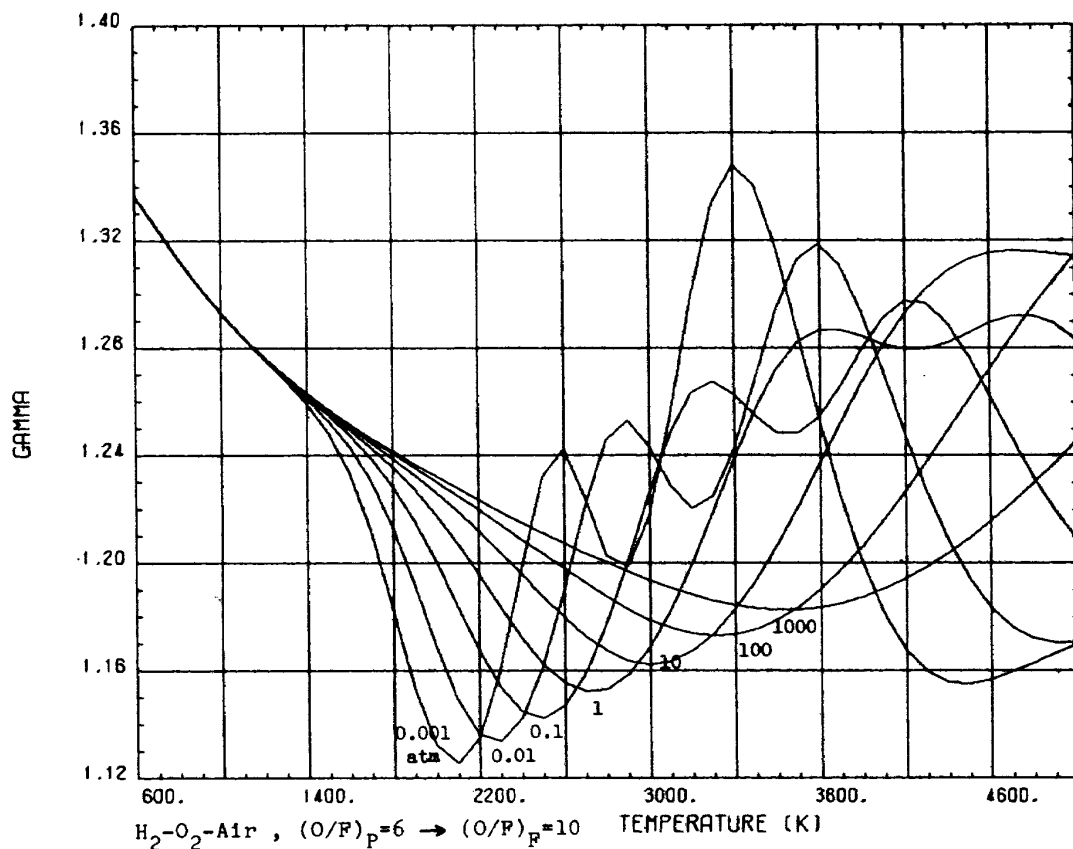


図 B-3-7-9

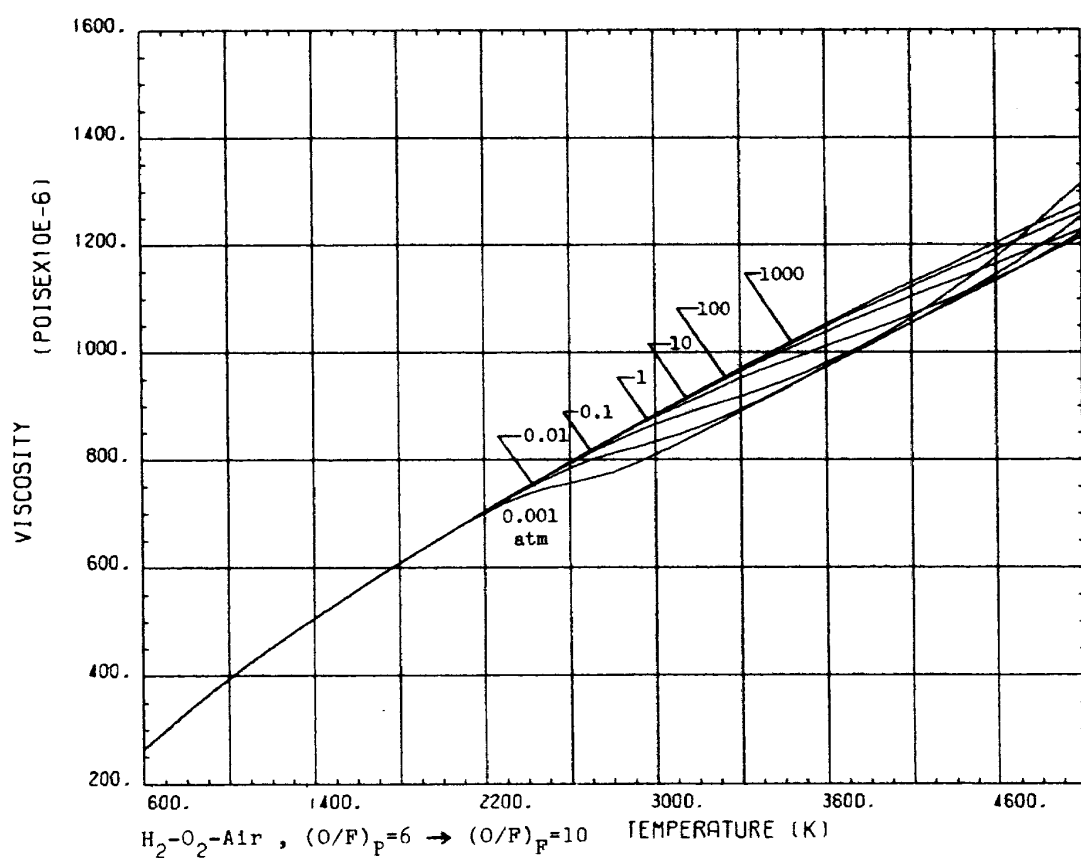


図 B-3-9-9

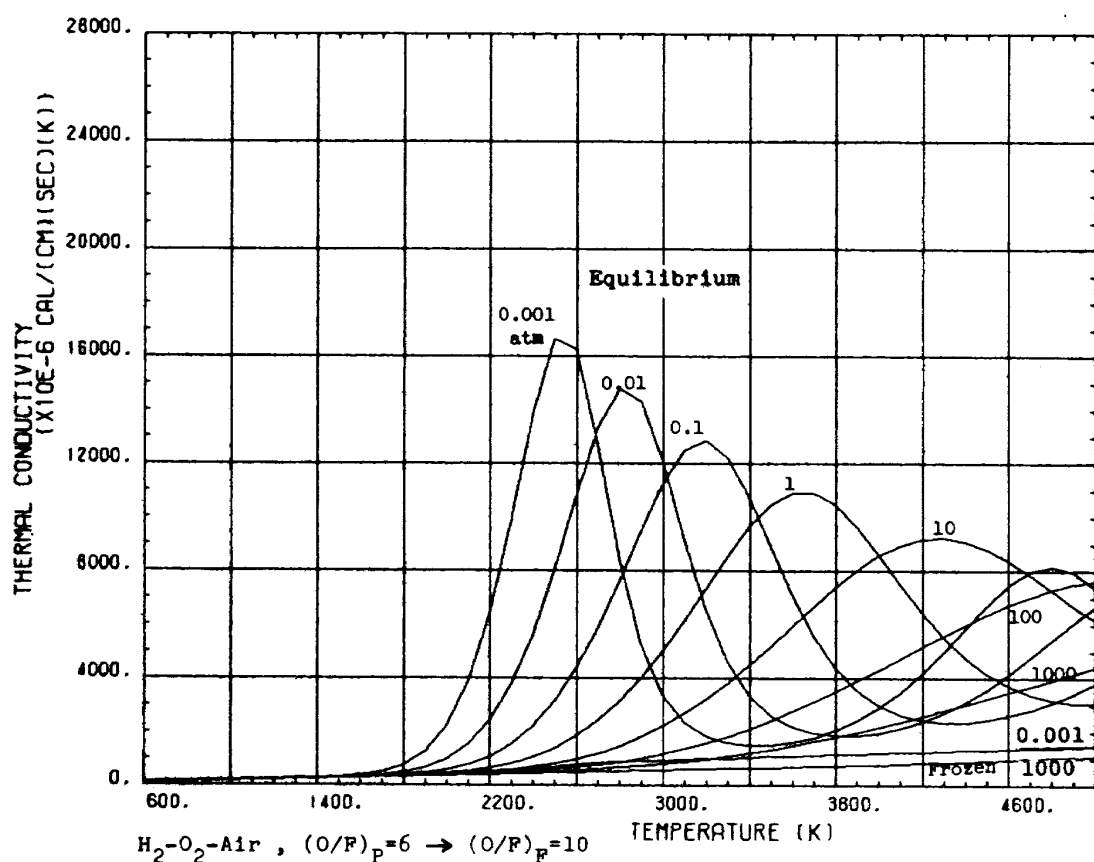


図 B-3-14-9

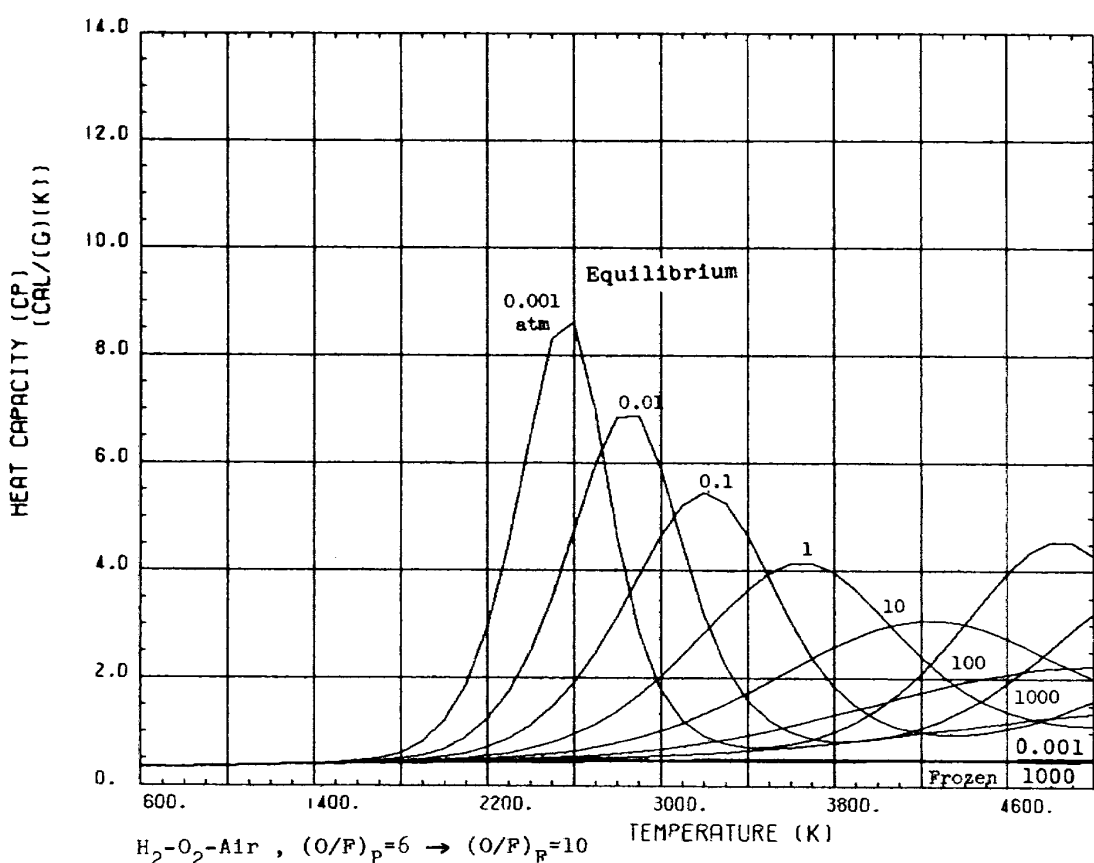


図 B-3-16-9

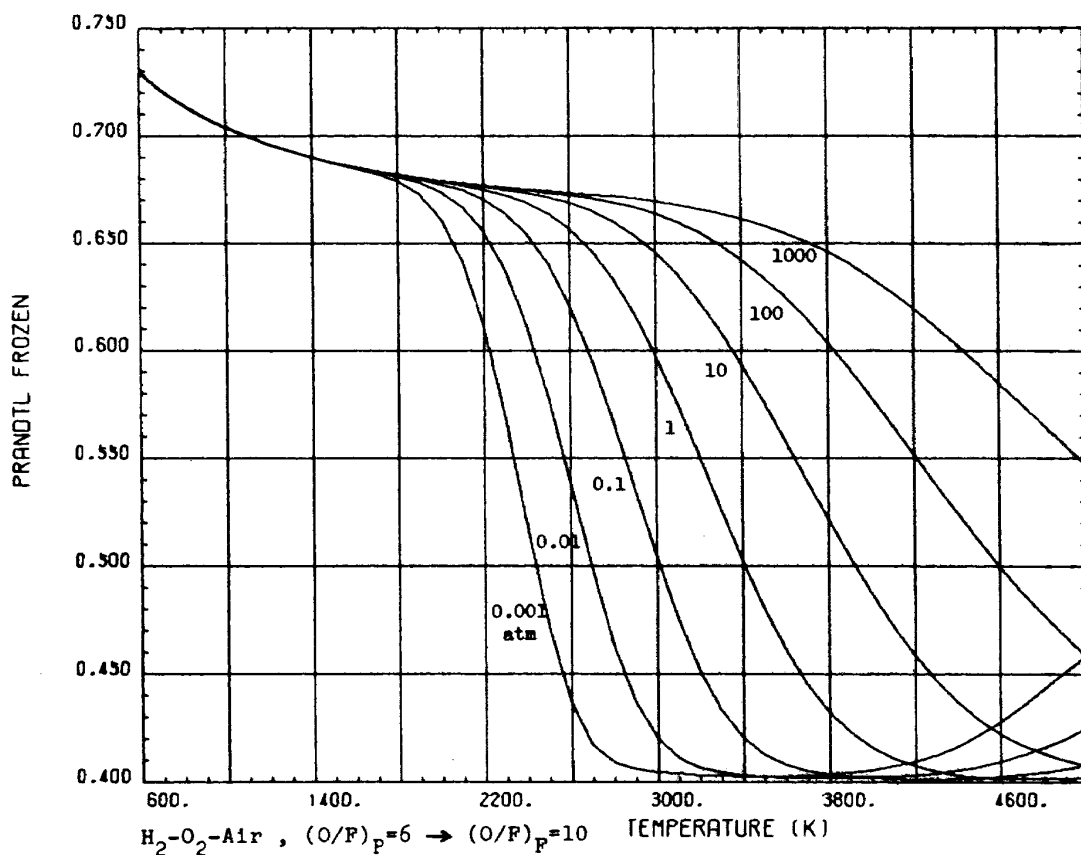


図 B-3-17-9

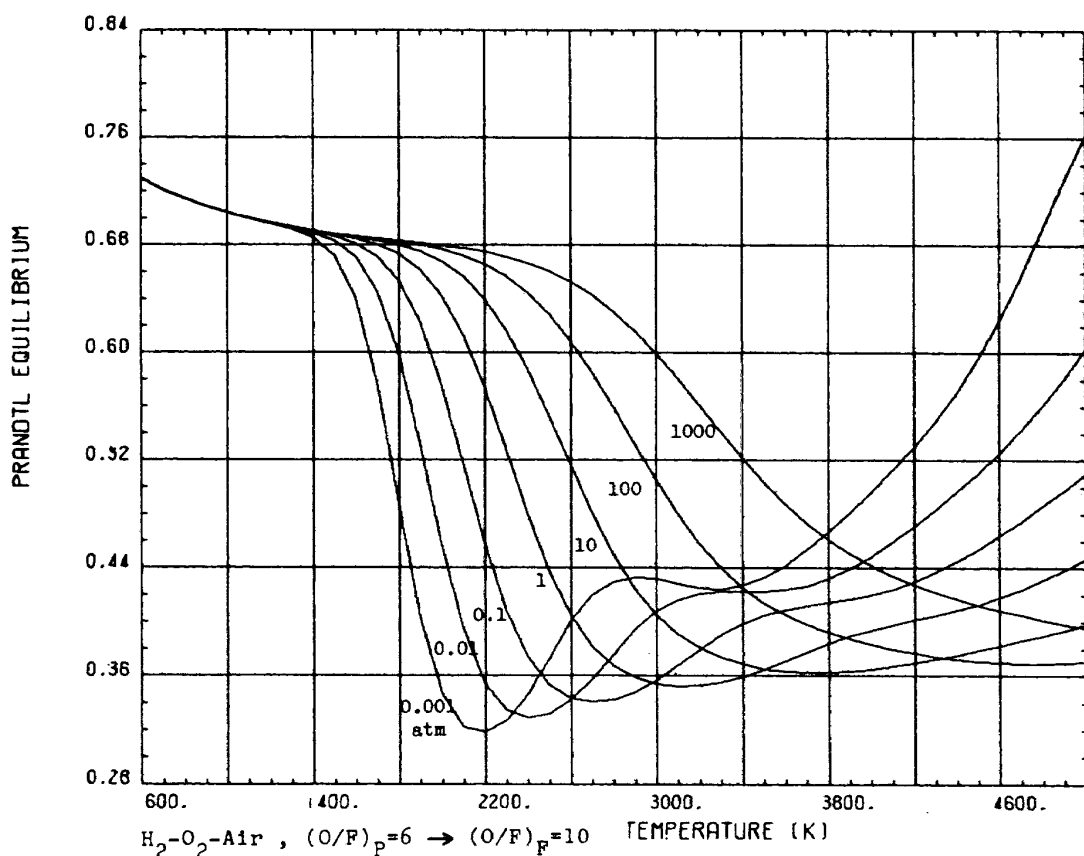


図 B-3-18-9

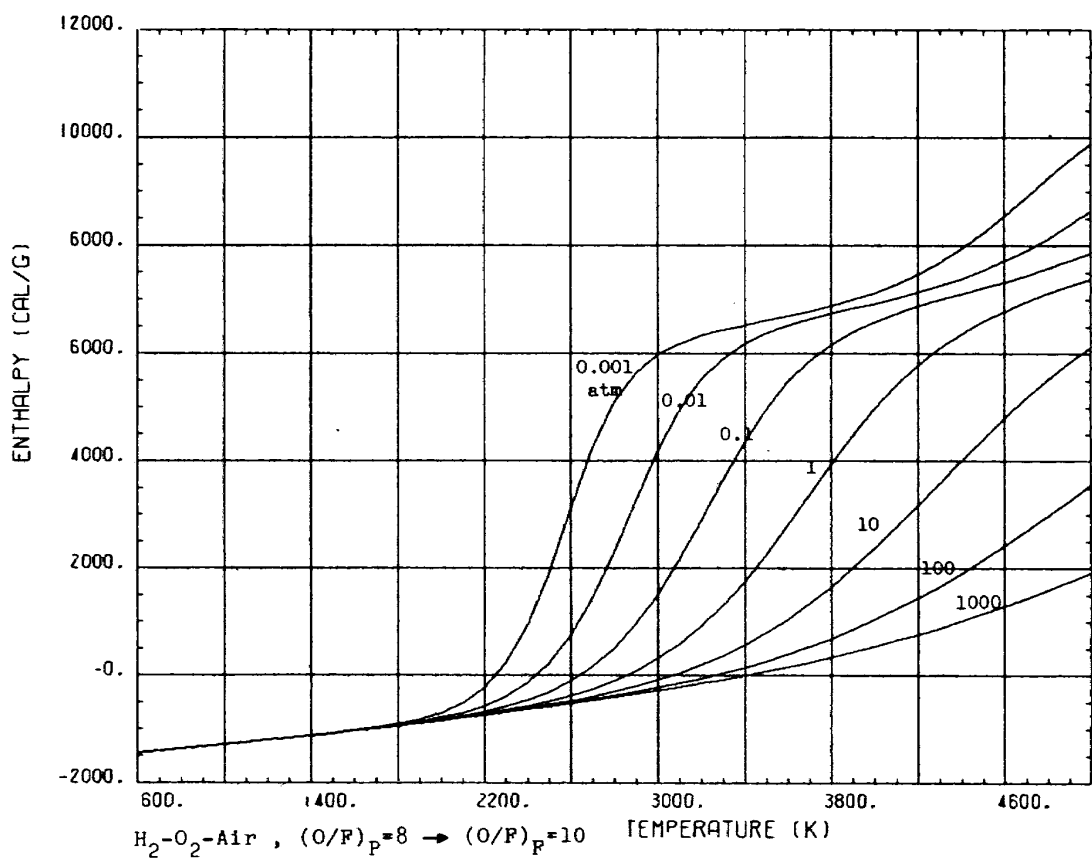


図 B-3-2-10

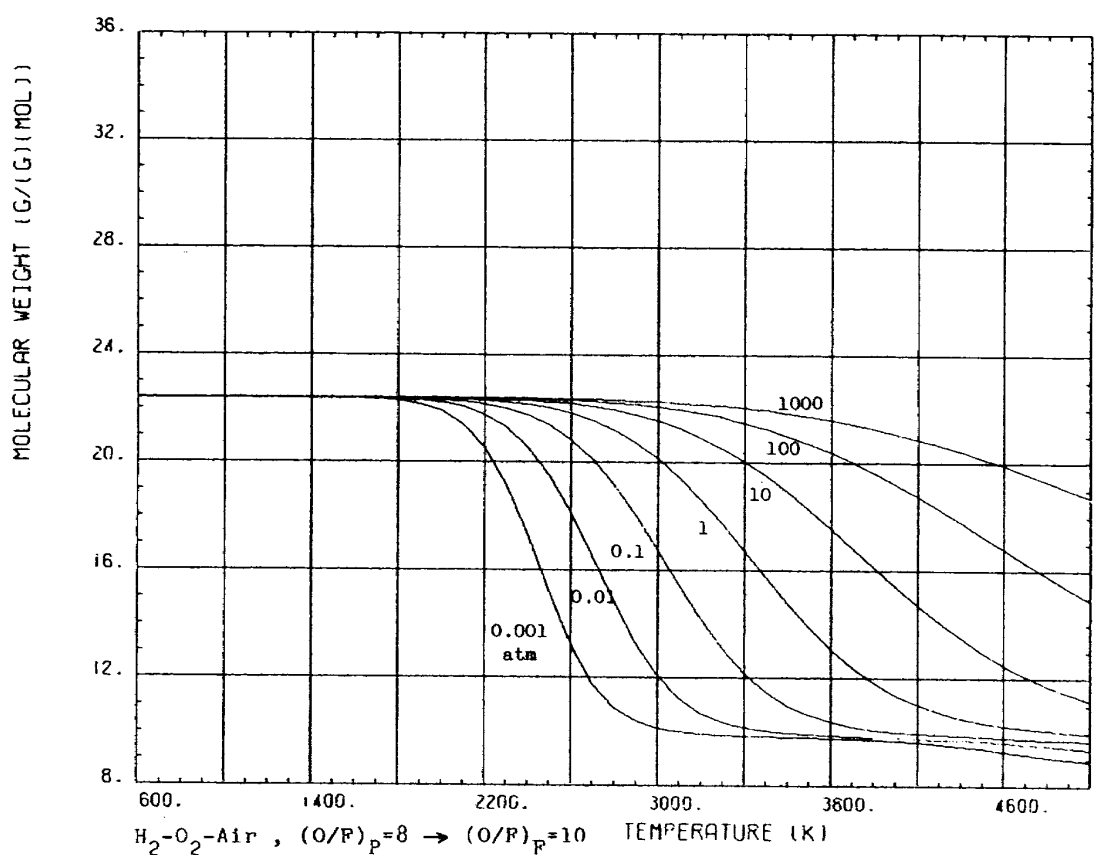


図 B-3-4-10

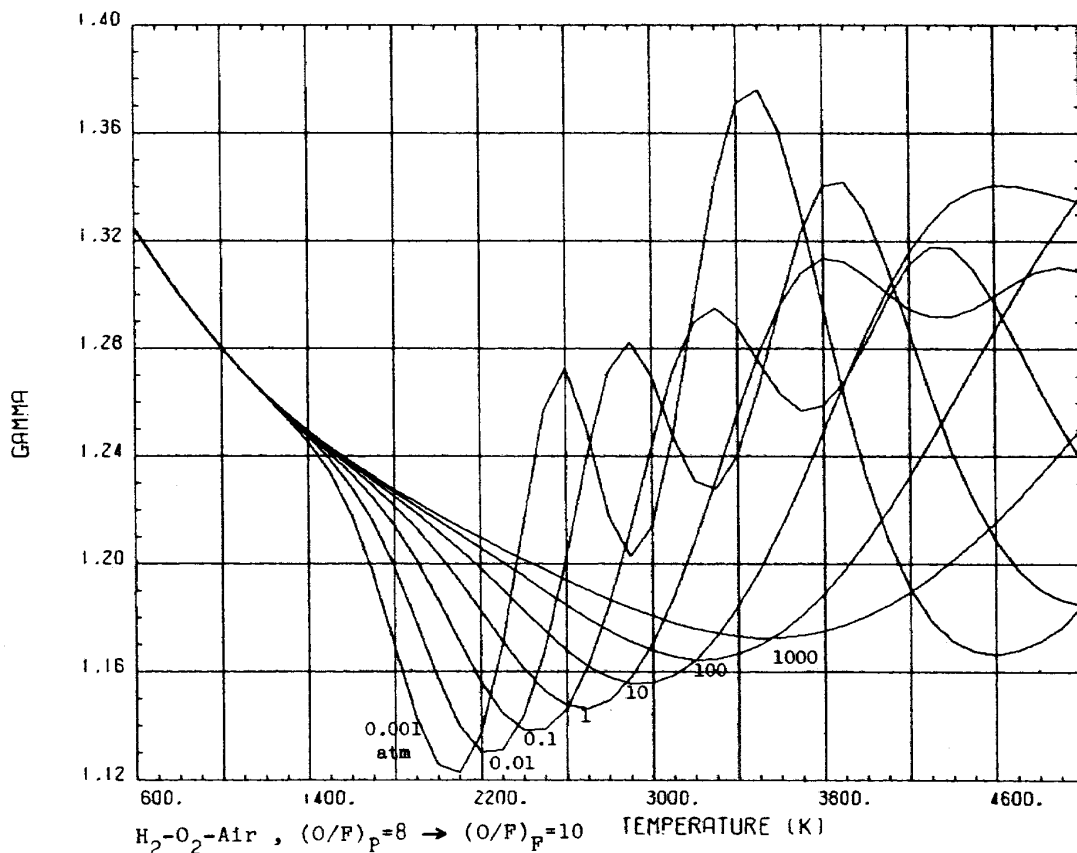


図 B-3-7-10

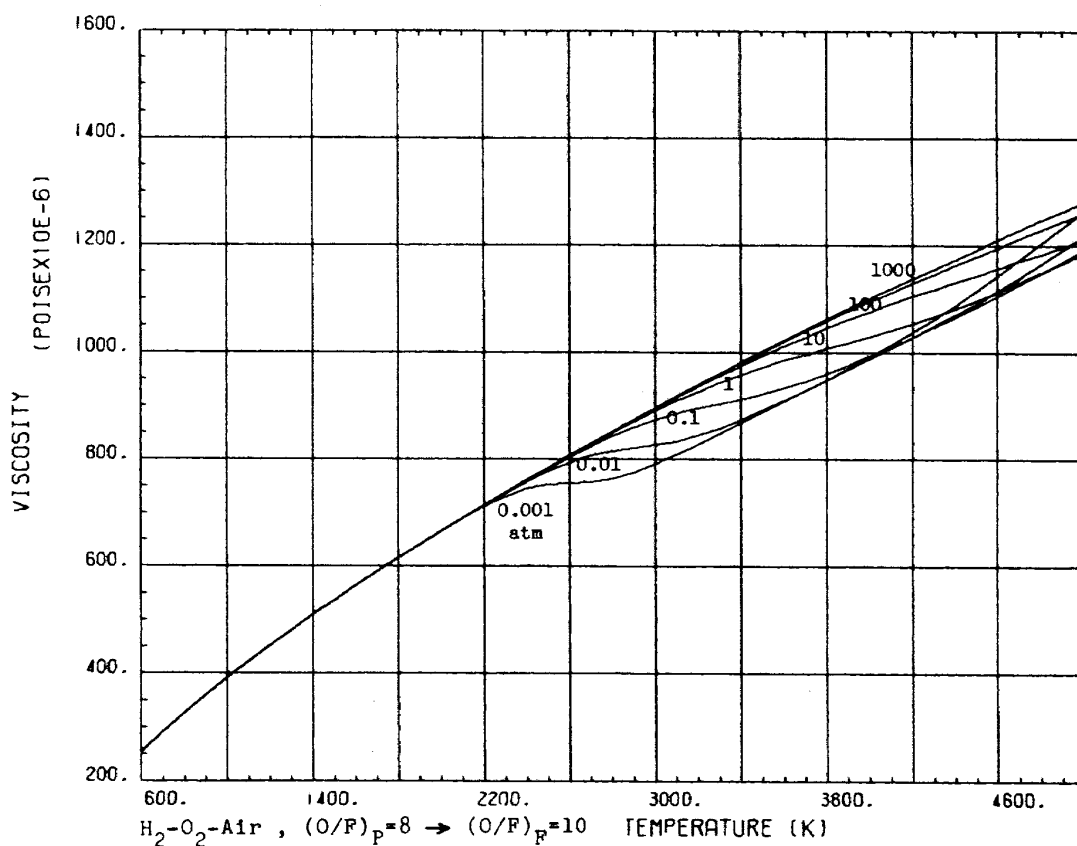


図 B-3-9-10

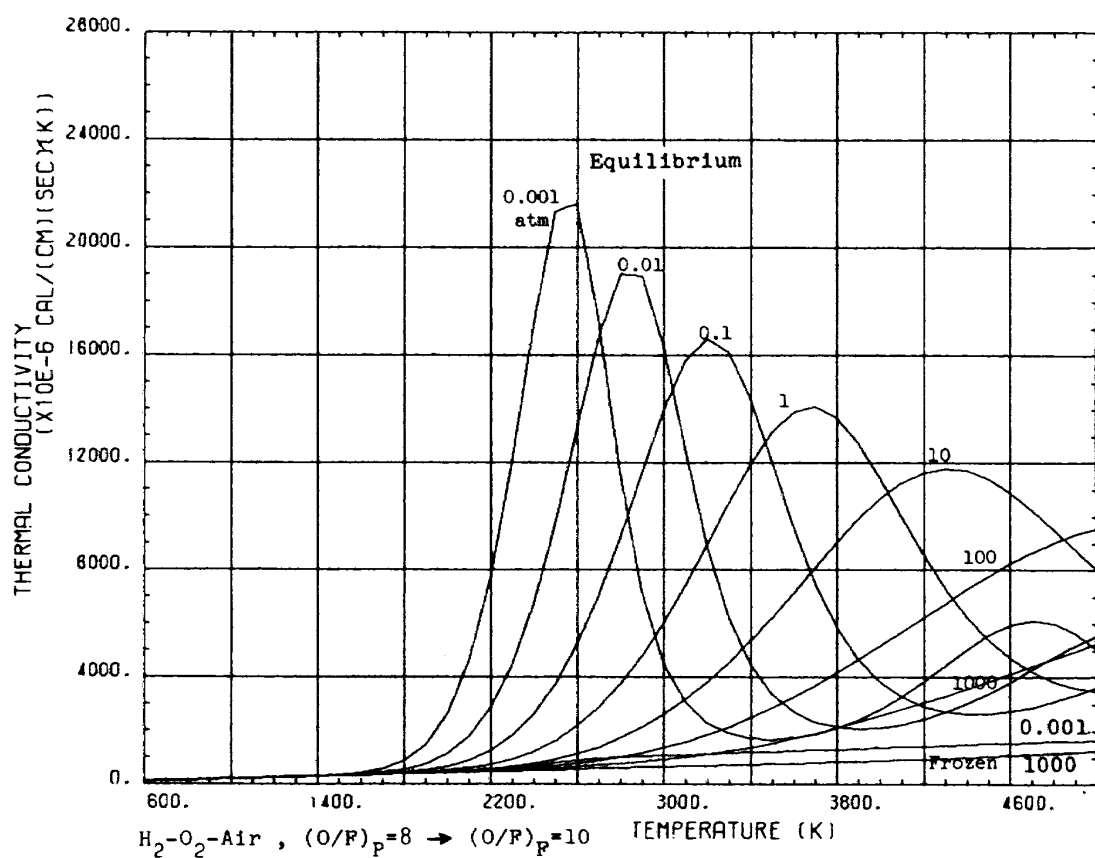


図 B-3-14-10

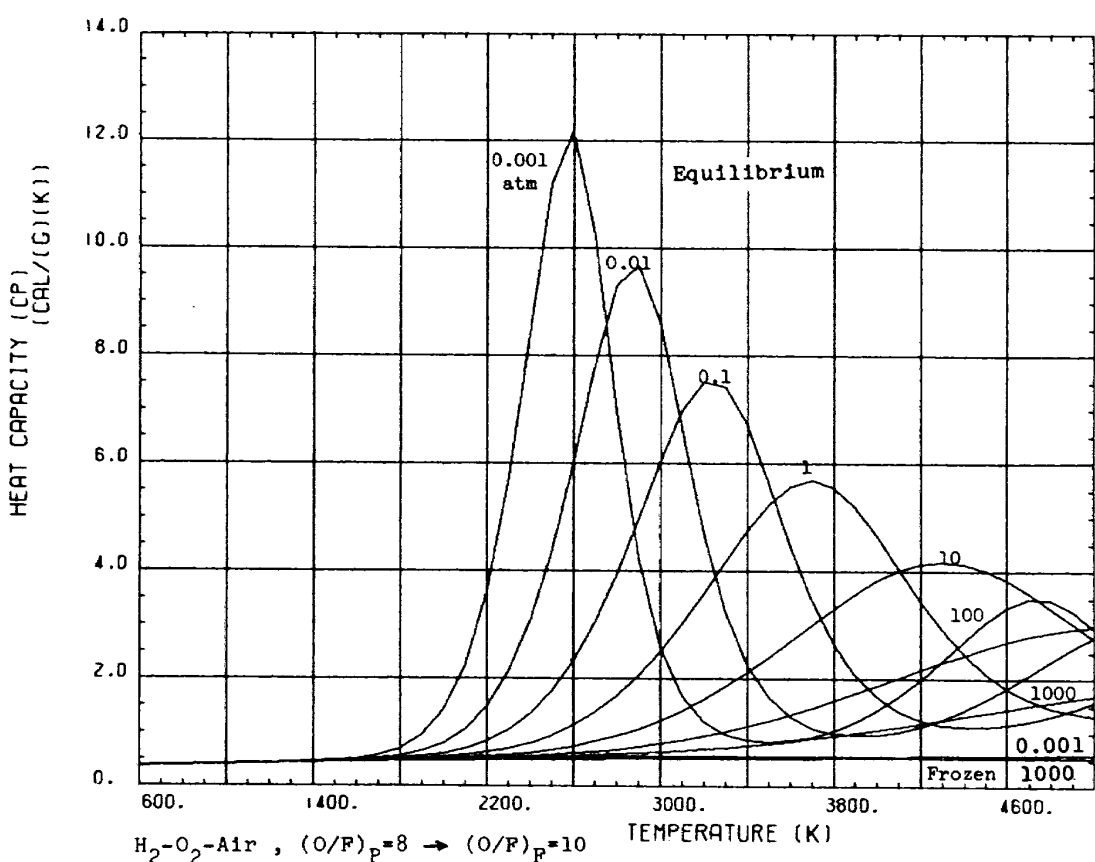


図 B-3-16-10

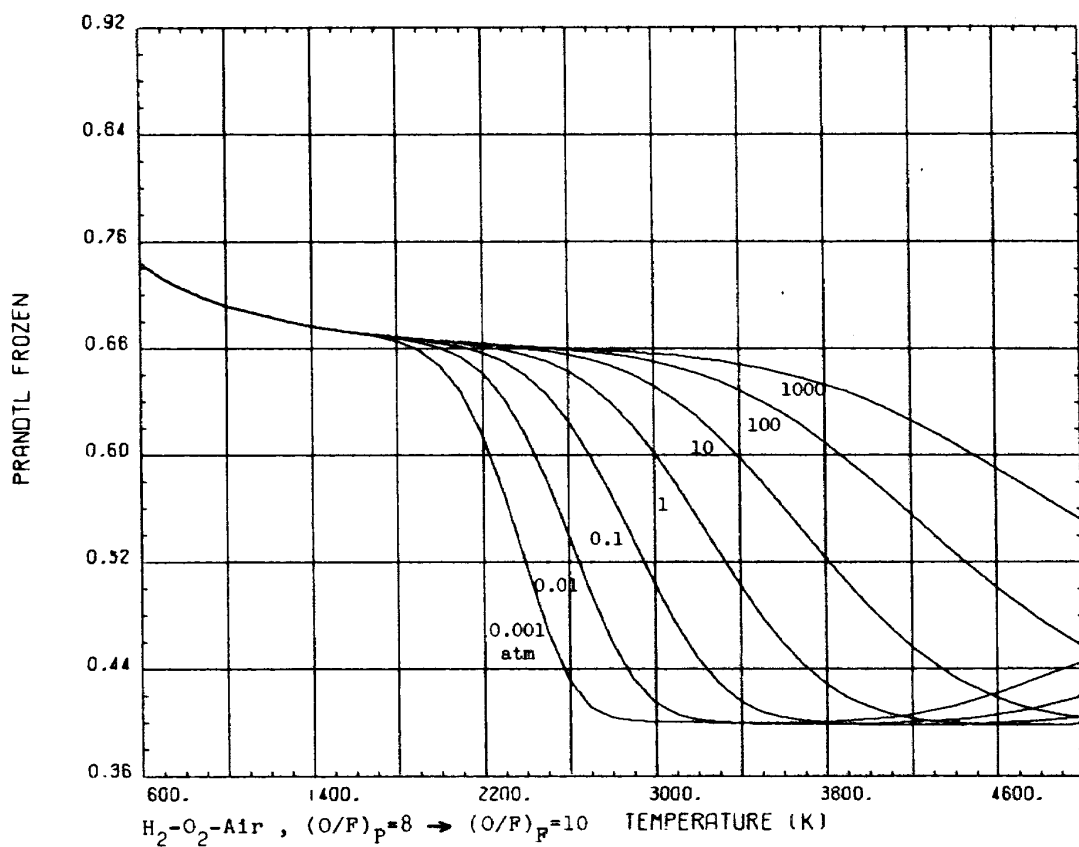


図 B-3-17-10

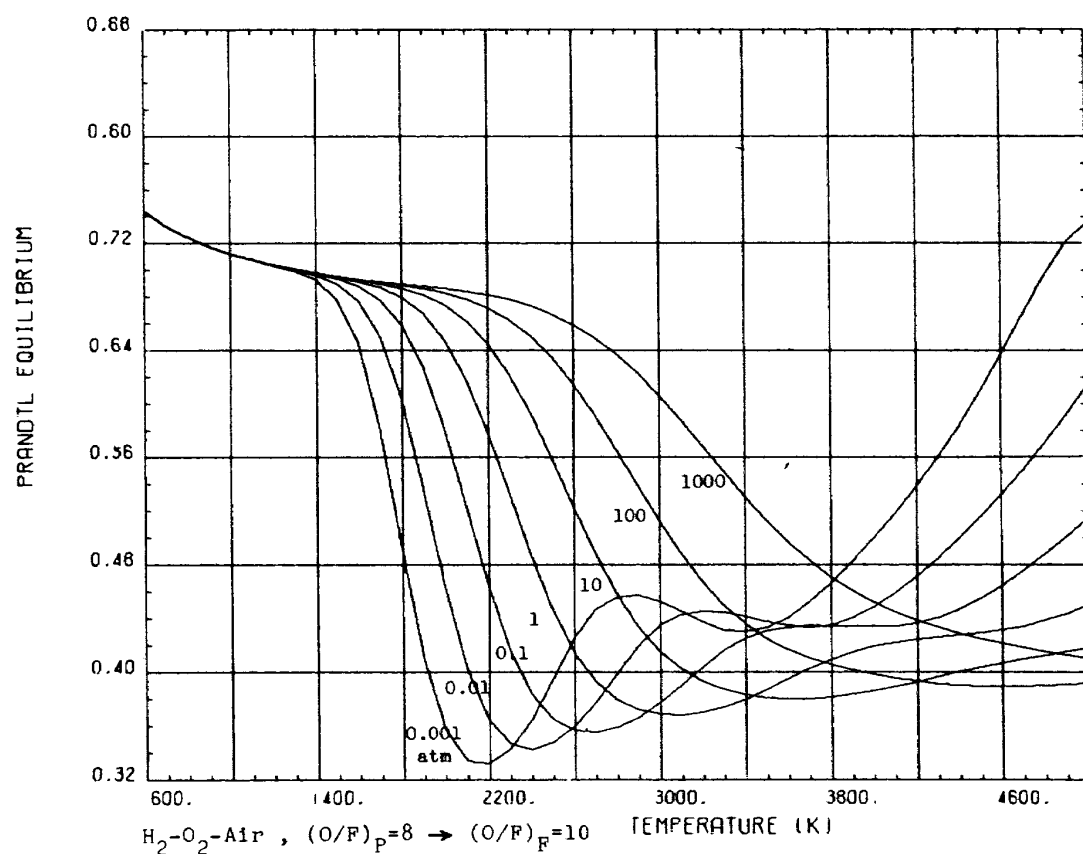


図 B-3-18-10

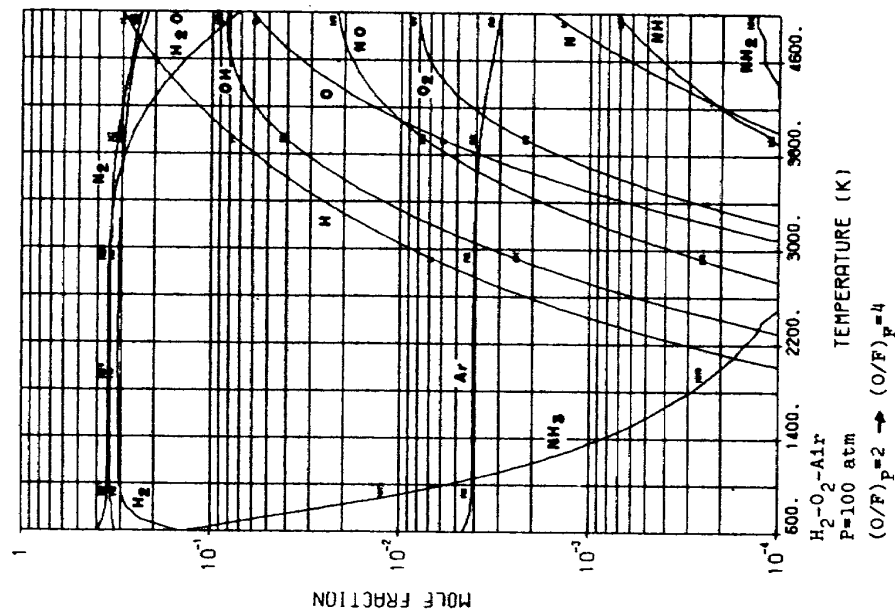


図 C-3-3

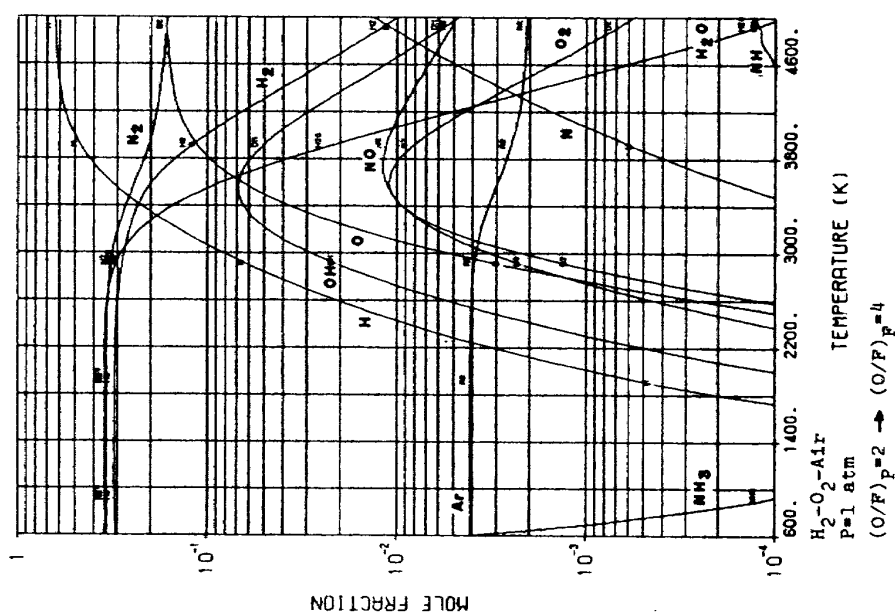


図 C-3-2

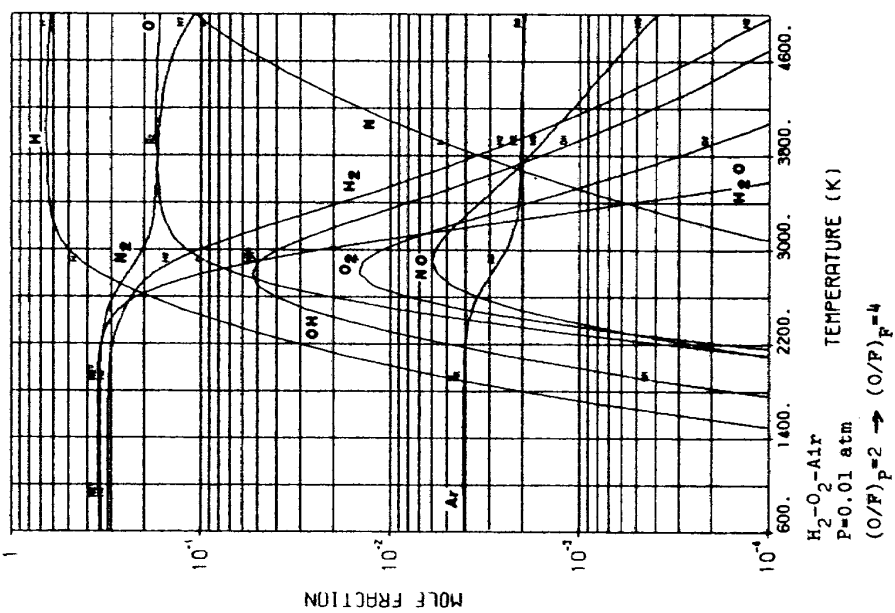


図 C-3-1

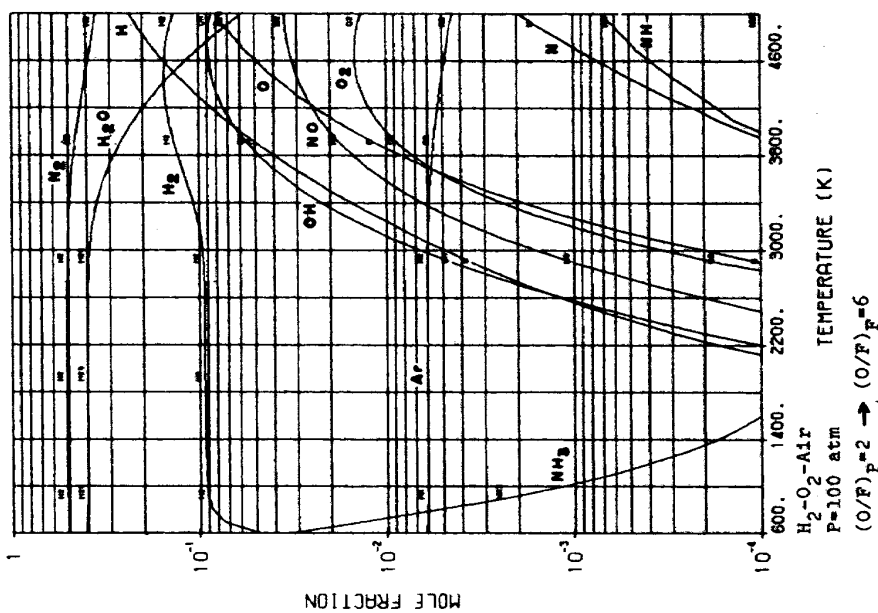


図 C-3-5

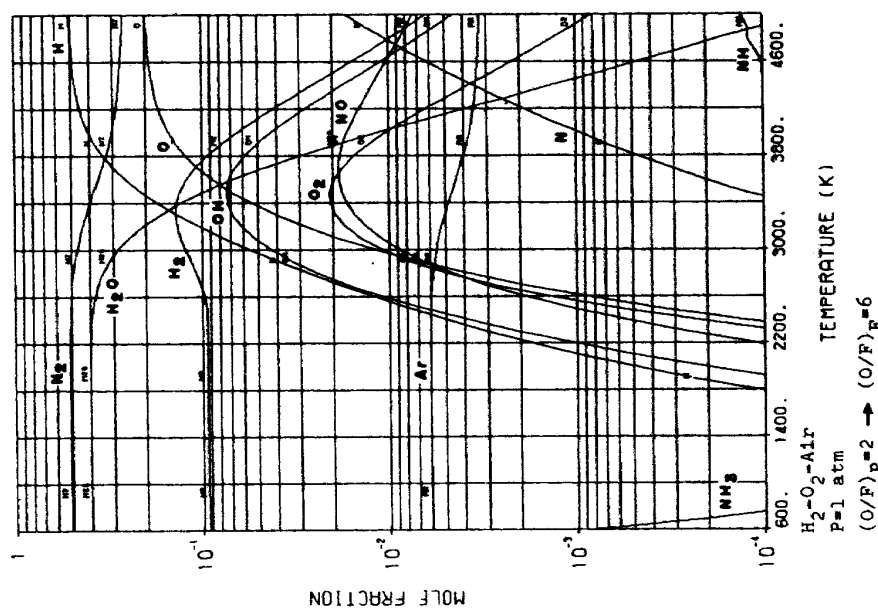


図 C-3-4

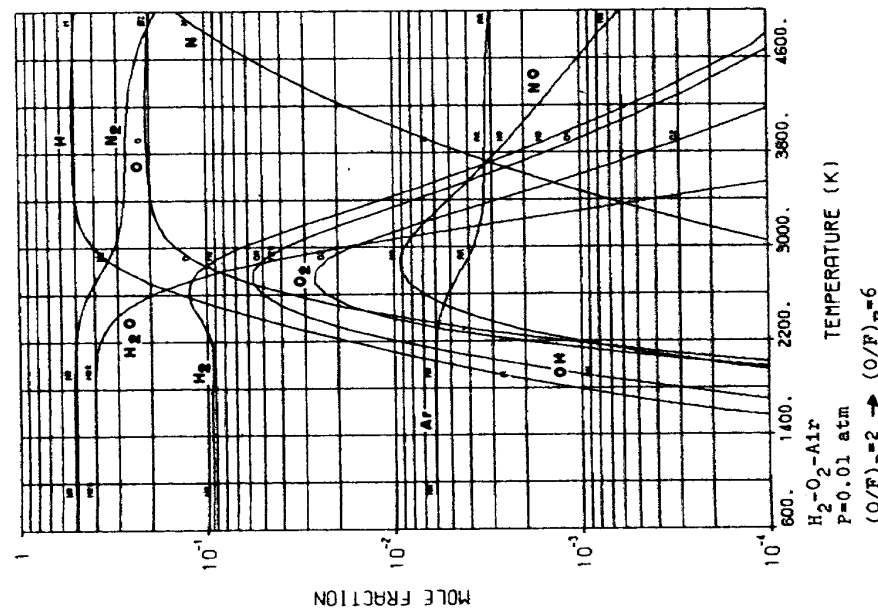


図 C-3-6

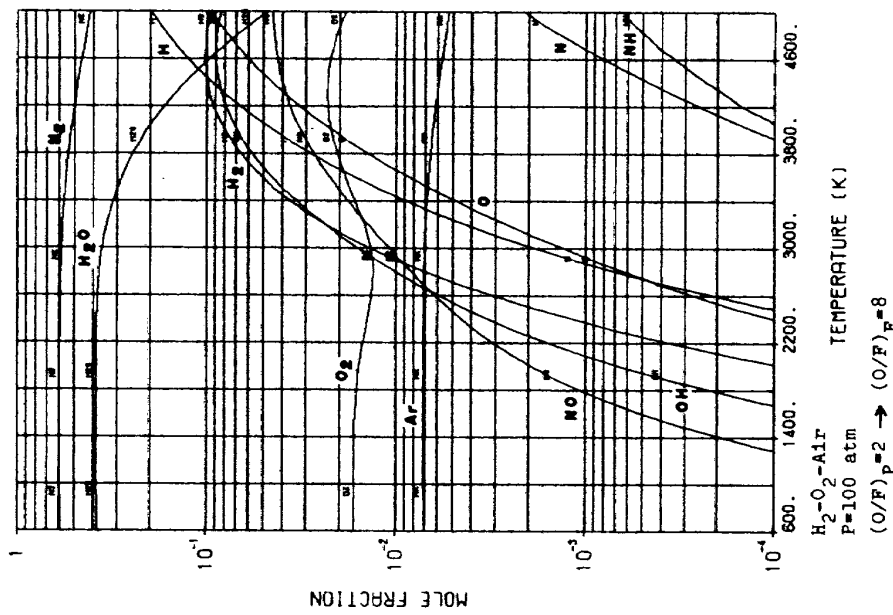


図 C-3-9

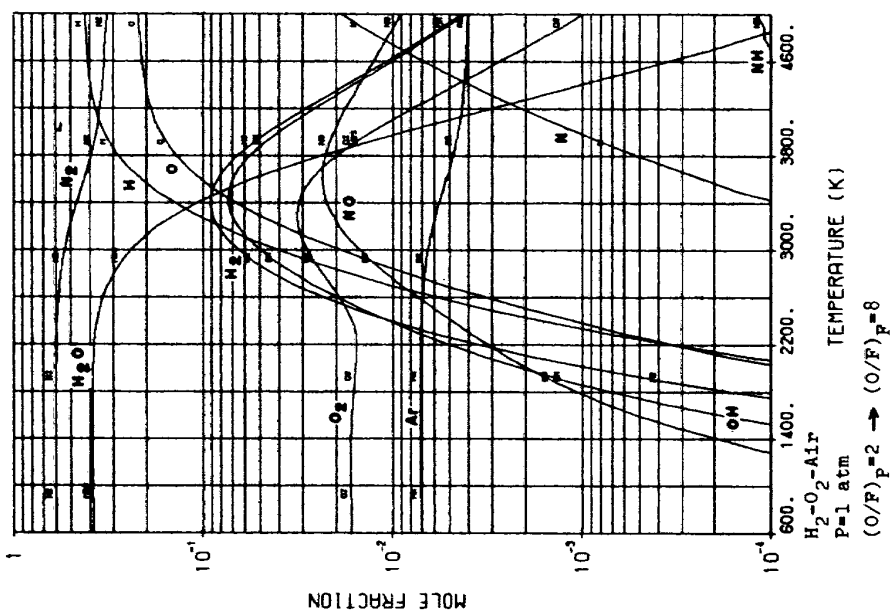


図 C-3-8

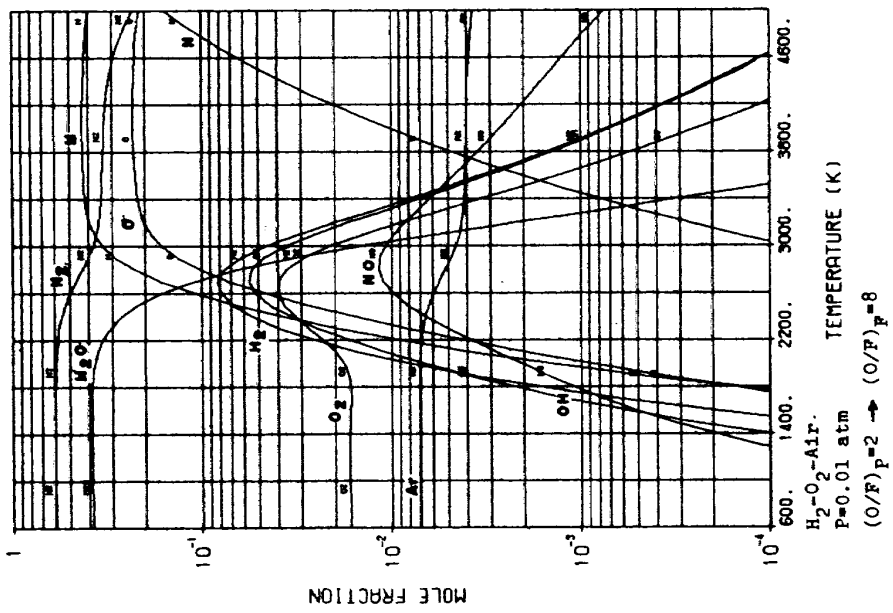


図 C-3-7

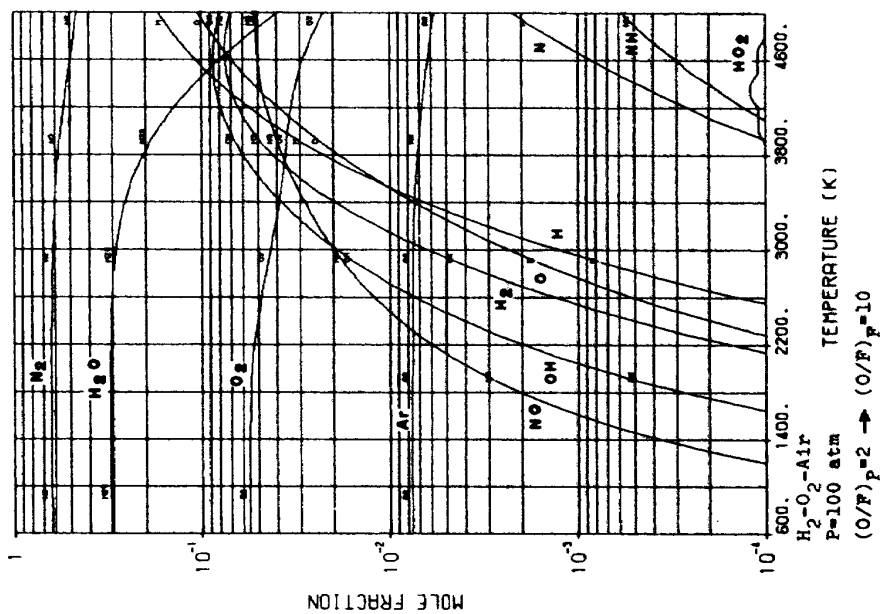


図 C-3-12

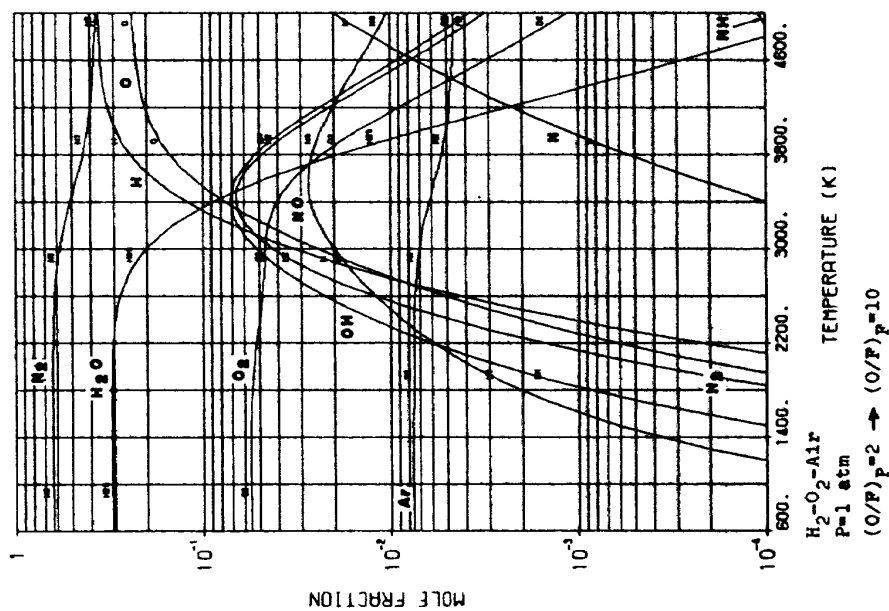


図 C-3-11

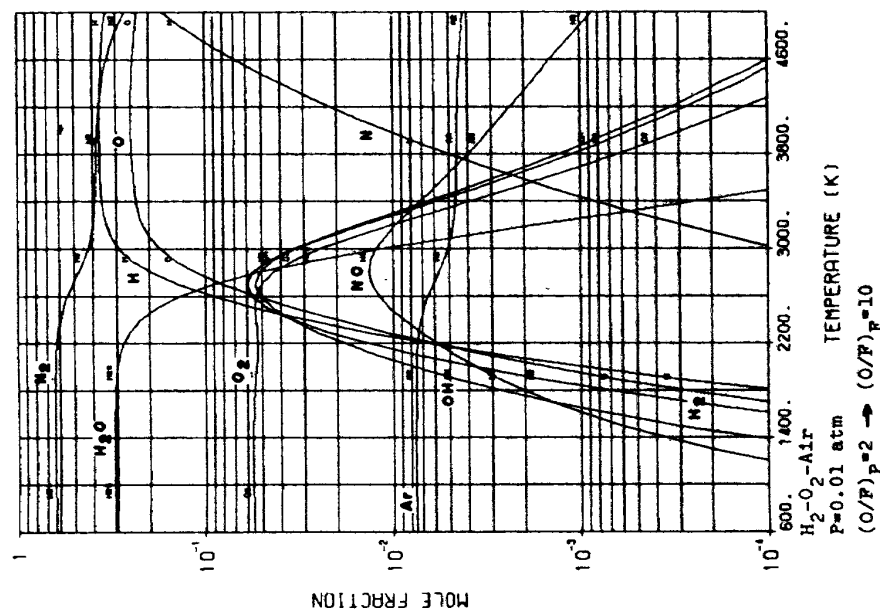


図 C-3-10

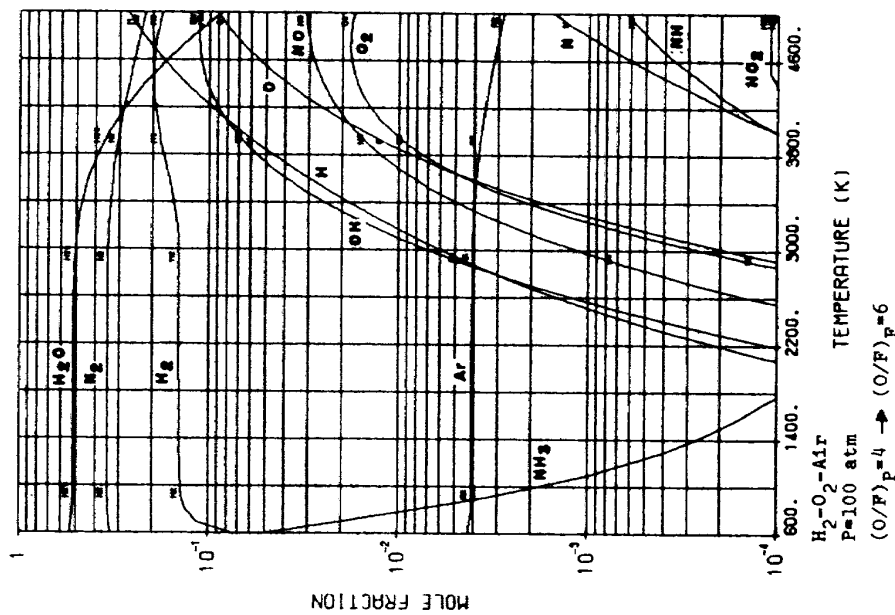


図 C-3-15

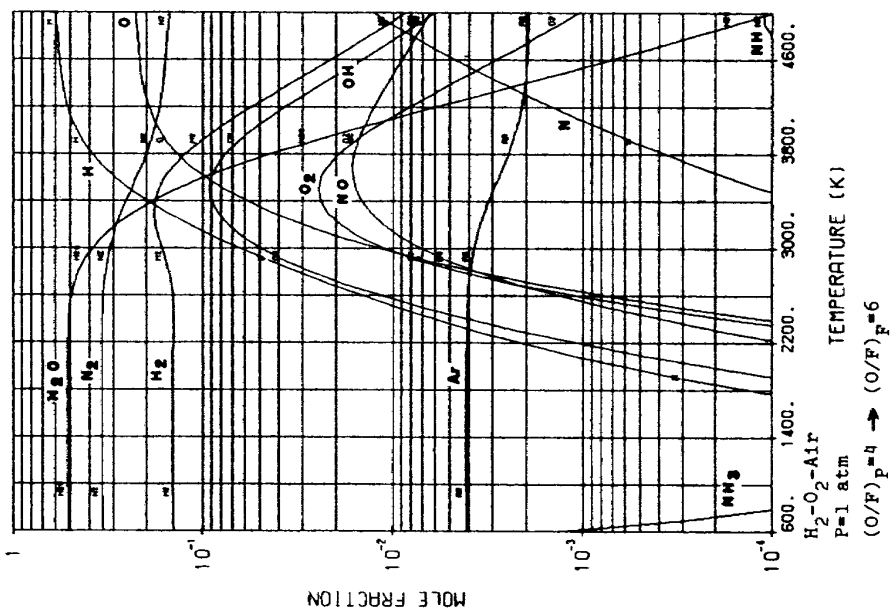


図 C-3-14

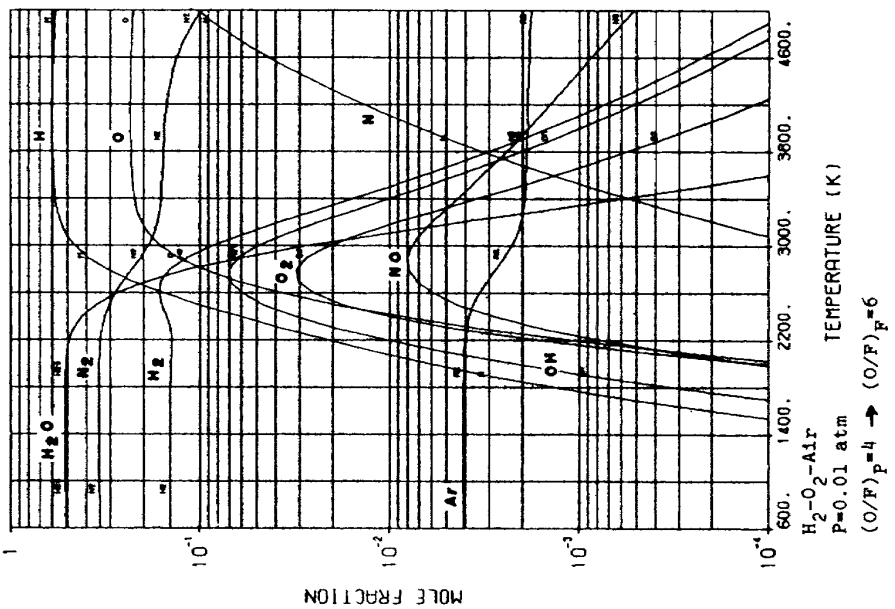


図 C-3-13

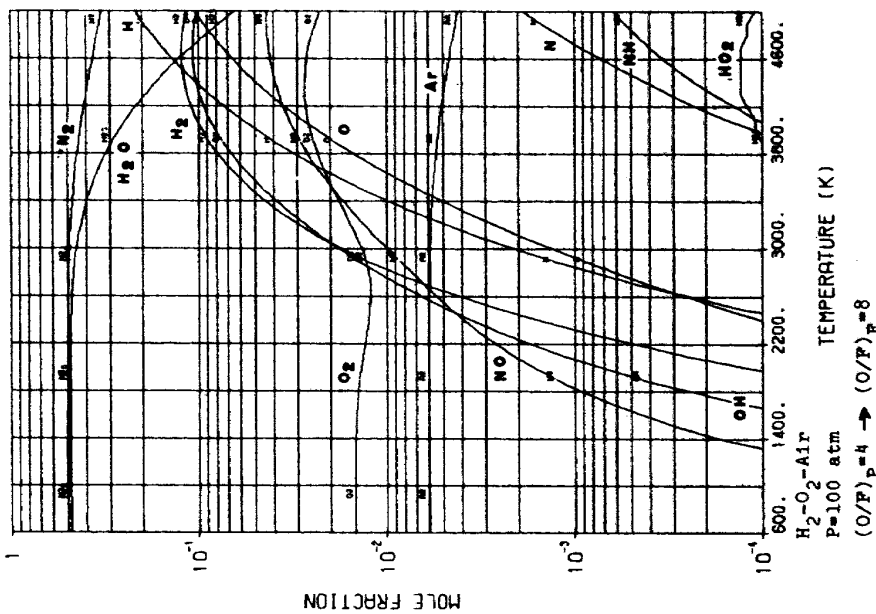


図 C-3-18

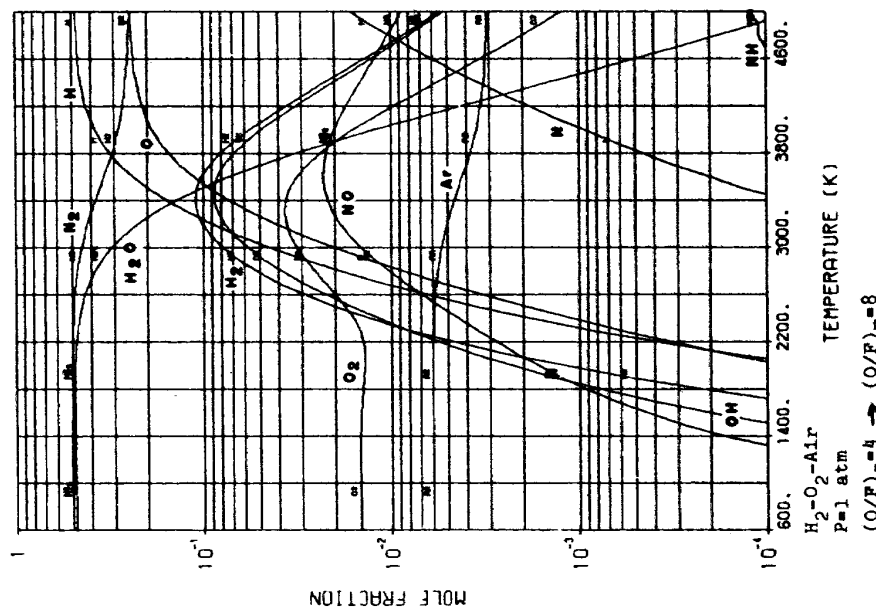


図 C-3-17

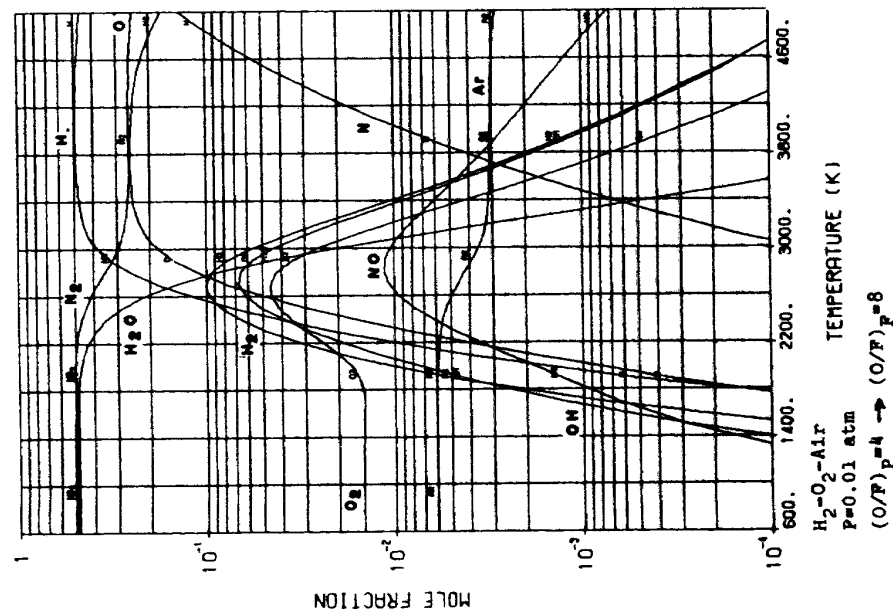
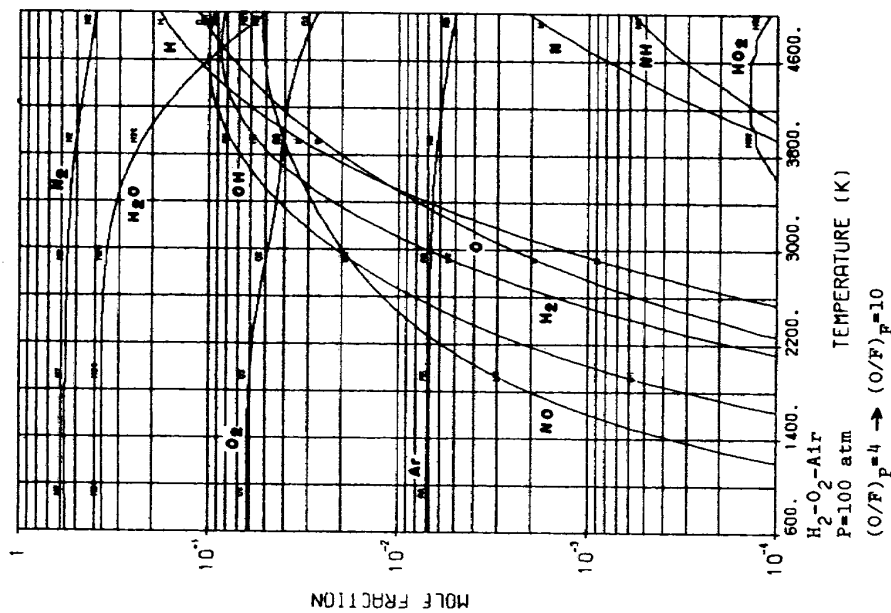
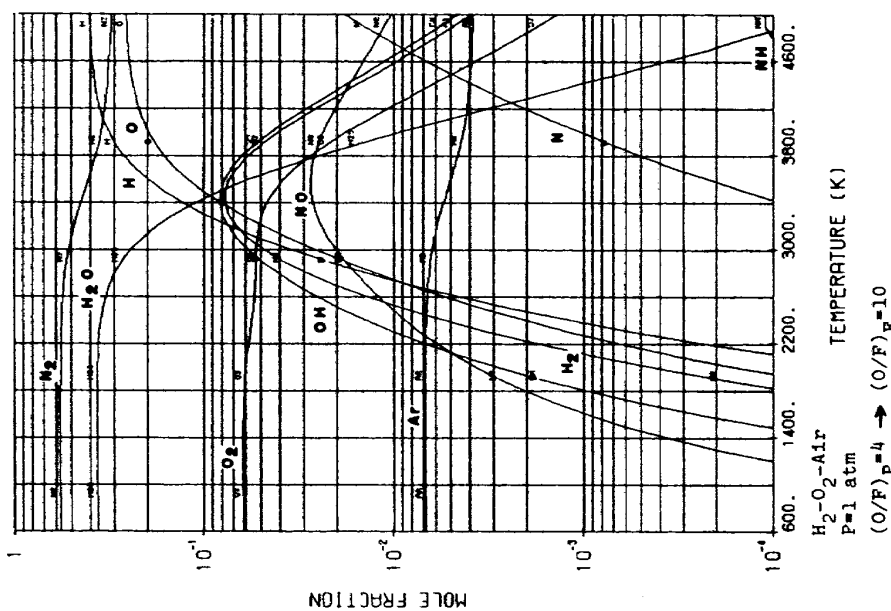


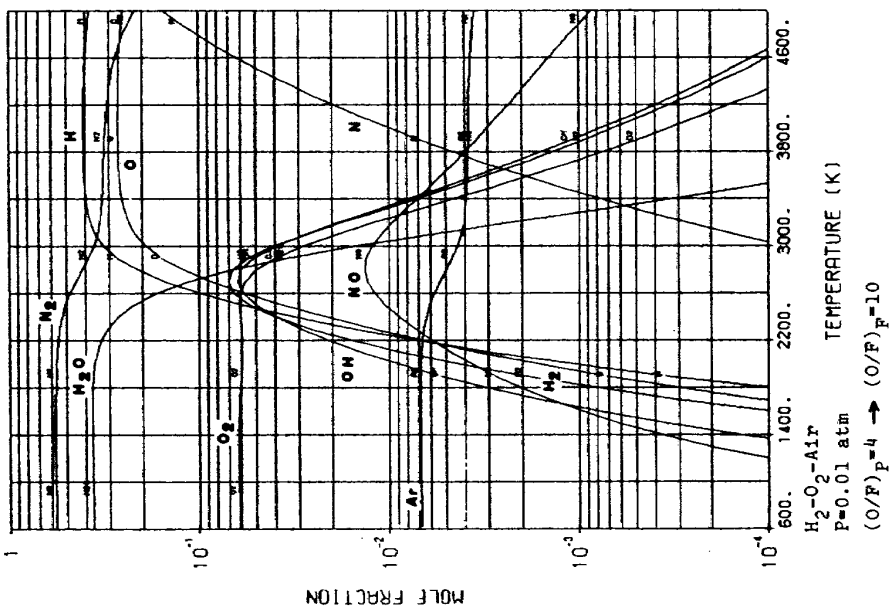
図 C-3-16



C-3-21



C-3-20



C-3-19

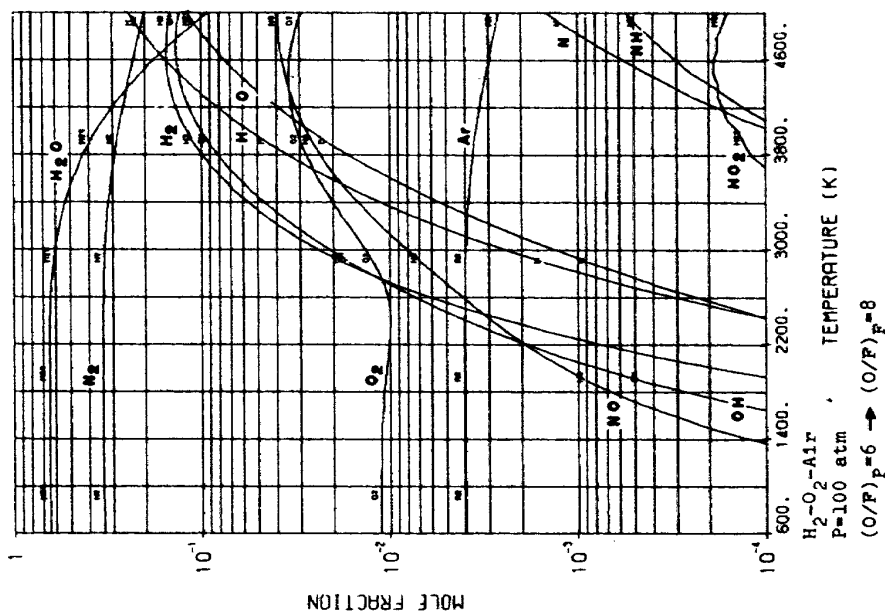


図 C-3-24

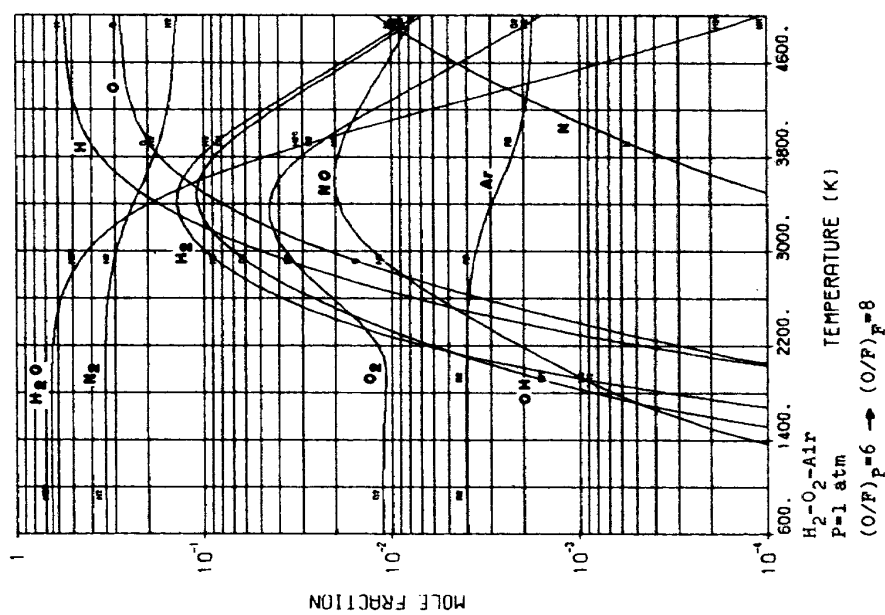


図 C-3-23

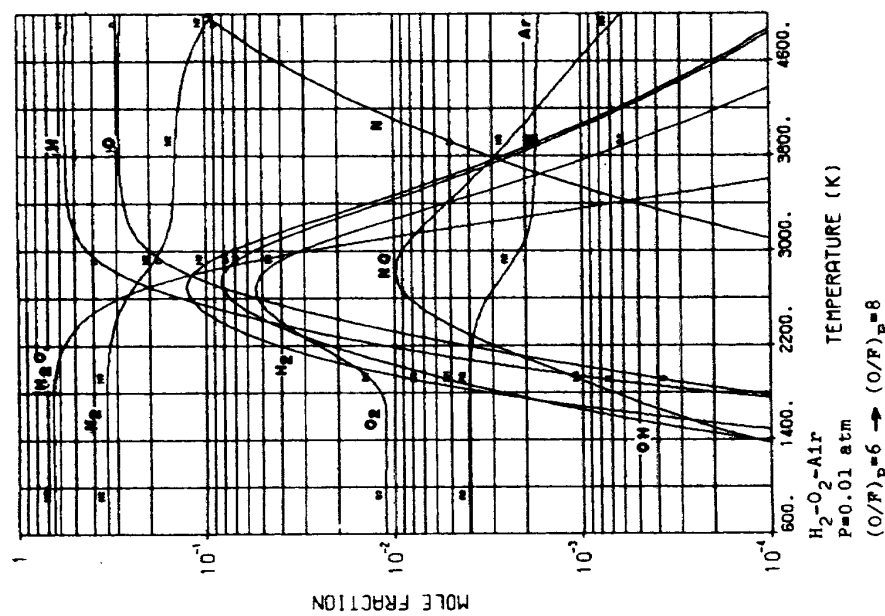


図 C-3-22

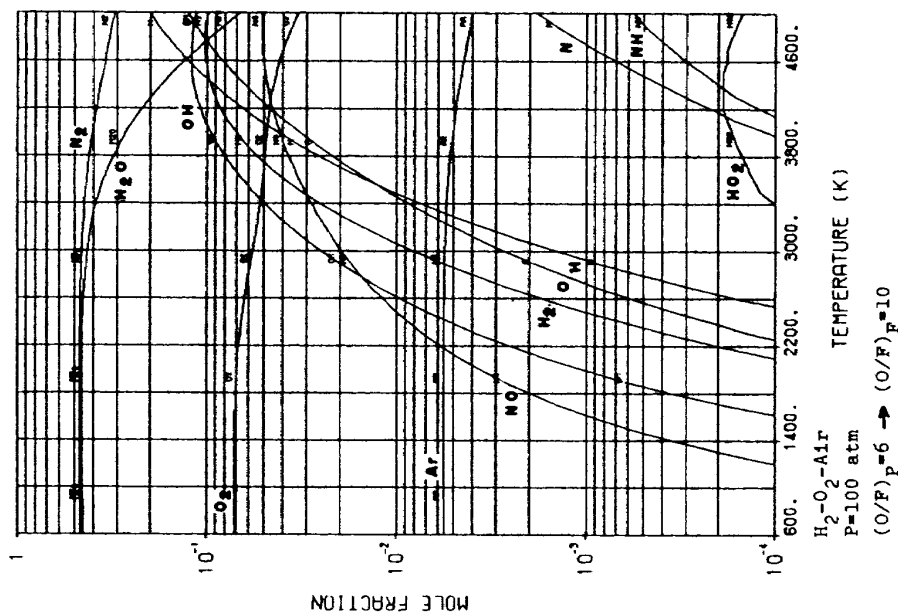


図 C-3-27

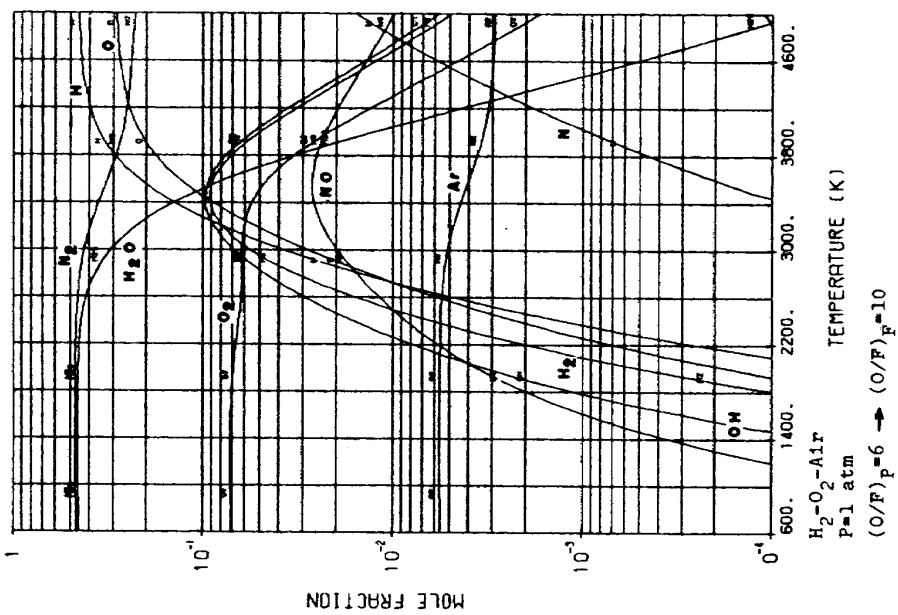


図 C-3-26

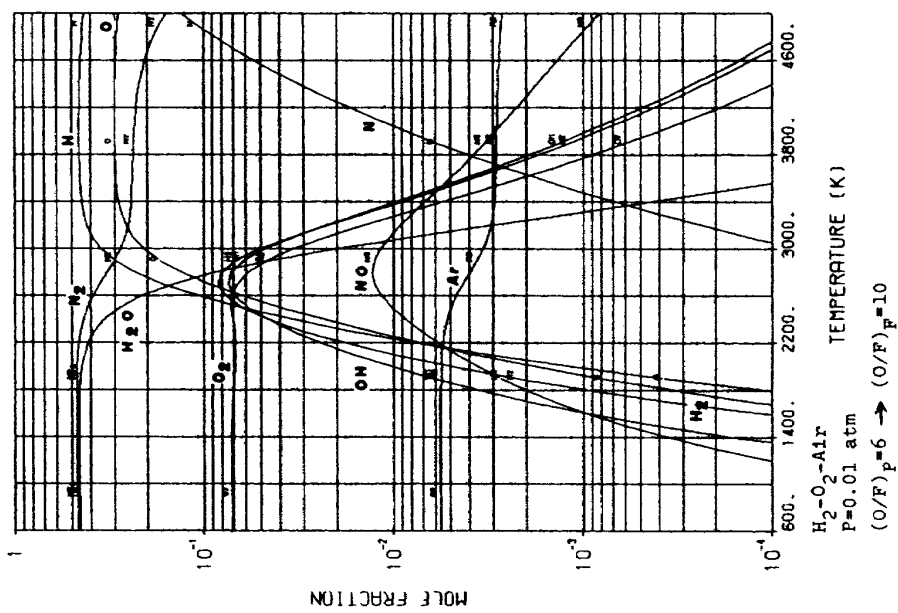


図 C-3-25

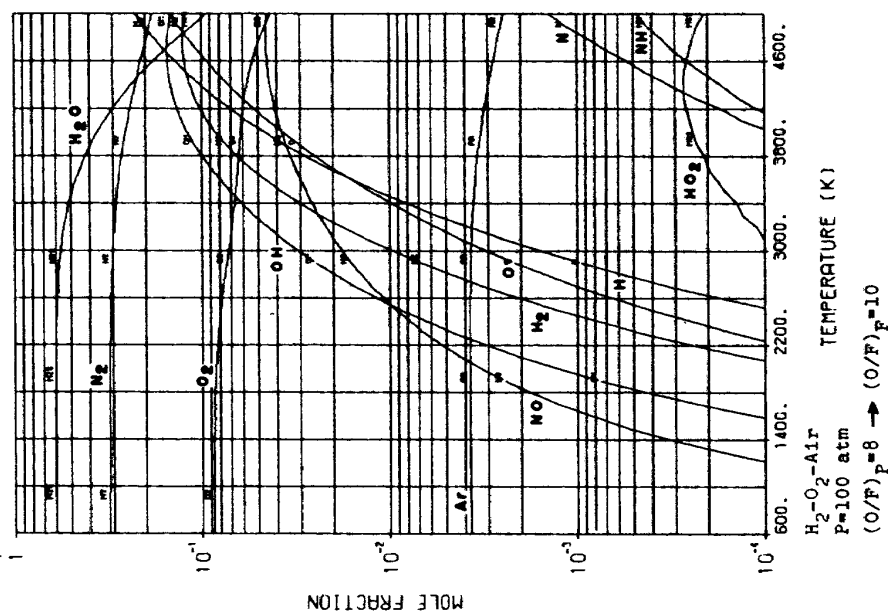


図 C-3-30

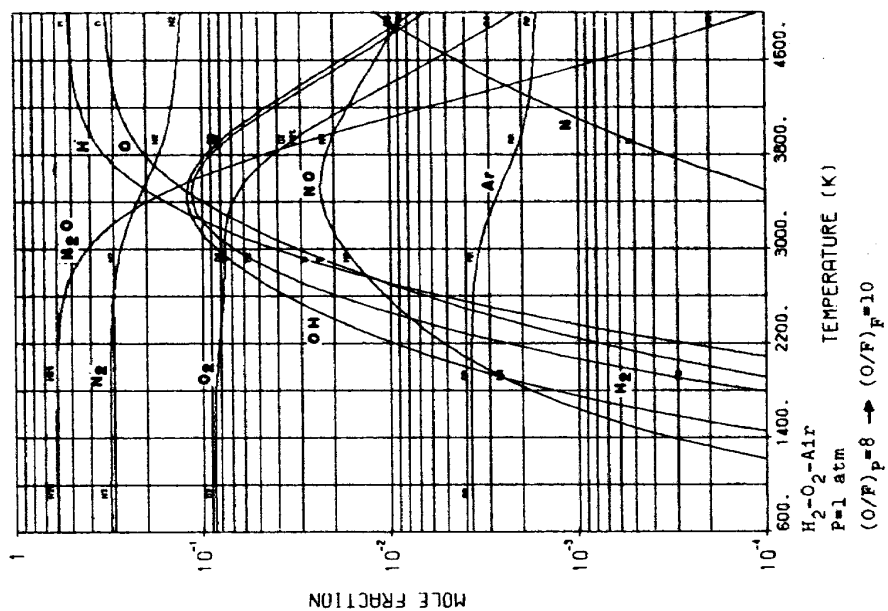


図 C-3-29

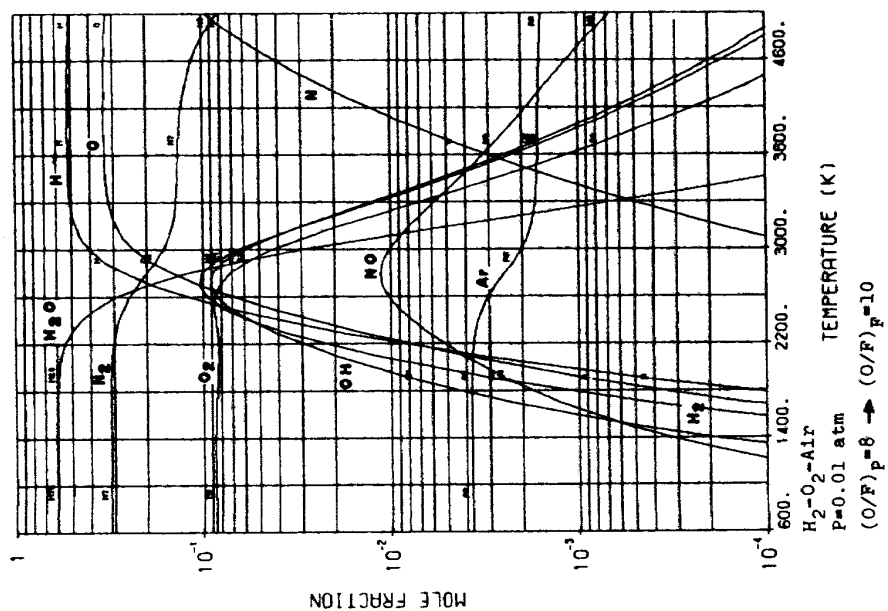


図 C-3-28

航空宇宙技術研究所資料381号

昭和54年5月発行

発行所 航空宇宙技術研究所

東京都調布市深大寺町1880

電話武藏野三鷹(0422)47-5911(大代表)5182

印刷所 株式会社 三興印刷

東京都新宿区信濃町12

Printed in Japan